

LIBRO de
RESÚMENES

LI REUNIÓN
CIENTÍFICA
ANUAL SAIO

17 al 19 octubre 2018

LOS COCOS, CÓRDOBA
ARGENTINA

HOTEL U.T.H.G.R.A.

SAIO

SOCIEDAD ARGENTINA
DE INVESTIGACIÓN ODONTOLÓGICA

*División Argentina de la International
Association for Dental Research*



IADR

International Association
for Dental Research

LIMPIEZA PROFUNDA SUPERIOR

NUEVO

Colgate[®]

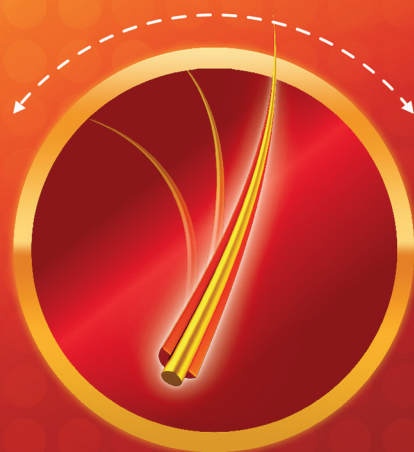
SLIMSOFT™
ADVANCED



Tecnología

DUAL CORE

NUEVAS CERDAS
SUPER SUAVES
Y FLEXIBLES



Colgate[®]

SOCIEDAD ARGENTINA DE INVESTIGACIÓN ODONTOLÓGICA

DIVISIÓN ARGENTINA
DE LA INTERNATIONAL ASSOCIATION
FOR DENTAL RESEARCH

LI Reunión Científica Anual

Los Cocos, Córdoba. Argentina

17 al 19 de octubre de 2018

Está prohibida la reproducción total o parcial de esta obra por cualquier método: fotográfico, fotocopia, mecánico, reprográfico, óptico, magnético, o electrónico, sin la autorización expresa y por escrito de los propietarios del copyright.

Libro de resúmenes de la LI Reunión Científica Anual / Susana Molgatini ... [et al.] ; compilado por Marina Rocamundi. - 1a ed . - Ciudad Autónoma de Buenos Aires : Sociedad Argentina de Investigación Odontológica, 2018.
200 p. ; 30 x 21 cm.

ISBN 978-987-46399-2-9

1. Odontología. 2. Resultado de Investigación. 3. Actas de Congresos. I. Molgatini, Susana II. Rocamundi, Marina, comp.
CDD 617.6

ISBN 978-987-46399-2-9



Se finalizó de imprimir en



en el mes de octubre de 2018
Obispo Trejo 1340 - Nueva Córdoba
Tel: (0351) 4606926
simaeditora@yahoo.com.ar
CÓRDOBA - REPÚBLICA ARGENTINA

CARTA DE BIENVENIDA. COMISIÓN ORGANIZADORA

Me complace darles a todos la bienvenida a la LI Reunión Anual de la Sociedad Argentina de Investigación Odontológica (SAIO). En esta ocasión nos congregamos en la pintoresca localidad de Los Cocos, Córdoba, donde podremos disfrutar uno de los paisajes serranos más singulares del centro de la República Argentina.

La Comisión Organizadora ha realizado un arduo trabajado para crear un programa que permita a los participantes presentar sus experiencias, estudios e investigaciones, teniendo siempre como meta final la búsqueda de soluciones a los problemas que afectan la salud bucal y el mejoramiento de la calidad de vida.

Deseo expresar mi agradecimiento a las empresas, laboratorios e Instituciones que nos brindaron su apoyo y adhesión para poder desarrollar esta Reunión, incentivando la participación de jóvenes investigadores dentro de la Sociedad. Así mismo agradezco el apoyo constante que depositó en este equipo de trabajo la Dra. Susana Molgatini, y a toda la Comisión Directiva de SAIO, quienes estuvieron presentes en todo momento solucionando problemas.

A todo el equipo de la Comisión Organizadora, vaya un agradecimiento especial por las horas de trabajo compartidas, la cooperación y fundamentalmente el compañerismo.

Esperamos que durante estos días transitemos los espacios de este evento respetando los auténticos principios de nuestra sociedad, en un ambiente de camaradería y cordialidad.

BIENVENIDOS!!

Sebastián Fontana
Presidente Comisión Organizadora 2018

LI Reunión Científica Anual

SOCIEDAD ARGENTINA DE INVESTIGACIÓN ODONTOLÓGICA
DIVISIÓN ARGENTINA DE LA INTERNATIONAL ASSOCIATION
FOR DENTAL RESEARCH

Los Cocos, Córdoba. Argentina. 17 al 19 de octubre de 2018

COMISIÓN DIRECTIVA

PRESIDENTE: *Susana MOLGATINI*

VICEPRESIDENTE: *Gabriel SÁNCHEZ*

PRESIDENTE SALIENTE: *Daniel OLMEDO*

SECRETARIA: *Analía GARROFÉ*

PRO-SECRETARIA: *Ana SORAZÁBAL*

TESORERA: *Ángela ARGENTIERI*

PRO-TESORERA: *María Inés GONZÁLEZ*

VOCAL: *Carlos ROZAS*
Esteban FUNOSAS
Sebastián PUJA

RELACIONES INTERNACIONALES: *Aldo SQUASSI*

ÓRGANO DE FISCALIZACIÓN

TITULARES: *Sandra RENO*
Andrea KAPLAN
Carola BOZAL

SUPLENTE: *Ana María MORASSO*
Tammy STEIMETZ
Sebastián FONTANA

TRIBUNAL DE HONOR

Noemí BORDONI
Ricardo MACCHI
María Elina ITOIZ
Ángela Matilde UBIOS
Rosa María ALIPPI

COMISIÓN ORGANIZADORA

PRESIDENTE: *Sebastián FONTANA*

VICEPRESIDENTE: *Carlos ROZAS*

ÁREA SECRETARÍA Y REVISIÓN *Rosana MORELATTO*

DE RESÚMENES: *Marina ROCAMUNDI*

Pablo FONTANETTI

Sabrina SOTO

RELACIONES INTERINSTITUCIONALES: *Sonia JULIÁN*

Fabiana CARLETTO KÖRBER

ÁREA TESORERÍA: *Luis PLAVNIK*

Ignacio GONZÁLEZ SEGURA

INTENDENCIA: *Mario SEZÍN*

César COMBINA

COMISIÓN DE APOYO: *Mariana CARVAJAL*

Silvia RUBIO

Ismael RODRÍGUEZ

Graciela ROBLEDO

DELEGADOS PROVINCIALES

CÓRDOBA *Pablo FONTANETTI*
Sebastián FONTANA

CORRIENTES *María Mercedes GONZÁLEZ*
Sandra MARTÍNEZ

MENDOZA *María de los Ángeles GIAQUINTA*
Claudia FERNÁNDEZ

ROSARIO *Gustavo FESER*
Ileana BOCCIO

TUCUMÁN *Susana ROMERO*
Luis WUSCOVI

ZONA PATAGÓNICA *Patricia MULBANY*

AUSPICIOS Y ADHESIONES

La Comisión Directiva de la Sociedad Argentina de Investigación Odontológica y la Comisión Organizadora de la LI Reunión Anual agradecen los Auspicios y las Adhesiones brindados para esta Reunión:

- ADHESIÓN Y AUSPICIO FACULTAD ODONTOLÓGÍA. UNIVERSIDAD NACIONAL DE CÓRDOBA. (RES N° 65/2018).
- DECLARACIÓN DE INTERÉS INSTITUCIONAL DE LA FACULTAD ODONTOLÓGÍA. UNIVERSIDAD DE BUENOS AIRES. (RES N° 508/2018).
- ADHESIÓN ASOCIACIÓN ODONTOLÓGICA ARGENTINA.
- ADHESIÓN ESCUELA DE ODONTOLÓGÍA UNIVERSIDAD DEL SALVADOR.
- ADHESIÓN FACULTAD ODONTOLÓGÍA. UNIVERSIDAD NACIONAL DE ROSARIO.
- ADHESIÓN UNIVERSIDAD CATÓLICA DE CÓRDOBA.
- ADHESIÓN UNIVERSIDAD ADVENTISTA DEL PLATA.
- AUSPICIO Y ADHESIÓN COLEGIO ODONTOLÓGICO DE CÓRDOBA.
- ADHESIÓN DEL CÍRCULO ODONTOLÓGICO DE PUNILLA.
- ADHESIÓN UNIVERSIDAD NACIONAL DE LA RIOJA.
- ADHESIÓN FACULTAD DE CIENCIAS MÉDICAS. UNIVERSIDAD NACIONAL DE CÓRDOBA.
- ADHESIÓN DEL INSTITUTO PROVINCIAL ODONTOLÓGICO. MINISTERIO DE SALUD DE LA PROVINCIA DE CÓRDOBA.
- AUSPICIO Y ADHESIÓN FACULTAD ODONTOLÓGÍA. UNIVERSIDAD NACIONAL CUYO (RES N° 116/2018).
- ADHESIÓN UNIVERSIDAD NACIONAL DE LA PLATA (RES N°069/2018).
- ADHESIÓN UNIVERSIDAD NACIONAL DE RIO NEGRO.
- ADHESIÓN FACULTAD ODONTOLÓGÍA. UNIVERSIDAD NACIONAL DE TUCUMÁN.
- ADHESIÓN FEDERACIÓN ODONTOLÓGICA DE LA PROVINCIA DE CÓRDOBA.

AGRADECIMIENTOS

La Comisión Directiva y la Comisión Organizadora de la LI Reunión Anual de la Sociedad Argentina de Investigación Odontológica agradecen el aporte brindado a:

- A la Agencia Nacional de Promoción Científica y Tecnológica (ANPCyT), a través del Fondo para la Investigación Científica y Tecnológica (FONCyT) por el subsidio para la organización de Reuniones Científicas. (Res. 017/18).
- Auspicio del Ministerio de Ciencia y Tecnología de la Provincia de Córdoba. Programa Apoyo a Eventos de Ciencia y Tecnología 2018. (Res. 33/2018).
- Auspicio Secretaría Ciencia y Tecnología. Universidad Nacional de Córdoba. Programa apoyo económico para eventos científicos (Res. 244/18).
- Facultades de Odontología del país por el apoyo económico recibido para promover la participación de investigadores al evento.
- Al Profesor Dr. Francisco Tamarit (Universidad Nacional de Córdoba, Argentina) por el dictado de su conferencia "Desafíos actuales de la educación superior, la ciencia y la tecnología, a 100 años de la reforma universitaria".
- A la Profesora Dra. María Elina Itoiz (Universidad de Buenos Aires, Argentina) por el dictado de su conferencia "La escasa tasa de publicaciones de la producción científica en la investigación odontológica argentina: una deuda aún pendiente".
- Al Dr. José Miguel Amenabar Céspedes (Universidade Federal do Paraná, Curitiba, Brasil) por el dictado de su conferencia "Integrando el grado y el posgrado a través de proyectos de investigación científica".
- Al Dr. Ronell Bologna (Universidad de la República del Uruguay) por el dictado de su conferencia "Avances en investigación de tumores odontogénicos".
- A las Dras. Liliana Nicolossi y María del Carmen Rubio por el dictado del curso de capacitación "Principios de la Investigación Clínica" en la Facultad de Odontología de la Universidad de Buenos Aires.

- Al Dr. Gabriel Sánchez por el dictado del curso de capacitación “Presentaciones IADR: Cómo lograr excelencia en comunicación Visual y Oral” las Facultades de Odontología de Universidad Nacional de Córdoba y Universidad Nacional de Rosario.
- Al Dr. Ricardo Macchi por el dictado del curso de capacitación “ Elaboración de trabajos para publicar en revistas internacionales “ Facultad de Odontología. Universidad Nacional de Tucumán.
- Al Dr. Sebastián Puia por el dictado del “6º Taller de Confección de Resúmenes Científicos”, en la Facultad de Odontología de la UBA.
- Al Dr. Gabriel Sánchez por el dictado del curso de capacitación “Biostatística Básica: con recursos informáticos nacionales: Infostat y Primastat” en la Facultad de Odontología de la UBA.
- A las Dras. Noemí Bordoni, María Elina Itoiz y al Dr. Ricardo Macchi por el dictado del curso de capacitación “Cómo incrementar las publicaciones científicas”, en la Facultad de Odontología de la UBA.
- Al Dr Oscar Pablo David por el aporte económico para el Premio “María L. Rins de David”.
- Al Dr Alfredo Bas Puer por el aporte económico para el Premio “Fundación CREO”.
- Al Dr Esteban Funosas por el aporte económico para el Premio “Suzel M. Scozzarro”.
- A la Sra. Gloria Tumilasci por el aporte económico para el Premio “Omar Tumilasci”.
- A la Academia Nacional de Odontología por el aporte económico para el Premio ANDO.
- A la Dra. Ana María Morasso por el aporte económico para el Premio Salud Bucal Dr. Aníbal Cobanera.

AGRADECIMIENTOS A EMPRESAS

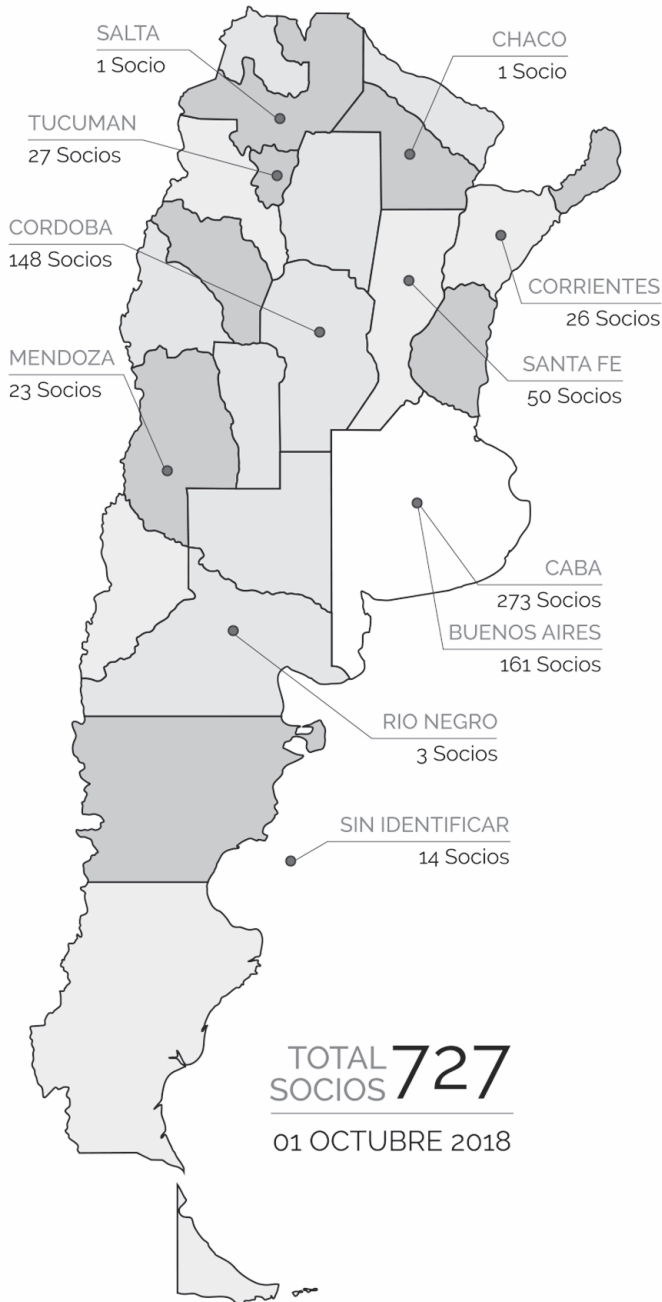
- Laboratorio Colgate-Palmolive
- Health Care Sudamericana S.A. (Productos Curaprox)
- Laboratorio Dental Ruderman
- Omar Dental
- Dental Medrano
- Carpediem Joyas
- Laboratorios GADOR
- GM Promociones
- Cabañas El Paraíso
- Oral B
- Posada del Qenti

PLANO DEL HOTEL Y UBICACIÓN DE SALONES

Fuente: Google Earth



MAPA DE DISTRIBUCIÓN DE SOCIOS, SAIO 2018



EVOLUCIÓN DE SOCIOS IADR

	2016	2017	2018
Full members	118	131	140
Retired	4	5	4
Student	6	10	8
Total	128	146	152

Fuente de la información: IADR



PROGRAMACIÓN GENERAL

MIÉRCOLES 17 DE OCTUBRE			
HORARIO			
8:30	INSCRIPCIÓN Y ACREDITACIÓN RECEPCIÓN		
12:30	ALMUERZO SALÓN COMEDOR		
S A L Ó N			
	SUM	DESAYUNADOR	QUINCHO
14:00	SESIÓN PREMIOS	SESIÓN PREMIOS	SESIÓN PREMIOS
16:40	COFFEE BREAK		
17:00	REUNIÓN GRUPO MEDICINA ORAL Y PATOLOGÍA	REUNIÓN GRUPO ORTODONCIA	REUNIÓN GRUPO EDUCACIÓN
	SALÓN SUM		
	ACTO INAUGURAL		
19:00	CONFERENCIA DESAFÍOS ACTUALES DE LA EDUCACIÓN SUPERIOR, LA CIENCIA Y LA TECNOLOGÍA, A 100 AÑOS DE LA REFORMA UNIVERSITARIA. FRANCISCO TAMARIT		
21:30	CENA - SALÓN COMEDOR		

JUEVES 18 DE OCTUBRE

S A L Ó N				
HORARIO	SUM	DESAYUNADOR	QUINCHO	BAR
9:00	PRESENTACIONES ORALES TEJIDO ÓSEO	PRESENTACIONES ORALES GLÁNDULAS SALIVALES Y MUCOSA BUCAL	PÓSTERES MATERIALES DENTALES Y EDUCACIÓN	REUNIÓN DE GRUPO CARIOLOGÍA Y SALUD PÚBLICA
11:00	COFFEE BREAK			
11:30	SALÓN SUM CONFERENCIA INTEGRANDO EL GRADO Y EL POSGRADO A TRAVÉS DE PROYECTOS DE INVESTIGACIÓN CIENTÍFICA. JOSÉ MIGUEL AMENABAR CÉSPEDES			
13:00	ALMUERZO SALON COMEDOR			
14:30	PRESENTACIONES ORALES CARIOLOGÍA	PRESENTACIONES ORALES MATERIALES DENTALES (ENDODONCIA)	PÓSTERES ORTODONCIA ATM GLÁNDULAS SALIVALES MUCOSA BUCAL MICROBIOLOGÍA	REUNIÓN DE GRUPO PERIODONCIA E IMPLANTES
16:30	COFFEE BREAK			
16:45	SALÓN SUM REUNIÓN REVISTA AOL CONFERENCIA LA ESCASA TASA DE PUBLICACIONES DE LA PRODUCCIÓN CIENTÍFICA EN LA INVESTIGACIÓN ODONTOLÓGICA ARGENTINA: UNA DEUDA AÚN PENDIENTE. MARIA ELINA ITOIZ			
17:45	ASAMBLEA EXTRAORDINARIA: MODIFICACIÓN DE ESTATUTO			
21:30	CENA - SALÓN COMEDOR			

VIERNES 19 DE OCTUBRE				
S A L Ó N				
HORARIO	SUM	DESAYUNADOR	QUINCHO	BAR
9:00	PRESENTACIONES ORALES TEJ. DENTARIOS Y PERIODONTALES ORTODONCIA MICROBIOLOGÍA	PRESENTACIONES ORALES EDUCACIÓN ODONTOLÓGICA	PÓSTERES CARIOLOGÍA	GRUPO MATERIALES DENTALES
11:00	RECESO			
11:30	SALÓN SUM CONFERENCIA AVANCES EN INVESTIGACIÓN DE TUMORES ODONTOGÉNICOS. RONELL BOLOGNA			
13:00	ALMUERZO - SALÓN COMEDOR			
14:00	PRESENTACIONES ORALES CARIOLOGÍA	PRESENTACIONES ORALES MATERIALES DENTALES	PÓSTERES TEJIDO ÓSEO TEJIDOS DENTARIOS Y PERIODONTALES	
16:00	COFFEE BREAK			
16:30	SALÓN SUM ASAMBLEA ANUAL ORDINARIA			
21:30	CENA - SALÓN COMEDOR			

CONFERENCIAS

Miércoles 17 de octubre, 19.30 hs. Salón SUM

**Desafíos actuales de la educación superior, la ciencia y la tecnología,
a 100 años de la reforma universitaria.**

Prof. Dr. Francisco Tamarit

Jueves 18 de octubre 11:30 hs. Salón SUM

**Integrando el grado y el posgrado a través de proyectos
de investigación científica.**

Prof. Dr. José Miguel Amenabar Céspedes

Jueves 18 de octubre 16:45 hs. Salón SUM

**La escasa tasa de publicaciones de la producción científica
en la investigación odontológica argentina: una deuda aún pendiente.**

Prof. Dra. María Elina Itoiz

Viernes 19 de octubre 11:30 hs. Salón SUM

Avances en investigación de tumores odontogénicos.

Prof. Dr. Ronell Bologna

REUNIONES Y ACTIVIDADES DE GRUPOS

Miércoles 17 de octubre

17:00 hs

Grupo Medicina Oral y Patología

Salón DESAYUNADOR

Grupo Ortodoncia

Salón QUINCHO

Grupo Educación

Salón BAR

Jueves 18 de octubre

09:00 hs

Grupo Cariología y Salud Pública

Salón BAR

14:30 hs

Grupo Periodoncia e Implantes

Salón BAR

16:45hs

Rev. AOL y Conferencia Prof. Dra. Itoiz

Salón SUM

Viernes 19 de octubre

09:00 hs

Grupo Materiales Dentales

Salón BAR



POSTULACIONES A PREMIO

POSTULACIONES A PREMIO

MIÉRCOLES TARDE: DE 14:00 A 16:40 h

SALÓN SUM

PREMIO DIVISIONAL – IADR UNILEVER HATTON DIVISIONAL AWARD

14:00 h -Autopercepción de salud bucal y expectativas de empleabilidad: Diseño y validación de cuestionario.

*Autores: *Sanchez ML, Cotelo L, Perez MB, Bordoni N, D Eramo L, Salgado P, Squassi A.*

PREMIO COLGATE – PALMOLIVE PROFESIONAL ODONTÓLOGO (CIENCIAS BÁSICAS)

14:20 h -Enterococcus faecalis: viable y cultivable postratamiento endodóntico ex vivo con láser diodo.

*Autores: *Pérez SB, Tejerina DP, García Basualdo MS, Casadoumecq AC, Rodriguez PA, Molgatini SL, Gliosca LA.*

14:40 h -Melatonina: efecto antioxidante y diferenciador en cultivos celulares de encía de rata

*Autores: *Solá VM, Aguilar JJ, Fontana S, Carpentieri AR.*

15:00 h -Respuesta inflamatoria y expresión de receptores de estrógeno en cultivos de fibroblastos pulpaes de rata in vitro.

*Autores: *Soto SN, Cambiasso MJ.*

PREMIO COLGATE – PALMOLIVE ESTUDIANTE

15:20 h -Autopercepción de salud bucal, empleabilidad y condiciones sociodemográficas: análisis de un instrumento.

*Autores: *Perez MB, Cotelo L, Sanchez ML, Bordoni N, Squassi A, Salgado P, D ´ Eramo L.*

PREMIO COLGATE – PALMOLIVE PROFESIONAL ODONTÓLOGO (CIENCIAS CLÍNICAS)

15:40 h -Prevalencia de anomalías dentarias de niños escolares de San Miguel de Tucumán-Argentina.

*Autores: *Jorrat MM, Wuscovi LF, Lopez ME, Aragon HN.*

16:00 h -Criterios clínicos para el diagnóstico de Bruxismo de Vigilia en Adultos.

*Autores: *Andrada MM, Salgado PA, Stolbizer F.*

16:20 h -Desempeño clínico preliminar de postes anatómicos en dientes anteriores sin remanente coronario.

*Autores: *Zúccaro PS, Nastrun NJ, Abate PF.*

SALÓN DESAYUNADOR

PREMIO FEDERA

14:00 h -Sangrado y aparición de hematomas post extracción dentaria, en pacientes anticoagulados.

*Autores: *Vassallo M, Aguilar J, Zamberlin J, Diaz Roig M, Duran A.*

14:20 h -Inclinación vestíbulo lingual del conducto mentoniano en pacientes de San Miguel de Tucumán.

*Autores: *Wuscovi LF, Agüero D, Lopez ME, Aragon HN.*

PREMIO RODOLFO ERAUSKIN

14:40 h -Sistema de conductos en C en segundos molares inferiores evaluados mediante tomografía Cone-beam.

*Autores: *Chaintiou Piorno R, Consoli Lizzi EP, Saiegh J, Vázquez DJ, Gualtieri AF, Rodriguez PA.*

15:00 h -Eficacia del láser diodo 940nm en la desinfección de conductos radiculares ex-vivo.

*Autores: *Basualdo MS, Casadoumecq AC, Perez SB, Tejerina DP, Gliosca LA, Sierra LG, Rodriguez PA.*

15:20 h -Respuesta inmunológica salival asociada a la composición bacteriana en embarazadas con periodontitis.

*Autores: *Solari N, Salas L, Tabares S, Rosella C, Villarruel C, Moyano T, Ribotta de Albera E, Usin MM, Sembaj A.*

SUBSIDIO RODOLFO ERAUSKIN

15:40 h -Expresión geno-fenotípica de conexina 43 en pacientes adultos con diferentes grados de tumorigénesis oral.

*Autores: *González Segura I, Secchi D, Galindez, MF, Brunotto, M, Centeno V.*

PREMIO MARÍA L. RINS DE DAVID

16:00 h -Respuesta diferencial de huesos craneofaciales vs otros huesos del sistema esquelético al déficit de estrógenos.

*Autores: *Nervegna MT, Bárcenas CA, Escudero ND, Mandalunis PM*

16:20 h -La exposición prenatal a fluoruro afecta el comportamiento mecánico de la mandíbula en crías de rata.

*Autores: *Interlandi V, Fontanetti P, Rigalli A, Ponce R, Gallará R y Centeno V.*

SALÓN QUINCHO

PREMIO ACADEMIA NACIONAL DE ODONTOLOGÍA

14:00 h -Obstáculo Epistemológico en la Enseñanza de la Relación Céntrica en Prostodoncia.

*Autores: *Aredes JE, Varela LB, Rodriguez A, Caputo LG.*

PREMIO SALUD BUCAL – CARIOLOGIA

14:20 h -Evaluación del estado gingivo-periodontal en el servicio de odontología. Maternidad provincial de Córdoba.

*Autores: *Salas L, Tabares S, Solari N, Rosella C, Villarruel C, Alloati B, Ghirardi F, Ribotta de Albera E, Usin MM, Sembaj A.*

14:40 h -Supervivencia de piezas dentarias con caries tratadas con diamino fluoruro de plata.

*Autores: *Rossi G, Marchi R, Salgado P, Squassi A.*

PREMIO PROF. DR. HÉCTOR R. MADDALENA (GRUPO MATERIALES DENTALES)

15:00 h -Interfase adhesiva de un cemento utilizado para fijar postes de fibra.

*Autores: *Thompson I, Kokubu S, Pepe G, Martínez C, Tamini Elicegui LE, Abate PF.*

15:20 h -Integridad de un cemento utilizando diferentes técnicas para fijar postes de fibra.

*Autores: *Kokubu S, Pepe G, Thompson L, Tamini Elicegui LE, Abate PF.*

15:40 h -Valoración del índice de remanente adhesivo en esmalte y brackets metálicos cerámicos.

*Autores: *Angaramo LE, Spadillero de Lutri MM.*

PREMIO ORTODONCIA (GRUPO ORTODONCIA)

16:00 h -Modelo experimental para el estudio del movimiento ortodóncico hacia un alvéolo postextracción.

*Autores: *Cabirta ML, Luján Nuñez F, Estevez AN, Vázquez DJ, Friedman SM, Rodríguez PN, De Lucca RC.*

16:20 h -Expresión inmunohistoquímica de Runx-2 en la sutura medio-palatina de la rata en respuesta a fuerzas expansivas de diferentes magnitudes.

*Autores: *Yamauchi MI, Ubios AM, Bozal CB.*

SALÓN BAR

PREMIO FUNDACION CREO

14:30 h -Molares en C: Epidemiología en prácticas clínicas de posgrado CEFOUBA. (Poster)

*Autores: *González Pin C, Labarta AB, Sierra LG.*



PRESENTACIONES ORALES

PRESENTACIONES ORALES

JUEVES 18 DE OCTUBRE – MAÑANA 9 A 11 H

SALON: SUM

TEJIDO OSEO

Presidente: Olmedo, Daniel

Secretario: Ferreyra, Ruth

9:00 1. RESPUESTA DIFERENCIAL DE HUESOS CRANEOFACIALES VS OTROS HUESOS DEL SISTEMA ESQUELÉTICO AL DÉFICIT DE ESTRÓGENOS

*Nervegna MT, Bárcenas CA, Escudero ND, Mandalunis PM.

Cátedra de Histología y Embriología FOUBA.

9:15 2. MEDICACIÓN ANTIRESORTIVA Y ANTIANGIOGÉNICA EN RELACIÓN A LA EVOLUCIÓN DE LAS VARIANTES CLÍNICA CON Y SIN EXPOSICIÓN DE HUESO DE OSTEONECROSIS DE MAXILAR

Tamburelli M¹, Kreimann E², Bas C¹, Gomez Abuin G¹, Sena S¹, Castillo J¹, *Brandizzi D³.

1. Instituto de Oncología del Hospital Alemán de Buenos Aires. 2. Consejo Nacional de Investigaciones Científicas y Técnicas (CONICET). 3. Departamento de Radiobiología de la Comisión Nacional de Energía Atómica (CNEA).

9:30 3. EFECTO DE LA EXPOSICIÓN A CROMO HEXAVALENTE (CR VI) SOBRE LA FORMACIÓN DE LA BASE DE LA CANASTILLA ÓSEA DURANTE EL PERÍODO INTRAÓSEO DE LA ERUPCIÓN DENTARIA.

*Sánchez LM, Bozal CB, Ubios AM.

Cátedra de Histología y Embriología FOUBA.

9:45 4. FIBROMA CEMENTO-OSIFICANTE CON PRESENCIA DE EPITELIO ODONTOGÉNICO: HALLAZGO MICROSCÓPICO INUSUAL.

*Villegas Padilla KM, Itoiz ME, Cabrini RLt, Paparella ML.

Cátedra de Anatomía Patológica FOUBA.

10:00 5. LA EXPOSICIÓN PRENATAL A FLUORURO AFECTA EL COMPORTAMIENTO MECÁNICO DE LA MANDÍBULA DE CRIAS DE RATA

*Interlandi V, Fontanetti P, Rigalli A, Ponce R, Gallará R y Centeno V.

Cátedra "A" de Química Biológica. Facultad de Odontología UNC.

10:15 6. EXPRESIÓN INMUNOHISTOQUÍMICA DE RUNX-2 EN LA SUTURA MEDIO-PALATINA DE LA RATA EN RESPUESTA A FUERZAS EXPANSIVAS DE DIFERENTES MAGNITUDES.

*Yamauchi MI¹, Ubios AM², Bozal CB².

1. Sociedad Argentina de Ortodoncia. 2. Cátedra de Histología y Embriología FOUBA

10:30 7. COMPORTAMIENTO DEL TEJIDO ÓSEO PERI-IMPLANTARIO EN PACIENTES CON SJÖGREN. INFORME PRELIMINAR.

*Gotelli LP, Martínez C, Onofre C, Labanca L, Filippi N, Fernández CA, Furlan CN, Negrini FB, Tamini Elicegui LE, Orman B.

Cátedra de Odontología Integral Adultos FOUBA.

10:45 8. METODOLOGÍA PARA EVALUAR TRATAMIENTO CONSERVADOR EN EL AMELOBLASTOMA INTRAÓSEO MANDIBULAR.

*Hernández S¹, Villegas KM¹, Andrada MM¹, Drago A¹, Vazquez D², Itoiz ME³, Paparella ML³, Stolbizer F¹.

FOUBA. 1. Cátedra de Cirugía y Traumatología Bucocomaxilofacial II. 2. Cátedra Diagnóstico por Imágenes. 3. Cátedra Anatomía Patológica.

SALON: DESAYUNADOR

GLANDULAS SALIVALES Y MUCOSA BUCAL

Presidente: López de Blanc, Silvia

Secretario: Centeno, Viviana

9:00 9. ALTERACION DE LA PROTEOMICA EN SALIVA SUBMANDIBULAR DE RATAS TRATADAS CON FLUORURO.

*Gallaró RV¹, Lima Leite A², Ponce RH¹, Centeno VA¹, Rabelo Buzalaf MA.²

1. Cátedra "A" de Química Biológica, Facultad de Odontología UNC (Córdoba, Argentina). 2. Bauru School of Dentistry, University of Sao Paulo, Alameda Octavio Pinheiro, Brisolla, 9-75, 17012-901 Bauru (SP, Brazil).

9:15 10. SUBTIPOS INFRECIENTES DE CARCINOMAS DE CÉLULAS ESCAMOSAS DE LA CAVIDAD BUCAL.

*Masquijo Bisio PA^{1,2}, Olvi LG¹, Pérez MA¹, Raimondi AR¹, González Roma LB², Scola MJ², Werner LC², Adler LI², Itoiz ME¹, Paparella ML¹.

FOUBA. 1. Cátedra de Anatomía Patológica. 2. Cátedra Clínica Estomatológica.

9:30 11. ANÁLISIS DE 45 CASOS DE SÍFILIS QUE ASISTIERON A UN CONSULTORIO ODONTOLÓGICO DE HOSPITAL DE ENFERMEDADES INFECCIOSAS EN CÓRDOBA CAPITAL.

*Allende AA^{1,2}, Belardinelli PA^{1,2}, Fabbro AM², Piccioni OA², Abregú M², Liandro MF¹, López de Blanc SA^{1,2}.

1. Cátedra de Estomatología B. Facultad de Odontología UNC. 2. Servicio de Estomatología, Consultorio de Odontología. Hospital Rawson. Córdoba.

9:45 12. PRESENTACIÓN CLÍNICA DE SÍFILIS SECUNDARIA Y SU RELACIÓN CON LAS PRUEBAS DE LABORATORIO.

*Allende AA^{1,2}, Belardinelli PA^{1,2}, Fabbro AM², Piccioni OA², Abregú M², Domínguez EJ¹, López de Blanc SA^{1,2}.

1. Cátedra de Estomatología B. Facultad de Odontología UNC. 2. Servicio de Estomatología, Consultorio de Odontología. Hospital Rawson. Córdoba.

10:00 13. VIRUS DEL PAPILOMA HUMANO Y SU ASOCIACIÓN CON LESIONES ESTOMATOLÓGICAS

Verdu SD¹, *Mastrotta P¹, García MG², Rodríguez C², Tatti S³, Adler I¹, Nalli GA¹.

1. FOUBA. 2. MANLAB. 3. Facultad de Medicina UBA

10:15 14. TASAS DE INCIDENCIA Y MORTALIDAD POR CÁNCER BUCAL. CÓRDOBA, ARGENTINA (PERÍODO 2004-2013)

*Berasategui L, Morelatto R, Belardinelli P, Bolesina N, Lopez de Blanc SA.

Cátedra de Estomatología B, Facultad de Odontología UNC

10:30 15. DESARROLLO DE UN BIOSENSOR ENZIMÁTICO PARA LA DETECCIÓN DE ACETALDEHÍDO EN SALIVA.

*Berasategui L¹, Comba F², Lopez de Blanc SA¹, Baruzzi AM³.

1. Cátedra de Estomatología B, Facultad de Odontología UNC. 2. Departamento de Físicoquímica, Universidad Nacional de Villa María. 3. Facultad de Ciencias Químicas, UNC

JUEVES 18 DE OCTUBRE – TARDE 14:30 A 16:30 H

SALON: SUM

CARIOLOGIA Y EPIDEMIOLOGIA

Presidente: Sánchez, Gabriel

Secretario: Bella, Marcela

14:30 16. INFILTRACIÓN VERSUS REMINERALIZACIÓN: ESTUDIO PRELIMINAR EX-VIVO DE ALTERNATIVAS PARA EL TRATAMIENTO NO INVASIVO DE LESIONES POR CARIES CON MATERIALES BIOACTIVOS.

*Sainz Ajá M, Ribba L, Cabral R, Molina G.

Carrera de Odontología, Facultad de Ciencias de la Salud, UCC

14:45 17. SUPERVIVENCIA DE PIEZAS DENTARIAS CON CARIES TRATADAS CON DIAMINO FLUORURO DE PLATA

*Rossi G¹, Marchi R¹, Salgado P^{1,2}, Squassi A^{1,2}.

FOUBA. 1. Cátedra de Odontología Preventiva y Comunitaria. 2. Instituto de Investigaciones en Salud Pública

15:00 18. EFECTIVIDAD DE UN PROGRAMA ESCOLAR EN POBLACIÓN RURAL SOBRE INCIDENCIA DE CARIES.

Rossi G¹, *Marchi R¹, Salgado P^{1,2}, Squassi A^{1,2}.

FOUBA. 1. Cátedra de Odontología Preventiva y Comunitaria. 2. Instituto de Investigaciones en Salud Pública

15:15 19. INCIDENCIA DE CARIES EN ESCOLARES BAJO PROGRAMAS CON DIFERENTE MODALIDAD DE IMPLEMENTACIÓN.

Toral M¹, *Logullo R¹, Cornejo C¹, Machado A¹, Salgado P^{1,2}, Squassi A^{1,2}.

FOUBA. 1. Cátedra de Odontología Preventiva y Comunitaria. 2. Instituto de Investigaciones en Salud Pública

15:30 20. INTERVENCIONES EDUCATIVAS FAVORECEN PERCEPCIÓN DE SALUD BUCAL EN MÉDICOS DE PACIENTES VIH+.

*Medici S, Farias MA, Squassi A, Sanchez G.

FOUBA.

15:45 21. CRITERIOS CLÍNICOS PARA EL DIAGNÓSTICO DE BRUXISMO DE VIGILIA EN ADULTOS.

*Andrada MM^{1,2}, Salgado PA^{3,4}, Stolbizer F¹.

1. Cátedra de Cirugía y Traumatología Bucomaxilofacial II, FOUBA. 2. Instituto FLENI. 3. Cátedra de Odontología Preventiva y Comunitaria, FOUBA. 4. Instituto de Investigaciones en Salud Pública. UBA.

16:00 22. BRUXISMO DE VIGILIA EN ADULTOS: ANÁLISIS DIMENSIONAL DE UNA ESCALA PARA SU DIAGNÓSTICO.

*Andrada MM^{1,2}, Salgado PA^{3,4}, Stolbizer F¹.

1. Cátedra de Cirugía y Traumatología Bucomaxilofacial II, FOUBA. 2. Instituto FLENI. 3. Cátedra de Odontología Preventiva y Comunitaria, FOUBA. 4. Instituto de Investigaciones en Salud Pública. UBA.

16:15 23. CORRELACIÓN DE UNA ESCALA PARA EL DIAGNÓSTICO DEL BRUXISMO DE VIGILIA EN ADULTOS CON ELECTROFISIOLOGÍA Y NEUROPSICOLOGÍA.

*Andrada MM^{1,2}, Salgado PA^{3,4}, Stolbizer F¹.

1. Cátedra de Cirugía y Traumatología Bucomaxilofacial II, FOUBA. 2. Instituto FLENI. 3. Cátedra de Odontología Preventiva y Comunitaria, FOUBA. 4. Instituto de Investigaciones en Salud Pública. UBA.

SALON: DESAYUNADOR

MATERIALES DENTALES Y BIOMATERIALES - Endodoncia

Presidente: Brasca, Nora

Secretario: Rodríguez, Pablo

14:30 24. COMPARACIÓN DE OBTURACIONES DE RDI CON GUTAPERCHA INYECTABLE Y BIOCERÁMICO: PRUEBA PILOTO.

*Chioli NT¹, Martín G¹, Manzur E², Macchi R², Jacobo MI¹.

1. Carrera de Especialización en Endodoncia, Facultad de Ciencias de la Salud UCC.
2. FOUBA

14:45 25. MÍNIMO ESPESOR DENTINARIO DE CONDUCTOS EN C EVALUADO CON MICRO-CT Y CBCT

*Martin G¹, Arce Brisson G¹, De Caso CN¹, Chen B², Haapasalo M².

1. Carrera de Especialización en Endodoncia. Facultad de Ciencias de la Salud UCC (Córdoba, Argentina). 2. Dentistry Faculty. British Columbia University (Vancouver, Canadá).

15:00 26. EFICACIA DEL LÁSER DIODO 940nm EN LA DESINFECCIÓN DE CONDUCTOS RADICULARES EX-VIVO.

*García Basualdo MS¹, Casadoumecq AC², Perez SB³, Tejerina DP³, Gliosca LA³, Sierra LG¹, Rodriguez PA¹.

FOUBA. 1. Cátedra de Endodoncia. 2. Cátedra de Fisiología. 3. Cátedra de Microbiología y Parasitología.

15:15 27. ENTEROCOCCUS FAECALIS: VIABLE Y CULTIVABLE POSTRATAMIENTO ENDODÓNTICO EX VIVO CON LÁSER DIODO.

*Pérez SB¹, Tejerina DP¹, García Basualdo MS², Casadoumecq AC³, Rodriguez PA², Molgatini SL¹, Gliosca LA¹.

FOUBA. 1. Cátedra de Microbiología y Parasitología. 2. Cátedra de Endodoncia. 3. Cátedra de Fisiología.

VIERNES 19 DE OCTUBRE – MAÑANA 9 A 11 H

SALON: SUM

TEJIDOS DENTARIOS Y PERIODONTALES - ODONTOPEDIATRÍA Y ORTODONCIA - MICROBIOLOGÍA

Presidente: Funosas, Esteban

1ª Secretario: Garrofé, Analía

2ª Secretario: Bojanich, Alejandra

9:00 28. RESPUESTA INMUNOLOGICA SALIVAL ASOCIADO A LA COMPOSICION BACTERIANA EN EMBARAZADAS CON PERIODONTITIS.

*Solari N¹, Salas L², Tabares S³, Rosella C¹, Villarruel C⁴, Moyano T², Ribotta de Albera E², Usin MM¹, Sembaj A³.

1. Cátedra B de Periodoncia, Facultad de Odontología UNC. 2. Fundacion Independencia, UNCuyo. 3. Cátedra de Bioquímica y Biología Molecular, Facultad de Ciencias Médicas UNC. 4. Facultad de Ciencias Económicas UNC.

9:15 29. INCLINACIÓN VESTÍBULO LINGUAL DEL CONDUCTO MENTONIANO EN PACIENTES DE SAN MIGUEL DE TUCUMÁN.

*Wuscovi LF¹, Agüero D², Lopez ME³, Aragon HN¹.

Facultad de Odontología UNT. 1. Catedra de Radiología. 2. Servicio Diagnóstico por Imágenes. 3. Cátedra Química Biológica.

9:30 30. SANGRADO Y APARICIÓN DE HEMATOMAS POST EXTRACCIÓN DENTARIA, EN PACIENTES ANTICOAGULADOS

*Vassallo M, Aguilar J, Zamberlin J, Diaz Roig M, Duran A.

USAL_AOA

9:45 31. UTILIZACIÓN DEL MÉTODO DE DEMIRJIAN PARA ESTIMACIÓN DE LA EDAD DENTARIA EN RADIOGRAFÍAS PANORÁMICAS.

*Briem Stamm AD¹, Carriego MT¹, Vazquez DJ², Pujol MH², Saiegh J², Bielli V², Hecht P². FOUBA. 1. Cátedra de Odontología Legal y Forense. 2. Cátedra de Diagnóstico por Imágenes

10:00 32. SISTEMA DE CONDUCTOS EN C EN SEGUNDOS MOLARES INFERIORES EVALUADOS MEDIANTE TOMOGRAFÍA CONE-BEAM.

*Chaintiou Piorno R¹, Consoli Lizzi EP¹, Saiegh J², Vázquez DJ², Gualtieri AF³, Rodriguez PA¹.

FOUBA. 1. Cátedra de Endodoncia. 2. Cátedra de Diagnóstico por Imágenes. 3. Cátedra de Biofísica y Bioestadística

10:15 33. MELATONINA: EFECTOS ANTIOXIDANTE Y DIFERENCIADOR EN CULTIVOS CELULARES DE ENCÍA DE RATA.

*Solá VM¹, Aguilar JJ², Fontana S³, Carpentieri AR¹.

1. Cátedra. "B" de Química Biológica, FO-UNC, INICSA-UNC/CONICET. 2. Instituto Dr. José M. Vanella. Fac. Cs. Médicas. 3. Cátedra A de Histología y Embriología, FO-UNC.

10:30 34. MODELO EXPERIMENTAL PARA EL ESTUDIO DEL MOVIMIENTO ORTODÓNICO HACIA UN ALVÉOLO POSTEXTRACCIÓN.

*Cabirta ML¹, Nuñez FL², Estevez AN³, Vázquez DJ³, Friedman SM¹, Rodríguez PN¹, De Lucca RC¹.

FOUBA. 1. Cátedra de Bioquímica General y Bucal. 2. Cátedra de Fisiología. 3. Cátedra de Diagnóstico por Imágenes.

10:45 35. PRODUCCIÓN DE PROTEINASA EN CANDIDA DUBLINIENSIS Y CANDIDA ALBICANS EN PACIENTES VIH+.

González MI¹, *Dubois VA¹, Martinez ME¹, Sanchez GA², Molgatini SL¹.

FOUBA. 1. Cátedra de Microbiología y Parasitología. 2. Cátedra de Biofísica y Bioestadística

SALON: DESAYUNADOR

EDUCACION ODONTOLOGICA

Presidente: Plavnik, Luis

Secretario: Giaquinta, María de los Angeles

9:00. 36. VALORACIÓN DE CURSOS DE POSTGRADO SEMI PRESENCIALES DE LA FO UDELAR A PRÓPOSITO DE LA EVALUACIÓN DE CURSOS DE HISTOLOGÍA APLICADA A LA PERIODONCIA Y ORTOPEDIA

*Tapia G, Gutierrez C, Cataldo A.

Facultad de Odontología UdelaR (Montevideo, Uruguay).

9:15 37. OBSTÁCULO EPISTEMOLÓGICO EN LA ENSEÑANZA DE LA RELACIÓN CÉNTRICA EN PROSTODONCIA.

*Aredes JE, Varela LB, Rodriguez A, Caputo LG.

Carrera de Especialización en Prostodoncia. FOUBA

9:30 38. ESTRATEGIAS DE APRENDIZAJE EN ESTUDIANTES UNIVERSITARIOS DE DIFERENTES COMUNIDADES EPISTÉMICAS.

Basterrechea L^{1,2}, Gomez Diz W¹, *Argentieri A³, Salgado P^{2,3}, Bordoni N^{2,3}.

1. Facultad de Arquitectura UBA. 2. Instituto de Investigaciones en Salud Pública. 3. Cátedra de Odontología Preventiva y Comunitaria FOUBA.

9:45 39. INVENTARIO DE ESTRATEGIAS DE ESTUDIO Y APRENDIZAJE EN ESTUDIANTES DE ODONTOLOGÍA

Argentieri A¹, *Culacciati C¹, Basterrechea L^{2,3}, Squassi A^{1,2}, Salgado P^{1,2}, Bordoni N^{1,2}.

1. FOUBA. Cátedra de Odontología Preventiva y Comunitaria. 2. Instituto de Investigaciones en Salud Pública. 3. Facultad de Arquitectura UBA.

10:00 40. PARTICIPACIÓN DE ALUMNOS EN UN PROGRAMA ODONTOLÓGICO RURAL. ANÁLISIS DE RENDIMIENTO OPERATIVO.

Rossi G¹, *Masoli C¹, Sorazabal A¹, Fernandez CR¹, Salgado P^{1,2}, Capuano C^{1,2}.

1. FOUBA. Cátedra de Odontología Preventiva y Comunitaria. 2. Instituto de Investigaciones en Salud Pública.

VIERNES 19 DE OCTUBRE – TARDE 14:00 A 16:00 H

SALON: SUM

CARIOLOGIA Y EPIDEMIOLOGIA

Presidente: Masoli, Carla

Secretario: Ulloque, Jorgelina

14:00 41. EVALUACIÓN DEL ESTADO GINGIVO-PERIODONTAL EN EL SERVICIO DE ODONTOLOGÍA MATERNIDAD PROVINCIAL CÓRDOBA.

*Salas L¹, Tabares S², Solari N³, Rosella C³, Villarruel C⁴, Alloati B³, Ghirardi F⁵, Ribotta de Albera E¹, Usin MM³, Sembaj A².

1. Fundación Independencia (sede Córdoba), UNCuyo. 2. Cátedra de Bioquímica y Biología Molecular, Facultad de Ciencias Médicas, UNC. 3. Cátedra B de Periodoncia, Facultad de Odontología, UNC. 4. Facultad de Ciencias Económicas, UNC. 5. Cátedra A de Periodoncia, Facultad de Odontología UNC.

14:15 42. PREVALENCIA Y FACTORES DE RIESGO DE EROSIÓN DENTAL EN ESCOLARES URBANOS Y RURALES.

*Sorazabal A¹, Pagano MC¹, Dellepiane ME¹, De Santis MA¹, Salgado P^{1,2}, Argentieri A¹.

1. FOUBA Cátedra de Odontología Preventiva y Comunitaria. 2. Instituto de Investigaciones en Salud Pública

14:30 43. MORBILIDAD POR CARIES EN NIÑOS DE 5 AÑOS BAJO PROGRAMA ODONTOLÓGICO FOCALIZADO.

*Fuks J¹, Fort A¹, Napoli A¹, Salgado P^{1,2}, Pazos X¹, Klemonsks G^{1,2}, Squassi A^{1,2}.

1. FOUBA Cátedra de Odontología Preventiva y Comunitaria. 2. Instituto de Investigaciones en Salud Pública

14:45 44. GESTIÓN INSTITUCIONAL INTERNA PARA LA EJECUCIÓN DEL ANÁLISIS DE SITUACIÓN EN SALUD.

*Bordoni N, Squassi A.

FOUBA Cátedra de Odontología Preventiva y Comunitaria. Instituto de Investigaciones en Salud Pública.

15:00 45. CALIDAD DE VIDA RELACIONADA CON SALUD BUCAL EN ESCOLARES DE COMUNIDADES ETNOGRÁFICAS DIFERENTES.

Fernandez C¹, *Pagano MC¹, Argentieri A¹, Squassi A^{1,2}, Salgado P^{1,2}, Bordoni N^{1,2}.

1. FOUBA Cátedra de Odontología Preventiva y Comunitaria. 2. Instituto de Investigaciones en Salud Pública

15:15 46. AUTOESTIMA Y SALUD BUCAL EN ADULTOS CON PATOLOGÍAS PSIQUIÁTRICAS POST-TRATAMIENTO REHABILITADOR PROTÉTICO.

*Morasso AM¹, Perez Meyer ML¹, Marseillan M¹, Bordoni N^{2,3}, Squassi A^{2,3}.

1. Doctorado en Ciencias de la Administración, Facultad de Ciencias Económicas UNLP.

2. FOUBA. Cátedra de Odontología Preventiva y Comunitaria. 3. Instituto de Investigaciones en Salud Pública.

15:30 47. AUTOPERCEPCIÓN DE SALUD BUCAL, EMPLEABILIDAD Y CONDICIONES SOCIODEMOGRÁFICAS: ANÁLISIS DE UN INSTRUMENTO

*Perez MB¹, Cotelo L¹, Sanchez ML¹, Bordoni N^{1,2}, Squassi A^{1,2}, Salgado P^{1,2}, D Eramo L^{1,2}.

1. FOUBA Cátedra de Odontología Preventiva y Comunitaria. 2. Instituto de Investigaciones en Salud Pública

15:45 48. AUTOPERCEPCIÓN DE SALUD BUCAL Y EXPECTATIVAS DE EMPLEABILIDAD: DISEÑO Y VALIDACIÓN DE CUESTIONARIO.

*Sanchez ML¹, Cotelo L¹, Perez MB¹, Bordoni N^{1,2}, D Eramo L^{1,2}, Salgado P^{1,2}, Squassi A^{1,2}.

1. FOUBA Cátedra de Odontología Preventiva y Comunitaria. 2. Instituto de Investigaciones en Salud Pública

SALON: DESAYUNADOR

MATERIALES DENTALES Y BIOMATERIALES

Presidente: Macchi, R

Secretario: Cabral, Ricardo

14:00 49. ESTUDIO COMPARATIVO DE RESISTENCIA FLEXURAL RESINAS ACRÍLICAS POR MICROONDAS Y ALTO IMPACTO.

*Atala JL, Ocampo M, Cabral R, Ibañez C, Brochero G.
Facultad de Odontología UNC.

14:15 50. RESINA CAD-CAM PARA DENTADURA: ANÁLISIS LONGITUDINAL Y COMPARATIVA DE RUGOSIDAD Y MICRODUREZA.

*Marcillo Toala OO, Moreira Bringel Da Costa R, Alves da Silva R, Neppelenbroek KH, Magalhães C, Soares Lara V, Carvalho Porto V.
Facultad de Odontología de Bauru, USP (Brasil)

14:30 51. INTERFASE ADHESIVA DE UN CEMENTO UTILIZADO PARA FIJAR POSTES DE FIBRA.

*Thompson L, Kokubu S, Pepe G, Martinez C, Tamini Elicegui LE, Abate PF.
Cátedra Odontología Integral Adultos FOUBA.

14:45 52. INTEGRIDAD DE UN CEMENTO UTILIZANDO DIFERENTES TÉCNICAS PARA FIJAR POSTES DE FIBRA.

*Kokubu S, Pepe G, Thompson L, Tamini Elicegui LE, Abate PF.
Odontología Integral Adultos, FOUBA

15:00 53. MICRODUREZA DE UNA RESINA BULK-FILL POLIMERIZADA CON TRES REGÍMENES DE CURADO

*Picca M, Garrofé A, Kaplan A.
Cátedra Materiales Dentales FOUBA

15:15 54. MICRODUREZA DE RESINAS BULK-FILL POLIMERIZADAS CON DIFERENTES UNIDADES DE CURADO

*Garrofé A, Picca M, Kaplan A.
Cátedra Materiales Dentales FOUBA

15:30 55. DESEMPEÑO CLÍNICO PRELIMINAR DE POSTES ANATÓMICOS EN DIENTES ANTERIORES SIN REMANENTE CORONARIO.

*Zúccaro PS, Nastrun NJ, Abate PF.
FOUBA. Cátedra de Odontología Integral Adultos.

15:45 56. DESEMPEÑO CLÍNICO PRELIMINAR DE RESTAURACIONES DIRECTAS EN PIEZAS POSTERIORES CON RESINAS BULK FILL

*Nastrun NJ, Zúccaro PS, Abate PF.
FOUBA. Cátedra de Odontología Integral Adultos.



PRESENTACIONES PÓSTERES

PRESENTACIONES EN PÓSTER

JUEVES 18/10 9-11 H

SALON: QUINCHO

MATERIALES DENTALES Y BIOMATERIALES

Veedores: Molina G, Picca M, Busleiman F, Kaplan A, Gigena D, Sezín M, Chávez Lozada J, Abate P.

57. ADHESIÓN DE CÉLULAS MADRE SOBRE IMPLANTES DE POLIETERETERCETONA Y TITANIO. ESTUDIO COMPARATIVO.

*Basal RL, Lazo S, Butler TA, Spina M, Viscovic C, Pazos F, Amaro E, Dalessandro J, Borrillo G, Lazo G.

Facultad de Odontología UNLP.

58. COMPARACIÓN DE LA DESADAPTACIÓN DE UN COMPOSITE BULK FILL APLICADO EN BLOQUE Y EN CAPAS

*Mirotti G, Kraemer ME, Lutri MP, Monserrat N, Piconi C, Caballero AL, Rozas CA, Sezin M.

Facultad de Odontología UNC.

59. COMPARACIÓN DE INTERFACES DENTINA-ADHESIVOS UNIVERSALES APLICADOS CON DIFERENTES TRATAMIENTOS DENTINARIOS.

*Kraemer ME, Lutri MP, Mirotti G, Monserrat N, Piconi C, Caballero AL, Rozas CA, Sezin M.

Facultad de Odontología UNC.

60. EVALUACIÓN DE RESISTENCIA A LA FRACTURA DE CARILLAS CERÁMICAS, CON DIFERENTES DISEÑOS.

*Cacciamano JA¹, Ibáñez CA¹, Urquía Morales MC².

Facultad de Odontología UNC. 1. Cátedra Prostodoncia I "A". 2. Cátedra Operatoria I "B".

61. INCIDENCIA DE LA LUZ OPERATORIA SOBRE LOS COMPOSITOS FLOW. EVALUACIÓN DE SU FOTOSENSIBILIDAD.

Marcarian L*, Lauriola L, Luppino L, Pastene G, Zaiden S.

Cátedra Técnica de Operatoria Dental. FOUBA.

62. ASPECTOS MORFOLÓGICOS DE LA INTERFAZ DENTINA-SISTEMAS CEMENTANTES EN DIENTES CON POSTES-ESTUDIO CON MEB.

*Gigena CD, Gil Rodriguez P, Jais M, Martinez H, Peralta Porcel N, Julián S.

Facultad de Odontología UNC. Depto. de Rehabilitación Oral. Cat. de Prostodoncia I "B"

63. CONSTRUCCIÓN DE PROTOCOLOS PARA EL TRATAMIENTO DE LESIONES CERVICALES DENTARIAS.

*Busleiman FJ, Gutvay AV, Holzmann G, Carnino Ferreccio ML, Magliano RO, Spadillero de Lutri MM.

Facultad de Odontología UNC.

64. EVALUACIÓN EX-VIVO DE LA MICROFILTRACIÓN DE RESINAS COMPUESTAS BULK FILL Y UN COMPOSITE NANOHIBRIDO

*Brasca NB, Urquía Morales MC, Girardi MR, Bonnin CE, Chavez Lozada JS, Rios Martínez MA, Girardi I, Delgado AV.

Facultad de Odontología UNC.

65. RADIOPACIDAD DE MATERIALES UTILIZADOS COMO SUSTITUTO DENTINARIO.

Lei MA, *Rivelli M, Picca M, Kaplan ME.

FOUBA.

66. ESTUDIO COMPARATIVO DE LA ADAPTACIÓN MARGINAL DE DOS COMPUESTOS DE TRIÓXIDO MINERAL.

*Gutiérrez MC, Cabral RJ, Menis de Mutal L.

Facultad de Odontología UNC.

67. Análisis Comparativo de Técnicas de Irrigación en Retratamientos Endodónticos.

*Carvajal MI, De Caso CN.

Cátedra "A" de Endodoncia. Facultad de Odontología UNC.

68. VARIACIÓN DE PH EN MATERIALES DE RETROOBTURACIÓN PARA MICROCIURUGÍA APICAL

Rodriguez P¹, Lenarduzzi A¹, Brañas G¹, Grisolia B¹, *Iuliano R¹, Gualtieri A².

1. Departamento de Endodoncia FOUBA. Hospital Dental Universitario. 2. Departamento de Biofísica y Bioquímica FOUBA.

69. EVOLUCIÓN EN LONGITUD Y ESPESOR RADICULAR EN DIENTES TRATADOS CON PROCEDIMIENTOS DE REGENERACIÓN PULPAR.

*Consoli E, Sierra L, Ritacco E, Pinasco L, Gomez N, Labarta A, Corominola P.

FOUBA.

70. BIOCMPATIBILIDAD DE MATERIALES DE USO ENDODÓNTICO, EVALUACIÓN IN VIVO

*Miguel AM¹, Rodriguez PA¹, Renou SJ².

FOUBA. 1. Cátedra Endodoncia. 2. Cátedra Anatomía Patológica.

71. INFLUENCIA DEL TIEMPO Y COLOR EN LA DEFORMACIÓN DE LAS CADENAS ELASTOMÉRICAS DE CINCO MARCAS DIFERENTES

*Jyeynyffa Oliveira R¹, Carvalho HM¹, Coelho Garcia Pereira L².

1. UniEVANGÉLICA. 2. Faculdade Metropolitana de Anápolis (Brasil)

72. DEGRADACIÓN DE FUERZAS EN CADENAS ELASTOMÉRICAS

*Carvalho HM¹, Jyeynyffa Oliveira R¹, Coelho Garcia Pereira L².

1. UniEVANGÉLICA. 2. Faculdade Metropolitana de Anápolis (Brasil)

73. VALORACIÓN DEL INDICE DE REMANENTE ADHESIVO EN ESMALTE Y BRACKETS METÁLICOS – CERAMICOS

Angaramo LE*, Spadillero de Lutri MM.

Facultad de Odontología UNC. Departamento de Rehabilitación Oral. Cátedra de Operatoria II "B".

74. ANÁLISIS IN-SILICO DE LA BIOMECÁNICA DE OVERDENTURES MANDIBULARES CON SISTEMA MICRO ERA®

*Del Rio-Silva L¹, Ferreira FF², Valente Veloso D¹, Yoshito Noritomi P³, Xediek Consani RL¹, Barão VAR¹, Ferraz Mesquita M¹.

1. Faculdade de Odontologia de Piracicaba FOP/UNICAMP. 2. Faculdade de Odontologia São Leopoldo Mandic. 3. Centro de Tecnologia da Informação Renato Archer (Brasil).

75. MENSURACIÓN DEL RUIDO DE TURBINAS DE ALTA ROTACIÓN POR APLICACIONES MÓVILES DE SMARTPHONES

*Silva YA¹, Neto LJ¹, Rodrigues R¹, Martins GA, Coelho Garcia Pereira LCG².

1. UniEVANGÉLICA. 2. Faculdade Metropolitana de Anápolis (Brasil).

76. ESTUDIO COMPARATIVO DE INJERTOS DE CERÁMICA EN CONEJOS DE NUEVA ZELANDA.

Garcés Villala MA¹, Rico SD¹, Fontana S², *Malberti AI².

1. Fundación "Corazón de Jesús". Pcia. de San Juan. 2. Cátedra Histología "A". Facultad de Odontología UNC.

77. BIOTRIBOCORROSIÓN DE IMPLANTES DE TITANIO: EFECTO CRÓNICO DE MICRO Y NANOPARTÍCULAS.

*Domingo MG¹, Maglione G^{2,3}, Martin M⁴, Brites F^{4,5}, Tasat DR^{2,3}, Olmedo DG^{1,5}.

FOUBA. 1. Cátedra de Anatomía Patológica. 2. Cátedra de Histología y Embriología. 3. Laboratorio de Biología Celular del Pulmón, Escuela de Ciencia y Tecnología, UNSAM. 4. Facultad de Farmacia y Bioquímica UBA. Departamento de Bioquímica Clínica. Laboratorio de Lípidos y Lipoproteínas. 5. Consejo Nacional de Investigaciones Científicas y Técnicas (CONICET).

78. EVALUACIÓN TISULAR Y BIODEGRADACIÓN DE UN IMPLANTE BASADO EN ÁCIDO POLILÁCTICO (PLA PL 65).

*Renou SJ¹, Pérez E^{2,3}, Olmedo DG^{1,3}

1. Cátedra de Anatomía Patológica FOUBA. 2. Centro de Investigación y Desarrollo en Plásticos, Instituto Nacional de Tecnología Industrial (INTI-Plásticos). 3. Consejo Nacional de Investigaciones Científicas y Técnicas (CONICET).

79. ESTUDIO IN VITRO SOBRE LA ADHESIÓN DE PREVOTELLA MELANINOGÉNICA EN IMPLANTES DENTALES DE POLIETER ÉTER CETONA (PEEK)

*Friso NE, Lazo S, Escudero E, De Landaburu F, Butler T, Belloni F, Merlo D, Ivanov MM, Lazo V, Bentivegna N.

Facultad de Odontología UNLP.

80. BIOFILM ORAL IN VITRO SOBRE TRES SUSTRATOS DIFERENTES: TITANIO, ZIRCONIO Y POLIETER-ETERCETONA (PEEK)

*Spina M, Butler T, Lazo S, Escudero E, Borrillo C, Amaro E, Pazos F, Alfaro G, Ivanov M, Belloni F.

Facultad de Odontología UNLP.

81. APLICACIÓN DE CIANOACRILATOS CONTRA CANDIDA ALBICANS: ESTUDIO IN VITRO

*Marcillo Toala OO¹, Moreira Bringel Da Costa R¹, Gusmão de Oliveira D², Alves da Silva R¹, Seabra-Ferreira R Jr³, Soares Lara V¹, Neppelenbroek KH¹, Carvalho Porto V¹.

1. Facultad de Odontología de Bauru, USP. 2. UniNorte- Laureate International Universities. 3. Centro de Estudio de Venenos y Animales Venenosos. Facultad de Medicina de Botucatu, UNESP (Brasil).

82. NUEVA METODOLOGÍA PARA EVALUAR EL DESAJUSTE MARGINAL EN PRÓTESIS EXTENSAS SOPORTADAS POR IMPLANTES

*Veloso D, Silva L, Barbin T, Presotto AG, Barão V, Mesquita M.

Facultad de Odontología de Piracicaba, UNICAMP (Brasil).

EDUCACION ODONTOLOGICA

Veedores: Mazzeo M, Sanchez Dagum M, Luna S.

83. VALORACIÓN DE LAS CARACTERÍSTICAS LABORALES DE LOS ESTUDIANTES DEL ÚLTIMO AÑO DE FOUBA

*Ferrante AL, Cortese SG, Biondi AM.

FOUBA.

84. VALORACIÓN DE LOS ALUMNOS DE UNA CLASE TEÓRICA MEDIANTE INNOVADORA APLICACIÓN INFORMÁTICA.

Vargas Foix J¹, Rodriguez MA², Grunberg K², Ferrer B², Panero S², Sorbera L², Sanchez G², Bregains L², *Rodriguez IA².

1. Catedra "A" Marketing, Universidad Siglo XXI. 2. Cátedra B Histología, FO-UNC, Argentina.

85. EL AULA VIRTUAL COMO HERRAMIENTA COMPLEMENTARIA EN LA ENSEÑANZA DE OPERATORIA I

*Girardi MR, Brasca NB, Urquía Morales MC.

Facultad de Odontología UNC

86. INTERVENCIÓN PEDAGÓGICO DIDÁCTICA CON CINE DEBATE PARA LA IDENTIFICACIÓN DE VALORES EN DOS COHORTES DE ESTUDIANTES DE 4TO AÑO ODONTOLOGÍA UNCUYO

*Giaquinta MA, Pascucci J, Conill J, Pesce E, Torre F, Trinajstic S.
UNCuyo.

87. CUMPLIMIENTO DE NORMAS ÉTICO-LEGALES EN PACIENTES DEL HOSPITAL ODONTOLÓGICO UNIVERSITARIO

Miguel R, *Sapienza ME, Zemel M, Cocco L, Di Girolamo Pinto G, Iantosca A, Bustichi G, Bosi García S, Alfaro M, Elvira A.
Instituto de Investigaciones en Educación Superior, FOUNLP

88. PACIENTES CRONIFICADOS EN UN HOSPITAL DE URGENCIAS: MIRADA DESDE LA BIOÉTICA INTERVENCIONISTA

Ripoll S, Ríos L, *Barnetche M
Red Municipal de Bioética Clínica y Social, Municipalidad de Córdoba.

89. IMPACTO DEL VÍNCULO ESTUDIANTE-PACIENTE EN LA PRÁCTICA CLÍNICA DE GRADO

*Marega GH, Sánchez Dagum M.
Cátedra de Odontología Preventiva y Comunitaria I. Facultad de Odontología UNC.

90. ESTRÉS ACADÉMICO Y CONSUMO DE DROGAS LEGALES EN ALUMNOS INGRESANTES A LA CARRERA DE ODONTOLOGÍA, UNIVERSIDAD NACIONAL DE CÓRDOBA.

Rodríguez I¹, *Aramburu G¹, Fonseca G².
1. Facultad de Odontología UNC (Argentina). 2. Facultad de Odontología-Universidad de la Frontera - Temuco (Chile).

91. CIENCIA Y SOCIEDAD. ANÁLISIS DE CREENCIAS DE ESTUDIANTES DE ODONTOLOGÍA

*Basal RL, Ramirez S, Micinquevich S.
Facultad de Odontología UNLP.

92. PERCEPCIÓN DE ESTUDIANTES DE ODONTOLOGÍA PASANTES EN UN SERVICIO INTERDISCIPLINARIO DE SALUD.

*Ponce AF, Alvarez MR, Giraudó C, Sánchez Dagum EVt, Bella MI.
Facultad de Odontología UNC.

93. PERCEPCIÓN DE ESTUDIANTES DE ODONTOLOGÍA DE LA UDELAR EN RELACIÓN AL DESARROLLO DE ACTIVIDADES DE PRÁCTICA EN GRUPOS MULTIPROFESIONALES EN MEDIO HOSPITALARIO.

*Tapia G, Zubiaurre V, Cora M, Sosa L, Silvariño MN.
Facultad de Odontología, Udelar. (Montevideo, Uruguay)

94. APRENDIZAJE SIGNIFICATIVO Y DIAGRAMAS V EN ESTUDIANTES DE PERIODONCIA "B" / FOUNLP

*Tomas LJ, Medina MM, Seara SE, Rueda LA, Coscarelli NY, Papel GO, Tissone SE, Saporrini FO, Lozano S, Conte C.

Facultad de Odontología UNLP

95. APRENDIZAJE DE ESTUDIANTES EN LA FACULTAD DE ODONTOLOGIA EN CÓRDOBA

Vera MM, *Pescio J, Goubat A, Álvarez P, Montañez D, Filsinger A, Isla C.

Facultad de Odontología UNC, Departamento de Rehabilitación Bucal, Cátedra de Prostodoncia II Y III B.

96. DIBUJO COMO HERRAMIENTA EN LAS CONDUCTAS PREVENTIVAS DEL PROCESO SALUD-ENFERMEDAD-ATENCIÓN EN ESCOLARES

Olmos MA¹, *Cacciamano J², Brasca N³, Girardi I³, Farah M⁴, Montañez D⁵, Urquía Morales MC³, Vera MM⁵.

Facultad de Odontología UNC. 1. Departamento Preventiva y Social. Psicología Evolutiva. 2. Departamento de Rehabilitación Bucal. Prostodoncia I A. 3. Departamento de Rehabilitación Bucal. Operatoria I B. 4. Departamento de Rehabilitación Bucal. Materiales Dentales. 5. Departamento de Rehabilitación Bucal. Prostodoncia II B.

JUEVES 18/10 14:30-16:30 H

Salón Quincho

GLANDULAS SALIVALES

Veedores: Malberti A, Busamia B, Orman B.

97. EFECTOS DE RADIACIONES LASER EN TUMORES DE GLÁNDULAS SUBMAN-DIBULARES. ANÁLISIS HISTOMORFOMÉTRICO.

*Zanotti AF¹, Plavnik LM².

Facultad de Odontología UNC. 1. Cátedra de Microbiología. 2. Cátedra de Histología

98. EFECTOS DE RADIACIONES LASER EN TUMORES DE GLÁNDULAS SUBMAN-DIBULARES. ANÁLISIS INMUNOHISTOQUIMICO.

*Zanotti AF¹, Plavnik LM².

Facultad de Odontología UNC. 1. Cátedra de Microbiología. 2. Cátedra de Histología.

99. EXPRESIÓN DE LA ESFINGOMILEINASA ÁCIDA EN SALIVA HUMANA EN UN PACIENTE CON ENFERMEDAD DE NIEMANN- PICK TIPO B Y CONTROLES SANOS.

*Guzmán Barrionuevo NH¹⁻⁴, Quintar Aguirre AMF¹⁻⁴, Dodelson de Kremer R^{1,2}, Martínez LD¹⁻⁴.

1. Centro de Estudio de las Metabolopatías Congénitas, CEMECO. Facultad de Ciencias Médicas. UNC. 2. Hospital de Niños Córdoba, Argentina. 3. Biología Celular, Cátedra "B". 4. Taller de Investigación en Ciencias de la Salud. Facultad de Odontología UNC.

100. CORTISOL Y DEXAMETASONA SALIVALES APLICADOS AL ESTUDIO DE LA FUNCIÓN ADRENAL DE ADULTOS MAYORES.

*Cardoso EML¹, Arregger AL¹, Tumilasci G², Elverdín JC², Contreras LN¹.

1. IDIM A. Lanari (UBA-CONICET). 2. FOUBA.

101. LA PERIODONTITIS EXPERIMENTAL EN DIFERENTES AMBIENTES HIPÓXICOS AFECTA A LA GLÁNDULA SUBMAXILAR

Terrizzi AR^{1,2}, *Rugolo G¹, Lee CM¹, Conti MI^{1,2}, Solari JF¹, Martínez MP¹.

1. Cátedra de Fisiología, FOUBA. 2. Consejo Nacional de Investigaciones Científicas y Técnicas (CONICET)

102. CICLOFOSFAMIDA Y METABOLISMO DE HIDRATOS DE CARBONO EN GLÁNDULA SUBMANDIBULAR DE RATAS

*Mazzeo MA, Bachmeier E, López MM, Linares JA, Brunotto M, Dubersarsky C, Finkelberg AB.

Facultad de Odontología. UNC

103. HOMEOSTASIS DEL ATP EXTRACELULAR EN LOS TEJIDOS ORALES: ECTONUCLEOTIDASAS EN VESÍCULAS EXTRACELULARES DE GLÁNDULAS SALIVALES DE RATA Y DE SALIVA HUMANA

*Barbieri van Haaster MM¹, Quinteros Villarruel E², Orman B², Gonzalez DA¹.

FOUBA. 1. Cátedra de Biofísica y Bioestadística. 2. Cátedra de Farmacología.

MUCOSA BUCAL

Veedores: Masquijo Bisio P, Criscuolo MI, Renou S, Papparella ML.

104. VALIDACIÓN DE UNA ENCUESTA DISEÑADA PARA DETERMINAR EL CONOCIMIENTO SOBRE CÁNCER BUCAL.

*Lagnarini L, Fernandez R, Isla C.

Facultad de Odontología UNC.

105. DETERMINACIÓN DE LA ACTIVIDAD TELOMERASA (AT) Y LOS NIVELES DE LA ENZIMA SUPERÓXIDO DISMUTASA (SOD) Y ÁCIDO ÚRICO SALIVAL (AU) EN LESIONES POTENCIAL-MENTE MALIGNAS Y CÁNCER ORAL.

*Bachmeier E¹, Belardinelli P, Cuffini C², Mosmann JP², Barembaum S¹, Azcurra AI¹, Linares J¹, López de Blanc SA¹.

1. Facultad de Odontología, UNC. 2. Instituto de Virología. Facultad de Ciencias Médicas, UNC.

106. INFECCIÓN POR VIRUS DE PAPILOMA HUMANO EN LEUCOPLASIAS BUCALES DE PACIENTES ADULTOS DE CÓRDOBA

*Gilligan G¹, Panico R¹, Lucca A², Galindez Costa MF¹, Moine L¹, Lazos J¹, Piemonte E¹, Brunotto M¹.

1. Facultad de Odontología UNC. 2. Fundación para el Progreso de la Medicina

107. DIFERENCIACIÓN Y PROLIFERACIÓN EPITELIAL EN LESIONES ASOCIADAS A IRRITACIÓN MECÁNICA CRÓNICA ORAL Y CÁNCER BUCAL

*Gilligan G¹, Panico R¹, Di Tada C², Brunotto M¹, Piemonte E¹.

1. Facultad de Odontología UNC. 2. Fundacion para el Progreso de la Medicina

108. PREVALENCIA DE DESÓRDENES ORALES POTENCIALMENTE MALIGNOS (DOPM). CÁTEDRA ESTOMATOLOGÍA B. PERÍODO 2009 - 2017.

*Basanta C, Bolesina N, Robledo G, Morelatto R.

Facultad de Odontología UNC.

109. ESTUDIO PRELIMINAR DE LA EXPRESIÓN DE CONEXINA43 COMO POTENCIAL MARCADOR TEMPRANO DE CÁNCER ORAL

*González-Segura I¹, Secchi D², Galindez, MF², Brunotto, M¹ y Centeno V.¹

1. Departamento de Biología Bucal. Facultad de Odontología. 2. Cátedra "A" de Estomatología. Facultad de Odontología. UNC.

110. CARACTERIZACIÓN HISTOPATOLÓGICA DE LIQUEN PLANO ORAL Y LESIONES LIQUENOIDES ORALES (ESTUDIO PRELIMINAR)

Tomasi R¹, Cuffini CG², *Ferreira de Prato RS¹.

1. Facultad de Odontología UNC. 2. Instituto de Virologia FCM-UNC

111. FACTORES HEREDITARIOS, PERSONALES Y ESTADO BUCAL EN PACIENTES CON LESIONES ESTOMATOLÓGICAS. ESTUDIO COMPARATIVO.

* Massaia C, Isaia C, Caciva R, Criscuolo I, Zapata M, Robledo G.

Clínica Estomatológica B. Facultad de Odontología UNC

ATM, MUSCULOS MASTICADORES Y DOLOR OROFACIAL

Veedores: Canzobre M, Carpentieri A.

112. COMPARACIÓN ENTRE LA ARTICULACIÓN TÉMPOROMANDIBULAR Y LAS ARTICULACIONES DE MANOS EN ARTRITIS.

*Rhys KV, Gobbi C, Albiero A, Busamia B, Savio V, Quaglia MI, Alonso C, Re R, Marchegiani S, Alba P.

UNC.

113. EFECTO ACTIVADOR E INHIBIDOR DE PRILOCAÍNA DEPENDIENTE DE K⁺ SOBRE Ca-ATPasa.

*Di Croce DE, De La Cal C, Toma AF, Sánchez GA, Takara D.

Cátedra de Biofísica y Bioestadística. FOUBA

114. CAMBIOS ESTRUCTURALES Y LIPOPEROXIDACIÓN DE MEMBRANA DE MÚSCULO MASETERO POR ANESTÉSICOS LOCALES.

*De La Cal C, Di Croce DE, Richard SB, Gualtieri AF, Takara D.

Cátedra de Biofísica y Bioestadística. FOUBA

115. ETIDOCAÍNA Y ROPIVACAÍNA INHIBEN LA SERCA 2a DE MÚSCULOS MASTICADORES.

*Borbolla L, Lasaga I, Corti S, Toma A, Sanchez G.
FOUBA. Cátedra de Biofísica y Bioestadística.

116. DIBUCAÍNA INHIBE A LA SERCA DE MÚSCULO PTERIGOIDEO INTERNO.

*Corti S, Lasaga I, Marchio C, Toma A, Sanchez GA.
FOUBA. Cátedra de Biofísica y Bioestadística.

117. CARACTERIZACION DEL EFECTO DE ETIDOCAÍNA SOBRE LA SERCA2a DE PTERIGOIDEO INTERNO.

*Toma A, Lasaga I, Borbolla L, Sánchez GA.
FOUBA. Cátedra de Biofísica y Bioestadística.

118. USO DE ANESTÉSICOS LOCALES POR ODONTÓLOGOS GENERALISTAS EN CIUDAD DE BUENOS AIRES.

*Lasaga I, Toma A, Marchio C, Borbolla L, Sanchez G.
FOUBA. Cátedra de Biofísica y Bioestadística.

119. RELACIÓN ENTRE DISFUNCIÓN TEMPOROMANDIBULAR Y LAS ANOMALIAS DE OCLUSIÓN

*Pelález AN, Rosende MN, Mazza SM.
Facultad de Odontología UNNE.

MICROBIOLOGIA E INMUNOLOGIA

Veedores: Zárate AM, Saravia M.

120. COMPARACIÓN ENZIMÁTICA DE CANDIDA SPP. EN PACIENTES VIH+ CON Y SIN TRATAMIENTO.

González MI¹, *Martínez ME¹, Dubois VA¹, Sanchez GA², Molgatini SL¹.
FOUBA. 1. Cátedra de Microbiología y Parasitología. 2. Cátedra de Biofísica y Bioestadística.

121. IDENTIFICACIÓN MORFOLÓGICA DE S. MUTANS Y S. SOBRINUS EN MEDIO DE CULTIVO SB-20M COMPARADA CON LA TÉCNICA PROTEÓMICA MALDY TOF.

Saravia ME, Assed B da Silva L, Assed Silva RAB, Cudmani N, *Tineo S, Córdoba C, Nelson Filho P.

Catedra de Microbiología y Parasitología. Laboratorio de Biología Oral LABOFOUNT, UNT (Argentina). FORP/USP, Universidad de São Paulo (Brasil).

ODONTOPEDIATRIA Y ORTODONCIA

Veedores: Folco A, Bozal C, De Lucca R, Martinez C.

122. VALIDACIÓN DE UN CUESTIONARIO DE FACTORES DE RIESGO CARIOGÉNICO EN BEBÉS

*Fuks AJ, Levy TN, Mendel NB.

FOUBA. Cátedra Odontología Integral Niños.

123. HÁBITOS DIETÉTICOS, PLACA VISIBLE Y CARIES EN BEBÉS.

Mendel NB¹, Fuks JA¹, Levy TN¹, Matyus TN¹, Gualtieri A², *Fernández MG¹.

FOUBA. 1. Cátedra de Odontología Integral Niños. 2. Cátedra de Biofísica y Estadística.

124. EVALUACION CLINICA Y MICROBIOLOGICA DE DIFERENTES TECNICAS DE REMOCION DE CARIES EN PIEZAS DENTARIAS TEMPORARIAS.

*Cardoso ML, Galeana AV, Goicochea P.

Catedra de Odontopediatria. Facultad de Odontología UNNE

125. RESPUESTA A LA APLICACIÓN DE UN APARATO ORTODÓNICO PARA EL CIERRE DE ESPACIO EN RATAS.

Labate L, Salvatierra M, Estevez A, Ubios A, *De Lucca R.

FOUBA

126. NIÑOS PREESCOLARES CON SUCCIÓN NUTRITIVA Y NO NUTRITIVA Y ESCOLARIDAD MATERNA.

*Fiallega DS¹, Fuks J¹, Levy T¹, Mendel N¹, Gualtieri A², Fernandez M¹, Mendel A¹.

FOUBA. 1. Cátedra de Odontología Integral Niños. 2. Cátedra de Biofísica y Estadística.

127. ANÁLISIS DEL OBJETIVO PRIMARIO EN LOS PROCEDIMIENTOS REGENERATIVOS. SERIE DE CASOS

*Moya MA, Guitelman IC.

FOUBA. Cátedra Odontología Integral Niños.

128. CONE BEAM EN ORTODONCIA AUTOLIGABLE BTM. ESTUDIO PRELIMINAR.

*Folco A, Solla M, Méndez P, Calabrese D, Doi Y, Garrofé A, Iglesias M, Rigüero G, Benítez Rogé S, Mateu ME.

Cátedra de Ortodoncia, FOUBA

129. ANOMALÍAS DENTARIAS ORIGINADAS EN LAS ETAPAS ODONTOGÉNICAS EN PACIENTES CON MALFORMACIONES OROFACIALES.

*Ochonga GE^{1,2}, Martinez MC¹.

FO-UNC. 1. Cátedra de Integral Niños y Adolescentes B, Área Odontopediatria. 2. Servicio de Atención a Pacientes con Fisuras Labioalveolopalatinas.

VIERNES 19/10 - 09:00 A 11:00 H

SALÓN QUINCHO

CARIOLOGIA Y EPIDEMIOLOGIA

Veedores: D´Eramo L, Gigena P, Carletto Körber F, Hernando L, Fernández CA, Squassi A, Carpentieri A.

130. STREPTOCOCCUS GRUPO MUTANS EN INFANTES CONCURRENTES A CENTROS EDUCATIVOS MATERNO-INFANTILES. ESTUDIO PRELIMINAR.

*Cornejo C¹, Rossi G¹, Klemonsks G¹, Gliosca L², Squassi A^{1,3}.

FOUBA. 1. Cátedra de Odontología Preventiva y Comunitaria. 2. Cátedra de Microbiología y Parasitología. 3. Instituto de Investigaciones en Salud Pública

131. MICRODUREZA VICKERS DE DENTINA TRATADA CON DIAMINOFLUORURO DE PLATA. ESTUDIO PRELIMINAR.

*Rossi GN¹, Mandalunis PM², Kaplan AE³.

FOUBA. 1. Cátedra de Odontología Preventiva y Comunitaria. 2. Cátedra Histología y Embriología. 3. Cátedra de Materiales Dentales

132. MOLARES EN C. EPIDEMIOLOGÍA EN PRÁCTICAS CLÍNICAS DE POSTGRADO CEFOUBA.

*González Pin C, Labarta AB, Sierra LG.

FOUBA. Carrera de Especialización en Endodoncia

133. HÁBITOS ALIMENTARIOS Y SALUD BUCODENTAL DE NIÑOS QUE ASISTEN A UN JARDÍN DE INFANTES PÚBLICO EN LA CIUDAD DE CÓRDOBA, 2017

*Rocamundi MR, Chocobares A, Vincens M, Weilenmann ML, Scruzzi GF.

Facultad de Ciencias de la Salud, Universidad Católica de Córdoba.

134. EFECTO DE UNA INTERVENCIÓN EDUCATIVA PARA MEJORAR LA PRESCRIPCIÓN DE ANTIBIÓTICOS.

*Karaben VE, Pomarada ME, Ramirez LI, Rea AE, Morales SD.

Facultad de Odontología UNNE

135. ADHERENCIA AL TRATAMIENTO ODONTOLÓGICO EN PACIENTES CON ENFERMEDADES SISTÉMICAS NO TRANSMISIBLES

*Lama MA¹, Caraballo JA¹, Cruz ME¹, Guanca FM¹, Lourido MG¹, Pompeo MN¹, Sheridan C¹, Winter GA¹, Sanchez GA², Nicolosi LN¹.

FOUBA. 1. CLAPAR II, Cátedra Medicina Interna. 2. CLAPAR I, Catedra De Biofísica Y Bioestadística

136. IMPACTO DE LA EDENTACIÓN PARCIAL SOBRE LA SALUD GENERAL DE PACIENTES VIH+.

*Marchio C^{1,2}, Lecumberri R¹, Squassi A^{1,3,4}, Sánchez GA^{1,2,4}.

FOUBA. 1. Clínica para la Atención de Pacientes de Alto Riesgo I. 2. Cátedra de Biofísica y Bioestadística. 3. Cátedra de Odontología Preventiva y Comunitaria. 4. Instituto de Investigaciones en Salud Pública.

137. ESTUDIO DESCRIPTIVO REGIONAL: PERCEPCIÓN DE SALUD BUCAL DE MÉDICOS EN PACIENTES VIH+.

*Farias MA^{1,2}, Medici SA^{1,3}, Squassi A^{1,3,4}, Sánchez GA^{1,2,4}.

FOUBA. 1. Clínica para la Atención de Pacientes de Alto Riesgo I (CLAPAR I). 2. Cátedra de Biofísica y Bioestadística. 3. Cátedra de Odontología Preventiva y Comunitaria. 4. Instituto de Investigaciones en Salud Pública.

138. AUTO-CUIDADO EN SALUD BUCAL, EN ESTUDIANTES DE ODONTOLOGÍA Y OTRAS CARRERAS UNC.

*Marega GH, Hernando LM, Gosso C, Rubinstein J, Sanz A, Sánchez Dagum M. Facultad de Odontología UNC.

139. SUPERVIVENCIA DE PRIMEROS MOLARES EN NIÑOS CON CARIES SEVERA DE PRIMERA INFANCIA.

*Zimmermann EL, Cachia AM, Spoletti P, Pisterna G, Milanés V. Facultad de Odontología UNR.

140. PREVALENCIA DE PÉRDIDAS ÓSEAS EN SERVICIOS ODONTOLÓGICOS PÚBLICOS DE TUCUMÁN.

*Luna S^{1,3}, Garbero I⁴, Gonzalo J⁴, Missana L^{1,2}.

1. Laboratorio de Patología Experimental, Diagnóstica e Ingeniería Tissular. Anatomía Patológica. 2. PROIMI-CONICET. 3. FOUNT. Cátedra de Educación para la Salud. 4. Hospital de Día Presidente Néstor Kirchner- Si.PRO.SA

141. EVALUACIÓN DEL ESTADO DENTARIO DE NIÑOS DE 6-7 AÑOS PERTENECIENTES AL MUNICIPIO DE SANTO PIPO MISIONES

*Sousa M, Venarotti F, Furci N, Restuccia A, García MS. UAI. Asignatura Clínica y Cirugía Integrada Niño y Adolescente III.

142. ESTADO DENTARIO EN NIÑOS DE UNA ESCUELA RURAL DE COLONIA SAN MIGUEL MISIONES

*Sousa M, Martino I, Testa M, Zurita H, Pereyra L. UAI. Asignaturas Clínica y Cirugía Integrada Niño y Adolescente II y III

143. SALUD BUCODENTAL EN NIÑOS DE UNA ESCUELA DE SALTO ENCANTADO, MISIONES

Pereyra L, *Saldaña J, Romero S, Virgillito A, Ceriani S, Sousa M. UAI. Asignatura Clínica y Cirugía Integrada Niño y Adolescente II y III

144. ESTADO DE SALUD-ENFERMEDAD DENTAL DE NIÑOS DE UNA COMUNIDAD ABORÍGENA MBYÁ GUARANÍ DEL PARAJE SARACURA, MISIONES

*Furci N, Sousa M, Bozzaotra R, Campano J, Pereyra L. UAI. Asignatura Clínica y Cirugía Integrada Niño y Adolescente II y III

145. SOCIALIZACIÓN Y CONSTRUCCIÓN DE HÁBITOS DE SALUD BUCAL.

*Gaiteri M, Copello MN, Condis G, Salas AL.

Facultad de Odontología UNR.

146. DISFUNCION TEMPOROMANDIBULAR Y SU RELACION CON LOS NIVELES DE ANSIEDAD EN EL SUJETO

*Rosende MN, Pélaez AN, Mazza SM.

Facultad Odontología UNNE

147. PREVENCIÓN DE FLUOROSIS DENTAL: UNA TECNOLOGÍA PARA REMOVER EL FLÚOR DEL AGUA

*Ponce RH, Piazza LA, Barteik ME, Piñas ME, Bojanich MA, Centeno VA, Rozas CA, Gallará RV.

Facultad de Odontología UNC. Cátedra "A" de Química Biológica.

148. ESTUDIO TRANSVERSAL DE ERUPCIÓN DENTARIA Y DETERMINANTES SOCIALES DE SALUD EN ESCOLARES

Gosso C, *Sanchez Dagum M.

Facultad de Odontología UNC

149. ADQUISICIÓN Y TRANSMISIÓN DE STEPTOCOCCUS MUTANS EN NIÑOS MENORES DE 24 MESES

*Galiana AV, Cardoso ML, Galiana MB.

Facultad de Odontología UNNE

150. SANGRADO AL CEPILLADO PROFESIONAL: VALIDEZ DIAGNÓSTICA PARA GINGIVITIS EN ADOLESCENTES. ESTUDIO PRELIMINAR

Klemonskis G¹, *Ayala MS¹, Ventura F¹, Klemonskis J², Salgado P^{1,3}, Squassi A^{1,3}.

FOUBA. 1. Cátedra de Odontología Preventiva y Comunitaria. 2. Cátedra de Periodoncia.

3. Instituto de Investigaciones en Salud Pública

151. CONSUMO DE SUSTANCIAS PSICOACTIVAS Y AZÚCARES DE JÓVENES EN SITUACIÓN DE ENCIERRO

* Barnetche MM, Cornejo LS.

Facultad de Odontología UNC

VIERNES 19/10 14:00 a 16:00 hs

TEJIDO OSEO

Veedores: Steimetz T, Rodríguez IA, Missana L, Mandalunis P.

152. CONTROL DE CALIDAD DE UN TEJIDO BIOLÓGICO MAGNÉTICO ELABORADO MEDIANTE INGENIERÍA TISULAR.

Carriel V¹, Campos F¹, Bonhome A², López-López MT², Ferraris ME³, Ferrer B⁴, Rodríguez MA⁴, *Rodríguez IA⁴.

1. Departamento de Histología (Grupo de Ingeniería Tisular), Universidad de Granada, España. 2. Departamento de Física Aplicada, Universidad de Granada, España. 3. Escuela de Graduados, Facultad de Odontología UNC. 4. Cátedra B de Histología FO-UNC, Argentina.

153. REGULACIÓN DE LA FORMACIÓN ÓSEA EN EL HUESO ALVEOLAR DE RATAS DIABÉTICAS

*Vazquez MC, Bertinelli MI, Escudero ND, Sánchez LM, Ubios AM, Bozal CB
Cátedra de Histología y Embriología FOUBA.

154. PREVALENCIA DE AGENESIA DE TERCEROS MOLARES EN JÓVENES DE SAN MIGUEL DE TUCUMÁN

*Wuscovi LF¹, Brito GN¹, Romero MS¹, Lopez ME², Aragon HN¹.
Facultad de Odontología UNT. 1. Cátedra de Radiología. 2. Cátedra de Química Biológica.

155. EFECTO DEL PAMIDRONATO Y ALENDRONATO EN LA REPARACIÓN ÓSEA PERI-IMPLANTE. ESTUDIO RADIOGRÁFICO E HISTOMORFOMÉTRICO.

*Brunengo RI¹, Virga MC¹, Renou SJ²
1. Cátedra de Farmacología, Facultad de Odontología, UNC. 2. Cátedra de Anatomía Patológica, Facultad de Odontología, UBA

156. ACTIVIDAD HUESO-ESPECÍFICA DEL MECANOSTATO EN UN MODELO DE ESTRÉS NUTRICIONAL. ESTUDIO PRELIMINAR.

*Lezón C, Agüero Romero A, Pintos P, Champin G, Bozzini C, Boyer P.
Cátedra de Fisiología FOUBA

157. EFECTO DE LA SUBMANDIBULECTOMÍA EN TIEMPOS FINALES DE LA REPARACIÓN ÓSEA POST-EXODONCIA.

*Troncoso GR¹, Steimetz T², Conti MI¹, Fernandez-Solari J^{1,3}, Elverdin JC¹, Mohn CE^{1,3}.
FOUBA. 1. Cátedra de Fisiología. 2. Cátedra de Anatomía Patológica. 3. CONICET

158. DIAGNÓSTICO DE ENFERMEDAD PERIODONTAL EN PACIENTES QUE CONCURREN A LA CÁTEDRA DE PERIODONCIA DE LA FOUNR MEDIANTE UN ESTUDIO CLÍNICO SIMPLIFICADO

Pedrol S*, Viani MS, Decco J, Boccio I, Dulong I, Rajmil A, Basaldella N, Radica M, Feser G, Funosas E.
Facultad de Odontología UNR

159. PREVALENCIA DEL HÁBITO DE FUMAR Y EXPOSICIÓN SECUNDARIA AL HUMO DE TABACO EN ESTUDIANTES DE ODONTOLOGÍA DE ROSARIO.

*González Riaño E, Radica E, Barros A, Antuña MV, Quintero A, Bello D, Grimoldi C, Mucci F, Ravenna N, Feser G, Funosas E.
Facultad de Odontología UNR

160. EFECTO DEL ZOLEDRONATO SOBRE LA PÉRDIDA ÓSEA EN UN MODELO DE PERIODONTITIS EXPERIMENTAL.

*Bernardis CA, Becker FL, Bárcenas CA, Pulitano Manisagian GE, Mandalunis P.
Cátedra de Histología y Embriología FOUBA

161. ESTUDIO LONGITUDINAL DE PACIENTES CON REABSORCIÓN ÓSEA SEVERA SIN INTENTO CON IMPLANTES EN ZONA POSTERIOR DEL MAXILAR SUPERIOR (16 AÑOS).

*Filsinger AJ¹, Brunotto M².

Facultad de Odontología UNC. 1. Cátedra de Prostodoncia III B. 2. Cátedra de Biología A.

162. REGENERACIÓN ÓSEA HORIZONTAL Y VERTICAL CON COLOCACIÓN DE IMPLANTES EN ZONA ESTÉTICA

D'Ítria JA, *Cagnolo PN, Mariani DA, Brenna EM, Dominguez JI.

Asociación Civil Odontológica Córdoba

163. DIFERENTES CARACTERÍSTICAS DE LAS RUGOSIDADES Y POROSIDAD DE LA SUPERFICIE DEL IMPLANTE SEGÚN EL ÁREA TOPOGRÁFICA

*Dantur A, Grenón M, Oliva F.

Cátedra de Periodoncia, Facultad de Odontología UNC. Procesos electroquímicos en interfaces. INFIQC, Facultad de Ciencias Químicas UNC

164. TRATAMIENTO HEMOSTÁTICO LOCAL EN EXODONCIAS REALIZADAS EN PACIENTES PORTADORES DE ENFERMEDAD DE VON WILLEBRAND TIPO 1

*Parreira M¹, Sanchez Luceros A², Gualtieri A³, Puia S¹.

FOUBA. 1. Cátedra de Cirugía y Traumatología Bucomaxilofacial I. 2. Departamento de Hemostasia y Trombosis del IIHEMA, Academia Nacional de Medicina. 3. Cátedra de Biofísica.

165. COMPARACIÓN DE LAS DIMENSIONES DE LA MEMBRANA SCHNEIDERIAN USANDO TOMOGRAFÍA COMPUTADA.

*González Althaparro CM, Monqaut JL, Sezín M, González Althaparro FC, Marengo HA, Ibañez JC

Círculo Odontológico de Córdoba, Facultad de Ciencias de la Salud, UCC.

166. EVALUACIÓN DE BIOMATERIAL PARA REGENERACIÓN ÓSEA UTILIZANDO TOMOGRAFÍA COMPUTADA CONE BEAM

*Moreno García MF^{1,2}, Manavella G², Martín A³, Pastorino N², Shemberger V², Feldman S⁴, Missana L^{1,2}.

1. PROIMI-CONICET. 2. Facultad de Odontología UNT. 3. Carrera de Veterinaria. Facultad de Agronomía y Zootecnia UNT. 4. LABOATEM-CONICET UNR

167. ESTUDIO DE LAS VARIANTES ANATÓMICAS EN EL CONDUCTO INCISIVO, MEDIANTE TOMOGRAFÍA DE HAZ CÓNICO, EN PACIENTES EDÉNTULOS

*Nart L, Antoniuk AV, Estevez ANE, Moyano WE, Vazquez DJ, Pujol MH, Calvo S, Sanchis S, Hecht P.

Cátedra de Diagnostico por Imágenes FOUBA

168. EVALUACIÓN DE LA INCIDENCIA DE LA POSICIÓN DE LA ARTERIA ALVEOLAR EN LA REABSORCIÓN ÓSEA, MEDIANTE TOMOGRAFÍA DE HAZ CÓNICO

*Nart L, Megy F, Estevez ANE, Rodriguez Orsero L, Vazquez DJ, Pujol MH, Hecht P.
Cátedra de Diagnostico por Imágenes FOUBA

169. ANÁLISIS TOMOGRÁFICO DE LOS FORÁMENES LINGUALES EN MANDÍBULAS DESDENTADAS.

*González FC, Monqaut JL, González CM, Sezin M, Ibañez JC.
Círculo Odontológico de Córdoba, Facultad de Ciencias de la Salud, UCC.

TEJIDOS DENTARIOS Y PERIODONTALES

Veedores: Itoiz ME, Fesser G, Pascucci J, Wuscovi L, Usín MM, Escudero N

170. VOLUMEN DEL TERCER MOLAR COMO DETERMINANTE DEL ANCHO ALVEOLAR DEL MAXILAR SUPERIOR.

*Grifo MB¹, Trinks PW¹, Albariño AA¹, Sánchez GA², Amer MAR¹.
FOUBA. 1. Cátedra de Anatomía. 2. Cátedra de Biofísica y Bioestadística

171. ESTUDIO COMPARATIVO PRELIMINAR DE TEJIDOS DENTARIOS EN MAMÍFEROS CON DIFERENTES HÁBITOS ALIMENTICIOS.

*Gomez Rosso MA, Fontana S, Fernández JE, Samar ME.
Facultad de Odontología UNC

172. ESTUDIO MORFOMÉTRICO DE LAS PIEZAS QUE CONFORMAN EL GRUPO MOLAR HUMANO

*Cardozo Quintana DB, Bessone GG.
UNNE

173. IDENTIFICACIÓN DE CÉLULAS MADRE EN PULPA DENTAL

*Basal RL, Paggi R, Mayocchi K, Blasetti N, Butler T, Doratti P, Pinola L, Dewey R, Micinquevich S, Merino G.
Facultad de Odontología UNLP

174. PREMOLARES HUMANOS CON TECNICA POR DESGASTE: ALTURA CUSPIDEA, REBORDES MARGINALES Y FOSITAS.

Zaffaroni M, Cueto S, *Kohli AN.
Instituto Universitario Italiano de Rosario IUNIR

175. ESTUDIO PRELIMINAR: HIPERCEMENTOSIS, RAICES DENTALES HUMANAS, PACIENTES CON PATOLOGIA PREVIA Y SANOS.

Dávila H¹, Caramés R², *Kohli AN^{2,3}.
1. Consejo de investigaciones UNR. 2. Facultad de Odontología UNR. 3. Instituto Universitario Italiano de Rosario IUNIR

176. FRECUENCIA Y VARIABILIDAD DE RASGOS MORFOLÓGICOS DENTALES EN UNA POBLACIÓN DE ESTUDIANTES UNIVERSITARIOS RESIDENTES EN CÓRDOBA, ARGENTINA

*Aramburu G¹, Rodríguez I¹, Lissera G¹, Fonseca G².

1. Facultad de Odontología UNC. 2. Facultad de Odontología, Universidad de La Frontera (Temuco, Chile)

177. CONSIDERACIONES METODOLÓGICAS EN EL ESTUDIO HISTOMORFOMÉTRICO DEL HUESO INTERRADICULAR DE LOS PRIMEROS MOLARES INFERIORES DE RATAS Wistar.

Pulitano Manisagian GE, *Nervegna MT, Nenda MM, Mandalunis PM.

Cátedra de Histología y Embriología FOUBA.

178. COMPORTAMIENTO DE LA PARED DENTINARIA FRENTE A LA IRRIGACIÓN SÓNICA Y ULTRASÓNICA PASIVA. REPORTE PRELIMINAR DE TESIS DOCTORAL.

*Labarta AB, Sierra LG.

FOUBA.

179. EFECTO PROTECTOR DE SIMVASTATINA Y CURCUMINA EN ENCÍA Y HUESO ALVEOLAR DE RATAS HIPERCOLESTEROLÉMICAS CON PERIODONTITIS

*Antona ME¹, Gonzalez GE²⁻⁴, Chiarenza AP¹, Ramos C¹, Costa OR⁵, Friedman SM¹, Macri EV¹, Steimetz T².

1. Cátedra de Bioquímica General y Bucal, FOUBA. 2. Cátedra de Anatomía Patológica FOUBA. 3. Instituto de Fisiopatología Cardiovascular (INFICA), Facultad de Medicina. 4. CONICET. 5. Cátedra de Periodoncia FOUBA.

180. EFECTO DEL FLUORURO DE SODIO SOBRE HUESO ALVEOLAR EN RATAS CON PERIODONTITIS

*Bojanich MA¹, Orlietti M¹, Flesia G², Gallara R¹, Ponce R¹.

Facultad de Odontología UNC. 1. Cátedra A de Química Biológica. 2. Cátedra A de Diagnóstico por Imágenes.

181. PARTICIPACIÓN DEL RECEPTOR TRPV1 EN LA ENFERMEDAD PERIODONTAL INDUCIDA POR LIPOPOLISACÁRIDOS EN LA RATA

Ossola CA, *Balcarcel NB, Astrauskas JI, Rodas JA, Elverdin JC, Fernandez Solari JJ.

FOUBA

182. MODELO DE ORTODONCIA EXPERIMENTAL DE FUERZAS LIVIANAS CON ALAMBRE TMA. ESTUDIO PRELIMINAR

*Escribano MF¹, Brunengo I², Gani O³, Steimetz T⁴.

1. Cátedra de Endodoncia, Facultad de Odontología UNC. 2. Cátedra de Cirugía I, Facultad de Odontología UNC. 3. Carrera de Especialización en Endodoncia. Escuela de Graduados, Facultad de Odontología UNC. 4. Cátedra de Anatomía Patológica FOUBA

183. ANÁLISIS DE VARIABLES ASOCIADAS CON LA ENFERMEDAD PERIODONTAL

*Moyano A, Doro V, Tortolini P, Rubio S, Calafell C, Musso G, Crohane L, Moreno de Calafell M.

Facultad de Odontología UNC

184. EVALUACIÓN DEL TRATAMIENTO PERIODONTAL CONVENCIONAL ASOCIADO A DETERMINACIONES BIOQUÍMICAS, MICROBIOLÓGICAS Y CLÍNICAS.

*Menso J¹, Tabares S², Usin MM¹, Sembaj A².

1. Cátedra "B" de Periodoncia Facultad de Odontología UNC. 2. Bioquímica y Biología Molecular. Facultad de Ciencias Médicas UNC

185. DESARROLLO DE UN MODELO DE PERIODONTITIS INDUCIDA ASOCIADA A SÍNDROME METABÓLICO EN RATAS.

*Vázquez Mosquera AP, Kunst DB, Peralta Lopez ME, Fontana S, Castillo GV, Carpentieri A

Facultad de Odontología UNC.

186. PREVALENCIA DE POSICIÓN DE TERCEROS MOLARES INFERIORES SEGÚN CLASIFICACIÓN DE WINTER

*Costa D, Nervo F, Chuquer G, Quintana A, Brunotto M, Azcurra A, Cima JR, Bachur R. Especialidad CBMF, Facultad de Odontología UNC.

187. CAMBIOS DE LOS SIGNOS VITALES EN DISTINTOS MOMENTOS DEL PROCEDIMIENTO QUIRÚRGICO Y SU RELACIÓN CON EL ESTADO DE ANSIEDAD

*Samaniego Armijos TC.

Facultad de Odontología UNC.

188. DETERMINACIÓN DEL LIMITE AMELOCEMENTARIO VESTIBULAR PARTIENDO DE SU POSICIÓN PALATINA. ESTUDIO TOMOGRÁFICO.

*Nart L¹, Galli F², Bonta H², Gualtieri A², Vazquez DJ¹, Caride F.

FOUBA. 1. Cátedra de Diagnostico por Imágenes. 2. Cátedra de Periodoncia.

189. PREVALENCIA DE ANOMALÍAS DENTARIAS DE NIÑOS ESCOLARES DE SAN MIGUEL DE TUCUMÁN-ARGENTINA

*Jorrat MM¹, Wuscovi LF¹, Lopez ME², Aragon HN¹.

Facultad de Odontología UNT. 1. Cátedra de Radiología. 2. Cátedra Química Biológica.

190. RESPUESTA INFLAMATORIA Y EXPRESIÓN DE RECEPTORES DE ESTRÓGENO EN CULTIVOS DE FIBROBLASTOS PULPARES DE RATA IN VITRO

*Soto SN, Cambiasso MJ.

Instituto Mercedes y Martín Ferreyra (INIMEC-CONICET-UNC). Departamento de Biología Bucal, Facultad de Odontología UNC

191. CARACTERIZACIÓN INMUNOCITOQUÍMICA DE POBLACIONES CELULARES EN CULTIVOS DE PULPA DENTAL HUMANA.

*Merhar VA¹, De Couto Pita AK¹, Blanco HA², Acquier AB^{1,3}, Miozza V¹, Paz C^{3,4}, Mendez CF^{1,3}.

1. Cátedra de Farmacología FOUBA. 2. Servicio de Radioterapia, Hospital Oncológico Maria Curie. Gobierno de la Ciudad de Buenos Aires. 3. Consejo Nacional de Investigaciones Científicas y Técnicas. 4. Departamento de Bioquímica Humana, Facultad de Medicina UBA.

JUEVES 18/10 - 15:30 H

SALÓN DESAYUNADOR

MATERIALES DENTALES - ENDODONCIA

192. ESTUDIO MICROBIOLÓGICO DEL TEJIDO PERI-APICAL RELACIONADO CON INFECCIONES SEVERAS.

*AlfieN¹, Lenarduzzi A¹, Adler I², Rodríguez R¹.

FOUBA. 1. Cátedra de Endodoncia. 2. Cátedra de Estomatología.

VIERNES 19/10 - 12:00 H

SALÓN QUINCHO

CARIOLOGIA Y EPIDEMIOLOGIA

193. ESTUDIO COMPARATIVO DE ESTADO DE SALUD BUCAL EN ESCOLARES ENTRE AÑO 2012 Y 2017.

*Iturre S, González Waisman M, Páez R, Granado MA, Castillo V, López R, Sotomayor L, Chaya C, Mena J, Navarro A.

Odontología Preventiva FOUNT – Instituto de Estadística Aplicada Facultad de Ciencias Económicas UNT.

194. FRECUENCIA DE EMPLEO DE PROTECTORES BUCALES EN TUCUMÁN.

*Iturre S, Rego L, Mena J, Navarro A.

Odontología Preventiva FOUNT Instituto de Investigaciones Estadísticas Facultad de Ciencias Económicas UNT.



Omar Dental

Atención, servicio y calidad que Ud. se merece

EQ-V Sistema de obturación endodóntico inalámbrico

- 1 EQV Pack
- 1 EQV Fill
- 3 Baterías
- 2 Pluggers (F/FM)
- 6 Cartuchos Recargables
- 100 Pellets de Guttapercha



Chacabuco 249 - Córdoba - Argentina

Tel./Fax: 0351 - 4256618 / 0015 / 7222 WAPP 351-3444448

Horario de Atención: Lunes a Viernes 8 a 19 hs. Sábados 8 a 12:30 hs.

Abierto todo el año. Todas las formas de pago. Envíos a todo el país.

www.omardental.com.ar Mail: info@omardental.com.ar



3M ESPE



VOCO



ORTHO



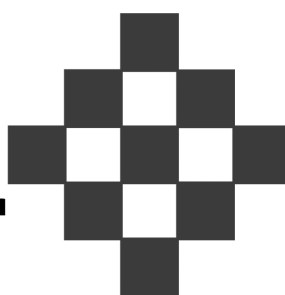
VDW



American Eagle Instruments Inc.

REITERMACH

Gador



Al Cuidado de la Vida

ALCANCE EL MEJOR RENDIMIENTO ESTÉTICO TRABAJE CON CIRCONIO

LA NUEVA GENERACIÓN DE PRÓTESIS DENTALES.

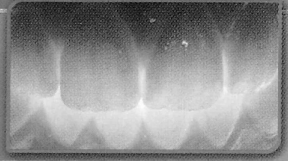
✓ SIN BORDES OSCUROS



✓ ALTA RESISTENCIA Y DURABILIDAD



✓ TRANSLUCIDEZ IGUAL A LOS
DIENTES NATURALES



SOLUCIONES CAD/CAM
GARANTIZAN UN ÓPTIMO RESULTADO

DE LA INDUSTRIA 846 B° JARDIN | CORDOBA
TEL.: 0351 4646771/62 | labruderman@gmail.com
ENVIO A TODO EL PAÍS.

RUDERMAN
LABORATORIO DE PRÓTESIS DENTAL

ROSTER DENT®

Sistemas de Implantes Dentales

ROSTER DENT ha avanzado en el desarrollo de productos para el tratamiento con implantes dentales que ofrecen versatilidad, confiabilidad y facilidad de uso.

ROSTER DENT tiene a su disposición las soluciones de tratamiento más completas para sus pacientes.



Laboratorios
Romi S.A.

Beruti 2522.1°A. C.A.B.A.
Tel. 011-4823-1202.
info@rosterdent.com
ventas@laboratoriosromi.com

Implantes Dentales
Biomateriales
Instrumental Quirúrgico

CORTI-OSS
de Laboratorios Romi S.A.

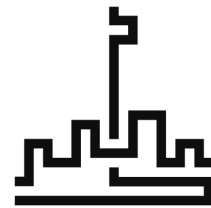
Representante en Córdoba
JOSE MERCHAN
Cel.: (0351) 15658-5775

www.rosterdent.com

INDUSTRIA
ARGENTINA



Universidad
Nacional
de Córdoba



Reforma
1918 - 2018

RESÚMENES

1

RESPUESTA DIFERENCIAL DE HUESOS CRANEOFACIALES VS OTROS HUESOS DEL SISTEMA ESQUELÉTICO AL DÉFICIT DE ESTRÓGENOS

*Nervegna MT, Bárcenas CA, Escudero ND, Mandalunis PM.
Cátedra de Histología y Embriología, Facultad de Odontología, Universidad de Buenos Aires

Si bien los huesos del esqueleto son histológicamente similares, la diferencia de comportamiento frente a situaciones sistémicas y locales ha sido interés de estudio en los últimos años. El **objetivo** del presente trabajo ha sido estudiar y comparar la respuesta del tejido óseo y médula ósea de huesos craneofaciales vs otros huesos del sistema esquelético al déficit estrogénico inducido mediante ovariectomía. **Materiales y Métodos:** Ratas Wistar hembras de 280- 290 g de peso se dividieron en dos grupos Sham(n=5) y Ovariectomizadas OVX(n=8). Se les practicó eutanasia a los 4 meses de iniciada la experiencia. Se extrajeron tibias, fémures, vértebras, maxilares inferiores y calota para su procesamiento histológico y obtención de cortes que se colorearon con H&E. En tibias y calotas se realizó también la detección histoquímica de TRAP e inmunohistoquímica de RUNX2. Se evaluaron los siguientes parámetros histomorfométricos: volumen óseo (BV/TV)(%), volumen de médula ósea amarilla (MOA/TV)(%), células TRAP+ y células óseas RUNX2+. Los resultados fueron analizados mediante test t de Student. **Resultados:** Se observó un menor ($p<0.05$) volumen óseo en tibias (9.4 ± 4.6 vs 27.8 ± 5.3), fémures (3.31 ± 1.8 vs 17.9 ± 2.3) y vértebras (13.3 ± 7.6 vs 24.2 ± 4.1) del grupo OVX vs Sham respectivamente, dicha pérdida ósea se relacionó con un aumento significativo de MOA. No se observó pérdida ósea ni en hueso interradicular (53.1 ± 7.6 vs 51.2 ± 15.4) ni en calota (82.6 ± 5.9 vs 83.1 ± 6.8), sin detectarse tampoco cambios en la MOA. El número de células TRAP+/mm aumentó en tibias de animales OVX (5.6 ± 3.1 vs 0.9 ± 0.6), sin diferencias en calota. No se detectaron cambios de la expresión de RUNX2 en células óseas entre grupos, sin embargo, en ambos grupos se observó que los osteocitos de calota expresan RUNX2 en mayor proporción que en tibias. **Conclusión:** Los resultados de este estudio demuestran claramente que los huesos craneofaciales son más resistentes a la pérdida ósea inducida mediante ovariectomía y, teniendo en cuenta que tampoco se ha afectado la calota, la resistencia a la pérdida en los maxilares no estaría relacionada directamente al estímulo mecánico. El comportamiento diferencial de estos huesos se relacionaría con la homeostasis de su microambiente medular. Financiamiento:UBACyT 20020160100034BA. Comité de Ética: 012/2016 CICUAL-ODONTO-FOUBA

Palabras claves: Tejido óseo - ovariectomía - esqueleto craneofacial – médula ósea

2

MEDICACIÓN ANTIRESORTIVA Y ANTIANGIOGÉNICA EN RELACIÓN A LA EVOLUCIÓN DE LAS VARIANTES CLÍNICA CON Y SIN EXPOSICIÓN DE HUESO DE OSTEONECROSIS DE MAXILAR

Tamburelli M, Kreimann E, Bas C, Gomez Abuin G, Sena S, Castillo J, *Brandizzi D.
Instituto de Oncología del Hospital Alemán de Buenos Aires. Consejo Nacional de Investigaciones Científicas y Técnicas (CONICET). Laboratorio de Patología Ortopédica Buenos Aires. Cátedra de Anatomía Patológica de la Facultad de Odontología UBA. Departamento de Radiobiología de la Comisión Nacional de Energía Atómica (CNEA)

La osteonecrosis asociada a medicación (OMAM) es una entidad que afecta solo al hueso maxilar en pacientes tratados con medicación antiresortiva (Ar) y/o antiangiogénica (Aa). Esta complicación se describe más frecuentemente en casos oncológicos que combinan ambas drogas (cáncer con metástasis ósea y mieloma múltiple) o en pacientes tratados solo con Ar, en dosis bajas, en cuadros de osteoporosis. Nuestro grupo ha descrito características histopatológicas de la OMAM, las cuales se asemejan a la apariencia de la trabécula ósea de la enfermedad de Paget's, que denominamos de apariencia Page-toide. El **objetivo** de este trabajo fue el de estudiar las características clínicas, histopatológicas y evolutivas, en pacientes que recibieron medicación de Ar y/o Aa. **Métodos:** Se estudiaron 35 pacientes en protocolos terapéuticos para cáncer con metástasis ósea y osteoporosis que recibieron drogas Ar y/o Aa entre el período 2008 y 2017. Se estudiaron las variantes clínicas con exposición hueso (VCEH), sin exposición de hueso (VSEH) y sin lesiones clínicas (SLC) de OMAM en diferentes momentos evolutivos. El estudio histopatológico fue realizado en 15 casos. **Resultados:** El 60 % (n=21) de los casos estudiados fueron diagnosticados como OMAM: 34% (n=12) fueron casos de VSEH y un 26% (n=9) con VCEH. La media de seguimiento fue 21 meses. En el 40% (n=14) restante, los pacientes fueron SLC de OMAM en la primera consulta, sin embargo, 2 de ellos evolucionaron a VCEH. El 17% (n=6) de los pacientes VSEH, mostraron una clara evolución de VSEH a VCEH de OMAM. El 53% (n=8) de los 15 casos con muestras biópsicas, se observó un patrón pagetoide. En 4 de estos casos no fueron diagnosticados con OMAM de acuerdo a los criterios clínicos (SLC), sin embargo presentaban alteraciones histopatológicas. **Conclusiones:** En este trabajo mostramos aspectos evolutivos relevantes de 35 pacientes que recibieron medicación de Ar y/o Aa con un tiempo máximo de seguimiento 9 años. Documentamos casos en 3 situaciones clínicas diferentes WCL, VSEH y VCEH de OMAM. Durante el tiempo de seguimiento, un 20% (n=7) de los casos presentaron completa remisión de OMAM. Las alteraciones histopatológicas en pacientes no diagnosticados según criterios clínicos con OMAM, plantea la necesidad de analizar este aporte en el diagnóstico y tratamiento de este tipo pacientes. Comité de Ética Fundación Huesped

Palabras clave: Osteonecrosis; medicación antiresortiva y antiangiogénica

3

EFFECTO DE LA EXPOSICIÓN A CROMO HEXAVALENTE (CR VI) SOBRE LA FORMACIÓN DE LA BASE DE LA CANASTILLA ÓSEA DURANTE EL PERÍODO INTRAÓSEO DE LA ERUPCIÓN DENTARIA

*Sánchez LM, Bozal CB, Ubios AM.

Cátedra de Histología y Embriología, Facultad de Odontología, UBA

La erupción dentaria (ED) involucra reabsorción del hueso supracoronario y formación ósea en la base de la cripta como fuerza motora para que la pieza libre su camino eruptivo (Wise et al, 2011). En estudios previos, hemos observado que la exposición a Cr VI de ratas lactantes provoca retraso de la ED asociado a una menor actividad de la enzima fosfatasa alcalina a nivel de la base de la canastilla ósea. El factor de transcripción Runt-related transcription factor (Runx)-2 participa como principal activador transcripcional de la osteogénesis y su expresión se relaciona con el proceso eruptivo. Teniendo en cuenta esto, el **objetivo** del presente trabajo es evaluar si la exposición a Cr VI afecta el proceso de formación ósea en la base de la cripta durante el estadio intraóseo de la ED. **MATERIALES Y MÉTODOS:** Se emplearon 16 ratas Wistar de 4 días de edad que recibieron diariamente por sonda: grupo experimental (E), una solución de dicromato potásico de 12.5 mg/kg de peso, grupo control (C), un volumen equivalente de solución fisiológica. Al día 9, se practicó la eutanasia de todos los animales y se extrajeron las mandíbulas que fueron fijadas, descalcificadas y procesadas para tinción de rutina con H-E y marcación inmunohistoquímica con anticuerpo anti-Runx2 (Abcam, UK). Sobre cortes bucolinguales orientados a nivel del 1° molar inferior, se cuantificaron en el fondo del alvéolo el volumen óseo de la base (BV/TV), la altura del hueso basal del lado vestibular (LV) y lingual (LL), % de osteoblastos Runx2+ (Ob Runx2+%) y el número de células de estirpe mesenquimática Runx2+ (N C-Runx2+/mm²). Los datos fueron analizados con el Test t de Student, considerando una p<0.05 estadísticamente significativa. **RESULTADOS:** BV/TV: C: 65,20%±6,81 E:40,26%±4. Altura hueso basal: LV: C:139,8µm±10,1 E:70,79 µm±12,8. LL: C:342,22µm±70,44 E:174,98µm±16,54. Ob Runx2+%: C: 65,69%±3,01 E:47,67%±1,53. N C-Runx2+/mm²: C: 5.11/mm²±0,77 E:7,68/mm²±0,83. Todos los valores resultaron estadísticamente significativos. **CONCLUSIÓN:** La disminución del número de osteoblastos RunX2+ indica que la exposición a Cr VI interfiere en la diferenciación de dichas células, indispensables para el crecimiento de la base de la cripta ósea, lo que conlleva al retraso de la ED. UBACyT2018 20020170100377BA. Comité de Ética: Res CICUAL-ODON/FOUBA 007/2017

Palabras clave: Cr VI- formación ósea - erupción dentaria

4

FIBROMA CEMENTO-OSIFICANTE CON PRESENCIA DE EPITELIO ODONTOGÉNICO: HALLAZGO MICROSCÓPICO INUSUAL

*Villegas Padilla KM, Itoiz ME, Cabrini RL†, Paparella ML.

Universidad de Buenos Aires. Facultad de Odontología. Cátedra de Anatomía Patológica.

El fibroma cemento-osificante es un tipo de fibroma osificante que se desarrolla en el reborde alveolar de los huesos maxilares. Durante décadas este tumor fue agrupado con las lesiones fibro-óseas benignas. La Organización Mundial de la Salud, en su última clasificación de Tumores de Cabeza y Cuello en el año 2017, lo incluye junto con los tumores odontogénicos mesenquimáticos benignos manifestando un origen controversial. Histológicamente, se caracteriza por una proliferación fibroblástica hiper celular que contiene estructuras mineralizadas, óseas y de aspecto similar al cemento en cantidades variables. Los reportes de fibroma cemento-osificante son escasos, en su mayoría se describen casos aislados conjuntamente con los fibromas osificantes y las lesiones fibro-óseas benignas. Los aspectos clínico-radiográficos y microscópicos, así como la conducta terapéutica, son discutidos. **OBJETIVO:** Presentar un hallazgo histológico observado en fibromas cemento-osificantes. **MÉTODOS:** Se realizó un estudio retrospectivo de la totalidad de lesiones fibro-óseas benignas disponibles en el archivo del Laboratorio de Patología Quirúrgica de la Cátedra de Anatomía Patológica-FOUBA-en un período de 55 años. Se definieron 90 casos de fibromas cemento-osificantes, se evaluaron sus caracteres microscópicos y se efectuaron técnicas inmunohistoquímicas. **RESULTADOS:** En tres casos de fibroma cemento-osificante se observó la presencia de islotes y cordones de epitelio odontogénico incluidos en la proliferación mesenquimática. Las técnicas inmunohistoquímicas con los anticuerpos AE1-AE3 y CK5 resultaron positivas. Los tres casos se presentaron en el sector posterior del maxilar inferior, en la sexta década de la vida, dos casos fueron mujeres y uno varón. Las imágenes radiográficas correspondieron a lesiones osteolíticas mixtas. **CONCLUSIONES:** La presencia de epitelio odontogénico en el fibroma cemento-osificante es un hallazgo microscópico no descrito hasta el momento. El epitelio odontogénico apoyaría el posible origen de la lesión, a partir de remanentes tisulares de la odontogénesis. La presencia de epitelio en el mesénquima neoplásico facilitaría el diagnóstico histopatológico de la entidad. Financiamiento: Programación Científica UBACyT 2018-2019/ 20020170200308BA. Comité de Ética: 1041/18

Palabras claves: Fibroma cemento-osificante, epitelio odontogénico

5

LA EXPOSICIÓN PRENATAL A FLUORURO AFECTA EL COMPORTAMIENTO MECÁNICO DE LA MANDÍBULA DE CRIAS DE RATA

*Interlandi V, Fontanetti P, Rigalli A, Ponce R, Gallará R y Centeno V.
Cátedra "A" de Química Biológica. Facultad de Odontología. Universidad Nacional de Córdoba.

En trabajos previos, demostramos que la exposición a fluoruro (F-) durante el período temprano de formación ósea incrementó el volumen óseo mandibular y la DMO. **OBJETIVO:** analizar el efecto de la exposición materna a NaF sobre las propiedades biomecánicas del hueso mandibular de crías de ratas. **METODOLOGÍA:** se emplearon crías de 15 y 21 días de edad (n=3-6 por grupo), provenientes de 2 grupos de madres que bebieron agua con diferente concentración de NaF: a) controles y b) tratadas (50mg/L NaF). El tratamiento se realizó durante 30 días previos al apareamiento, el período de gestación y lactancia. Los animales se sacrificaron por dislocación cervical. Se emplearon las mandíbulas para la determinación del F- acumulado en hueso, los ensayos biomecánicos y los estudios histomorfométricos. La calidad del hueso trabecular se evaluó mediante un ensayo de compresión en cortes transversales de mandíbula de 2.5 mm de espesor. La cuantificación del número de osteocitos (N.Ot/mm²) se realizó en cortes bucolinguales a la altura del primer molar inferior coloreados con H&E. Los datos obtenidos se expresaron como media ± EE y fueron analizados mediante ANOVA y test de Duncan. **RESULTADOS:** El contenido de F- acumulado en mandíbula fue mayor en las crías de 21 días del grupo tratado respecto a las del grupo control (121,8 ± 21,9 vs 43,7 ± 15,21, p<0,05). Se observó una disminución en todos los parámetros biomecánicos estudiados [rigidez, fuerza de fractura, energía absorbida, estrés y módulo de Young] en la mandíbula de crías de 21 días tratadas en comparación con las del grupo control. No se observaron diferencias en los parámetros biomecánicos de mandíbula de crías de 15 días debidas al tratamiento con F-. El N.Ot/mm² aumentó en las crías de 15 días por la exposición al F- (p<0,05), efecto que no fue observado en crías de 21 días. **CONCLUSIÓN:** los resultados sugieren que la incorporación del F- durante el período temprano de formación ósea altera la calidad del hueso mandibular a los 21 días de edad disminuyendo la resistencia a la deformación ósea lo que se correlaciona con el aumento en la acumulación de F- en la mandíbula. Financiamiento: SECyT-UNC 30720150100673CB. Comité de Ética: CICUAL

Palabras clave: flúor- calidad ósea- osteocitos

6

EXPRESIÓN INMUNOHISTOQUÍMICA DE RUNX-2 EN LA SUTURA MEDIO-PALATINA DE LA RATA EN RESPUESTA A FUERZAS EXPANSIVAS DE DIFERENTES MAGNITUDES

*Yamauchi MI, Ubios AM, Bozal CB.
Sociedad Argentina de Ortodoncia. Cátedra de Histología y Embriología, Facultad de Odontología, UBA

Muchas de las respuestas celulares involucradas en la expansión de la sutura medio palatina de la rata son aún desconocidas. En trabajos previos en nuestro laboratorio hemos puesto a punto un modelo de expansión de dicha sutura en la rata, de fácil aplicación, bajo costo y alta predecibilidad (SAIO 2017). Mediante la implementación de diferentes fuerzas con este modelo hemos podido confirmar la expansión de la sutura, observando cambios en los tejidos cartilaginoso y fibroso involucrados (LAR 2018). El factor transcripcional Runx-2 es el principal factor relacionado con la diferenciación y activación de las células osteoblásticas. En tanto está descrito que la aplicación de fuerzas tensionales inducen el reemplazo del tejido cartilaginoso de la sutura por nuevo hueso, el objetivo del presente trabajo fue evaluar *in vivo* la expresión del Runx2 en las células de la sutura medio-palatina de la rata luego de la aplicación de fuerzas expansivas de diferente magnitud. **M y M:** 24 ratas Wistar machos de 7 semanas fueron divididas en 3 grupos: grupo control (C) y dos grupos experimentales a los que se les instaló un aparato expansor que ejerce una fuerza inicial de 60 gf (E60) o de 90 gf (E90). Eutanasia a los 7 días. Se extrajeron los maxilares superiores para su procesamiento histológico obteniendo cortes frontales orientados a nivel de las raíces medias del 1° molar superior. Sobre los cortes se realizó la inmunomarcación para Runx2. Se cuantificaron los porcentajes de condrocitos Runx2+ (Runx2+C %) en la zona de cartílago y de células de estirpe mesenquimática (Runx2+MC %) en la zona fibrosa de la sutura. Comparación estadística ANOVA y prueba post hoc SNK, p<0.05. **Resultados:** El Runx2C % no mostró cambios significativos entre los grupos (C: 68.08 ± 9.74; E60: 83.19 ± 14.00; E90: 77.67 ± 10.40 p=0.1285), en cambio el Runx2+MC % se incrementó significativamente en los grupos expuestos a las fuerzas expansivas con respecto al control (C: 28.82 ± 15.84; E60: 65.95 ± 11.04; E90: 65.20 ± 16.94 p=0.0018). **Discusión:** Nuestros resultados muestran que las fuerzas expansivas inducen la diferenciación a células osteoblásticas en el tejido mesenquimático lo cual permitirá la formación de nuevo tejido óseo en la sutura mediopalatina de la rata. Financiamiento: UBACyT 20020170100377BA. Comité de Ética: CICUAL-ODON/FOUBA 007/2017

Palabras clave: sutura medio palatina, expansión, formación ósea

7

COMPORTAMIENTO DEL TEJIDO ÓSEO PERI-IMPLANTARIO EN PACIENTES CON SJÖGREN. INFORME PRELIMINAR

*Gotelli LP, Martínez C, Onofre C, Labanca L, Filippi N, Fernández CA, Furlan CN, Negrini FB, Tamini Elicegui LE, Orman B.
Cátedra de Odontología Integral Adultos. FOUBA. Cátedra de Farmacología FOUBA

OBJETIVO: Estudiar el comportamiento radiográfico del tejido óseo peri-implantario, en el momento de instalación, destape, carga y a los 3, 6 y 12 meses post-carga del implante en pacientes con Síndrome de Sjögren (SS), y relacionarlo con la evolución de la enfermedad, mediante la medición de anticuerpos específicos y prostaglandinas. **MÉTODOS** Se reclutaron 33 pacientes en 2 grupos, 16 con SS (Experimental-**E**) y 17 que no lo padecen (Control-**C**), según los criterios de inclusión. Se tomaron imágenes peri-apicales iniciales, al destape, carga y a los 3-6 meses post-carga con radiovisiógrafo (RVG) y un dispositivo "ad hoc" a fin de repetir las capturas en las diferentes etapas. Los registros fueron calibrados y medidos con un protocolo específico. Se obtuvieron muestras de sangre para realizar la serología (para mAChR M3 y PGE2), y de saliva para el control de flujo y PGE2 salival. Se instalaron 63 implantes (MIS C1, Israel) en 26 pacientes, 12 en **E** y 14 en **C**. En **E**, fueron instalados 31 implantes y en **C**, 32. **RESULTADOS** Cumplidos 3 meses de la carga se controlaron 30 implantes, 13 en **E** y 17 en **C**. Se registró un fracaso en **C**, 12 pacientes de **E** y 3 de **C** descartados por falta de continente óseo y otros. Se midieron los promedios y desvíos estándar de las variables basales y en cada control. La comparación de los resultados se hizo a través del análisis mixto de anova (MANOVA). La curva evolutiva de los promedios de RVG fue significativamente diferente según la etapa de seguimiento ($F = 23.349$; $p < 0.001$), notándose un incremento a lo largo del tiempo. Los resultados iniciales de PGE2 muestran una diferencia significativa entre ambos grupos. No se halló interacción entre el seguimiento y el grupo ($F = 1.402$; $p = 0.179$), las diferencias por grupo se mantuvieron "equidistantes" a lo largo del seguimiento. **CONCLUSIÓN:** Los resultados muestran que 1 - los valores de RVG se incrementan a medida que transcurre el tiempo y 2 - que el SS incrementa los valores de PGE2 y RVG. FINANCIAMIENTO Programa "Profesor Rodolfo Erausquin" Resolución (CD) 757/2014. MIS Implants – Israel.

8

METODOLOGÍA PARA EVALUAR TRATAMIENTO CONSERVADOR EN EL AMELOBLASTOMA INTRAÓSEO MANDIBULAR

*Hernández S, Villegas KM, Andrada MM, Drago A, Vazquez D, Itoiz ME, Paparella ML, Stolbizer F.
Universidad de Buenos Aires. Facultad de Odontología. Cátedra de Cirugía y Traumatología Bucocomaxilofacial II, Cátedra Diagnóstico por Imágenes, Cátedra Anatomía Patológica.

El ameloblastoma es un tumor odontogénico epitelial benigno de crecimiento progresivo caracterizado por la recurrencia local. El tratamiento consensuado para el ameloblastoma sólido-multiquístico es la resección quirúrgica amplia, incluyendo hueso sano mayor a 1cm de los márgenes tumorales observados en el estudio por imágenes. Sin embargo, en los últimos años se ha propuesto tratamiento conservador como posible modalidad terapéutica. **OBJETIVO.** Presentar una metodología para evaluar eficacia del tratamiento quirúrgico conservador en el ameloblastoma intraóseo mandibular sin compromiso de tejidos blandos. **MÉTODOS.** Se seleccionaron 7 piezas quirúrgicas mandibulares remanentes del archivo con diagnóstico anatomopatológico de ameloblastoma sólido-multiquístico. Se realizó estudio por imágenes. Se efectuó ostectomía de la cortical vestibular de la pieza, según técnica descrita por Haq et al. Desde la fenestración cortical se efectuó enucleación del tumor y sobre la superficie ósea, que estuviera en contacto con el tumor, se realizaron marcas de profundidad con fresa redonda de 2.5mm. A posteriori, se efectuó fresado de la superficie ósea con la profundidad señalada. Las muestras para estudio microscópico fueron: 1-tumor enucleado (para confirmar diagnóstico), 2-paquete vasculonervioso dentario inferior disecado (para evaluar compromiso tumoral), 3-hueso mandibular remanente (para determinar presencia o ausencia de tumor después del tratamiento conservador). Las muestras 1 y 2 se incluyeron en parafina y se colorearon con hematoxilina-eosina. La muestra 3 se seccionó en sentido ánteroposterior a intervalos de 5mm; estas secciones se desmineralizaron con ácido nítrico al 7%, se incluyeron en parafina y se realizaron cortes semiseriados que fueron tiñeron con hematoxilina-eosina. **RESULTADOS.** En la totalidad de los casos procesados se confirmó el diagnóstico de ameloblastoma sólido-multiquístico. No se evidenció infiltración tumoral en las estructuras vasculonerviosas. En un caso se identificó persistencia del tumor en una de las secciones de remanente mandibular. **CONCLUSION.** La metodología propuesta, aplicada a un número significativo de casos, permitiría evaluar objetivamente la eficacia del tratamiento quirúrgico conservador en el ameloblastoma intraóseo mandibular.

Palabras clave: ameloblastoma, tratamiento conservador

9

ALTERACION DE LA PROTEOMICA EN SALIVA SUBMANDIBULAR DE RATAS TRATADAS CON FLUORURO

*Gallar RV, Lima Leite A, Ponce RH, Centeno VA, Rabelo Buzalaf MA.

Ctedra "A" de Qumica Biolgica, Facultad de Odontologa, UNC, Crdoba, Argentina. Bauru School of Dentistry, University of Sao Paulo, Alameda Octavio Pinheiro, Brisolla, 9-75, 17012-901 Bauru, SP, Brazil.

OBJETIVO: analizar el efecto de la administracin crnica de una elevada concentracin de fluoruro (F) sobre el flujo y composicin proteica de la saliva submandibular de rata. **METODOS:** ratas Wistar macho (n=8 por grupo) bebieron agua con F en forma de NaF, durante 8 semanas: a) 0,3mg/L (control) y b) 50mg/L (tratado). La saliva estimulada (isoproterenol y pilocarpina, 5mg/Kg, ip) se recolect bajo anestesia. Se realiz eutanasia, se removieron mandbulas y tibias y se recolect orina para determinar concentracin de F a fin de validar el tratamiento. Se determin flujo salival y su contenido de protenas totales (mtodo de Bradford). Luego de la digestin con tripsina, los pptidos de la saliva fueron sometidos a cromatografa lquida en fase reversa y espectrometra de masas (nLC-ESI-MS/MS). Los datos MS/MS fueron procesados con el *software Protein Lynx Global Server 3.0.3, Rattus norvegicus* (www.uniprot.org). El F en orina y en hueso (luego de la destilacin isotrmica) se determin por potenciometra; los resultados se expresaron como la media \pm EE y se analizaron mediante el test "t" de Student; (diferencia estadstica $p < 0,05$). **RESULTADOS:** el flujo salival se redujo por el tratamiento ($p < 0,01$), mientras que el contenido de protenas en saliva submandibular increment ($p < 0,01$). El anlisis de los espectros MS/MS demostr que el F inhibe la expresin de 8 protenas y estimula la expresin de 17 protenas nuevas; de las protenas que se encuentran en ambos grupos, 3 se sobre expresan y 1 se sub expresa. El contenido de F en hueso (ng F/mg ceniza) de animales tratados fue mayor que en controles (Tibia: $1873,2 \pm 368,9$ vs. $240,5 \pm 53,8$, respectivamente, $p < 0,001$; Mandbula: $719,2 \pm 203,9$ vs. $98,5 \pm 16,3$, respectivamente, $p < 0,01$). La excrecin de F urinario (mg F/g Creatinina) fue mayor en el grupo tratado respecto al control ($4,99 \pm 1,29$ vs. $0,72 \pm 0,29$, respectivamente, $p < 0,05$). **CONCLUSION:** El tratamiento crnico con F alter la secrecin de saliva submandibular y su contenido proteico. As, se observaron cambios sustanciales en la expresin de varias protenas salivales, lo que podra afectar la homeostasis del ambiente bucal. Financiamiento: Secretaras de Ciencia y Tcnica, UNC, UNLaR. Comit de tica: 27/2017

Palabras clave: saliva submandibular, fluoruro, protemica

10

SUBTIPOS INFRECIENTES DE CARCINOMAS DE CLULAS ESCAMOSAS DE LA CAVIDAD BUCAL

*Masquijo Bisio PA, Olvi LG, Prez MA, Raimondi AR, Gonzlez Roma LB, Scola MJ, Werner LC, Adler LI, Itoiz ME, Paparella ML.

Universidad de Buenos Aires. Facultad de Odontologa. Ctedras de Anatoma Patolgica y Clnica Estomatolgica.

El cncer ms frecuente de la cavidad bucal es el carcinoma de clulas escamosas (CCE). En su mayora son tumores diferenciados o moderadamente diferenciados. Sin embargo, se describen subtipos de CCE de muy baja prevalencia, algunos de ellos presentan pobre diferenciacin morfolgica que dificulta su definicin diagnstica. Los reportes de estos subtipos son escasos y corresponden a casos aislados o a series con un nmero muy reducido de casos. **OBJETIVO:** Caracterizar una serie de subtipos infrecuentes de CCE de la cavidad bucal. **MTODOS:** Se recopilaron 28 casos de subtipos infrecuentes de CCE de la cavidad bucal provenientes del archivo del Laboratorio de Patologa Quirrgica de la Ctedra de Anatoma Patolgica – FOUBA en un perodo de 22 aos. Se evaluaron los caracteres clnicos, histopatolgicos y el perfil inmunolgico a travs de la aplicacin de tcnicas inmunohistoqumicas. **RESULTADOS:** Esta serie represent el 2% del total de CCE diagnosticados en dicho perodo. La media de edad fue de 66 aos (rango 40-86 aos) y la relacin masculino-femenino fue 2.5:1. El orden de frecuencia de los diferentes subtipos fue CCE basaloide (9 casos), CCE papilar (6 casos), CCE acantoltico (4 casos), CCE adenoescamoso (3 casos), CCE fusocelular (2 casos), CCE cuniculatum (1 caso), CCE linfoepitelial (1 caso) y 2 casos sin determinar. El sitio ms afectado fue reborde alveolar y enca (43%) y en el 43% de los casos el diagnstico clnico presuntivo fue de CCE. Todos los casos mostraron positividad con los anticuerpos AE1-AE3 y CK5. La inmunorreaccin con el anticuerpo p63 fue positiva en los subtipos basaloide, adenoescamoso y fusocelular. **CONCLUSIONES:** La serie de 28 casos de subtipos de CCE, procedentes de un nico centro diagnstico, resulta un aporte significativo al estudio de estas lesiones, dada su notoria infrecuencia. La aplicacin de las tcnicas inmunohistoqumicas es fundamental para establecer y definir el diagnstico de estos subtipos de CCE, diferencindolo de otras entidades con cuadros morfolgicos similares.

Programacin Cientfica UBACyT2018-2019.Res(CS) N 1041/18. Cdigo de Proyecto 20020170200308BA.

Palabras clave: cncer bucal - carcinoma de clulas escamosas – inmunohistoqumica

11

ANÁLISIS DE 45 CASOS DE SÍFILIS QUE ASISTIERON A UN CONSULTORIO ODONTOLÓGICO DE HOSPITAL DE ENFERMEDADES INFECCIOSAS EN CÓRDOBA CAPITAL

*Allende AA^{1,2}, Belardinelli PA^{1,2}, Fabbro AM², Piccioni OA², Abregú M², Liandro MF¹, López de Blanc SA^{1,2}.

1. Cátedra de Estomatología B. Facultad de Odontología. Universidad Nacional de Córdoba / 2. Servicio de Estomatología, Consultorio de Odontología. Hospital Rawson. Córdoba.

La sífilis es una infección bacteriana de transmisión sexual (ITS). Según la OMS hay 12 millones de casos nuevos cada año en el mundo. En la Provincia de Córdoba se triplicó la tasa de casos de sífilis entre el 2010 y el 2017 según los datos del boletín epidemiológico del Ministerio de Salud de la Nación.

OBJETIVO: Estudiar las características epidemiológicas de un grupo de pacientes con manifestaciones bucales de sífilis.

MATERIAL Y MÉTODOS: Se realizó un estudio observacional, retrospectivo de historias clínicas de pacientes que asistieron al consultorio de odontología del Hospital Rawson con diagnóstico de sífilis en el período 2015-18. Se registraron género, edad, nivel de instrucción, lugar de residencia, asociación con otras ITS, tipo de relación y número de parejas sexuales en el último año.

RESULTADOS: Se analizaron 45 casos. El 53% eran de género femenino, la edad promedio de 30 años (rango 17-57). En relación al nivel de instrucción, el 60% tenía estudios secundarios completos o superiores. La mayoría eran residentes de Córdoba Capital (71%). El tipo de relación heterosexual fue el más frecuente (76%); el 50% tuvo 2 o más parejas sexuales en el último año y el 73% (n: 33) no usa barrera de protección sexual en forma habitual. El 80% de los pacientes no presentaron otras ITS; en los casos con asociación el VIH, fue la infección más frecuente.

CONCLUSIONES: si bien se trata de una población con un buen nivel de instrucción, la mayoría no usa barrera de protección en forma habitual. Esta observación nos conduce a cuestionarnos la forma en la que se está llegando a la población a través de las políticas de educación y salud pública.

Palabras clave: Sífilis-Epidemiología-ITS

12

PRESENTACIÓN CLÍNICA DE SÍFILIS SECUNDARIA Y SU RELACIÓN CON LAS PRUEBAS DE LABORATORIO

*Allende AA^{1,2}, Belardinelli PA^{1,2}, Fabbro AM², Piccioni OA², Abregú M², Domínguez EJ¹, López de Blanc SA^{1,2}.

1. Cátedra de Estomatología B. Facultad de Odontología. Universidad Nacional de Córdoba / Servicio de Estomatología, 2. Consultorio de Odontología. Hospital Rawson. Córdoba

La sífilis es una infección de transmisión sexual (ITS) frecuente, de origen bacteriano y de repercusión sistémica; debido a la amplia variedad de presentaciones clínicas, su diagnóstico es un desafío para los profesionales de la salud. Su historia natural se desarrolla en tres fases: primaria, secundaria y terciaria; cada una de estas genera afecciones sistémicas con manifestaciones bucales.

OBJETIVO: Relacionar las características clínicas con los valores de laboratorio y el tiempo de aparición del primer síntoma.

MATERIAL Y MÉTODOS: Se realizó un estudio observacional, retrospectivo de historias clínicas de pacientes con diagnóstico de sífilis en el período 2015-18. Se registró tipo, número de lesiones estomatológicas, otras manifestaciones sistémicas, sexo, edad, nivel de instrucción, lugar de residencia, tipo de relación, asociación con otras ITS y número de contactos sexuales en el último año.

RESULTADOS: El 50% de los pacientes presentaron lesiones en otros tejidos además de la mucosa bucal, siendo el más frecuente la piel (41%) seguido por faneras y otras mucosas. En la cavidad bucal las lesiones elementales más frecuentes fueron las pápulas en el 86% de los casos, seguido por las manchas en su mayoría rojas. La VDRL fue negativa en sólo 2 casos. El 79% de los casos demoraron más de 30 días desde el 1er síntoma para consultar al hospital. No se encontró asociación entre el número de lesiones bucales y el resultado de la VDRL OR (0,77-18,86) p= 0,11.

CONCLUSIÓN: La demora en consultar y el inicio del tratamiento, revelan la desinformación de las medidas preventivas de las ITS en la población, lo que evidencia la necesidad de mejorar las políticas de salud pública y de educación para la salud en la Prov. de Córdoba.

Palabras clave: Sífilis secundaria-lesiones bucales-ITS

13

VIRUS DEL PAPILOMA HUMANO Y SU ASOCIACIÓN CON LESIONES ESTOMATOLÓGICAS

Verdu SD¹, *Mastrotta P¹, García MG², Rodriguez C², Tatti S³, Adler I¹, Nalli GA¹.
1. FOUBA. 2. MANLAB. 3. FAC MEDICINA UBA

OBJETIVOS: El objetivo de este trabajo fue estimar la infección por el virus del papiloma humano (VPH) en lesiones estomatológicas compatibles. **MÉTODOS:** Se incluyeron pacientes que concurren al servicio de Clínica Estomatológica de la Facultad de Odontología de la Universidad de Buenos Aires que presentaban manifestaciones bucales compatibles con infección por VPH que aceptaron ser estudiados mediante histopatología y determinación de genotipo viral por PCR y se excluyeron a aquellos que no presentaban lesiones, no aceptaron la confirmación de su estudio y/o quienes no firmaron el consentimiento informado. A los pacientes incluidos se les realizó un protocolo consignando: edad, sexo, lesión estomatológica y localización. El estudio se realizó a partir de la biopsia fijada en formol e incluida en parafina, para su estudio histopatológico y la geno-tipificación del HPV mediante PCR genotipo-específico y/o secuenciación del fragmento L1. Se estimó el OR-IC 95%. **RESULTADOS:** Se estudiaron a 53 pacientes, 34 mujeres y 19 hombres, a los cuales se les realizó un examen estomatológico y genotipificación de VPH (PCR-genotipo específico), siendo positiva para 32 muestras y negativa para 21. Dentro de la muestra (n=53), el 84,9% (n=45) se correspondieron a lesiones blancas elevadas con un OR 0,9 (IC 95%, 0,12- 5,32) y el resto a lesiones planas. En cuanto a su aspecto el 84,5% (n= 43) correspondió a lesiones brillantes o traslúcidas, el resto a opacas. Los tipos encontrados de HPV fueron 6, 11, 16, 18, 31, 32, 33, 35, 51, 58, 64, 72. **CONCLUSIONES:** Nuestros resultados estimaron una asociación entre las lesiones bucales compatibles con VPH y la presencia del virus. Subsidio Programa de Apoyo a la Investigación Clínica en la FOUBA. Comité de Ética Resolución (CD) N° 628.

Palabras clave: HPV, lesiones estomatológicas, PCR genotipo-específico.

14

TASAS DE INCIDENCIA Y MORTALIDAD POR CÁNCER BUCAL. CÓRDOBA, ARGENTINA (PERÍODO 2004-2013)

*Berasategui L, Morelatto R, Belardinelli P, Bolesina N, Lopez de Blanc SA.
Cátedra de Estomatología B, Facultad de Odontología, UNC

Existe una gran variabilidad en las tasas de incidencia (TI) y mortalidad (TM) por cáncer bucal (CB) en las diferentes regiones del mundo. Analizar los datos existentes sobre el CB en la población de la Provincia de Córdoba y comparar las TI y TM puede contribuir al conocimiento de la etiología de esta patología, a identificar a los grupos vulnerables y así permitir planificar políticas de salud preventivas y/o asistenciales. **OBJETIVO:** Estudiar la TI y TM por CB en la Provincia de Córdoba en el período 2004-2013, compararla con otras poblaciones del mundo y con el mismo análisis realizado previamente del período 1975-2000. **MÉTODOS:** Se realizó un estudio observacional analítico transversal de las TI y TM por CB en la Provincia de Córdoba y en Argentina. Para recolectar y analizar los datos se utilizaron los registros oficiales de la Dirección de Estadísticas socio-demográficas del Departamento de Estadísticas, Ministerio de Salud de la Provincia de Córdoba y el Globocan 2012 (IARC). La información recolectada se comparó con un estudio previo realizado en la Provincia de Córdoba en el período 1975-2000 (Morelatto y col, 2006). **RESULTADOS:** Las TI ajustadas por edad en la Provincia de Córdoba fueron de 6,6 y 2,6 para varones (V) y mujeres (M) respectivamente en 2004, bajando ligeramente a 5,2 y 1,9 (V/M) en el año 2013. El sitio más frecuente en V fue la lengua y en M otras localizaciones de la boca. En relación a la edad, si bien predomina entre 50 y 65 años, se observó un comportamiento diferente entre ambos sexos. Las TM en Córdoba por CB se mantuvieron en el 50% en este período estudiado (2004-2013), con un resultado similar al del estudio previo (1975-2000). Al comparar la TM por CB entre distintos países en los últimos 30 años, se observó que Argentina ocupa el segundo lugar de Sudamérica luego de Brasil; sin embargo en Brasil se ha incrementado el número de defunciones. **CONCLUSIONES:** Si bien vemos una tendencia a disminuir la TI de CB en Córdoba, la TM se mantuvo estable en todos los períodos estudiados. Es por esto que debemos focalizarnos en informar a la población sobre esta patología por medio de campañas que apunten a la prevención primaria (disminución del consumo de tabaco, alcohol y mejoramiento del estado bucal) y al diagnóstico precoz. Financiamiento: SECyT UNC 30720150101190CB

Palabras clave: cordoba, cancer bucal, tasas

15

DESARROLLO DE UN BIOSENSOR ENZIMÁTICO PARA LA DETECCIÓN DE ACETALDEHÍDO EN SALIVA

*Berasategui L¹, Comba F², Lopez de Blanc SA¹, Baruzzi AM³.

1. Cátedra de Estomatología B, Facultad de Odontología, UNC. 2. Universidad Nacional de Villa María. Dpto. de Físicoquímica. 3. Facultad de Ciencias Químicas, UNC

El consumo de tabaco y alcohol representa el mayor factor de riesgo para el desarrollo de cáncer bucal. La identificación de compuestos carcinógenos contribuye al reconocimiento de grupos vulnerables. Luego de la ingesta de etanol y consumo de tabaco, se genera y acumula acetaldehído en saliva. **OBJETIVO:** Desarrollar un biosensor enzimático para la detección de acetaldehído en saliva que presente ventajas respecto a los métodos convencionales de cuantificación (cromatografía gaseosa). **METODOLOGIA:** El biosensor desarrollado se basa en la actividad de la enzima aldehído deshidrogenasa (AldDH), que se inmoviliza en una matriz proteica. Cuando esta enzima se encuentra en presencia de acetaldehído, ocurre una reacción redox en la cual el acetaldehído se oxida a ácido acético y el cofactor de la enzima (NAD⁺) se reduce a NADH, siendo su concentración proporcional a la de acetaldehído. Por lo tanto, se estudiaron diferentes técnicas para sensar NADH como primer abordaje. La más efectiva fue la inclusión de monómeros redox adsorbidos en una matriz de mucina y nanotubos de carbono. En una segunda etapa, se incorporó la AldDH inmovilizada en matrices proteicas, compuestas por albúmina, mucina, quitosán y sus mezclas en distintas proporciones. Se utilizó glutaraldehído como entrecruzante. Con estas matrices se preparó un biosensor tipo sándwich, incluyéndolas entre dos membranas de policarbonato sujetadas por un capuchón plástico. **RESULTADOS:** Una vez logradas las condiciones óptimas, se realizaron curvas de calibración y se evaluó la relación entre la sensibilidad, estabilidad e intervalo de linealidad en función de la composición, grado de entrecruzamiento de la matriz, pH y fuerza iónica. El potencial seleccionado fue 0,1 V, y el pH de trabajo 8,0. Se obtuvo un buen intervalo de linealidad, con una sensibilidad igual a 3,0 $\mu\text{A}/\text{mM}$, límite de detección de 7 μM , y una estabilidad mayor al 80% de aproximadamente un mes. Se observó, además, que los componentes presentes en la saliva no producen interferencia. **CONCLUSIONES:** Se desarrolló un biosensor económico en cuanto a reactivos y equipamiento utilizados, de sencilla fabricación y con una performance analítica aceptable respecto a la metodología tradicional para la cuantificación de acetaldehído. Financiación: SECyT UNC 30720150101568CB
Palabras claves: Biosensores, acetaldehído, cáncer bucal

16

INFILTRACIÓN VERSUS REMINERALIZACIÓN: ESTUDIO PRELIMINAR EX-VIVO DE ALTERNATIVAS PARA EL TRATAMIENTO NO INVASIVO DE LESIONES POR CARIES CON MATERIALES BIOACTIVOS

*Sainz Ajá M, Ribba L, Cabral R, Molina G.

Carrera de Odontología, Facultad de Ciencias de la Salud, Universidad Católica de Córdoba

Objetivo: Determinar profundidad de penetración en dentina cariada artificial y cambios en su dureza superficial de dos protocolos de tratamiento: 1- infiltración del tejido cariado con resina fluida modificada con nanopartículas de óxido de cinc y 2- remineralización con fluoruro di-amino de plata. **Materiales y Métodos:** se prepararon láminas de terceros molares sanos de 4 mm de espesor en los cuales se generaron lesiones artificiales de caries sobre la superficie oclusal de la muestra, en un área de 6x6 mm. Las muestras se dividieron en dos grupos de tratamiento. Cada muestra fue seccionada en tres porciones de superficie cariada y una sección adicional de dentina intacta. En dos de las secciones con caries se aplicó el protocolo de tratamiento correspondiente. De esas dos secciones, una fue utilizada para realizar un mapeo en microscopio electrónico de barrido, identificando la presencia de plata (Ag) o cinc (Zn). En la porción restante que recibió tratamiento se evaluó su dureza superficial y se la comparó con la parte que no recibió tratamiento y con la sección adicional de dentina intacta. La dureza superficial se valoró mediante diagramas de fuerza obtenidos por un microscopio de fuerza atómica (AFM). **Resultados:** La penetración de Ag fue 135 (45) μm mientras que el Zn no superó valores medios de 15 (6) μm . Los diagramas de fuerza mostraron los valores más elevados en las superficies tratadas con Fluoruro de plata (89 ± 12 MPa), seguidas por la dentina intacta (65 ± 9 MPa) y las superficies que recibieron la resina con nanopartículas de cinc (62 ± 15 MPa). La dentina cariada presentó valores asociados a menor dureza (45 ± 7 MPa). **Conclusión:** Ambos tratamientos pueden mejorar las propiedades mecánicas superficiales del tejido. Se necesitan estudios más específicos para determinar la profundidad de penetración de iones minerales en dentina afectada por caries. Subsidio de la Secretaría de Investigación, UCC.
Palabras clave: Infiltración de Caries, Remineralización, Nanotecnología

17

SUPERVIVENCIA DE PIEZAS DENTARIAS CON CARIES TRATADAS CON DIAMINO FLUORURO DE PLATA

*Rossi G, Marchi R, Salgado P, Squassi A.

Universidad de Buenos Aires – Facultad de Odontología - Cátedra de Odontología Preventiva y Comunitaria - Instituto de Investigaciones en Salud Pública.

OBJETIVO: evaluar la efectividad de la aplicación de diamino fluoruro de plata (DFP) como estrategia terapéutica para caries amelodentinarias en programas odontológicos intensivos, aplicado en escolares de zonas rurales de alta vulnerabilidad social, en términos de actividad de caries. **MÉTODOS:** sobre una muestra de 40 escolares (edad $5,2 \pm 0,37$), y cumpliendo con requerimientos ético-legales, 2 examinadores calibrados ($kappa > 0,75$) realizaron un examen dentario basal (t_0), registrando lesiones de caries activas. Los escolares recibieron, en forma intensiva (1 semana) un programa de atención que incluyó: cepillado diario supervisado (1400 ppm F-), aplicación de DFP sobre caries amelodentinarias en piezas primarias sin compromiso pulpar y caries adamantinas en ambas denticiones, tratamiento restaurador atraumático en piezas permanentes, tratamiento pulpares, exodoncias y FFA 1,23%, e intervenciones educativas. Se repitieron los exámenes luego de 12(t_1), 24(t_2) y 36(t_3) meses, repitiendo el programa. A efectos de este estudio, se consideraron aquellas superficies dentarias primarias con caries amelodentinarias en t_0 que fueron tratadas con DFP 38% y se agruparon en: oclusales (O), libres (VL) y proximales (MD). *Procesamiento estadístico:* medidas de tendencia central y dispersión, análisis de supervivencia de Kaplan-Meier y comparación Log-Rank (Mantel-Cox), estableciendo 2 *end points*: (1) superficies con caries activas, (2) superficies con caries activas con compromiso pulpar. Se estableció como dato censurado a las superficies dentarias ausentes en t_1 , t_2 y t_3 . **RESULTADOS:** el total de superficies tratadas con DFP fue 606 en t_0 (8,6 % del total de superficies evaluadas). La sobrevida de las superficies fue 1,72 años (IC95: 1,62-1,83), mientras que para cada superficie fue: MD: 1,93 (IC95: 1,76-2,09); VL: 1,93 (IC 95: 1,67-2,18); y O: 1,37 (IC95: 1,24-1,5) ($p < 0,001$). Las superficies O presentaron mayor riesgo de presentar lesiones activas que las VL (HR= 1,61; IC95: 1,1-2,35) y que las MD (HR= 1,69; IC95: 1,26-2,26), sin registrar diferencias significativas entre superficies MD y VL. **CONCLUSIÓN:** el DFP presentó mayor efectividad para estabilizar las lesiones activas de caries en superficies libres y proximales en escolares bajo un programa de atención. Financiamiento y Comité de Ética: UBACYT 20720160100001BA

Palabras clave: diamino fluoruro de plata - caries dental - programas escolares

18

EFFECTIVIDAD DE UN PROGRAMA ESCOLAR EN POBLACIÓN RURAL SOBRE INCIDENCIA DE CARIES

Rossi G, *Marchi R, Salgado P, Squassi A.

Universidad de Buenos Aires – Facultad de Odontología - Cátedra de Odontología Preventiva y Comunitaria - Instituto de Investigaciones en Salud Pública

OBJETIVO: evaluar la efectividad de un programa odontológico intensivo, aplicado sobre escolares residentes en zonas rurales con alta vulnerabilidad social, sobre la incidencia de caries. **MÉTODOS:** sobre una muestra de 40 escolares (edad $5,2 \pm 0,37$), y cumpliendo con requerimientos ético-legales, 2 examinadores calibrados ($kappa > 0,75$) realizaron un examen dentario en condición basal (t_0), dentro de la institución escolar en condiciones estandarizadas. Se calcularon índices ceod/s y CPOD/S. Los escolares recibieron, en forma intensiva (1 semana) un programa de atención que incluyó: cepillado diario supervisado con dentífrico con fluoruro, aplicación de diamino fluoruro de plata sobre caries amelodentinarias en piezas primarias sin compromiso pulpar y caries adamantinas en ambas denticiones, tratamiento restaurador atraumático en lesiones de caries amelodentinarias de piezas permanentes, tratamiento pulpares, exodoncias y aplicación FFA 1,23%, e intervenciones educativas. Se repitieron los exámenes luego de 12(t_1), 24(t_2) y 36(t_3) meses, repitiendo el programa. A efectos de este estudio, se consideraron aquellas superficies dentarias primarias sanas en el t_0 y se agruparon en: oclusales (O), libres (VL) y proximales (MD). Se calcularon las medidas de tendencia central y dispersión. *Procesamiento estadístico:* análisis de supervivencia de Kaplan-Meier y comparación Log-Rank (Mantel-Cox), estableciendo como end point a las superficies que presentaron lesiones de caries. Se estableció como dato censurado a las superficies dentarias ausentes en t_1 , t_2 y t_3 . **RESULTADOS:** el total de superficies sanas analizadas en t_0 fue 3816 (54,4% del total de superficies evaluadas), de las cuales luego de 3 años presentaron caries un 42%. La sobrevida de las superficies sanas fue 2,73 años (IC95: 2,69-2,77), mientras que para cada superficie fue: MD: 2,74 (IC95: 2,69-2,79); VL: 2,84 (IC 95: 2,8-2,9); y O: 1,80 (IC95: 1,61-2). Las superficies O presentaron mayor riesgo de presentar lesiones que las VL (HR= 8,23; IC95: 5,88-11,50) y que las MD (HR= 5,06; IC95: 3,71-6,9), sin registrar diferencias significativas entre superficies MD y VL. **CONCLUSIÓN:** el programa presentó mayor efectividad sobre superficies libres y proximales en términos de aparición de nuevas lesiones de caries. Financiamiento y Comité de Ética: UBACYT 20720160100001BA.

Palabras clave: diamino fluoruro de plata - caries dental - programas escolares

INCIDENCIA DE CARIES EN ESCOLARES BAJO PROGRAMAS CON DIFERENTE MODALIDAD DE IMPLEMENTACIÓN

Toral M, Logullo R*, Cornejo C, Machado A, Salgado P, Squassi A.
Universidad de Buenos Aires – Facultad de Odontología - Cátedra de Odontología Preventiva y Comunitaria - Instituto de Investigaciones en Salud Pública

OBJETIVO: comparar la efectividad de 2 programas de atención odontológica en sede escolar con iguales protocolos de atención y diferente modalidad de implementación, en términos de incidencia y progresión de caries. **MÉTODOS:** *Tipo de estudio:* ensayo de campo con seguimiento longitudinal de 2 cohortes a 3 años. *Población:* escolares (6-9 años) concurrentes a escuelas públicas del municipio de Tigre (área continental y área isleña). *Diseño:* evaluación basal (t_0) con registro del estado dentario según criterios ICDAS II (lesión (L)), a cargo de 3 investigadores. Los escolares ($n=76$) recibieron una combinación de medidas preventivas en un protocolo de atención clínica según riesgo biológico. La modalidad de gestión difirió en la densidad/concentración de actividades para su implementación: las acciones en escuelas de continente se implementaron con frecuencia semanal a lo largo del ciclo lectivo (PE; $n=31$); mientras que las acciones en escuela de islas se concentraron en una semana al año (PI; $n=45$). Se realizaron evaluaciones post 1, 2 y 3 años (t_1, t_2, t_3). Se calcularon para el total de muestra, PI y PE: incidencia de caries (IC= superficies $L \geq 1$ activas t_1, t_2, t_3 / superficies $L=0$ $t_0 \times 100$) y progresión de lesiones incipientes (PL= superficies $L \geq 3$ t_1, t_2, t_3 / superficies $L1-2$ $t_0 \times 100$). Se calculó distribución de frecuencias de cada variable. La comparación entre grupos se realizó mediante prueba *chi* cuadrado y comparación de proporciones para muestras independientes con ajuste post *hoc* de Bonferroni. **RESULTADOS:** examen basal: superficies $L=0$: PI=57,4%/PE=61,1%; superficies $L \geq 1$: PI=9,5%/PE=9,5%; superficies $L \geq 3$: PI=7,3%/PE=8,2%; superficies $L \geq 5$: PI=5,7%/PE=5,7%, sin registrar diferencias significativas entre grupos. En términos de incidencia se registró: IC(PI) $t_1-t_0=4,9\%$ /IC(PE) $t_1-t_0=1,8\%$ ($p<0,001$); IC(PI) $t_2-t_1=7\%$ /IC(PE) $t_2-t_1=2,4\%$ ($p<0,001$); IC(PI) $t_3-t_2=1,9\%$ /IC(PE) $t_3-t_2=0,6\%$ ($p<0,001$). En términos de progresión de lesiones se observó PL(PI) $t_1-t_0=10,1\%$ / PL(PE) $t_1-t_0=1,6\%$ ($p=0,003$); PL(PI) $t_2-t_1=8,1\%$ /PL(PE) $t_2-t_1=2,5\%$ ($p=0,0015$); PL(PI) $t_3-t_2=3\%$ /PL(PE) $t_3-t_2=0\%$ ($p=0,0013$). **CONCLUSIÓN:** en los escenarios estudiados, programas escolares con diferente modalidad de implementación mostraron disímil efectividad en términos de incidencia y progresión de lesiones de caries. Financiamiento y Comité de Ética: UBACYT 20720160100001BA

Palabras clave: Incidencia de caries - Estabilización de lesiones de caries - Programas escolares

INTERVENCIONES EDUCATIVAS FAVORECEN PERCEPCIÓN DE SALUD BUCAL EN MÉDICOS DE PACIENTES VIH+.

*Medici S, Farias MA, Squassi A, Sanchez G.
Facultad de Odontología Universidad de Buenos Aires

Objetivos: Determinar el impacto de intervenciones educativas de salud bucal sobre la percepción que los médicos tienen de ella en sus pacientes VIH+; y, establecer la tasa asociada de derivación de pacientes para su atención odontológica. **Métodos:** Diseño experimental antes-después. Muestra por conveniencia de 100 infectólogos tratantes de pacientes VIH+. Se utilizó el cuestionario PPOH-VIH (Sánchez et al., 2014) para determinar la percepción de salud bucal en una escala Likert de frecuencia. Se determinó la percepción (% \pm IC95) total y por dominio PPOH-VIH (D1=conocimientos sobre salud bucal; D2=experiencia personal referida a la atención de salud bucal; D3= conocimientos sobre salud bucal relacionados al VIH; D4=prácticas médicas relacionadas con salud bucal) antes y después de una intervención educativa formativa presencial. Se recabaron datos sobre derivación de pacientes al odontólogo un mes antes y después de la intervención. Se compararon las percepciones por contraste de proporciones y χ^2 de McNemar ($p<0.05$). **Resultados:** La edad (media \pm ES) de los médicos fue 35.2 \pm 1.4 años, con experiencia profesional de 6.2 \pm 1.6 años, siendo 70% hombres y 30% mujeres ($p<0.001$). La percepción de salud bucal antes de la intervención fue: Total=71%(62.1-79.9), D1=75%(66.5-83.5), D2=75%(66.5-83.5), D3=72%(63.2-80.8), D4=65%(55.6-74.3), y después fue: Total=92.5%(87.3-97.6), D1=90%(84.1-95.8), D2=87.5%(81.0-93.9), D3=95%(90.7-99.3), D4=95%(90.7-99.3). El incremento de la percepción fue significativo con valores χ^2 para la significación de cambios ($p<0,0001$) de: Total=79, D1=48, D2=48, D3=73, D4=96. El contraste de proporciones identificó al D2 como el dominio con menor impacto ($z=2.3, p=0.025$) de la intervención, en comparación a D1 ($z=2.79, p=0.006$), D3 ($z=4.38, p<0.0001$) y D4 ($z=5.3, p<0.0001$). La tasa de derivación evolucionó significativamente de 31,3% preintervención a 58.5% posintervención. **Conclusión:** La percepción de médicos de la salud bucal de sus pacientes VIH+ se incrementó con la intervención educativa. Dada la alta necesidad de tratamiento odontológico de este grupo de pacientes sería apropiado incluirlas en la educación profesional continua, favoreciendo así la derivación oportuna de pacientes para su atención de salud bucal. Financiamiento y Comité de Ética: UBACYT 20720160100001BA.

Palabras claves: salud bucal, percepción de salud, VIH.

*Andrada MM¹, Salgado PA², Stolbizer F¹.

1. Cátedra de Cirugía y Traumatología Bucomaxilofacial II, FOUBA. Instituto FLENI. 2. Cátedra de Odontología Preventiva y comunitaria, FOUBA. Instituto de Investigaciones en Salud Publica. UBA.

Introducción: El Bruxismo es una actividad repetida de los músculos de la mandíbula, caracterizada por apretar y rechinar los dientes y/o tensar la mandíbula. Presenta dos manifestaciones circadianas diferentes, si ocurre durante el sueño: Bruxismo del sueño (BS); si ocurre en vigilia: Bruxismo de Vigilia (BV). Actualmente solo el BS presenta criterios diagnósticos validados, no han sido publicadas escalas para el diagnóstico de BV. **Objetivos:** diseñar y validar un instrumento que permita evaluar la percepción y sintomatología para el diagnóstico del BV en adultos. **Métodos:** Se construyó un instrumento para el diagnóstico del BV en adultos, basada en una extensa búsqueda bibliográfica y la validación por jurado de expertos. Se confeccionaron 21 ítems, las respuestas fueron registradas en una escala tipo Likert con 6 categorías ordinales. El instrumento se auto administró a un grupo de pacientes con BV, n=20 y controles sanos (CS), n=23 evaluados con criterios clínicos específicos, que concurren al Servicio de Guardia y ODP, FOUBA. Pruebas estadísticas: para la confiabilidad (consistencia interna) se analizó con α de Cronbach y la validez de constructo polarizando los ítems en positivos y negativos. Para comparar los ítems en escala Likert y polarizadas, entre controles y pacientes se aplicó test de Mann Whitney y Test de chi cuadrado respectivamente y se calculó la sensibilidad y especificidad de cada uno para los grupos estudiados. En todos los casos los test estadísticos aplicados serán para muestras independientes y un nivel de significación menor del 5% para rechazar la hipótesis nula. **Resultados:** Se excluyeron 4 ítems a partir de los valores α de Cronbach, de los valores de sensibilidad y especificidad de cada ítem. Se observaron diferencias estadísticas significativas entre pacientes y controles ($p < 0,01$) para cada ítem, tanto en la escala Likert como en las respuestas polarizadas. El Alfa de Cronbach inicial fue de 0,910 pasando luego del análisis a 0,924. La escala final quedó conformada con 17 ítems. **Conclusiones:** El instrumento demostró ser una herramienta útil para evaluar la percepción y sintomatología en el diagnóstico del Bruxismo de Vigilia en adultos, de alta confiabilidad y validez de constructo demostrada por la diferencia de puntuación entre los controles y los pacientes con BV. Comité de Ética 026/2015

Palabras claves: instrumento, diagnóstico, bruxismo

*Andrada MM¹, Salgado PA², Stolbizer F¹.

1. Cátedra de Cirugía y Traumatología Bucomaxilofacial II, FOUBA. Instituto FLENI. 2. Cátedra de Odontología Preventiva y comunitaria, FOUBA. Instituto de Investigaciones en Salud Publica. UBA.

Objetivos: Analizar el instrumento creado para el diagnóstico BV, explorar la validez y confiabilidad de las dimensiones y subdimensiones.

Métodos: La escala validada para el diagnóstico del Bruxismo de Vigilia en Adultos (BV) que consiste en 17 ítems con respuestas registradas en una escala tipo Likert con 6 opciones, fue autoadministrada a pacientes con BV (n=20) y controles sanos (CS; n=23) que concurren al Servicio de Guardia y orientación de pacientes de FOUBA. El instrumento creado se agrupó por opinión de juicio de expertos en dos dimensiones y 4 subdimensiones. Las dimensiones definidas fueron Bruxismo directo (BD) con 8 ítems y Sintomatología de Bruxismo de vigilia (SBV) con 9 ítems. El BD está compuesto de dos subdimensiones: Bruxismo Nocturno (BN) y Bruxismo de vigilia (BV) con 4 ítems cada uno. El SBV compuesto por 2 subdimensiones: Bruxismo de vigilia indirecto (BVI) y Hábitos e Indicadores (HI) con 6 y 3 ítems respectivamente. Para evaluar la validez y confiabilidad de éstas, se aplicaron las siguientes pruebas estadísticas: la consistencia interna (α de Cronbach) y la validez de constructo con Análisis Factorial exploratorio por Componentes Principales y rotación Varimax (CP). En todos los casos los test estadísticos aplicados serán para muestras independientes y un nivel de significación menor del 5% para rechazar la hipótesis nula.

Resultados: El α de Cronbach de las dimensiones y subdimensiones fue para BD: 0,849; BN: 0,787; BV: 0,871; SBV: 0,923; BVI: 0,920; HI: 0,730. El CP (validez de constructo): la prueba de esfericidad de Barlett fue estadísticamente significativo ($p < 0,001$) y la medida de Kaiser-Meyer-Olkin de adecuación de muestreo fue 0,700. Los reactivos se agruparon en 4 componentes definidos con autovalores mayores a 1, resultando una varianza total explicada de 76,9%.

Conclusiones: Los puntajes de las dimensiones y subdimensiones definidas quedaron definidos con alta consistencia interna y validez de constructo, permitiendo aplicar un puntaje diferencial y su análisis por dimensiones. Comité de Ética 026/2015

Palabras claves: instrumento, diagnóstico, bruxismo

CORRELACIÓN DE UNA ESCALA PARA EL DIAGNÓSTICO DEL BRUXISMO DE VIGILIA EN ADULTOS CON ELECTROFISIOLOGÍA Y NEUROPSICOLOGÍA

*Andrada MM¹, Salgado PA², Stolbizer F¹.

1. Cátedra de Cirugía y Traumatología Bucomaxilofacial II, FOUBA. Instituto FLENI. 2. Cátedra de Odontología Preventiva y comunitaria, FOUBA. Instituto de Investigaciones en Salud Pública. UBA

Objetivo: Correlacionar y contrastar una escala para el diagnóstico de Bruxismo de Vigilia en adultos (BV) con un análisis electrofisiológico y neuropsicológico. **Métodos:** Un grupo consecutivo de 34 pacientes del Servicio de Guardia y orientación de pacientes de FOUBA, que cumplían los criterios clínicos para BV n=17 y controles sanos (CS) n=17, fueron evaluados en el Laboratorio de Señales Eléctricas Cerebrales y Neurofisiología del instituto FLENI. Pacientes y controles sanos fueron estudiados con electromiografía de superficie (EMG), en músculos masticadores bilaterales de manera simultánea, mientras desarrollaban un protocolo de tarea estandarizadas con una duración máxima de 80 minutos. Todos los estudios fueron grabados con audio y video. Se administraron las siguientes escalas neuropsicológicas (EN): Inventario de Ansiedad de Beck (AB), el Inventario de Depresión de Beck (DB), Premonitory Urge for Tics Scale (PUTS), Escala de Comportamiento Repetitivo (RBS-R) y la Escala Obsesiva Compulsiva de Yale-Brown (Y-BOCS). Para comparar los valores de EN con las dimensiones del instrumento entre controles y pacientes se aplicó Mann Whitney, para datos categóricos se usó test de Chi cuadrado. Para correlacionar los puntajes de EN y EMG con los puntajes del instrumento se usó Rho de Spearman. En todos los casos los test estadísticos aplicados serán para muestras independientes y un nivel de significación menor del 5% para rechazar la hipótesis nula. **Resultados:** La escala con los datos EMG presentó correlación positiva y significativa Rho de Spearman 0,720. Al correlacionar con pruebas EN se observa una correlación positiva mediana con AB y DB (0,452), comparando los puntajes entre los grupos se observan diferencia estadística AB ($p=0,012$) Y DB ($p=0,032$) de la misma manera se observan diferencias de los grupos de EMG de pacientes y controles ($p<0,001$). **Conclusiones:** Los hallazgos sugieren que la escala presenta correlación positiva con los resultados electrofisiológicos y neuropsicológicos para Beck ansiedad y depresión. También se diferencian los puntajes entre los grupos estudiados. Comité de Ética 026/2015

Palabras claves: instrumento, diagnóstico, bruxismo

COMPARACIÓN DE OBTURACIONES DE RDI CON GUTAPERCHA INYECTABLE Y BIOCERÁMICO: PRUEBA PILOTO

*Chioli NT¹, Martín G¹, Manzur E², Macchi R², Jacobo MI¹.

1. Carrera de Especialización en Endodoncia. Universidad Católica de Córdoba. 2. UBA

La Reabsorción Dentinaria Interna (RDI) es una reabsorción radicular inflamatoria que produce destrucción de dentina, produciendo superficies irregulares, lo cual dificulta su instrumentación y obturación. **Objetivo:** Comparar *ex vivo* la homogeneidad y adaptación a las paredes dentinarias de obturaciones endodónticas con materiales biocerámicos y gutapercha inyectable en RDI. **Métodos:** Se utilizaron 5 incisivos centrales superiores humanos, extraídos, en los cuales se talló una RDI artificial en cada conducto. Para tal fin, el diente fue instrumentado, cortado longitudinalmente y se talló una cavidad circular en el conducto de cada hemisección, que fueron unidas en posición creándose la RDI artificial. Para su obturación, la muestra se evaluó en dos condiciones experimentales en forma sucesiva conformando dos grupos emparejados: *Grupo I:* gutapercha inyectable con Sistema EQ-V Master (Meta Dental). *Grupo II:* cono de gutapercha más sellador biocerámico BioRoot (Septodont). Se usó el mismo diente para ambos grupos experimentales, obturando primero con gutapercha inyectable y posteriormente con biocerámico. Los dientes fueron escaneados con tomografía computada de haz cónico y posteriormente se realizó la reconstrucción tridimensional. Se calculó el volumen de obturación y la superficie de pared del conducto cubierta por el material de obturación, en tercios coronario, medio (ampolla) y apical. Se observó la presencia de burbujas en la ampolla. Los datos fueron analizados mediante la prueba de Wilcoxon. **Resultados:** El volumen de obturación de la ampolla, para el grupo I fue de 100 % y para el grupo II 94,6%. El área de superficie de la ampolla en contacto con el material de obturación fue de 99,8% para el grupo I y 96,4% para el grupo II. El Grupo II presentó mayor cantidad de burbujas (4) que el grupo I (2). Al aplicar la prueba de Wilcoxon, las diferencias no fueron estadísticamente significativa ($P>0,05$) **Conclusión:** En las piezas obturadas con gutapercha inyectable, las burbujas aparecen en mayor porcentaje en contacto con superficie dentinaria afectando la adaptación de la obturación; mientras que en el grupo con BioRoot, las burbujas aparecen en el centro, contenidas por el material de obturación, teniendo un mayor impacto en la homogeneidad de obturación.

Palabras clave: Obturación, RDI, CBCT

25

MÍNIMO ESPESOR DENTINARIO DE CONDUCTOS EN C EVALUADO CON MICRO-CT Y CBCT

*Martin G¹, Arce Brisson G¹, De Caso CN¹, Chen B², Haapasalo M².

1. Carrera de Especialización en Endodoncia. Facultad de Ciencias Médicas. Universidad Católica de Córdoba. Argentina. 2. Dentistry Faculty. British Columbia University. Vancouver, Canadá.

Los segundos molares inferiores con conductos radiculares en forma de C presentan una anatomía compleja, con un surco lingual profundo, considerado como zona de riesgo donde se puede producir una perforación durante la instrumentación.

Objetivo: Comparar *ex vivo* las mediciones con Micro-CT y CBCT del mínimo espesor dentinario de las paredes de conductos en C instrumentados con Wave One Gold (WOG). **Métodos:** Se seleccionaron doce segundos molares inferiores, humanos, extraídos con morfología de conducto radicular en forma de C. Se dividieron en 3 grupos (4 dientes en cada uno) según el tipo de conducto en C: Tipo I, II y III. Los conductos fueron instrumentados con la lima WaveOne Gold Primary (Dentsply, Maillefer). Los dientes fueron escaneados con tomografía computada de haz cónico (CBCT) con tamaño de vóxel 90 μm y micro tomografía computada (Micro-CT) con tamaño de vóxel 30 μm . Se realizó la reconstrucción tridimensional de ambos estudios y se determinó el mínimo espesor de dentina desde la superficie externa de la raíz a la pared del conducto. Los datos fueron analizados mediante el test de Kruskal-Wallis para comparar el mínimo espesor entre los tres tipos de conductos en C y Mann-Whitney para comparar las mediciones entre CBCT y micro-CT. **Resultados:** No se produjeron perforaciones durante la instrumentación. En 10 dientes el mínimo espesor dentinario fue observado en el área instrumentada. Las mediciones con CBCT y micro-CT fueron cercanas entre sí en 9 casos. En 3 dientes la medición de micro-CT reveló una distancia considerablemente más corta a la superficie de la raíz que CBCT. Las dos distancias más cortas fueron 0.27 mm y 0.41 mm. Al aplicar el test de Kruskal-Wallis las diferencias del mínimo espesor entre los 3 tipos de conductos en C no fueron estadísticamente significativas ($p>0.05$). Al aplicar el test de Mann-Whitney no hubo diferencias significativas entre los métodos CBCT y micro-CT ($p>0.05$). **Conclusión:** Las limas WaveOne Gold resultaron adecuadas para la instrumentación de molares inferiores con conductos en C, sin perforaciones ni adelgazamiento excesivo de la dentina. En la mayoría de los dientes, las mediciones de CBCT se correspondían con el análisis de micro-CT. **Comité de Bioética:** H12-02430

Palabras clave: Mínimo espesor, conducto en C, CBCT, Micro-CT

26

EFICACIA DEL LÁSER DIODO 940NM EN LA DESINFECCIÓN DE CONDUCTOS RADICULARES EX-VIVO

*García Basualdo MS¹, Casadomecq AC², Perez SB³, Tejerina DP³, Gliosca LA³, Sierra LG¹, Rodriguez PA¹. FOUBA. 1. Cátedra de Endodoncia. 2. Cátedra de Fisiología. 3. Cátedra de Microbiología y Parasitología.

OBJETIVO: comprobar *ex-vivo* la eficacia del láser de diodo de 940nm en la desinfección de conductos radiculares contaminados con *Enterococcus faecalis* (*Ef*). **MÉTODOS:** se utilizaron 14 raíces unirradiculares con conducto único estandarizadas en 15 mm de longitud de trabajo. Se prepararon con el protocolo convencional (Cátedra de Endodoncia–FOUBA) con instrumental rotatorio. Se esterilizaron y conservaron en PBS (phosphate buffered saline). Se inocularon intraconducto con una suspensión estandarizada de *Ef* (ATCC29212). Se incubaron en condiciones de microaerofilia a 37°C por 7 días. Se dividieron aleatoriamente en 3 grupos según tratamiento de desinfección final. Grupo 1: EDTA 17% + hipoclorito de sodio 2,5% (Protocolo de desinfección final Cátedra Endodoncia FOUBA). Grupo 2: EDTA 17% + hipoclorito de sodio 2,5% + láser diodo. Grupo 3: EDTA 17% + PBS + láser diodo. En todos los grupos se lavó con PBS luego del tratamiento químico. Control Positivo (n=1): inoculado sin desinfección final. Control Negativo (n=3): sin inocular uno por cada tratamiento. Control de esterilidad (n=1): sin inocular y sin tratar. El láser diodo de 940nm (Biolase) se utilizó con tip endodóntico estéril de 200 μm a 1 watt de potencia en 4 ciclos de 2mm/seg según longitud de trabajo. Se tomaron muestras del contenido de los conductos y se sembraron por duplicado en agar BHI (Brain Heart Infusión) y BEA (Bilis Esculina Azida) para el recuento de UFC/ml. Se incubaron en condiciones de microaerofilia a 37°C durante 48hs. Se analizó mediante la prueba de Kruskal-Wallis (PRIMER BIOSTATISTICS) **RESULTADOS:** Sólo se observó crecimiento significativo en el control positivo ($2,73 \times 10^5$ UFC/ml). G1: media, mediana y moda= 0. G2: media, mediana y moda= 0. G3: media=0.83, mediana=0, moda=0, DS=1.33, ES=0.54. No se halló diferencia estadísticamente significativa entre grupos ($p=0.120$), sí con respecto al control positivo ($p=0.03$). **CONCLUSION:** Bajo estas condiciones experimentales se observó que la aplicación de láser diodo 940nm fue eficaz en la eliminación de *Enterococcus faecalis* intraconducto. Si bien con este estudio no se puede inferir que su aplicación resulta efectiva como tratamiento único de desinfección final, abre nuevos horizontes para continuar con la investigación. Comité de Ética: 006/2016 CETICAFUUBA

Palabras clave: Terapia por Láser, Enterococcus faecalis, Hipoclorito de Sodio

27

ENTEROCOCCUS FAECALIS: VIABLE Y CULTIVABLE POSTTRATAMIENTO ENDODÓNTICO EX VIVO CON LÁSER DIODO

*Pérez SB¹, Tejerina DP¹, García Basualdo MS², Casadomecq AC³, Rodríguez PA², Molgatini SL¹, Gliosca LA¹. Facultad de Odontología. Universidad de Buenos Aires. 1. Cátedra de Microbiología y Parasitología. 2. Cátedra de Endodoncia. 3. Cátedra de Fisiología.

OBJETIVO: Comprobar la viabilidad de *Enterococcus faecalis* (*Ef*) conservado 12 meses en condiciones ecológicamente adversas dentro de conductos radiculares tratados endodónticamente *ex vivo*.

MÉTODOS: Se utilizaron 14 raíces unirradiculares con conducto único preparadas endodónticamente y esterilizadas. Se contaminaron intraconducto con una suspensión estandarizada de *Ef* (ATCC 29212) y se dividieron de manera aleatoria en 3 grupos, según su tratamiento. Grupo 1: (Protocolo de desinfección final Cátedra de Endodoncia FOUBA): EDTA 17% + hipoclorito de sodio 2,5%. Grupo 2: EDTA 17%+ hipoclorito de sodio 2,5% + láser diodo 940 nm. Grupo 3: EDTA 17% + PBS + láser diodo 940 nm. En todos los grupos se lavó con PBS luego del tratamiento químico para neutralizarlo. Control positivo (n=1): inoculado sin desinfección final. Control negativo (n=3): sin inocular, uno por cada tratamiento. Control de esterilidad (n=1): sin inocular y sin tratar. Post tratamiento, se tomó muestra del contenido de cada conducto y se sembró por duplicado en agar BHI (Brain Heart Infusion) y agar BEA (Bilis Esculina Azida) para el recuento de UFC/ml. Las raíces se conservaron 12 meses en condiciones ecológicamente adversas (sin el agregado de nutrientes ni humedad y a temperatura ambiente). Transcurrido ese tiempo se les colocó 0,2 ml de caldo BHI estéril intraconducto en las 14 raíces. Se incubó en microaerofilia a 37°C durante 2 horas. Cumplida la incubación, se realizó la toma de muestra del contenido de cada conducto. La siembra e incubación se realizaron siguiendo el mismo protocolo post tratamiento original. Se realizó el recuento de UFC/ml y los resultados se analizaron mediante la prueba de Kruskal-Wallis (PRIMER BIOSTATISTICS).

RESULTADOS: Sólo se observó crecimiento en el control positivo (MEDIA=2,96.10⁵ UFC/ml±1,34DS). No se halló diferencia estadísticamente significativa entre grupos tratados; sí, respecto al control positivo (p=0.015).

CONCLUSION: En estas condiciones experimentales se comprobó que *Ef* no se recupera luego del tratamiento de desinfección final endodóntica con hipoclorito de sodio 2,5% o láser diodo 940 nm, o combinados sucesivamente. *Ef* resultó viable y cultivable luego de permanecer intraconducto 12 meses bajo condiciones ecológicamente adversas. Comité de Ética 006/2016 CETICAFUBA

Palabras clave: Enterococcus faecalis, viabilidad, desinfección final endodóntica

28

RESPUESTA INMUNOLOGICA SALIVAL ASOCIADO A LA COMPOSICION BACTERIANA EN EMBARAZADAS CON PERIODONTITIS

*Solarí N¹, Salas L², Tabares S³, Rosella C¹, Villarruel C⁴, Moyano T², Ribotta de Albera E², Usin MM¹, Sembaj A³. 1. Cátedra B de Periodoncia, Facultad de Odontología. UNC. 2. Fundación Independencia, UNCuyo. 3. Cátedra de Bioquímica y biología Molecular, Facultad de Ciencias Médicas, UNC. 4. Facultad de Ciencias Económicas. UNC

OBJETIVO: Nos propusimos describir la composición bacteriológica de bolsas periodontales asociado a la concentración de Inmunoglobulina A (Ig A) e Inmunoglobulina G (Ig G) en saliva de embarazadas que asisten en forma voluntaria al Servicio de Odontología de la Maternidad Provincial y a la Sede Córdoba de la Fundación Independencia. **MATERIALES Y MÉTODOS:** Se estudiaron 100 mujeres embarazadas y 50 no embarazadas que firmaron el consentimiento de participar en el proyecto (Registro REPIS 3065/16). A todas se les evaluaron los parámetros periodontales: Nivel de Inserción Clínica (NIC), Profundidad al Sondaje (PS); Hemorragia Superior (H sup), e inferior (H inf) e índice de Placa superior e inferior (IP sup, IP inf). Del sitio más profundo de cada sextante se tomaron muestras para la identificación por biología molecular de *Aggregatibacter actinomycetemcomitans* (*Aa*), *Porphyromonas gingivalis* (*Pg*), *Tannerella forsythia* (*Tf*), *Prevotella intermedia* (*Pi*) y *Treponema denticola* (*Td*). Se tomaron muestras de saliva sin estimular para determinar la concentración de IgA e IgG por inmunoturbidimetría. Los datos se analizaron con la prueba de chi cuadrado, test T según correspondió. Se consideró un p < 0,05 como significativo y se analizó con el software Epiinfo. **RESULTADOS:** Observamos que el 71% de las mujeres embarazadas tenían alrededor de 18 a 25 años de edad. Se identificó *T. denticola* como la bacteria más frecuente (p=0.0177) y una mayor tendencia, no significativa, de *P. intermedia*, característica del embarazo. La concentración de Ig A es mayor en mujeres embarazadas con respecto a las no embarazadas (p= 0,0204). La concentración de IgG no mostró diferencias entre los grupos. La presencia de *P.gingivalis*+*T.denticola*+*T.forsythia* se asoció significativamente con altas concentraciones de Ig A en embarazadas (p= 0.03). Se calculó un RR = 7 IC 95% (3.27-16.4). **CONCLUSION** Los datos sugieren que las pacientes tienen 7 veces más posibilidades de desarrollar un NIC mayor o igual a 3mm y bolsas mayores a 4mm cuando está presente la triada *P.gingivalis*+*T.denticola*+*T.forsythia*. Los niveles elevados de Ig A en saliva estarían indicando una capacidad de respuesta positiva del huésped frente a las bacterias del complejo rojo. Financiación SECyT :Res SECyT 313_16 Anexo I. Comité de Ética: REPIS 3065/16.

Palabras clave: Embarazo- Periodontitis- Inmunoglobulinas A y G

29

INCLINACIÓN VESTÍBULO LINGUAL DEL CONDUCTO MENTONIANO EN PACIENTES DE SAN MIGUEL DE TUCUMÁN

*Wuscovi LF¹, Agüero D², Lopez ME³, Aragon HN¹.

Facultad de Odontología (UNT). 1. Catedra de Radiología. 2. Servicio Diagnóstico por Imágenes. 3. Cátedra Química Biológica.

La detección con precisión del conducto mentoniano en el diagnóstico pre quirúrgico de cirugías de implantes es fundamental para evitar lesionarlo durante el procedimiento quirúrgico. Los métodos más frecuentes son las radiografías panorámicas y las periapicales. Si bien éstas nos indican su ubicación pero no su dirección vestibulo lingual, la información solo es posible obtener por medio de estudios tridimensionales como la TAC y Cone Beam.

Objetivo: Determinar la inclinación del conducto mentoniano en sentido vestibulo lingual y su relación con variables como sexo, lado y tipo de reborde, en pacientes de San Miguel de Tucumán. **Materiales y métodos:** Se utilizaron estudios Cone Beam (realizados con equipo Fona XPan 3D) de 30 pacientes ambos sexos (19 femeninos y 11 masculinos), que fueron derivados al Servicio de Diagnóstico por imágenes de FOUNT. Se midieron en grados los ángulos vestibulo lingual con el programa OrisWin DG Suite. El protocolo de investigación fue aprobado por el Comité de Ética de FOUNT (Exp. N° 88751-18). Se compararon estadísticamente los valores obtenidos con las variables sexo, lado del maxilar y presencia o no de elementos dentarios en reborde. También se correlacionaron los valores de los lados derecho e izquierdo con el Test de Pearson. Se utilizó el Test T pareado y para muestras independientes a fin de determinar si había diferencias entre las variables. **Resultados:** La media del ángulo del conducto mentoniano derecho fue de $X=45,55^\circ$ $DS=16,77$ y $X=44,50^\circ$ $SD=17,90$ para el izquierdo. No hubo diferencias significativas para los valores de los ángulos entre: a) lados derecho e izquierdo ($p>0,05$). b) sexos ($p>0,05$) c) presencia de rebordes desdentados y dentados ($p>0,05$). Respecto a la correlación entre los lados derecho e izquierdo, en mujeres hubo una mediana correlación ($r=0,58$) y en varones fue baja ($r=0,11$). **Conclusión:** No existen diferencias en los valores de las angulaciones vestibulo-lingual del conducto mentoniano entre los sexos, lados y tipo de reborde. Estas variables no influyen como características anatómicas en las cirugías de implantes. Parcialmente subsidiado por el CIUNT. Comité de Ética Exp. N° 88751-18

Palabras clave: Foramen mentoniano - Diagnostico para implantes - mediciones radiográficas - Cone Beam

30

SANGRADO Y APARICIÓN DE HEMATOMAS POST EXTRACCIÓN DENTARIA, EN PACIENTES ANTICOAGULADOS

*Vassallo M, Aguilar J, Zamberlin J, Diaz Roig M, Duran A.
USAL_AOA

Introducción: Para realizar extracciones dentarias en pacientes bajo terapia anticoagulante crónica, se suspende la anticoagulación o bien se utilizan hemostáticos locales. La decisión del tratamiento a seguir es un problema médico complejo debido al riesgo de tromboembolismo en ausencia de anticoagulación. **Objetivo:** Describir en pacientes bajo anticoagulación crónica el sangrado post operatorio inmediato / mediato y la incidencia de aparición de hematomas en la cirugía de extracción dentaria con y sin reducción previa del componente inflamatorio de los tejidos gingivo periodontales. **Métodos:** se estudiaron 60 pacientes distribuidos en 3 grupos de 20: G1 Control: extracción con el agregado de subgalato de bismuto (SG) y suturado el alveolo. G2 Exp1: Extracción pos terapia periodontal y suturado el alveolo. G3 Exp 2: Extracción pos terapia periodontal con el agregado de SG y suturado el alveolo. Se controló el RIN entre 2.5 a 3.5. Se realizó quimioprofilaxis ATB. Se registró: índice de sangrado, presencia de hematomas (intra y extra), índice gingival y patología de base. Los pacientes fueron controlados desde el post inmediato hasta el día 5. En caso de hemorragia se determinó el índice de sangrado de Soarez y col. y en caso de ser necesario, se realizó el protocolo de rescate de Blinder y col. Se calculó la frecuencia porcentual absoluta de aparición hematomas y sangrado y el correspondiente intervalo de confianza (95%) calculado a partir de la distribución binomial.

Resultados: Un paciente del G2 presento hemorragia al 3er y 5to día, en el cual se realizó terapia de rescate 2 y 3 respectivamente. Ningún paciente presentó hematoma intra o extraoral. Analizando la muestra como un conjunto único, se registró hemorragia en el 1.67% de los casos (IC 95% 0,04%-8,94%). **Conclusión:** En las condiciones en que se llevó a cabo esta investigación, en pacientes anticoagulados, con un RIN entre 2.5 y 3,5, la reducción del componente inflamatorio de los tejidos gingivo periodontales previa a la extracción dentaria, produciría resultados similares a aquellos en los que se utilizó solamente hemostático local. Considerando lá muestra en conjunto podemos concluir que, realizando las adecuadas maniobras quirúrgicas y hemostáticas locales, sería posible no alterar la terapia anticoagulante del paciente para la realización de extracciones dentales simples. **Financiamiento:** USAL_AOA. / Comité de Etica: Aprobado N° 1735

Palabras claves: periodoncia-cirugia. anticoagulados

31

UTILIZACIÓN DEL MÉTODO DE DEMIRJIAN PARA ESTIMACIÓN DE LA EDAD DENTARIA EN RADIOGRAFÍAS PANORÁMICAS

*Briem Stamm AD¹, Carriego MT¹, Vazquez DJ², Pujol MH², Saieg J², Bielli V², Hecht P².
FOUBA. 1. Cátedra de Odontología legal y forense. 2. Cátedra de Diagnóstico por Imágenes

Objetivos: Comparar la edad cronológica y la edad dental empleando el Método de Demirjian (MD) en radiografías panorámicas en la Ciudad de Buenos Aires en una población de 6 a 14 años de edad, entre septiembre de 2016 y junio de 2018.

Métodos: Diseño descriptivo, retrospectivo y analítico; donde la muestra consistió en 508 radiografías panorámicas (268 del sexo femenino y 240 del sexo masculino). Se realizó el cálculo de la edad dental en cada una de ellas, conforme el método de Demirjian. Se efectuó un análisis comparativo con la edad cronológica proveniente de la base de datos de las imágenes, utilizando la prueba de Wilcoxon.

Resultados: En las 508 radiografías panorámicas se estimó la edad dental (ED). Se pudo establecer que la edad real (ER) en promedio es 9,36 años con un desviación estándar (DS) de 2,11 y que la edad según el método de Demirjian es 10,45 años con una DS de 2,31. Para el sexo femenino se obtuvo una ER de 9,25 y una DS de 2,12 y según MD es de 10,40 años con una DS de 2,41. Para el sexo masculino se obtuvo una ER de 9,46 y una DS de 2,10 y según MD es de 10,50 años con una DS de 2,22. Se obtuvo un coeficiente de correlación inter-clase (CCI), como medida de correlación entre edad dental y cronológica, de (CCI 1,09%). El CCI para el sexo masculino fue de (CCI 1,04 %) y en el caso del sexo femenino fue de (CCI 1,15%). Se hallaron diferencias significativas entre ED y ER ($p < 0,01$) en general y también para ambos sexos.

Conclusión: Se pudo evidenciar que la edad real es menor que la edad dentaria en la población de la Ciudad de Buenos Aires. Los resultados coinciden parcialmente con hallazgos bibliográficos. También se pudo observar diferencias entre la edad real y dentaria tanto en niños como en niñas.

Palabras clave: Método de Demirjian- Radiografía panorámica- Edad real- Edad dentaria

32

SISTEMA DE CONDUCTOS EN C EN SEGUNDOS MOLARES INFERIORES EVALUADOS MEDIANTE TOMOGRAFÍA CONE-BEAM

*Chaintiou Piorno R¹, Consoli Lizzi EP¹, Saiegh J², Vázquez DJ², Gualtieri AF³, Rodríguez PA¹.
FOUBA. 1. Cátedra de Endodoncia. 2. Cátedra de Diagnóstico por Imágenes. 3. Cátedra de Biofísica y Bioestadística

Objetivo: Evaluar tomografías *cone beam* (CBCTs) realizadas en la Cátedra de Diagnóstico por Imágenes de la Facultad de Odontología de la Universidad de Buenos Aires, para determinar la presencia de segundos molares inferiores con conductos en C y clasificarlos. **Métodos:** Se observaron 3035 CBCTs, 225 de las cuales correspondieron a pacientes que cumplían con los criterios de selección. Fueron examinadas CBCTs, en donde se detectaron ambos segundos molares inferiores, con ápices desarrollados y que no presentaban destrucción que incluyese piso de cámara ni tratamientos previos. Una vez determinada la presencia de conducto en C se los clasificó teniendo en cuenta la clasificación anatómica y radiológica de Fan *et al.* (2004). Los datos fueron descriptos mediante frecuencias y porcentajes, con intervalos de confianza al 95% (IC95), según método score. Las comparaciones fueron analizadas mediante la prueba Chi-cuadrado con un nivel de significación del 5%. **Resultados:** De los 225 pacientes seleccionados, 44 presentaron conductos en C (20%; IC95: 15% a 25%). El 70% (IC95: 56% a 82%) de los pacientes presentaba conductos en C de forma bilateral. En cuanto a la clasificación anatómica -plano axial-, hubo una asociación significativa entre el tercio radicular y la configuración (Chi-cuadrado=76,89; $p < 0,05$): en tercio coronal predominó la configuración C1 (47%; IC95: 36% a 58%); en tercio medio, C3d (39%; IC95: 28% a 50%); y en tercio apical, C4 (35%; IC95: 25% a 46%). No se encontró una asociación significativa entre la pieza y la clasificación radiológica -plano sagital- (Chi-cuadrado=0,99; $p = 0,61$): el tipo I predominó en ambas piezas, 4.7 (58%; IC95: 42% a 71%) y 3.7 (66%; IC95: 49% a 79%). En el 72% (IC95: 61% a 81%) de los casos se observó que hubo cambios en la configuración a distintos niveles, mientras que en el 28% (IC95: 19% a 39%) se observó igual configuración en los tres tercios, esta diferencia fue significativa (Chi-cuadrado=14,52; $p < 0,05$). **Conclusión:** El presente estudio contribuye al conocimiento epidemiológico de una variable anatómica de la configuración dentaria interna y a su extrapolación a la práctica clínica. El endodoncista debería considerar las variaciones descriptas en el trabajo para el éxito del tratamiento.

Palabras clave: Conducto en C, segundo molar inferior, tomografía cone beam

33

MELATONINA: EFECTOS ANTIOXIDANTE Y DIFERENCIADOR EN CULTIVOS CELULARES DE ENCÍA DE RATA

*Solá VM¹, Aguilar JJ², Fontana S³, Carpentieri AR¹.

1. Cátedra. "B" de Química Biológica. Facultad de Odontología. UNC, INICSA-UNC/CONICET. 2. Instituto Dr. José M. Vanella. Fac. Cs. Médicas. 3. Cátedra A de Histología y Embriología, FO- UNC.

Durante la respuesta inmune desencadenada en la enfermedad periodontal, se liberan especies de oxígeno reactivas que empeoran la condición inflamatoria produciendo pérdida de inserción y daño de los tejidos. El cultivo y diferenciación de las células provenientes de la encía, constituiría un recurso para estudiar la regeneración periodontal. La melatonina (MEL), hormona secretada por la glándula pineal y otros tejidos, tiene efectos antioxidantes, antiinflamatorios, antiapoptóticos y diferenciadores que la postulan como un potencial terapéutico para la cavidad oral. **OBJETIVOS:** investigar los efectos antioxidante y diferenciador de la MEL en cultivos de células derivadas de encía de rata (CE). **MÉTODOS:** se desarrolló un cultivo primario de CE de ratas wistar hembra. Para evaluar los efectos diferenciadores de MEL, al cultivo de CE se lo estimuló con medios osteogénicos (OS+) y no osteogénicos (OS-) combinados con MEL durante 21 días. A fin de testear la propiedad antioxidante de MEL se aplicó estrés oxidativo (EO), mediante la administración de L-buthionine-S, R-sulfoximine 0,5mM (BSO, agente oxidante) y Glutamato 20 mM (GLUT, agente citotóxico) solos o en combinación con MEL (0,5 mM) y se midió la concentración de anión superóxido (O_2^-) con el método de reducción de sales de NBT. La diferenciación se evaluó con la técnica de alizarin red. Todos los experimentos se hicieron por triplicado y los datos obtenidos fueron analizados por ANOVA y comparaciones de Turkey con un nivel de significación $p < 0,01$. **RESULTADOS:** Se observó un aumento en la concentración de O_2^- en las células tratadas con BSO+GLUT, mientras que la administración de MEL produjo un retorno de la concentración de O_2^- a los niveles controles, lo que demostraría un efecto antioxidante de MEL. En los ensayos de diferenciación, MEL aumentó significativamente la diferenciación a OB con respecto a los medios OS- y OS+. **CONCLUSIONES:** La utilización de BSO+GLUT constituye un modelo adecuado de estrés oxidativo para estudiar efectos antioxidantes. Los resultados obtenidos indican que MEL constituiría un potencial agente farmacológico para disminuir el daño celular causado por el EO y promover la osteogénesis. Subsidio SeCyT-UNC. Aprobado por CICUAL, Facultad de Cs. Méd – UNC.

Palabras claves: Melatonina, Estrés oxidativo, Cultivo celular

34

MODELO EXPERIMENTAL PARA EL ESTUDIO DEL MOVIMIENTO ORTODÓNICO HACIA UN ALVÉOLO POSTEXTRACCIÓN

*Cabrita ML¹, Nuñez FL², Estevez AN³, Vázquez DJ³, Friedman SM¹, Rodríguez PN¹, De Lucca RC¹.

FOUBA. 1. Cátedra de Bioquímica General y Bucal. 2. Cátedra de Fisiología. 3. Cátedra de Diagnóstico por Imágenes.

El movimiento ortodónico de una pieza dentaria hacia un alvéolo postextracción es la terapéutica más utilizada en pacientes con apiñamiento dentario o distorrelación. Existen publicaciones sobre la aparatología clínica a utilizar en estos casos, la magnitud de la fuerza y el tiempo de aplicación de la misma. Sin embargo, no hemos encontrado estudios que reproduzcan este tipo de movimiento ortodónico en un modelo experimental en ratas. **Objetivo:** desarrollar un aparato que instalado y mantenido en el maxilar de la rata movilice la pieza dentaria hacia un alvéolo postextracción reciente. **Metodología:** 24 ratas Wistar de 200 gr de peso, distribuidas equitativamente en: (A) grupo control exodoncia y (B) grupo exodoncia+aparato. A todos los animales se les realizó la exodoncia del segundo molar inferior izquierdo con instrumental quirúrgico especialmente diseñado. En los animales del grupo B se instalaron los aparatos inmediatamente luego de la extracción y fueron eutanasiados luego de 7 días de tratamiento juntamente con los del grupo A. Se obtuvieron imágenes radiográficas digitalizadas de ambos hemimaxilares inferiores para su posterior estudio morfométrico. Componentes del aparato: Banda en primer molar, de acero de 0.075 mm de espesor con tubos soldados por lingual y vestibular. Resorte de espiras abiertas de CrNi (Morelli) enhebrado en alambre de acero de 0.25 mm, que se extiende entre ambos tubos tomando anclaje en el incisivo de crecimiento continuo ejerciendo una fuerza hacia el alvéolo postextracción de 17 gr. Los valores obtenidos fueron analizados estadísticamente: T test. **Resultados:** los datos muestran que el aparato diseñado produciría un movimiento ortodónico que aumenta la distancia entre el incisivo y el primer molar (segmento I-K: 5.16 ± 0.22 vs 5.52 ± 0.32 , $P = 0.0050$), mientras que el segmento dentario disminuye, sin diferencias estadísticamente significativas (segmento K-L: 1.13 ± 0.34 vs 0.95 ± 0.46 , $P = 0.2774$). El desplazamiento del primer molar hacia el alvéolo postextracción se produce con menor volcamiento coronario (α $84^\circ, 18 \pm 1.08$ vs $88^\circ, 17 \pm 2.17$, $P < 0.0001$). **Conclusión:** el aparato diseñado resultaría útil y eficiente para evaluar experimentalmente el movimiento ortodónico hacia un alvéolo postextracción. Subsidio: 20020170100138BA.

Palabras clave: Ortodoncia Experimental, Distorrelación, Alvéolo Postextracción.

35

PRODUCCIÓN DE PROTEINASA EN CANDIDA DUBLINIENSIS Y CANDIDA ALBICANS EN PACIENTES VIH+

González MI¹, *Dubois VA¹, Martínez ME¹, Sánchez GA², Molgatini SL¹.

Facultad de Odontología UBA. 1. Cátedra de Microbiología y Parasitología. 2. Cátedra de Biofísica y Bioestadística

La enzima proteinasa *facilita la invasión tisular* y es producida por *Candida dubliniensis* (Cd) y *Candida albicans* (Ca), que son levaduras frecuentemente aisladas de la cavidad bucal en pacientes VIH+.

Objetivo: Comparar la producción de proteinasa en aislamientos de Cd y Ca obtenidos de pacientes VIH+ tratados con antirretrovirales (TARGA) o sin tratamiento.

Materiales y Métodos: Se utilizaron 36 aislamientos: 22 Cd y 14 Ca de 15 pacientes VIH+ (8 con y 7 sin tratamiento). Como controles positivo y negativo se usaron Ca ATCC 10231 y Cd 36, respectivamente. Para demostrar la producción de proteinasa se utilizó agar albúmina sérica bovina. Se inocularon por duplicado 10 µl de suspensiones de las levaduras homologadas con la escala n°1 de Mc Farland en discos colocados en la superficie del medio. Se incubaron a 37°C durante 7 días y se midieron los diámetros de hidrólisis alrededor de las colonias. La producción de la enzima se clasificó de acuerdo al índice Pz en alta, moderada, baja y negativo. Se estableció la distribución de frecuencias para cada categoría y para cada aislamiento y se analizó la diferencia de distribución y asociación mediante χ^2 ($p < 0.05$).

Resultados: El 61.1% de las cepas estudiadas correspondió a Cd y el 38.9% a Ca. La producción de proteinasa fue negativa en el 55.5% de todos los aislamientos, moderada en el 30.5% y baja en el 13.9%. Cd (47.2%) prevaleció significativamente en pacientes bajo TARGA y Ca (30.5%) en no tratados ($\chi^2=8.6$, $p=0.03$). La producción de proteinasa se asoció a Cd ($\chi^2=7.7$, $p=0.021$), siendo negativa en el 44.4% del total de los aislamientos. A su vez, la proteinasa negativa se asoció a Cd (47.4%) de pacientes con TARGA ($\chi^2=8.6$, $p=0.03$).

Para Ca, la producción moderada de proteinasa (35.7%) fue mayor, pero no significativa, en pacientes no tratados.

Conclusión: TARGA podría contribuir a disminuir la producción de proteinasa de *Candida dubliniensis*. Subsidio UBACyT 20720160100002BA

Palabras claves: *Candida dubliniensis*, *Candida albicans*, proteinasa, VIH positivos

36

VALORACIÓN DE CURSOS DE POSTGRADO SEMI PRESENCIALES DE LA FO UDELAR A PRÓPOSITO DE LA EVALUACIÓN DE CURSOS DE HISTOLOGÍA APLICADA A LA PERIODONCIA Y ORTOPEDIA

Tapia G*, Gutiérrez C, Cataldo A.

Facultad de Odontología - Udelar - Montevideo - Uruguay

Objetivo: Conocer la percepción de los estudiantes de postgrado de la facultad de odontología de la Udelar respecto al desarrollo de cursos semipresenciales de Histología aplicados a la Periodoncia y Ortopedia en el año 2018.

Materiales y métodos: Se realizó un estudio descriptivo, transversal de tipo observacional, con corte cuanti – cualitativo. Se indagó mediante encuestas estructuradas al universo de estudiantes de postgrado de los cursos semipresenciales de Histología desarrollados en el 2018. El segmento cuantitativo se solicitó que calificara entre 1 (muy malo) y 10 (excelente) la experiencia del punto de vista global, la pertinencia de los contenidos y aporte a la formación profesional. En el plano cualitativo se indagó en referencia a total acuerdo, acuerdo, más o menos, en desacuerdo y en total desacuerdo. Se indagó en referencia a docentes si manejaban los contenidos, si las actividades docentes estaban preparadas, si presentaban coherencia, la utilización de recursos didácticos, materiales de apoyo, se usaron ejemplos ilustrativos y si hubo receptividad a las dudas presentadas.

Resultados: En el plano cuantitativo la percepción respecto a la visión global fue calificada por los encuestados con un promedio de 9.16 y los contenidos se vieron como muy pertinentes para el 100% de los encuestados. En el plano cualitativo el 100% de los encuestados presentaron total acuerdo (42) o acuerdo (6) en todos los ítems planteados. Esto nos muestra que de los ítems relevados, el 87,5% de los mismos presentaron un total acuerdo por parte de los estudiantes y un 12,5% un acuerdo. Ninguno de los estudiantes valoraron los ítems como más o menos, en desacuerdo y totalmente en desacuerdo.

Conclusión: Del estudio se desprende que esta estrategia satisface las expectativas de los estudiantes y nos desafía a profundizar en las mismas.

Palabras claves: curso semipresencial, postgrado

OBSTÁCULO EPISTEMOLÓGICO EN LA ENSEÑANZA DE LA RELACIÓN CÉNTRICA EN PROSTODONCIA

*Aredes JE, Varela LB, Rodríguez A, Caputo LG.
Carrera de Especialización en Prosthodontia. Facultad de Odontología. Universidad de Buenos Aires.

Objetivo. Evaluar obstáculos en la comprensión y operacionalización del concepto de relación céntrica en el ámbito de la prostodoncia. **Método.** El presente trabajo es un estudio cualitativo, prospectivo y longitudinal sobre las conceptualizaciones que los cursantes de la carrera de Especialización en Prosthodontia de la UBA manifestaban al inicio de la carrera. En este trabajo se indicó a cada alumno que desarrolle por escrito la mejor y más completa definición del tema que pudieran realizar, y luego se analizaron los puntos en común de todas las respuestas intracohorte y, a posteriori, entre todas las cohortes del año 2006 al 2016, completando 231 muestras de 249 cursantes. Al contrastar estas definiciones con las siete aceptadas por la Academia Internacional de Prosthodontia se determinó intraclase, por autocorrección, que ninguna de las respuestas era aceptable desde este marco teórico y de aplicación. Del análisis de los términos utilizados se concluye que la referencia a "ser una posición condilar" (226 de 231 respuestas), independientemente de más anterior o posterior, se reconoce como un obstáculo epistemológico. Se estableció una propuesta de acción áulica en que se trabajó promoviendo la identificación de dicho obstáculo y el desarrollo de un modelo de enseñanza para la comprensión, desde el abordaje conceptual del término, las diferencias y coincidencias intracohorte, el análisis de las definiciones publicadas en el glosario de términos prosthodonticos y su aplicación práctica. **Resultado:** Se identificó en cada grupo de discusión las diferencias sustanciales en la definición y su aplicación clínica. Luego se evaluó la adquisición de las nuevas nociones teóricas desarrolladas y sus aplicaciones clínicas con un nivel de aprobación del 98%. Se identificó en el análisis de las 10 cohortes un elemento común en los conceptos preadquiridos que identificamos como un obstáculo para la comprensión del tema. Los docentes identificaron el obstáculo conceptual y modificaron el abordaje de los saberes previos. **Conclusión:** Definir en prostodoncia a la relación céntrica como una "posición de los cóndilos en la cavidad glenoidea" genera un preconcepción que termina siendo una potente influencia que limita el proceso de aprendizaje, comprensión y operacionalización del tema.

Palabras clave: relación céntrica, obstáculo epistemológico

ESTRATEGIAS DE APRENDIZAJE EN ESTUDIANTES UNIVERSITARIOS DE DIFERENTES COMUNIDADES EPISTÉMICAS

Basterrechea L^{1,2}, Gomez Diz W¹, *Argentieri A³, Salgado P^{2,3}, Bordoní N^{2,3}.

1. Facultad de Arquitectura (UBA). 2. Instituto de Investigaciones en Salud Pública. 3. Facultad de Odontología. (UBA) Cátedra de Odontología Preventiva y Comunitaria.

OBJETIVO: identificar las estrategias de aprendizaje preferidas por estudiantes avanzados en carreras de diferentes comunidades epistémicas. **MÉTODOS:** los criterios de inclusión se establecieron en función de las competencias adquiridas en campos tecnológicos específicos: Epidemiología y Construcciones III, según los enunciados curriculares explícitos en las carreras. Las muestras estuvieron constituidas por 96 estudiantes de Odontología (GO) y 52 de Arquitectura (GA), sobre quienes se realizó la caracterización del perfil sociodemográfico y se aplicó un cuestionario validado (ACRA-A) para identificar las estrategias preferidas por los estudiantes de GO y de GA en las dimensiones: *adquisición control de aprendizaje (ACA)*, *dominio de apoyo al aprendizaje (AA)* y *hábitos de estudio (HE)*. Se realizó el análisis de las diferencias entre las respuestas de ambos grupos por dominio y por reactivos del instrumento aplicado. La estadística incluyó: (a) prueba de Student para muestras independientes para analizar diferencias en puntaje total y por dimensiones entre grupos; (b) prueba de rangos con signo de Wilcoxon o prueba de Mc Nemar para analizar las diferencias entre los reactivos de GO y GA; (c) prueba de Mann-Whitney para analizar los reactivos en forma individual comparando la frecuencia de respuesta en la escala de Likert y polarizada. Se consideró para rechazar la H_0 una $p \leq 0,05$. **RESULTADOS:** no existieron diferencias significativas al considerar la edad de los estudiantes (25-33 años). Se registraron diferencias significativas entre GO y GA en sexo, siendo superior el femenino en GO ($p=0,001$). Se registraron diferencias significativas en las preferencias expresadas para los dominios ACA y AA, con mayor preferencia para GO ($p=0,01$). Al analizar los ítems, se encontró mayor preferencia de GO ($p=0,02$) para los reactivos 6 y 11. No se registraron diferencias significativas en los diferentes dominios para sexo y edad. **CONCLUSIÓN:** la elección de estrategias de aprendizaje preferidas sugiere adoptar estrategias didácticas tendientes a generar competencias de intervención basadas en la traslación de conocimientos tecnológicos a la práctica concreta, especialmente en los casos en los cuales las bases tecnológicas no conllevan intervenciones en prácticas situadas. Financiamiento y Comité de Ética: UBACYT 20620130100014BA

Palabras clave: Educación odontológica - Aprendizaje

INVENTARIO DE ESTRATEGIAS DE ESTUDIO Y APRENDIZAJE EN ESTUDIANTES DE ODONTOLÓGIA

Argentieri A¹, *Culacciati C¹, Basterrechea L^{2,3}, Squassi A^{1,2}, Salgado P^{1,2}, Bordoni N^{1,2}.

1. Facultad de Odontología (UBA) Cátedra de Odontología Preventiva y Comunitaria. 2. Instituto de Investigaciones en Salud Pública. 3. Facultad de Arquitectura (UBA).

Las estrategias de aprendizaje son un conjunto organizado, consciente e intencional de lo que hace el estudiante para lograr con eficacia un objetivo de aprendizaje en un contexto social dado. **OBJETIVO:** determinar el tipo y frecuencia de uso de estrategias de aprendizaje en estudiantes de 3º año de la carrera de Odontología y analizar su utilización en función de la permanencia institucional. **MÉTODOS:** estudiantes de Odontología (n=189), que cursan la asignatura Clínica Integrada II de la carrera de Odontología (3º año), en forma regular, respondieron el cuestionario LASSI (Weinstein, 1988). Este instrumento consta de 10 dimensiones: actitud e interés (D1), motivación (D2), administración (D3), ansiedad (D4), concentración (D5), procesamiento de información (D6), selección de ideas principales (D7), ayuda para el estudio (D8), autoevaluación (D9) y estrategias para examen (D10), en función de los procesos cognitivos organizados en 77 reactivos. Las respuestas a cada reactivo fueron registradas mediante una escala de Likert (5 opciones). El puntaje total se obtuvo mediante asignación de valores a las respuestas elegidas. Los estudiantes fueron agrupados de acuerdo con el tiempo transcurrido entre el ingreso a la carrera y el curso de la asignatura (permanencia institucional (PI)). El procesamiento estadístico incluyó cálculo de media e intervalo de confianza para puntajes (total y por dominio) y comparación entre grupos (PI) mediante ANOVA de un factor y *post hoc* Tukey. **RESULTADOS:** el componente femenino fue 75%. El puntaje total para la muestra fue 275,3 (71,5% del máximo posible). Los puntajes por dominio fueron: D1: 31,4 / D2: 29,8 / D3: 27,3 / D4: 21 / D5: 26,8 / D6: 32,4 / D7: 19,6 / D8: 29,3 / D9: 27 / D10: 30,7. Se registraron diferencias significativas al agrupar a los estudiantes según PI en D1 (p=0,015); D2 (p=0,006); D9 (p=0,001) y el puntaje total (p=0,008), con valores mayores para alumnos tenían menor PI. **CONCLUSION:** existen diferencias significativas en el uso de estrategias de aprendizaje, expresadas por estudiantes de Odontología mediante la utilización de este instrumento, con mayor impacto en aquellos con menor tiempo de permanencia institucional en las dimensiones: actitud e interés, motivación autodisciplina y disponibilidad y autoevaluación y repaso. Financiamiento y Comité de Ética: UBACYT 20620130100014BA

Palabras clave: educación odontológica, aprendizaje

PARTICIPACIÓN DE ALUMNOS EN UN PROGRAMA ODONTOLÓGICO RURAL. ANÁLISIS DE RENDIMIENTO OPERATIVO

Rossi G¹, *Masoli C¹, Sorazabal A¹, Fernandez CR¹, Salgado P^{1,2}, Capuano C^{1,2}.

1. Facultad de Odontología (UBA) Cátedra de Odontología Preventiva y Comunitaria. 2. Instituto de Investigaciones en Salud Pública.

OBJETIVO: evaluar el rendimiento operativo de los alumnos del último año de la carrera de Odontología de la Facultad de Odontología de la Universidad de Buenos Aires, participantes de una asignatura optativa incluida en la modalidad de Práctica Social Curricular (PSC). **MÉTODOS:** fue analizado el rendimiento operativo de 43 alumnos de 6º año (edad: 27 ± 3; rango: 23-31) que participaron de un programa odontológico intensivo en escuelas rurales de la provincia de Misiones. El rendimiento operativo se midió en unidades odontológicas (UO) (CORA, 2013) durante los primeros 4 días de la actividad (lunes-jueves, 8hs totales c/día). Se analizaron las siguientes variables: tiempo transcurrido desde el ingreso a la Facultad (6-7 años / 8-10 años), características de la sede donde cursa la asignatura Articulación Docencia Servicio de Salud (ADSS) (no escolar / escolar), día de la semana, participación previa en programas intensivos y cantidad de pacientes atendidos. Fueron determinadas distribución de frecuencias para las variables cualitativas; y media y desvío estándar (DS), para las cuantitativas. El procesamiento estadístico incluyó ANOVA de medidas repetitivas, prueba de chi cuadrado y prueba t de Student. **RESULTADOS:** al analizar la variable "día de la semana", en términos de UO, se registraron: lunes: 66 ±37,34; martes 76 ±37; miércoles 86 ±28 y jueves 71 ±43, registrándose diferencias significativas entre días lunes y miércoles (p<0,002). Al analizar la variable "sede de cursada", se observaron diferencias significativas en relación a la cantidad de UO: "sede no escolar": 81±33; "sede escolar": 62±18 (p<0,019). No se observaron diferencias significativas en términos de UO ni en la cantidad de pacientes atendidos para las variables "tiempo transcurrido desde el ingreso a la Facultad", y "participación previa en programas intensivos". **CONCLUSIÓN:** el rendimiento operativo de los alumnos en programas rurales, analizado con esta metodología, presenta variaciones de acuerdo con el tiempo transcurrido de desarrollo del propio programa y con las características de la sede donde desarrollan las actividades curriculares obligatorias.

Palabras clave: educación odontológica, aprendizaje, programas escolares

EVALUACIÓN DEL ESTADO GINGIVO-PERIODONTAL EN EL SERVICIO DE ODONTOLÓGIA MATERNIDAD PROVINCIAL CÓRDOBA

*Salas L¹, Tabares S², Solari N³, Rosella C³, Villarruel C⁴, Alloati B³, Ghirardi F³, Ribotta de Albera E¹, Usin MM³, Sembaj A². 1. Fundación Independencia, sede Córdoba (UNCuyo). 2. Cátedra de Bioquímica y Biología Molecular, Facultad de Ciencias Médicas (UNC). 3. Cátedra B de Periodoncia, Facultad de Odontología (UNC). 4. Facultad de Ciencias Económicas (UNC). 5. Cátedra A de Periodoncia, Facultad de Odontología (UNC).

OBJETIVO: Nos propusimos evaluar la salud periodontal y determinar el Índice Periodontal Comunitario (IPNTC) asociado a variables socioeconómicas, peso del bebe al nacer, semanas de gestación, niveles en saliva de proteína C reactiva (PCR), en mujeres que asisten al Servicio de Odontología de la Maternidad Provincial de Córdoba. **METODO:** Se reclutaron 100 mujeres embarazadas y 50 no embarazadas que firmaron el consentimiento de participar en el proyecto (Registro RePIS 3065/16). Se evaluaron los parámetros periodontales: Nivel de Inserción Clínica, Profundidad al Sondaje; Hemorragia Superior e inferior e Índice de Placa superior e inferior. Respondieron un cuestionario de datos sociodemográficos validado. Se determinó el IPNTC según la OMS y la concentración de PCR en saliva total sin estimular por turbidimetría. Los datos se analizaron con tests chi cuadrado, Kruskas Wallis o T según correspondió, un $p < 0,05$ se consideró significativo, se utilizó el software Epidata3.1 **RESULTADOS:** El 71% de las embarazadas tenían edades entre 18 a 25 años, el 38%, previo al embarazo, presentaron peso normal y 25.5% sobrepeso. El 62% afirmó tener sangrado de encías a partir del embarazo. La frecuencia de nacimientos prematuros fue 18,18% y de nacimientos de bajo peso del 15,56%. Según el IPNTC, el 40.01% presentó código 3, lo que corresponde: *Instrucción de higiene bucal* y Raspaje y Alisado radicular como tratamiento. Se observó una proporción significativa con diabetes gestacional y con índice 3 ($p = 0.014$). La frecuencia de Hemorragia al cepillado en embarazadas y no embarazadas mostró diferencia ($p = 0.0001$). El 46% de pacientes con IPNTC 3 se asoció con concentraciones de PCR mayores de 3ng/ μ l ($p = 0.0452$, IC 95%). No se observó asociación estadística entre nacimientos prematuros y a término con concentración de PCR en saliva. **CONCLUSIONES:** observamos que, la mayor cantidad de sextantes analizados pertenecían a los **códigos de enfermedad 3** (40.04%) y 2 (31.1%), que se correlacionaron con el **Código 2 de Tratamiento** de IPNTC, indicando la necesidad de Instrucción en Higiene Oral, Raspaje y Alisado Radicular y/o Regularización de Obturaciones. La mayoría de las pacientes podrían ser tratadas, solo con Terapia Básica y el 6.1% de las pacientes deberían ser derivadas al especialista en Periodoncia. Financiación SECyT : **Res SECyT 313_16 Anexo I**. Comité de Ética: REPIS 3065/16.

Palabras clave: embarazo, enfermedad periodontal, proteína C reactiva

PREVALENCIA Y FACTORES DE RIESGO DE EROSIÓN DENTAL EN ESCOLARES URBANOS Y RURALES

*Sorazabal A¹, Pagano MC¹, Dellepiane ME¹, De Santis MA¹, Salgado P^{1,2}, Argentieri A¹.

1. Facultad de Odontología (UBA) Cátedra de Odontología Preventiva y Comunitaria. 2. Instituto de Investigaciones en Salud Pública

La pérdida de tejido dentario por erosión es una lesión que se ha incrementado en los últimos años. Los datos mundiales de prevalencia muestran valores de hasta el 35% según los indicadores utilizados y población estudiada. **OBJETIVO:** estimar la prevalencia de erosión dental en escolares urbanos y rurales y establecer asociación con factores relacionados con estilo de vida. **MÉTODOS:** se realizó un estudio observacional descriptivo en 508 niños, G1: 372 urbanos edad $x = 10 \pm 3$) y G2: 131 rurales edad $x = 8 \pm 2$) que concurren a escuelas de la CABA y de la Colonia Guaraypo, municipio de Montecarlo, Misiones. Criterios de exclusión: pacientes con ortodoncia, riesgo médico y patologías de la estructura dental. Se realizó un cuestionario autoadministrado referido al estilo de vida y se diagnosticó erosión mediante el índice de Smith y Knight (SyK) previo consentimiento informado. Se realizó el análisis estadístico mediante medidas de tendencia central y dispersión, chi cuadrado y Odds Ratio. **RESULTADOS:** el 91,5% de los niños de G1 y 92,4% de los de G2 presentaron pérdida erosiva del tipo leve. No se encontraron diferencias estadísticamente significativas entre ambos grupos en cuanto a la prevalencia ni a la severidad. Las bebidas más consumidas fueron para G1: Agua 97,3%, leche 85,5%, gaseosa 78,5%, jugo en polvo 72% y yogurt 70,2%; mientras que para G2: terere 99,2%, leche 83,2%, gaseosa 80,9%, agua 64,8%, yogurt 57,2% y jugo exprimido 56,5%. Se encontró asociación entre erosión y el consumo de gaseosas en G1. El OR para el consumo de gaseosa fue para G1 de 2,96 [I.C. 1,40-6,23] ($p = 0,03$) mientras que en G2 fue de 3,17 [I.C. 0,82-12,24] [$p = 0,8$]. Al analizar hábitos de higiene oral, más del 65% tanto en G1 como G2 no se cepillan después del desayuno, más del 70% no lo hace después del almuerzo; luego de la cena más del 80% tanto en G1 como G2 refieren realizarlo. No se observan diferencias entre los grupos. **CONCLUSION:** la estimación de la prevalencia fue elevada en ambos grupos. Se encontró asociación con el consumo de gaseosas en los escolares urbanos. Financiamiento y Comité de Ética: UBACYT 20720160100001BA

Palabras clave: erosión dental, factores de riesgo, prevalencia

MORBILIDAD POR CARIES EN NIÑOS DE 5 AÑOS BAJO PROGRAMA ODONTOLÓGICO FOCALIZADO

*Fuks J¹, Fort A¹, Napoli A¹, Salgado P^{1,2}, Pazos X¹, Klemonsks G^{1,2}, Squassi A^{1,2}.

1. Facultad de Odontología (UBA) Cátedra de Odontología Preventiva y Comunitaria. 2. Instituto de Investigaciones en Salud Pública

OBJETIVO: comparar la morbilidad dentaria en niños de 5 años según cobertura efectiva de un programa de atención odontológica en el jardín de infantes. **MÉTODOS:** se realizó un estudio de corte transversal, sobre una muestra intencionada de 159 niños de 5 años, que asisten a un jardín de infantes del Municipio de Avellaneda, en el que se desarrolla un programa atención odontológica con perfil preventivo con un nivel resolutivo hasta el alta integral 1. La variable morbilidad por caries dental se operacionalizó con los índices ceod/ceos. Las variables analizadas fueron atención odontológica sistemática en el programa y años de cobertura efectiva. Se utilizaron para definir subconjuntos poblacionales: Grupo A (GA): con cuidados odontológicos sistemáticos; (GA2): con dos años de cobertura efectiva y (GA1): con un año de cobertura efectiva; Grupo B (GB): sin cuidados odontológicos sistemáticos. *Procesamiento estadístico:* para describir las variables cuantitativas se calcularon el promedio, desvío estándar, mediana y cuartiles. Para comparar los componentes de estado dentario se aplicaron pruebas no paramétricas de Kruskal-Wallis con corrección de Bonferroni. En todos los casos los test estadísticos aplicados son para muestras independientes. Se utilizó un nivel de significación menor del 5% para rechazar la hipótesis nula. **RESULTADOS:** los valores del índice ceod (media \pm DS) fueron: GA1= 2 \pm 2,9 / GA2=1,8 \pm 2,1 / GB= 5,7 \pm 3,9, con una mediana: GA1=1 /GA2=1 /GB=5. El componente c/ceod (media \pm DS) fue: GA1= 1,2 \pm 2,6 / GA2= 0,9 \pm 1,6 / GB=5,1 \pm 3,7. El componente o/ceod (media \pm DS) fue: GA1= 0,6 \pm 1,4 / GA2= :0,5 \pm 1,1 / GB= 0,4 \pm 0,9. Los valores del índice ceos (media \pm DS) fueron: GA1= 2,9 \pm 3,9 / GA2=:1,6 \pm 3 / GB= 8,7 \pm 8,1, con una mediana: GA1=1 /GA2=0 /GB=7. El componente c/ceos (media \pm DS) fue: GA1= 2 \pm 2,8 / GA2= 1,1 \pm 2,5 / GB= 7,9 \pm 7,6. El componente o/ceos (media \pm DS) fue: GA1= 0,6 \pm 1,4 / GA2= 0,5 \pm 1,1 / GB= 0,4 \pm 0,9. Se encontraron diferencias significativas para todos los componentes del índice ceod entre el grupo B con respecto a los grupos A1 y A2 (p<0,01). **CONCLUSION:** a los 5 años de edad la morbilidad dentaria resultó significativamente menor en niños de 5 años que recibieron cuidados sistemáticos de salud bucal en el jardín. Financiamiento y Comité de Ética: UBACYT 20720160100001BA

Palabras clave: caries dental, programas escolares, estudios de efectividad

GESTIÓN INSTITUCIONAL INTERNA PARA LA EJECUCIÓN DEL ANÁLISIS DE SITUACIÓN EN SALUD

*Bordoni N, Squassi A.

Facultad de Odontología (UBA) Cátedra de Odontología Preventiva y Comunitaria. Instituto de Investigaciones en Salud Pública.

OBJETIVO: diseñar y validar un Modelo para la Gestión Institucional Interna destinado a establecer las competencias para el desarrollo del análisis de situación de salud comunitaria (ASIS). **MÉTODOS:** se plantearon las siguientes etapas: 1) diseño del instrumento basado en modelos de gestión de calidad (pregunta: cuáles deben ser las competencias del investigador que debe realizar el ASIS, expresadas en dominios y reactivos descriptores?); 2) selección de la escala a utilizar para las respuestas a los reactivos descriptores (escala dicotómica nominal); 3) aplicación del coeficiente de consenso que responde a la formula $KC = (1 - VN/VT) \times 100$ en una muestra piloto (20 docentes con experiencia en trabajos de campo urbanos y rurales); 4) validación del instrumento en términos de confiabilidad y validez de contenido, de constructo (convergente y discriminante), fiabilidad de la escala y ponderación de las dimensiones por análisis de expertos. **RESULTADOS:** fueron identificados 10 componentes estructurados en 61 subcomponentes enunciados como reactivos: a) descripción de la situación socio-histórico-cultural del territorio; b) descripción socio-demográfica de la población; c) identificación de riesgos a nivel comunitario, familiar o individual; d) descripción de los servicios de salud y análisis de las acciones de salud; e) descripción y análisis de problemas de salud de la población; f) análisis de la participación de la población en identificación y solución de problemas de salud; g) análisis de la intersectorialidad en la gestión de salud comunitaria; h) tratamiento metodológico de la información; i) situación de salud, j) elaboración de un plan de acción. El KC alcanzó 97,8 % de consenso. La técnica de validación planteada en términos de confiabilidad y validez requiere la participación de investigadores expertos en gestión de calidad y en procesos analíticos jerárquicos para la toma de decisiones. **CONCLUSION:** El coeficiente de consenso confirmó la aceptabilidad del instrumento. Los resultados permiten recomendar la validación final del instrumento y su empleo para evaluar la competencia de investigadores en el proceso del análisis de situación destinada a la toma de decisiones en salud pública. Financiamiento y Comité de Ética: UBACYT 20620130100014BA

Palabras clave: análisis de situación, gestión institucional, salud pública

45

CALIDAD DE VIDA RELACIONADA CON SALUD BUCAL EN ESCOLARES DE COMUNIDADES ETNOGRÁFICAS DIFERENTES

Fernandez C¹, *Pagano MC¹, Argentieri A¹, Squassi A^{1,2}, Salgado P^{1,2}, Bordoní N^{1,2}.

1. Facultad de Odontología (UBA) Cátedra de Odontología Preventiva y Comunitaria. 2. Instituto de Investigaciones en Salud Pública

OBJETIVO: analizar la percepción respecto del impacto que la salud bucal es capaz de producir sobre su calidad de vida en estudiantes de 6o. grado de educación básica en comunidades etnográficas diferentes. **MÉTODOS:** la muestra estuvo constituida por 40 estudiantes asistentes a una escuela urbana dependiente del Ministerio de Educación de la Ciudad de Buenos Aires (GU) y 30 estudiantes del mismo nivel asistentes a una escuela de la municipalidad de Tres Isletas (Depto. Maipú, Provincia de Chaco) (GR), con comunidades preferentemente de la etnia Qom. Fue aplicado, cumpliendo con requisitos ético-legales y sin que mediaran aportes mediatizadores de los investigadores, el cuestionario CPQ 11-14 (versión abreviada) validado al español y ajustado por su equivalencia semántica. Se realizó el análisis de la distribución sociodemográfica en ambos grupos. Fue establecida la distribución de frecuencia de las variables cualitativas, incluyendo la identificación del nivel de castellanización alcanzado por los escolares según el informe de equipos docentes locales (Ministerio de Educación y Deportes de la Nación, 2016). Se analizó la percepción del impacto de la caries dental sobre calidad de vida expresada en ambos grupos, por dominio y por reactivo, empleando el test de independencia (chi cuadrado). La historia de caries dental evaluada mediante CPOD incluyendo mancha blanca y se comparó mediante la prueba U de Mann-Whitney. **RESULTADOS:** La media de edad fue: GU= 12,9 ±0,5; y GR= 11,8 ±1,1. La distribución por sexo no mostro diferencias significativas. Al analizar el proceso de castellanización se encontró que mantenían el nivel bilingüe bicultural. Cuando se comparó el impacto que la caries dental generaba sobre ambos grupos se encontraron diferencias significativas en la totalidad del instrumento (26,9% en GU; 4,1 % en GR) y en cada uno de los dominios, sin que existan diferencias significativas en los valores de CPOD entre ambos grupos. **CONCLUSIÓN:** la percepción del impacto de la salud bucal sobre la calidad de vida resultó significativamente mayor en los escolares urbanos que en los rurales, aunque el proceso de caries dental encontrado en cada grupo no reveló diferencias significativas. Financiamiento y Comité de Ética: UBACYT 20620130100014BA

Palabras clave: calidad de vida, caries dental, estudios etnográficos

46

AUTOESTIMA Y SALUD BUCAL EN ADULTOS CON PATOLOGÍAS PSIQUIÁTRICAS POST-TRATAMIENTO REHABILITADOR PROTÉTICO

*Morasso AM¹, Perez Meyer ML¹, Marseillan M¹, Bordoní N^{2,3}, Squassi A^{2,3}.

1. Doctorado en Ciencias de la Administración, Facultad de Ciencias Económicas (UNLP). 2. Facultad de Odontología (UBA) Cátedra de Odontología Preventiva y Comunitaria. 3. Instituto de Investigaciones en Salud Pública.

OBJETIVO: comparar la situación de salud bucal y la autoestima de adultos con patologías psiquiátricas agudas y crónicas en proceso de externación, como evaluación ex-post rehabilitación protética en la gestión de un modelo para la reinserción sociolaboral. **MÉTODOS:** se realizó un estudio descriptivo transversal en Centros de Salud Comunitarios del sistema público de la provincia de Buenos Aires que operan programas para la reinserción socioeconómica. Se integró una muestra intencionada con 96 adultos con diagnóstico de patologías psiquiátricas agudas (GA) y crónicas (GC) que recibieron rehabilitación protética. Se consideraron variables independientes (sexo, edad patología y dependientes (tiempo de permanencia, nivel educativo). Las variables observables endógenas fueron salud bucal y satisfacción estimadas con los indicadores CPOD y RESES. Las unidades de análisis fueron pareadas según la variable edad. Se analizó la normalidad de la diferencia con Shapiro Wilk test. Se realizó procesamiento estadístico mediante prueba de Mann-Whitney y prueba de t de Student para muestras apareadas. **RESULTADOS:** La edad de los usuarios (media aritmética (SD)) fue para GA (n=42) 48,17(11,45) y GC n=54 48,58(11,28) años. El tiempo de permanencia en el programa fue: GA= 7,29(12,47) años y GC 6,5(4,47) años. El valor media (SD) de la diferencia fue -4,7(8,5) años y no se rechazó la normalidad de la diferencia (p=0,06). La diferencia entre ambos grupos referida al tiempo de institucionalización previo al ingreso al programa fue -0,18 (sistema de internación - nivel educativo). Los valores CPOD (media aritmética (SD)) fueron para GA= 14,95(8,71) y para GC= 20(7,69), con diferencias significativas entre ambos grupos (p=0,006). El componente perdido (P) fue para GA= 12(9,7) y para GC= 16(8,9). La correlación CPOD-edad fue positiva GA (r= 0,37) y GC (r= 0,58). Los valores para la variable autoestima RESES fue (media (IQR)) GA= 25,24(1,00) y GC= 21,49(1,5) (p< 0,01). **CONCLUSIONES:** Los datos muestran una condición vulnerable de salud bucal significativamente mayor para adultos en proceso de externación con patologías psiquiátricas crónicas y valores de satisfacción bajos aunque significativamente mayores para el grupo que presenta patologías agudas.

Palabras clave: salud bucal, adultos psiquiátricos, ciencias del comportamiento

47

AUTOPERCEPCIÓN DE SALUD BUCAL, EMPLEABILIDAD Y CONDICIONES**SOCIODEMOGRÁFICAS: ANÁLISIS DE UN INSTRUMENTO***Perez MB¹, Cotelo L¹, Sanchez ML¹, Bordoni N^{1,2}, Squassi A^{1,2}, Salgado P^{1,2}, D Eramo L^{1,2}.

1. Facultad de Odontología (UBA) Cátedra de Odontología Preventiva y Comunitaria. 2. Instituto de Investigaciones en Salud Pública

Objetivo: realizar el análisis psicométrico de un instrumento destinado a evaluar el impacto de la percepción de salud bucal sobre las expectativas para obtener empleo y asociar con variables sociodemográficas. **Métodos:** sobre un instrumento destinado a evaluar el impacto de la autopercepción de salud bucal sobre las expectativas y limitaciones para obtener empleo se predefinieron 2 dominios: "Percepción de higiene, salud bucal y condición estética" (D1= 11 reactivos) y "Perspectiva de la condición de salud y estética bucal en relación a la búsqueda laboral" (D2= 7 reactivos) y se aplicó, en forma autoadministrada, anónima y voluntaria, sobre una muestra intencionada de 87 individuos en edad económicamente activa, de ambos sexos, concurrentes a un servicio de atención por demanda espontánea. Las respuestas fueron registradas mediante una escala tipo Likert (valor 1-5) y se elaboró un puntaje total (PT) y puntaje por dominio (PD1 y PD2). Se registraron datos demográficos (edad, sexo) y referidos a empleo (situación laboral, cobertura de salud, búsqueda laboral, intención de cambio de trabajo). La consistencia interna de cada dominio se estableció mediante coeficiente α de Cronbach. La validación de la asignación de reactivos a cada dominio fue realizada mediante Análisis Factorial Confirmatorio (AF) con rotación Varimax. Se realizó correlación entre dominios mediante prueba de Spearman y comparación de puntajes entre grupos de individuos mediante prueba t para muestras independientes. Resultados: la distribución de PT, PD1 y PD2 se aproxima a la normalidad, observando correlación baja aunque significativa entre PD1/PD2 ($\rho=0,413$; $p<0,001$). Coeficiente α de Cronbach: PT=0,814; PD1=0,783; y PD2=0,706. El AF confirmó la asignación de reactivos a los dominios predefinidos. Se registraron diferencias significativas en: PD1 entre individuos agrupados de acuerdo con "búsqueda laboral" ($p=0,033$); PT y PD2 al agrupar por "intención de cambio de trabajo" ($p=0,015$ y $p=0,03$); y en PT, PD1 y PD2 al agrupar combinando variables "búsqueda laboral" e "intención de cambio de trabajo" ($p=0,009$; $p=0,018$ y $p=0,03$) y según edad (>40 años; $p<0,001$). **Conclusión:** el instrumento se asocia en su totalidad y por dominios con edad y la autodefinición de condiciones de movilidad laboral. Financiamiento y Comité de Ética: UBACYT 20720160100001BA

Palabras clave: percepción de salud, salud bucal, calidad de vida

48

AUTOPERCEPCIÓN DE SALUD BUCAL Y EXPECTATIVAS DE EMPLEABILIDAD:**DISEÑO Y VALIDACIÓN DE CUESTIONARIO***Sanchez ML¹, Cotelo L¹, Perez MB¹, Bordoni N^{1,2}, D Eramo L^{1,2}, Salgado P^{1,2}, Squassi A^{1,2}.

1. Facultad de Odontología (UBA) Cátedra de Odontología Preventiva y Comunitaria. 2. Instituto de Investigaciones en Salud Pública

Objetivo: desarrollar y validar un inventario que permita evaluar de modo sistemático el impacto de la autopercepción de salud bucal sobre las expectativas para la obtención de empleo en personas en edad económicamente activa, que concurren a un centro de atención en forma espontánea. **Métodos:** se elaboró un inventario destinado a evaluar el impacto de la autopercepción de salud bucal sobre las expectativas y limitaciones para obtener empleo en personas en edad económicamente activa, basado en bibliografía. La validez de contenido se estableció mediante la opinión por juicio de 5 expertos de diferentes disciplinas, definiendo la pertinencia de 25 reactivos. Las respuestas a los cuestionarios fueron registradas mediante una escala tipo Likert (5 opciones). Se tomó una prueba piloto sobre 30 individuos, a efectos de evaluar la comprensión de los reactivos. La aplicación del inventario se realizó en forma autoadministrada, anónima y voluntaria, cumpliendo con requisitos ético-legales, sobre una muestra intencionada de 100 individuos en edad económicamente activa, de ambos sexos, que concurren a un servicio de atención odontológica por demanda espontánea (Servicio de Urgencias y Orientación de Pacientes - FOUBA). Se realizó la distribución de frecuencias de cada reactivo. La consistencia interna se determinó mediante el coeficiente α de Cronbach y la validez de constructo mediante el método de Análisis Factorial Exploratorio (AF) por Componentes Principales (rotación Varimax). **Resultados:** respondieron el inventario 87 individuos (67,8% mujeres; edad media 37 años (18-68); 89,4% argentinos; 69% con cobertura de salud; 71,3% con trabajo; 69% con intención de cambiar de trabajo). A partir de los valores del α de Cronbach se excluyeron 7 reactivos (25 reactivos= 0,767; 18 reactivos= 0,814). En el AF, el test de esfericidad de Barlett fue estadísticamente significativo ($p<0,001$) y la medida de Kaiser-Meyer-Olkin de adecuación de muestreo fue 0,762. La varianza total explicada con autovalores mayores que 1 es de 65,9% con los reactivos agrupados en 6 componentes. **Conclusión:** se diseñó un instrumento que permite evaluar el impacto de la auto-percepción de salud bucal sobre las expectativas para la obtención de empleo con alta confiabilidad y validez de constructo. Financiamiento y Comité de Ética: UBACYT 20720160100001BA

Palabras clave: percepción de salud, salud bucal, calidad de vida

ESTUDIO COMPARATIVO DE RESISTENCIA FLEXURAL RESINAS ACRÍLICAS POR MICROONDAS Y ALTO IMPACTO

*Atala JL, Ocampo M, Cabral R, Ibañez C, Brochero G.
Facultad de Odontología (UNC).

Introducción: Los materiales para bases de dentaduras completas han evolucionado en sus diversas etapas de desarrollo durante las últimas décadas. El material más utilizado en la elaboración es el polimetacrilato de metilo; sin embargo este material no está exento de limitaciones, en términos de resistencia flexural y resistencia al impacto. Se ha demostrado que las fracturas en la línea media de las bases de dentaduras son comunes. Se han desarrollado resinas acrílicas más fuertes con adición de nuevos materiales, como las resinas acrílicas de alto impacto, cuyos modificadores incluyen copolímeros, agentes de entrecruzamiento y sustancias de goma en forma de estireno butadieno. La adición de +caucho en resinas para bases procesadas de "alto impacto" en la forma de acrilato de butadieno, produce una mayor resistencia de impacto porque causa dispersión de las grietas. **Objetivo:** evaluar la resistencia a la flexión del acrílico Newcryl de New Stetic, aplicando dos métodos de polimerización, mediante un dispositivo universal de pruebas o probetas para su comparación. **Material Método:** Se conformaron 2 grupos experimentales (n=20) con probetas de $60 \pm 0,5$ mm de diámetro y $3 \pm 0,5$ mm de grosor, se prepararon de acuerdo con los requerimientos que indica la Norma ISO 1567:1999 para realizar los ensayos. Las muestras se confeccionaron con resina acrílica termocurable por microondas y con resina acrílica de alto impacto que se procesaron con técnica clásica a cada una de las muestras se las montó en una máquina de ensayo universal DIGIMESS de carga uniforme, acción central y perpendicular para medir la deflexión a una velocidad de avance constante de 5mm/min hasta que el espécimen llegó a su máxima resistencia de flexión. **Resultados:** los discos en microondas registraron valores de resistencia a la rotura de $12,55 \pm 2,46$ MPa, en tanto que el grupo de probetas de acrílico de alto impacto tuvo una resistencia de $16,87 \pm 2,16$ MPa (media \pm desviación estándar), resultando estadísticamente significativas las diferencias entre ellos ($p < 0,05$). **Conclusión:** El estudio y análisis de las propiedades físico-mecánicas, entre otras, las de acrílico de alto impacto presentaron una mejor respuesta mecánica (mayor resistencia flexural) que los acrílicos tratados con microondas. **Palabras clave:** flexión, microondas, impacto

RESINA CAD-CAM PARA DENTADURA: ANÁLISIS LONGITUDINAL Y COMPARATIVA DE RUGOSIDAD Y MICRODUREZA

*Marcello Toala OO, Moreira Bringel Da Costa R, Alves da Silva R, Neppelenbroek KH, Magalhães C, Soares Lara V, Carvalho Porto V.
Facultad de Odontología de Bauru, USP

OBJETIVO Analizar las propiedades de rugosidad superficial y microdureza de la resina acrílica CAD-CAM para base de dentadura después de termo-envejecimiento simulando 3 años (3000 ciclos de inmersión).

MÉTODOS Fueron confeccionados especímenes (n=60) cuadrangulares (12mm x 3 mm) divididos de forma aleatoria para cada grupo experimental. Los grupos fueron establecidos de acuerdo a su proceso de polimerización: GC (Grupo control) (Vipi Cril Plus) resina pneumo-termo-polimerizada; G1 (Vipi Wave): resina polimerizada por microondas y G2 (Vipi Block Gum): Bloque de resina CAD-CAM. Las pruebas fueron: Microdureza Knoop (KHN) y Rugosidad superficial (R_a - μ m). Los especímenes fueron sometidos a termo-envejecimiento con temperaturas estables (5°C y 55°C) con duración de 60 segundos en cada inmersión. A su vez, fueron divididos en cuatro tiempos de envejecimiento: T0: 0 ciclos; T1: 500 ciclos; T2: 1000 ciclos y T3: 3000 ciclos. Los análisis estadísticos para comparación entre grupos fueron ANOVA 1 criterio, prueba de Tukey y, para comparación inter-grupos ANOVA medidas repetidas, todos con nivel de significancia $p < 0,05$.

RESULTADOS Rugosidad: No existió diferencia significativa inter e intra-grupos independiente del tiempo evaluado T3: GC(0.242 \pm 0.044), G1(0.276 \pm 0.08), G2(0.230 \pm 0.041). Microdureza: valores elevados en G2 (T0:17.9 \pm 0.3; T1:17.8 \pm 0.5) cuando comparados con GC(T0:16.6 \pm 0.3; T1:16.3 \pm 0.3) y G1(T0:16.4 \pm 0.6; T1:16.3 \pm 0.2) ($p=0.00$). En T2, se observó una reducción significativa en todos los grupos, siendo más pronunciada en G2 (16.3 \pm 0.3). Finalmente, en T3 el GC(17.3 \pm 0.4) presentó un aumento considerable de la microdureza ($p=0.00$); siendo el G1(16.3 \pm 0.3) y G2(16.4 \pm 0.3).

CONCLUSIÓN El protocolo de termo-envejecimiento no afectó la rugosidad de los grupos experimentales; probablemente, el método de procesamiento o forma de polimerización influyó en la estabilidad de los resultados. Por otro lado, la microdureza mostró una resina CAD-CAM superior en los tiempos iniciales con una reducción en el último tiempo (3 años). Este resultado indica que el método de procesamiento apenas tiene influencia en la microdureza, corroborando la hipótesis que el protocolo estandarizado, controlado e involucrando altas temperaturas e presión proporcionan propiedades mecánicas mejoradas. Es indispensable otras pruebas para corroborar los hallados de este estudio.

Palabras clave: resina CAD CAM, envejecimiento térmico, microdureza, rugosidad.

51

INTERFASE ADHESIVA DE UN CEMENTO UTILIZADO PARA FIJAR POSTES DE FIBRA

*Thompson L, Kokubu S, Pepe G, Martinez C, Tamini Elicegui LE, Abate PF.
Cátedra Odontología Integral Adultos. Facultad de Odontología. (UBA).

OBJETIVO: El objetivo del presente trabajo fue analizar e interpretar la Interfase adhesiva de un cemento de base polimérica (C) utilizado para fijar un poste orgánico reforzado con fibras (P) dentro de la preparación radicular (R) utilizando microscopía electrónica de barrido (MEB). **MATERIALES Y MÉTODOS:** Se utilizaron 26 premolares humanos inferiores divididos aleatoriamente en los siguientes grupos: A (n=18) tratamiento endodóntico y fijación de P (Exacto Nro. 1 – Angelus, Brasil) con C (RelyX U 200 – 3M ESPE, USA) al interior de R. B (n = 2) tratamiento endodóntico. C (n=2) preparación quirúrgica endodóntica sin obturación. D (n=2) fijación de P sin tratamiento endodóntico y E (n=2) sanos. Cada pieza fue incluida en resina epóxica y seccionada en forma paralela a su eje mayor en cortes de 1 mm de espesor partiendo del centro de la pieza dentaria y generando un corte a cada lado de la misma utilizando una cortadora metalográfica (Isomet 1000, Buehler, Lake Bluff, IL, USA) y discos diamantados a baja velocidad bajo refrigeración acuosa (BUEHLER Diamond Wafering Blade Series 15 HC). Se obtuvieron 4 cortes por cada pieza dentaria, utilizándose sólo las dos secciones centrales. Los 52 cortes fueron sometidos al tratamiento químico y mecánico correspondiente con el fin de desmineralizar y desproteínizar las muestras para poder observar la interfase adhesiva al microscopio electrónico de barrido. Se realizaron microfotografías a 500, 1000 y 2000 aumentos en marcas preestablecidas. **RESULTADOS:** Los especímenes de todos los grupos mostraron estructuras filamentosas en toda la extensión de la dentina con las siguientes características: forma tubular hueca, longitud variable (decenas hasta centenas de micrómetros), forma cilíndrica siguiendo la dirección de los túbulos dentinarios y muchas veces curvas pronunciadas o fracturas en su recorrido. **CONCLUSION:** Puede concluirse que, en relación a las observaciones realizadas, las estructuras guardan gran similitud con la lámina limitante, una estructura orgánica compuesta principalmente por glucosaminoglucanos que recubre la pared interna de los túbulos dentinarios y es resistente a las técnicas convencionales utilizadas para desmineralizar y desproteínizar las muestras para su posterior visualización en el MEB.

Palabras clave: postes de fibra, interfase adhesiva, microscopía electrónica de barrido

52

INTEGRIDAD DE UN CEMENTO UTILIZANDO DIFERENTES TÉCNICAS PARA FIJAR POSTES DE FIBRA

*Kokubu S, Pepe G, Thompson L, Tamini Elicegui LE, Abate PF.
Odontología Integral Adultos, FOUBA

OBJETIVO: Cuantificar y comparar la incorporación de burbujas de aire dentro de un cemento de resina utilizando diferentes técnicas para su inserción dentro de una preparación para poste. **MATERIALES Y METODOS:** Se utilizaron 21 premolares inferiores a los que previo tratamiento endodóntico se los preparó para recibir un poste. Se los dividió aleatoriamente en tres grupos según la técnica de inserción utilizada para llevar el cemento de resina (RelyX U200 AUTOMIX - 3M ESPE, USA) dentro de la preparación; G1: "Endo-tip", G2: Past-inject y G3: Poste. Cada pieza fue luego incluida en resina epoxi y seccionada en forma perpendicular a su eje mayor en cortes de 1 mm de espesor (Isomet 1000, Buehler, Lake Bluff, IL, USA). Se obtuvieron ocho cortes, utilizándose dos por cada tercio de la preparación (cervical, medio y apical) descartando los cortes entre tercios. Los seis cortes seleccionados fueron observados al microscopio (Axio Imager.A1, Carl Zeiss) y fotografiados. La medición de las burbujas se registró con un procesador de imágenes (Image-Pro Plus). **RESULTADOS:** Los resultados fueron expresados en micrómetros cuadrados y luego se calculó la razón respecto al área total del cemento.

Para la comparación entre grupos se utilizó la prueba no paramétrica de Kruskal-Wallis, y la prueba de Friedman para evaluar diferencias entre tercios. El nivel de significancia fue establecido en $p=0,05$. En la comparación entre técnicas, no se encontraron diferencias estadísticamente significativas (G1: 0,9; G2: 0,11; G3: 0,16; $p=0,25$); y en la comparación tercios, sólo se encontró una diferencia estadísticamente significativa entre los tercios coronal y apical (Co: 2,57; Ap: 1,43) de G3. **CONCLUSION:** Puede concluirse que, en función de los resultados obtenidos, las técnicas utilizadas no mostraron diferencias estadísticamente significativas respecto a la incorporación de burbujas de aire dentro de la interfase de cemento de resina. Sin embargo, se encontró una diferencia estadísticamente significativa en el G3 (poste) entre los tercios coronal y apical, siendo mayor la incorporación de burbujas en el tercio coronal, probablemente por ser el tercio más amplio y la técnica más irregular.

Palabras clave: poste de fibra, cemento de resina, burbujas

53

MICRODUREZA DE UNA RESINA BULK-FILL POLIMERIZADA CON TRES REGÍMENES DE CURADO

*Picca M, Garrofé A, Kaplan A.
Cátedra Materiales Dentales, Facultad de Odontología (UBA)

OBJETIVO: El objetivo del presente estudio fue comparar la microdureza Vickers (HV) de una resina bulk-fill a diferentes profundidades y polimerizada con tres regímenes de curado diferentes. **MATERIALES Y MÉTODOS:** Se confeccionaron probetas con un composite de aplicación en bloque (Bulk-fill): Filtek Bulk-Fill (3M ESPE). Las probetas semicilíndricas se realizaron con un conformador de 6mm de diámetro y 4mm de profundidad (n=5). La unidad de curado utilizada fue marca Valo en 3 regímenes según las siguientes potencias: 2 ciclos de 10s a 1000 mW/cm², 4 ciclos de 4s a 1400 mW/cm² y 2 ciclos de 3s a 3200 mW/cm². La HV se determinó realizando 3 indentaciones con 300g durante 8s a 1,2 3 y 4 mm desde la superficie de la probeta hacia el interior. Se utilizó un microdurómetro Vickers Future Tech FM300. Los resultados se analizaron estadísticamente mediante ANOVA para medidas repetidas y Prueba de Tukey. **RESULTADOS:** La media y DS de HV para cada potencia utilizada, en las 4 profundidades (y en las 3 ubicaciones -izq, medio, der-) fueron:

BAJA: [1mm] 56,0(2,9)/58,8(2,8)/52,6(2,0) - [2mm] 53,1(2,6)/52,3(6,4)/50,4(2,1) - [3mm] 47,3(2,2)/46,9(2,8)/45,6(4,1) - [4mm] 37,9(2,4)/38,6(2,3)/36,8(2,2)

MEDIA: [1mm] 55,8(2,9)/55,9(4,8)/55,7(2,2) - [2mm] 54,9(4,0)/57,7(4,3)/54,5(3,0) - [3mm] 49,1(4,0)/52,3(3,2)/52,5(3,5) - [4mm] 46,4(4,3)/47,2(3,3)/47,7(1,8)

ALTA: [1mm] 57,1(1,8)/59,3(1,2)/55,3(4,5) - [2mm] 52,8(6,0)/55,3(4,0)/50,8(4,9) - [3mm] 48,7(5,0)/50,3(5,4)/48,0(3,9) - [4mm] 43,9(4,9)/43,8(6,6)/41,2(5,3)

La evaluación con análisis de varianza mostró el efecto significativo de las variables profundidad y potencia (p<0.05), no así para la variable ubicación. La prueba de Tukey mostró la presencia de dos grupos homogéneos (diferencia entre la baja y alta potencia). **CONCLUSIONES:** Bajo las condiciones de este estudio podemos concluir que la microdureza de las resinas de inserción en bloque se ve afectada por el nivel de profundidad y el régimen de potencia utilizado.

Palabras clave: microdureza, profundidad de curado, Bulk-fill.

54

MICRODUREZA DE RESINAS BULK-FILL POLIMERIZADAS CON DIFERENTES UNIDADES DE CURADO

*Garrofé A, Picca M, Kaplan A.
Cátedra Materiales Dentales, Facultad de Odontología (UBA)

OBJETIVO: El objetivo del presente estudio fue comparar la microdureza Vickers (HV) en resinas bulk-fill a diferentes profundidades y polimerizadas con dos unidades de curado.

MATERIALES Y MÉTODOS: Se confeccionaron probetas con diferentes composites de aplicación en bloque (Bulk-fill): Filtek Bulk-Fill (3M ESPE) [FBF], Surefill SDR flow (Dentsply) [SDR], y Fill-UP (COLTENE) [FU]. Se confeccionaron probetas semicilíndricas con un conformador de 6mm de diámetro y 4mm de profundidad (n=5). La unidad de curado utilizada fue Coltolux LED (Coltene) con una intensidad de 1000 mW/cm² durante 20s y con una unidad Valo a 3200 mW/cm² durante 2 ciclos de 3s cada uno. La HV se determinó realizando 3 indentaciones con 300g durante 8s a 1,2 3 y 4 mm desde la superficie de la probeta hacia el interior. Las mediciones se realizaron inmediatamente de curada y a las 24h. Se utilizó un microdurómetro Vickers Future Tech FM300. Los resultados se analizaron estadísticamente mediante ANOVA para medidas repetidas. **RESUL**

TADOS: La media y DS de HV en las 4 profundidades a t0 y t24 fueron: Coltolux:

FBF-t0[49,1(3,9)/48,5(3,4)/44,1(2,5)/41,6(2,5)], FBFt24[60,6(4,7)/61,1(4,2)/58,0(5,9)/56,5(8,7)],

SDR-t0[28,4(3,6)/27,8(2,3)/27,4(3,4)/25,9(3,4)], SDR-t24[35,0(2,9)/35,2(1,9)/35,7(2,1)/33,4(2,4)],

FUto[41,9(1,6)/40,0(0,7)/38,3(2,2)/39,3(1,9)], FU-t24[49,2(1,1)/48,1(2,2)/49,8(1,5)/46,4(5,0)]

VALO: FBF-t0[40,4(4,9)/40,7(4,6)/35,1(4,4)/30,4(3,3)], FBF-t24[56,7(4,0)/54,7(5,9)/47,4(3,4)/43,1(5,3)],

SDR-to[27,2(2,6)/24,5(2,4)/21,3(1,1)/18,9(1,2)], SDR-t24[37,3(2,3)/35,8(3,7)/31,5(3,9)/26,7(4,1)],

FU t0[36,7(3,4)/37,9(3,9)/37,7(3,6)/37,9(3,9)], FU-t24[45,2(1,4)/44,2(4,5)/44,8(2,2)/45,7(2,7)] La evaluación con análisis de varianza para medidas repetidas mostró el efecto significativo de las variables material, profundidad, momento del registro y unidad de curado (p<0.05). **CONCLUSIONES:** Bajo las condiciones de este estudio podemos concluir que la microdureza de las resinas de inserción en bloque se ve afectada por el material utilizado, profundidad de curado, tiempo pos curado y la unidad de curado aplicada. Este trabajo fue parcialmente financiado por el Subsidio 20020160100037BA de la Programación Científica de la Universidad de Buenos Aires.

Palabras clave: microdureza, profundidad de curado, Bulk-fill.

55

DESEMPEÑO CLÍNICO PRELIMINAR DE POSTES ANATÓMICOS EN DIENTES ANTERIORES SIN REMANENTE CORONARIO

*Zúccaro PS, Nastrun NJ, Abate PF.
Facultad de Odontología (UBA) Cátedra de Odontología Integral Adultos.

OBJETIVO: El objetivo de este estudio es evaluar el desempeño clínico de postes anatómicos durante dos años, en piezas dentarias anteriores sin remanente de dentina coronaria, y compararlo con piezas con pernos metálicos colados realizados bajo las mismas condiciones de trabajo. **MÉTODOS:** Se diseñó un estudio clínico experimental prospectivo, longitudinal y comparativo, cuya duración es de 48 meses. Se seleccionaron piezas dentarias anteriores, superiores e inferiores, endodónticamente tratadas, con nulo remanente coronario, de pacientes que presentaban contención posterior. Los dientes fueron divididos en dos grupos, de acuerdo al tipo de anclaje colocado: el control (**C**), constituido por pernos metálicos colados, y el experimental (**E**), por postes de fibra (Para Post Taper Lux / Coltène Whaledent), individualizados con resina de fotocurado (Brilliant NG-Color A1/B1 dentina / Coltène Whaledent). Ambos grupos recibieron como restauración definitiva una corona metalo-cerámica y, en cada instancia de evaluación, se consideró el ÉXITO y la SUPERVIVENCIA. Los datos nominales dicotómicos se volcaron en una planilla de cálculo para su descripción numérica mediante proporciones por constantes (tasas). Se detallan a continuación los resultados obtenidos, y dado que los casos clínicos se presentan terminados en distintos momentos, el análisis estadístico será llevado a cabo cuando todos los casos alcancen el mismo tiempo de evaluación. **RESULTADOS:** C/coronas provisoria: 6(E), 5(C); c/control a 6 meses: 21(E), 19(C); c/control a 12 meses: 3(E), 2(C); c/control a 18 meses: 10(E), 10(C); c/control a 24 meses: 5(E), 8(C) fracasos: 2(E), 1(C); total: 47(E), 45(C). El éxito es de 95,74% para **E** y 97,78% para **C**. **CONCLUSIÓN:** A partir de los resultados preliminares obtenidos es posible concluir que, en el plazo de evaluación, el éxito con ambas técnicas es prácticamente el mismo. De los fracasos en E, 1 fue debido a la fractura del poste, dejando un remanente apto para su rehabilitación, mientras que el otro fue de naturaleza endodóntica. El fracaso en C dejó un remanente fracturado, con indicación para su exodoncia. Es necesario aumentar el tiempo de evaluación para obtener resultados más concluyentes y poder someter los resultados a un análisis estadístico comparativo.

Palabras clave: poste anatómico, adhesión radicular, remanente coronario

56

DESEMPEÑO CLÍNICO PRELIMINAR DE RESTAURACIONES DIRECTAS EN PIEZAS POSTERIORES CON RESINAS BULK FILL

*Nastrun NJ, Zúccaro PS, Abate PF.
Facultad de Odontología (UBA) Cátedra de Odontología Integral Adultos.

OBJETIVO: Evaluar el desempeño clínico de las restauraciones directas realizadas con una resina "Bulk-Fill", aplicada con una técnica de inserción en bloque en piezas dentarias posteriores con cavidades de Clases I y II de Black y compararla con restauraciones realizadas con la técnica incremental, a lo largo de 24 meses. **MÉTODOS:** Se diseñó un estudio clínico experimental prospectivo, longitudinal y comparativo. Se utilizaron piezas dentarias posteriores con lesiones de caries Clase I y II de Black. Fueron distribuidos en dos grupos: control (**C**) se utilizó una resina compuesta con la técnica convencional en capas incrementales de 2 mm de espesor y el experimental (**E**) se empleó una resina "Bulk Fill", con una técnica de inserción en bloque en una capa de hasta 5 mm. Fueron evaluados mediante los criterios establecidos por la Federación Dental Internacional. Los datos obtenidos se volcaron en una tabla para su descripción mediante proporciones por constantes (tasas). Debido a que los casos clínicos se presentan en distintos estadios de tiempo, se realizará el análisis estadístico cuando todos los casos alcancen el mismo tiempo de evaluación. Se plantea la hipótesis de que no hay diferencia entre ambos grupos. **RESULTADOS:** Contamos con 23 restauraciones en (**E**) y 22 restauraciones en (**C**). Restauraciones con control a 3 meses: 2 (**E**), 2(**C**), Restauraciones con control a 6 meses: 7(**E**), 8(**C**), Restauraciones con control a 12 meses: 14(**E**), 12(**C**). Se evaluaron los 16 criterios FDI el 95,65 % en (**E**) y 95,45 % (**C**) presentaron scoring entre 1 y 3. Existió un fracaso en cada grupo de naturaleza endodóntica. En el criterio de evaluación referido a la translucidez (**E**) mostró mayor porcentaje de restauraciones con scoring 3 que (**C**). **CONCLUSIÓN:** A partir de los resultados preliminares obtenidos, es posible inferir que en el corto plazo de evaluación, el desempeño clínico de las restauraciones con ambas técnicas es prácticamente el mismo en todos los criterios evaluados, existiendo un fracaso para cada grupo de naturaleza endodóntica realizándose nuevamente la restauración. Es necesario aumentar el "n" de los grupos y el tiempo de evaluación para obtener resultados más concluyentes. Al momento actual, no disponemos de resultados suficientes para realizar los test estadísticos. Comité de Ética: Resolución Número 007/2017

Palabras clave: resinas Bulk Fill, composites posteriores, contracción de polimerización

57

ADHESIÓN DE CÉLULAS MADRE SOBRE IMPLANTES DE POLIETERETERCETONA Y TITANIO. ESTUDIO COMPARATIVO

*Basal RL, Lazo S, Butler TA, Spina M, Viscovic C, Pazos F, Amaro E, Dalessandro J, Borrillo G, Lazo G. Facultad de Odontología. UNLP

Objetivo: comparar la adhesión de células madre provenientes de la pulpa dental sobre sustratos de implantes de Polieterecetona (PEEK) y de Titanio *in vitro*. **Material y métodos:** Se obtuvieron células pulpares a partir de dos terceros molares extraídas por motivos ortodóncicos bajo consideraciones requeridas por el comité de bioética de la Facultad de Odontología de la UNLP. El tejido pulpar de cada pieza fue extraído mediante limas o cucharillas y sumergidos en medio DEMEM suplementado con 10% de suero fetal bovino, L-acido ascórbico, 2-fosfato, 2mM L-glutamina y antibióticos-antimicrobico a 37° y 5% CO₂ p0. Las células se aislaron por métodos enzimáticos empleando colagenasa tipo I 60 minutos a 37°C. La viabilidad se determinó a través de observaciones bajo microscopio de contraste de fase y se observaron diariamente para verificar su correcto desarrollo. Posteriormente se caracterizaron con marcadores de células madre CD73, CD90 y CD105 mediante citometría de flujo. Se utilizaron 10⁵ cel/por placa de cultivo de 9 cm² que fueron distribuidas en cuatro capsulas conteniendo medio de cultivo StemMACS®. Se realizó un ensayo de proliferación celular introduciendo en las capsulas 1a y 1b un implante de titanio (2implantes) y en las capsulas 2^a y 2b uno de PEEK (2implantes). Las capsulas fueron incubadas a 37°. El material adherido a ambos implantes fue retirado mediante curetas y colocado en *cámara de Neubauer* para el conteo celular. **Resultados:** A los 20 días se observaron en las dos condiciones de cultivo acúmulos celulares en espacios entre espiras de los cuatro implantes. La cuantificación celular arrojó los siguientes datos: Implantes de Titanio: 7.5 x 10⁴ promedio de cel/implante, mientras que en los Implantes de PEEK: 8.0 x 10⁴ promedio cel/implante. **Conclusión:** los hallazgos obtenidos demuestran que las células madre de origen pulpar adhieren favorablemente sobre ambos materiales, manifestando mejor comportamiento sobre el PEEK. Sin embargo, se planea para próximos ensayos la medición de la superficie activa de cada implante. Asimismo se diseñará un modelo experimental con células transformadas con gen de fluorescencia, sobre matrices biocompatibles. Financiamiento: O120. Comité de Ética: Referencia Roxana Basal.

Palabras clave: Implantes, titanio, peek, celulas madre.

58

COMPARACIÓN DE LA DESADAPTACIÓN DE UN COMPOSITE BULK FILL APLICADO EN BLOQUE Y EN CAPAS

*Mirotti G, Kraemer ME, Lutri MP, Monserrat N, Piconi C, Caballero AL, Rozas CA, Sezin M. Facultad de Odontología. UNC

Objetivo: Comparar las desadaptaciones entre dentina, adhesivo, composite en preparaciones cavitarias obturadas con una resina bulk fill aplicada en bloque y en dos capas. **Métodos:** En 24 molares se tallaron cavidades oclusales simples profundas. Se dividieron según el adhesivo y la técnica de obturación (bloque y dos capas): Monobond 7 self etching+FilteK bulk fill bloque, **grupo 1**. Monobond 7 self etching+FilteK bulk fill 2 capas, **grupo 2**. One coat 7 universal+FilteK bulk fill bloque, **grupo 3**. One coat 7 universal+FilteK bulk fill 2 capas, **grupo 4**. Single bond universal+FilteK bulk fill bloque, **grupo 5**. Single bond universal+FilteK bulk fill 2 capas, **grupo 6**. Los adhesivos universales se aplicaron sobre esmalte y dentina a través de protocolos de autoacondicionamiento. Las obturaciones se realizaron en bloque y en dos capas incrementales de 2 mm. Se polimerizaron 20 segundos con unidad LED. Los dientes fueron cortados, pulidos, lavados y almacenados por 24 horas. Los cortes fueron visualizados con microscopio Lext 3D. Las observaciones se realizaron con el software Image Pro Plus V. 4.52 en paredes laterales y pulpares sobre trayectos de 50 µm de longitud. Los datos se contrastaron mediante un modelo de análisis Univariante. **Resultados:** Los valores de desadaptación (media y desviación estándar) en micrómetros en orden decreciente fueron: Grupo 1 (5,89±8,79); Grupo 5 (5,87±6,88); Grupo 6 (4,74±4,47); Grupo 3 (4,46±4,68); Grupo 4 (2,48±1,87); Grupo 2 (1,43±0,57) con diferencias significativas (p<0,05). En relación a la técnica, la obturación en bloque registró los valores más altos (5,31±6,74) comparado con la técnica de 2 capas (2,68±2,89) con diferencias significativas entre ellas (p<0,05). La mayor desadaptación respecto a las paredes cavitarias fue en la pared pulpar (8,87±7,69) seguido de lateral en dentina profunda (2,11±0,55), lateral en dentina media (2,09±1,05) y lateral en dentina superficial (1,50±0,67), resultando significativas las diferencias entre pared pulpar y las restantes (p<0,05). **Conclusiones:** La técnica de obturación con Filtek bulk fill en bloque generó las mayores desadaptaciones comparada con la técnica de obturación incremental. En las paredes pulpares, de todos los grupos, se encontraron los valores de mayor desadaptación.

Palabras clave: desadaptación, adhesivo universal, composite bulk fill, obturación incremental, pared pulpar.

COMPARACIÓN DE INTERFACES DENTINA-ADHESIVOS UNIVERSALES APLICADOS CON DIFERENTES TRATAMIENTOS DENTINARIOS

Kraemer ME*, Lutri MP, Mirotti G, Monserrat N, Piconi C, Caballero AL, Rozas CA, Sezin M.
Facultad de Odontología. UNC

Objetivo: Comparar las interfaces de unión entre dentina y adhesivos universales aplicados con tratamientos de grabado total y autoacondicionamiento en diferentes paredes y profundidades dentinarias. **Métodos:** En 24 terceros molares se tallaron cavidades oclusales simples profundas. Se dividieron según el tratamiento de grabado total y autoacondicionamiento y el adhesivo universal: Grabado total+Monobond 7 selfetching, **Grupo 1.** Monobond 7 selfetching, **Grupo 2.** Grabado total+Onecoat 7 universal, **Grupo 3.** Onecoat 7 universal, **Grupo 4.** Grabado total+Single bond universal, **Grupo 5.** Single bond universal, **Grupo 6.** En los grupos de grabado total, se acondicionó con ácido fosfórico al 35% esmalte y dentina por 10 segundos y se aplicó el adhesivo universal. Para los protocolos de autoacondicionamiento se aplicaron los adhesivos universales sobre esmalte y dentina. Las muestras fueron obturadas con Filtekbulkfill, mediante técnica incremental oblicua y se polimerizó por 20 segundos cada capa con una unidad LED. Se cortaron y pulieron para ser visualizadas con microscopio Lext 3D y procesadas con el software para morfométría Image Pro Plus V. 4.52. Se midieron las áreas de desadaptación sobre trayectos de 50 µm de longitud en las paredes laterales y pulpares. Los datos se contrastaron mediante un modelo de análisis Univariante. **Resultados:** Los valores de desadaptación, media y desviación estándar expresados en micrómetros entre técnica de grabado total 1,48±1,20 y autoacondicionamiento 1,49±1,24 en todos los grupos no registraron diferencias significativas ($p>0,05$). Se evidenció diferencias significativas entre los diferentes adhesivos universales ($p<0,05$): Monobond 7 selfetching 0,98±0,57; Onecoat 7 universal 1,52±1,27, Adhesivo Single bond universal 1,92±1,42. La mayor desadaptación respecto a las paredes cavitarias fue en la pared pulpar 1,79±1,51 seguido de lateral en dentina profunda 1,41±1,17, lateral en dentina superficial 1,32±1,03 y lateral en dentina media 1,27±0,79 con diferencias significativas entre pulpar y las restantes ($p<0,05$). **Conclusión:** Se pudo establecer que los protocolos de grabado total y autoacondicionamiento no registraron diferencias significativas de valores de desadaptación con los diferentes adhesivos universales analizados.

Palabras clave: interfaces de unión, dentina, adhesivos universales, grabado total, autoacondicionamiento.

EVALUACIÓN DE RESISTENCIA A LA FRACTURA DE CARILLAS CERÁMICAS, CON DIFERENTES DISEÑOS

*Cacciamano JA¹, Ibáñez CA¹, Urquía Morales MC².
Facultad de Odontología (UNC). 1. Cátedra Protoprotesis I "A". 2. Cátedra Operatoria I "B".

Objetivo: este estudio experimental in vitro evaluó la influencia del diseño palatino en la resistencia a la fractura, de carillas cerámicas. **Métodos:** se utilizaron 80 incisivos centrales superiores libres de caries, sobre los que se realizaron las preparaciones dentarias, conformando cuatro grupos de 20 muestras c/u. Los dientes fueron preparados en su porción vestibular, incisal y palatina. Grupo I (Control): con desgaste del borde incisal de 1,5mm, y en palatino 3mm de longitud y 0,5mm de profundidad con chaflán; Grupo II: desgaste del borde incisal de 1,5mm, sin chaflán en palatino; Grupo III: desgaste del borde incisal de 1,5mm con chaflán palatino. Grupo IV: desgaste del borde incisal de 1,5mm con bisel cóncavo palatino. Todos se reprodujeron en yeso piedra. Para elaborar carillas se conformaron dos subgrupos según el procedimiento utilizado: a) Cad/Cam (Sistema Cerec/Alemania) y b) Inyectada (IPS e. max Press Ivoclar-Vivadent). Fueron cementadas con resina de fotopolimerización, (Variolink NLC+1 Ivoclar-Vivadent). Las muestras fueron adaptadas a un dispositivo ad-hoc para ser sometidas a carga progresiva y antagonista, con velocidad de 0,5 mm por minuto en una máquina de ensayo universal, Digimes M-8000, hasta producir la fractura. Los resultados fueron analizados mediante Anova de dos vías y HSD de Tukey. Valores: Grupo I (611,5N), Grupo II (608,3N), Grupo III (660,8N), Grupo IV (688,2N) y en los subgrupos A y B (710,1N-512,9N); (563,1N-653,5N); (568,3N-753,3N) y (799,9N-576,5N) para los Grupos I, II, III, y IV respectivamente. No se encontraron diferencias significativas entre grupos ($p=0,730$), ni entre subgrupos ($p=0,542$) pero sí, en la interacción de factores ($p=0,037$). **Conclusiones:** el tipo de diseño de la preparación dentaria y el material utilizado, no influyeron significativamente, en la resistencia a la fractura de carillas cerámicas. De todas las combinaciones, desgaste del borde incisal de 1,5mm con bisel cóncavo palatino, que utilizó carillas cerámicas moldeadas con sistema Cad/Cam, (GIV-A), fueron las que obtuvieron los mejores resultados. Comité de Ética: Proyecto ODO-CIES: N° 84; Córdoba, 04/11

Palabras clave: carillas. cerámica, diseños

61

INCIDENCIA DE LA LUZ OPERATORIA SOBRE LOS COMPOSITES FLOW. EVALUACIÓN DE SU FOTOSENSIBILIDAD

Marcarian L*, Lauriola L, Luppino L, Pastene G, Zaiden S.
Cátedra Técnica de Operatoria Dental. FOUBA.

Objetivo: Observar el comportamiento fotosensible de los composites Flow en diferentes condiciones lumínicas.

Materiales y Métodos: Se utilizaron composites flow de 3 (tres) marcas comerciales diferentes, (Coltène, 3M y SDI). Los volúmenes (58 mm³) de cada una de las probetas que se obtuvieron, fueron estandarizados con un cilindro plástico. Las muestras fueron colocadas sobre un portaobjetos, en el cual previamente fue trazada equidistante de sus bordes una línea longitudinal, se cubrió con un cubre-objeto. Se sometieron a una fuerza preestablecida (2.4 kg.) durante 5 segundos. Se midió el diámetro del material ubicado sobre la línea trazada con un calibre electrónico (rango 0.150mm). Las probetas fueron expuestas a tres condiciones lumínicas. Grupo 1: Luz Natural (ambiente) (LA) de 490 lux, Grupo 2: Luz Ambiente y Luz Foco Odontológico (halógena) (LA + LF) 13286 lux y Grupo 3: Luz Ambiente, Luz Foco Odontológico y Luz Artificial (fluorescente) denominada Luz Operatoria (LO) 23919 lux. Se registró una toma inicial, a los 60 seg y 120 seg. También fueron sometidas al test de aguja de Gilmore a los 120 seg. Los resultados fueron analizados estadísticamente mediante el Test de Anova. Se calcularon las variaciones porcentuales. Se estableció el valor $p < 0.05$.

Resultados: La media y DS de la variación volumétrica (%): [60seg] 21,99 ($\pm 2,4$); [120seg] 22,194 ($\pm 2,6$). Se observó la mayor variación porcentual al exponer las muestras al G3 (LO) en 120seg., siendo los valores más altos para SDI, con 0,78% y los menores para 3M con 0,06%. No se observaron diferencias estadísticamente significativas entre las muestras. Las muestras 3M registraron indentación positiva al test de Gilmore a 120 seg en el G3 (LO).

Conclusión: Bajo las condiciones de este trabajo podemos aducir que existen modificaciones en la consistencia de los distintos composites expuestos a diferentes condiciones de luz y tiempo de exposición.

62

ASPECTOS MORFOLÓGICOS DE LA INTERFAZ DENTINA-SISTEMAS CEMENTANTES EN DIENTES CON POSTES-ESTUDIO CON MEB

*Gigena CD, Gil Rodríguez P, Jais M, Martínez H, Peralta Porcel N, Julián S.
Facultad de Odontología (UNC). Depto. de Rehabilitación Oral. Cat. de Prostodoncia I "B"

Objetivo: evaluar morfológicamente con MEB la interfaz de distintos cementos adhesivos y dentina radicular. **Métodos:** 25 incisivos centrales superiores fueron tratados endodónticamente con el sistema ProTaper Universal y luego obturados por técnica de onda continua y sellador AH Plus (Dentsply, Sirona). Se seccionaron transversalmente a 2mm de la unión cemento-esmalte con disco refrigerado. En todas las muestras se colocaron postes #1 FRC Postec Plus, a una profundidad de 12mm. Se formaron aleatoriamente 5 grupos. Grupo1:Excite DSC(EXC)+Variolink II. Grupo2:AdheseDC Activator(ADH)+Variolink II. Grupo3:Excite DSC(EXC)+MultiCoreFlow. Grupo 4:AdheseDC Activator(ADH)+MultiCoreFlow. Grupo5:Primer AyB+Multilink. Las muestras fueron divididas en tres zonas, cervical, media y apical. Cada zona se dividió en dos secciones de aprox. 1,4mm de espesor. Para la observación con MEB fueron pulidas, deshidratadas, desmineralizadas y desproteinizadas. Obtenido el punto crítico, se metalizó en oro y examinó con MEB (JSM-5200, JEOL, Japon). Los resultados se evaluaron estadísticamente con Anova, test de Tukey. **Resultados:** Longitud de los tags: Cervical:G1(135,93 μ m) y G3(129,2 μ m) > G2(61,8 μ m) y G4(58,4 μ m) con diferencias significativas. Medio:G1(190,1 μ m) con diferencia significativa, G2(83,1 μ m);G3(17,9 μ m) y G4(100,7 μ m). En apical se mantuvo la misma correlación entre los grupos. Diámetro de los tags: Cervical: no se observaron diferencias significativas (promedio 1.981 μ m). Medio:G1, fue el mayor (2,45 μ m) con diferencia significativa con los otros grupos. Apical:G1(1,97 μ m) y G3(1,55 μ m) mostraron diferencias significativas entre ellos. G2 y G4 sin diferencia significativa (promedio 1,75 μ m). Porcentaje de tags en túbulos dentinarios: Cervical:G1(56,5%) se diferenció de G2(18,1%);G3(17,6%) y G4(7,4%). Medio:G1(60,15%) se diferenció de G2(8,75%);G3(19,83%) y G4(7,97%). Apical:G1(65,6%) se diferenció significativamente del resto. El G3(26,38%) se diferenció de G2(8,49%) y G4(9,6%). El grupo 5, no pudo ser evaluado estadísticamente ya que los tags se formaron escasamente y sólo a nivel del tercio cervical. **Conclusiones:** Excite DSC-EXC + Variolink II mostraron mayor cantidad, longitud y diámetro de tags de resina. En todos los grupos y tercios hubo presencia de tags con excepción del G5.

Palabras clave: interfaz dentina-cemento, adhesión dentina, tags de resina

CONSTRUCCIÓN DE PROTOCOLOS PARA EL TRATAMIENTO DE LESIONES CERVICALES DENTARIAS

*Busleiman FJ, Gutvay AV, Holzmann G, Carnino Ferreccio ML, Magliano RO, Spadillero de Lutri MM. Facultad de Odontología UNC

OBJETIVO: evaluar variables clínicas y materiales dentales en pacientes con diferentes tipos de lesiones cervicales con el fin de determinar protocolos de tratamiento según etiología y grado de evolución. **MÉTODOS:** pacientes adultos (n=60), atendidos en Operatoria II B, Fac. Odontología-UNC, ambos sexos, 18-60 años, con lesiones cervicales cariosas (LCC), no cariosas (LCNC) y combinadas (LCM) según Mount et al 2006. El diagnóstico y la valoración fueron realizados en diferentes tiempos, siendo el más corto a los 6 meses. Los pacientes se asignaron a los tratamientos aleatoriamente. Tratamientos: 1) *Remineralización:* fluoruros en gel (control) y barniz Climpro Withe Varnish (experimental). Se midió grado de desmineralización con fluorescencia láser; 2) *Restauraciones:* para lesiones cavitadas; se compararon Adhesivos Autocondicionantes y Resinas de media densidad con Ionómeros vítreos condensables. A 15 días y cada 3 meses se valoró el tratamiento según Cvar & Ryge 2005. **RESULTADOS:** Se diagnosticaron 582 lesiones cervicales. 45%/261 fueron LCNC, 36%/208 a LCC y 19%/113 a LCM. *Remineralización:* se observó una mejora, estadísticamente significativa, entre los valores iniciales en los obtenidos en los diferentes tiempos ($p \leq 0,05$). Se observó una mejoría clínica, no significativa, con aplicación de calcio y fosfato. *Restauraciones:* se observó, a los 6 meses, 1 pérdida parcial en el grupo LCNC tratado con Resinas compuestas. No se manifestaron cambios en decoloración marginal, desadaptación marginal, ni formación de caries en el tiempo estudiado. En los controles hubo mayor sensibilidad postoperatoria al frío en LCNC tratadas con Resinas Compuestas ($p < 0,05$). **CONCLUSIÓN:** se observó que los dos protocolos de restauración aplicados fueron eficaces en cuanto a la supervivencia de las mismas en el tiempo estudiado; siendo notorio un excelente acabado estético y mejor manipulación en las resinas. Las restauraciones con ionómeros se destacan por su autoadhesividad, que influye positivamente sobre el funcionamiento del cemento y disminuye la sensibilidad posoperatoria. Nuestros resultados nos permiten concluir que los pacientes tratados mejoraron su estado bucal complementando con control de placa, el uso de agentes remineralizantes, recomendaciones dietarias y de higiene dental. Comité de Ética: Referencia 21

Palabras clave: lesiones cervicales no cariosas, caries cervicales, remineralización

EVALUACIÓN EX-VIVO DE LA MICROFILTRACIÓN DE RESINAS COMPUESTAS BULK FILL Y UN COMPOSITE NANOHIBRIDO

*Brasca NB, Urquía Morales MC, Girardi MR, Bonnin CE, Chavez Lozada JS, Rios Martínez MA, Girardi I, Delgado AV Facultad de Odontología UNC

El mayor problema de los composites es que se contraen durante la polimerización, esta pérdida de volumen compromete la integridad de la interface entre el material y la estructura del diente, con la formación de grietas y el paso clínicamente indetectable de bacterias, fluidos, moléculas lo que se conoce como filtración marginal. **Objetivo:** Comparar y evaluar el comportamiento de cuatro resinas compuestas; una convencional nanoparticulada empleando la técnica incremental oblicua y combinada con una Bulk fluida, versus dos bulk-fill utilizando la técnica monoincremental. **Materiales y Métodos** se usaron 20 premolares, se tallaron cavidades oclusales simples. Luego las muestras fueron distribuidas aleatoriamente en cuatro grupos (n=5). Grupo I: obturadas con Tetric N Ceram Bulk Fill (TBF), técnica en block de 4 mm, Grupo II: Filtek Bulk Fil (FBF) en una capa de 4 mm, Grupo III: Surefil SDR (SBF) en una capa de un espesor de 3 mm y el agregado de una capa de 1 mm de Filtek Z 250 XT (FNH) y Grupo IV: Filtek Z 250 XT (FNH) en capas incrementales de 2 mm (control). Se acondicionaron para las pruebas de microfiltración. El grado de filtración marginal, se determinó de acuerdo a una escala de valores de 0 a 3 teniendo en cuenta la penetración longitudinal del colorante en la interface diente- restauración, Además se realizaron mediciones en mm de la penetración del colorante en la interface, para lo cual las superficies fueron escaneadas, con escáner gráfico HP-G3110 a 1200 dpi. **Resultados:** los datos obtenidos fueron analizados mediante Anova de una vía y el Test del Chi cuadrado, para evaluar el comportamiento entre los grupos experimentales. No existiendo diferencias estadísticamente significativas entre ellos ($P = 0,684$; $P > 0,05$). **Conclusiones:** los materiales evaluados y técnicas de restauración no presentaron Filtración Marginal, debido al excelente sellado marginal de los composites a nivel adamantino, dado por la adhesión micromecánica a esmalte.

Palabras clave: composites Bulk Fill, microfiltración, contracción de polimerización

65

RADIOPACIDAD DE MATERIALES UTILIZADOS COMO SUSTITUTO DENTINARIO

Lei MA, *Rivelli M, Picca M, Kaplan ME.
Facultad de Odontología de la Universidad de Buenos Aires

OBJETIVO: El objetivo de este estudio fue evaluar la radiopacidad de distintos materiales utilizados como sustitutos de la dentina

MATERIALES Y MÉTODOS: Se confeccionaron 12 probetas cilíndricas de 1 mm de espesor y 15 mm de diámetro con silicato de calcio Biodentine (Septodont) (B), ionómero vítreo convencional Equia Forte (GC) (I), composite Bulkfill SureFill SDR flow (Dentsply) (C), y MTA Densell Reparative (Densell) (M) según las indicaciones del fabricante y se colocaron en una estufa a 37°C durante su fraguado. Se tomaron radiografías oclusales digitales a cada grupo de material (n=3) junto a una cuña de aluminio graduada (según norma ISO 6876) con equipo radiográfico intraoral Planmeca ProX (70kV, 8 mA, 0,08 s y 40 cm de distancia). En las imágenes digitales se determinaron los valores L de la escala de Cie Lab (Negro-blanco) con el programa Photoshop (Adobe). Se tomaron tres valores al azar en cada una de las muestras y se compararon con la medición realizada en la imagen de la cuña de aluminio. Los resultados se analizaron estadísticamente mediante ANOVA y prueba de Tukey.

RESULTADOS: Los valores de media y desvío estándar de cada grupo fueron: B 26,22 (0,69), I 23,56 (2,37), C 32,11 (2,79) y M 45,55 (1,35). El análisis con la prueba de ANOVA mostro diferencia significativa para el factor material ($p < 0,05$). La prueba de Tukey mostró la presencia de tres grupos homogéneos (B-I, C, M).

CONCLUSIÓN: En las condiciones experimentales de este trabajo puede concluirse que, si bien todos los materiales estudiados reúnen los requisitos de radiopacidad, presentan distintos valores de radiopacidad. Financiamiento: 20020160100037BA

Palabras clave: radiopacidad, sustituto dentinario

66

ESTUDIO COMPARATIVO DE LA ADAPTACIÓN MARGINAL DE DOS COMPUESTOS DE TRIÓXIDO MINERAL

*Gutiérrez MC, Cabral RJ, Menis de Mutal L.
Facultad de Odontología. Universidad Nacional de Córdoba

El uso de MTA como material de obturación en dientes no vitales y ápices inmaduros permite la resolución definitiva en una sesión.

OBJETIVOS: Evaluar en forma inmediata y mediata la adaptación a las paredes dentinarias de dos compuestos de trióxido mineral, como tapón apical en dientes con ápices inmaduros, con y sin obturación previa de pasta de hidróxido de calcio.

MÉTODO: Para la evaluación inmediata se utilizaron veintiocho muestras divididas en cuatro grupos, obturados con CPM-Egeo y MTA-Ángelus, con y sin pasta de hidróxido de calcio. Para la evaluación mediata se conformaron dos grupos de catorce muestras cada uno, obturadas un grupo con cada cemento y todas con pasta de hidróxido de calcio. Luego, fueron sumergidas durante noventa días en agua destilada. En ambos estudios se evaluó la interfaz cemento/pared dentinaria a través del microscopio confocal Olympus. Se aplicaron pruebas de chi cuadrado de Pearson y test exacto de Fisher según correspondiera. Posteriormente se confrontaron los resultados.

RESULTADOS: La evaluación inmediata y mediata de la interfaz cemento/pared dentinaria, mostró espacios vacíos sin diferencias significativas entre los cementos ($p > 0,05$) no obstante, con diferencias significativas entre la evaluación inmediata y mediata ($p < 0,05$).

CONCLUSIONES: Se registraron porcentajes similares de espacios vacíos entre ambos cementos. La interfaz entre la pared dentinaria y el material de obturación aumenta con el paso del tiempo, debido a la pérdida paulatina del hidróxido de calcio. Este trabajo se enmarca en un proyecto avalado por el CIEIS FO-UNC. (ODO-CIEIS 73).

Palabras clave: APICOFORMACIÓN-MTA-INTERFAZ.

ANÁLISIS COMPARATIVO DE TÉCNICAS DE IRRIGACIÓN EN RETRATAMIENTOS ENDODÓNTICOS

*Carvajal MI, De Caso CN.
Cátedra "A" de Endodoncia. Facultad de Odontología (UNC).

Ante el fracaso endodóntico, el propósito del retratamiento no quirúrgico es neutralizar el componente bacteriano y optimizar la limpieza de las paredes del conducto radicular. **OBJETIVO:** Evaluar comparativamente el efecto de diferentes técnicas de irrigación en la limpieza del conducto radicular en retratamientos endodónticos. **MÉTODO:** se seleccionaron 40 premolares inferiores unicanalulares humanos recientemente extraídos de pacientes entre los 25 y los 45 años de edad, con raíces intactas de similar tamaño y curvaturas no mayores a 10°. Las piezas dentarias fueron provistas por la Cátedra de Cirugía II (FOC – UNC) respetando las normativas de bioética establecidas por CIEIS. Cada conducto se preparó quirúrgicamente y se obturó mediante técnica de condensación lateral; el sellador usado fue AH-Plus (Dentsply De Trey GmnH, Konstanz, Germany) el cual fue coloreado para su visualización. Seguidamente, se desobturó con sistema Mecanizado MTwo (VDW) y las piezas fueron distribuidas aleatoriamente a los fines de realizar una irrigación complementaria con hipoclorito de sodio al 5.25% + EDTA al 17%, usando dos técnicas: Grupo 1: Irrigación Manual Pasiva, Grupo 2: Irrigación Ultrasónica (n: 20 cada grupo). Concluida la limpieza, los dientes fueron seccionados longitudinalmente en sentido vestibulo-lingual por fractura. De cada muestra sólo se procesó la mitad que conservó la integridad del conducto radicular. Dicha superficie fue observada, captada digitalmente con lupa estereoscópica a 10 X y analizada con un procesador de imágenes (Imagen Pro Plus versión 5). El área total del conducto radicular fue dividida en tercios, y en cada uno de ellos se demarcaron las zonas cubiertas por detritus. Los datos obtenidos fueron tabulados y analizados estadísticamente mediante el test de ANOVA fijando un límite de significación de $p < 0.05$. **RESULTADOS:** No se detectaron diferencias estadísticamente significativas ($p > 0.05$) entre los grupos estudiados ni entre los diferentes tercios en cada grupo. El tercio apical de ambos grupos concentró la mayor cantidad de detritus remanentes. **CONCLUSIÓN:** la acción sinérgica de una sustancia quelante y activación ultrasónica no lograron una mejor limpieza de la superficie dentinaria del conducto radicular en retratamientos endodónticos. Comité de Ética: 987/17 - Nro CAIS 26T/18

Palabras clave: retratamiento endodóntico, limpieza, técnicas de irrigación.

VARIACIÓN DE PH EN MATERIALES DE RETROOBTURACIÓN PARA MICROCIROLOGÍA APICAL

Rodriguez P¹, Lenarduzzi A¹, Brañas G¹, Grisolia B¹, *Iuliano R¹, Gualtieri A².

1. Endodontics Department, School of Dentistry, University of Buenos Aires. University Dental Hospital. 2. Biophysics and Biostatistics Department, School of Dentistry, University of Buenos Aires

OBJETIVO: El objetivo del presente trabajo fue evaluar la variación de los niveles de pH en materiales de retroobtención para microcirugía apical: MTA(Angelus), Biodentine (Septodont) y Endosequence(Endosequence), analizando las diferencias encontradas entre si y la estabilidad en el tiempo.

MATERIALES Y METODOS: Se colocaron los materiales en capilares no heparinizados, cargados con 3mm de material simulando la cantidad utilizada durante la retro obturación en microcirugía apical. Luego se sumergieron al mismo tiempo en frascos de vidrio cargados con 4 ml de agua destilada. Se dividieron 4 grupos de 10 frascos cada uno, g1: control (n 10) g2: Biodentine (n 10) g3:MTA (n 10) g4: Endosequence (n10)

Se realizaron en diferentes plazos de tiempo mediciones del líquido con un peachimetro (24 hs- 7 días-14 días)

RESULTADOS: Los datos son presentados como media +/- desviación estándar (DE). Las comparaciones se realizaron mediante prueba ANOVA de una vía, y ensayos post-hoc con método Tukey. Se fijó un nivel de significación del 5%.

A los 14 días, el pH no fue igual en todos los tratamientos (ANOVA, resultado global: $F=378,77$; $gl=3$; $p < 0,05$). Específicamente, las comparaciones post-hoc, indicaron que el pH con Biodentine (9,87 +/- 0,23) difirió significativamente ($p < 0,05$) del pH en el control (6,46 +/- 0,28) y con MTA (9,46 +/- 0,34): con Biodentine el pH fue mayor. Sin embargo, no hubo diferencias significativas de pH entre Biodentine y Endosequence (9,72 +/- 0,18); además, el pH con MTA difirió significativamente del control ($p < 0,05$)

CONCLUSIÓN: Podemos concluir que la liberación de iones hidroxilos de los tres materiales evaluados son altamente efectivos en la elevación del pH del medio que los rodea, generando un efecto antibacteriano y antiosteoclástico por un período mayor a 15 días.

Palabras clave: microcirugia apical, materiales de retroobtención. pH

*Consoli E, Sierra L, Ritacco E, Pinasco L, Gomez N, Labarta A, Corominola P.
Facultad de Odontología, Universidad de Buenos Aires

La regeneración pulpar ha proporcionado una opción de tratamiento que proporciona la maduración radicular de piezas dentarias sin apicoformación con diagnóstico de necrosis pulpar; mediante el posible reclutamiento de células madre de la región apical en estos pacientes **Objetivo:** Evaluar clínica y radiográficamente la curación ósea, el espesor de la pared dentinaria y la longitud radicular pre y postratamiento en piezas dentarias con necrosis y sin apicoformación. **Materiales y Métodos:** Pacientes de la Cátedra de Endodoncia, FOUBA, criterio de inclusión: dientes permanentes con diagnóstico de necrosis pulpar sin apicoformación y que no requieran anclaje intrarradicular en su rehabilitación posterior. Sin rango de edad/sexo. Exclusión: enfermedades metabólicas, cardiológicas o alérgicas a los medicamentos utilizados. Se realizó la terapéutica de regeneración. **Resultados:** 15 pacientes con un promedio de edad de 8 años. Lo ponderado de acuerdo a los estadios de Nolla, al inicio de la muestra correspondía al estadio 8 el 77,33%, al 7 el 20% y al 9 el 6,66%. Al final de la experiencia el estadio 9 el 60%, el 8 al 33,33%, 7 al 6,66%. Al inicio el 100% de la muestra presentaba lesión apical y luego del protocolo de revascularización la reparación fue del 86,66% de los casos favorables y 13,4% de reparación más lenta o más demorada. Se calculó la longitud promedio $X=26,76 \pm 38,65$, la longitud pre $X=14,07 \pm 3,82$ y la longitud post $X=16,62 \pm 2,62$. La comparación de los promedios arrojó un valor $t=-2,132$ y $p=0,042$ por lo que las diferencias son significativas. La variable Espesor Radicular Pre tiene $X=6,13 \pm 1,08$ y el Espesor Radicular Post $X=6,42 \pm 0,96$. Se compararon dando un valor de $t=-0,765$ y $P=0,451$ no hay diferencias significativas. La variable ancho pulpar pre tiene un $X=2,60 \pm 0,48$ y el Ancho Pulpar Post tiene un $X=2,33 \pm 0,61$ comparados $t=1,347$ con un $P=0,189$ no hay diferencias significativas. La variable espesor dentinario pre $X=3,64 \pm 1,19$ y ESP post $X=4,11 \pm 0,75$; el valor de $t=-1,294$ y $P=0,206$ esta diferencia no es significativa ($P > 0,05$). **Conclusión:** el total de la muestra evidenció regeneración ósea a 12 meses de realizada la práctica clínica. Los valores de longitud promedio pre y post dieron valores significativos poniendo en evidencia el desarrollo en longitud del órgano dentario. Los valores de ancho pulpar y espesor dentinario no dieron valores significativos a los 1 año pero la tendencia fue en disminución y aumento respectivamente.

Palabras clave: regeneración pulpar, formación radicular, revascularización pulpar

*Miguelés AM¹, Rodríguez PA¹, Renou SJ².
Facultad de Odontología UBA. 1. Cátedra Endodoncia. 2. Cátedra Anatomía Patológica.

La utilización de biomateriales para el tratamiento del sistema de conductos tiene como finalidad lograr la reparación/regeneración del tejido óseo.

OBJETIVO evaluar in vivo la respuesta de la médula ósea hematopoyética ante el Biodentine y Licon D a los 30 días post-implantación.

MÉTODOS Se utilizaron 10 ratas machos Wistar de 100 grs de peso corporal, bajo anestesia ip de Ketamina 50 mg (Holliday solución inyectable Industria Argentina) y Xilazina 2% (Kensol Köin solución esteril de Xilazina al 2% Industria Argentina) 0,1 ml por cada 100 grs de peso se les implantaron tubos de silicona con el material a estudiar en el interior, en ambos miembros inferiores. A los 30 días se practicó la eutanasia utilizando Tiopental sódico 1 gr/1ml (Thipenthal-Scott Cassara-Industria alemana). Se resecaron las tibias, se fijaron en formol buffer, se radiografiaron ambas tibias, se desmineralizaron en ácido fórmico y se procesaron para su inclusión en parafina. Se realizaron cortes histológicos longitudinales al eje mayor de la tibia y se colorearon con H-E.

Resultados la evaluación histológica determinó la presencia de ambos materiales a los 30 días post-cirugía dentro del tubo de silicona, es de destacar que el biodentine en el interior de los tubos presentaba una estructura no homogénea. En ambos grupos, en los extremos de los tubos, se observó la presencia de tejido óseo de tipo laminar en contacto con el material en estudio. Se observaron escasas células gigantes multinucleadas (CGMNs) en relación al biodentine.

Conclusión en este modelo experimental se comprobó la biocompatibilidad de ambos materiales. En futuros estudios se evaluará histomorfométricamente la respuesta del tejido óseo. Financiamiento: PIP11220130100091 CONICET - PICT 2014-2654 Subsidio ubacyt . 20720130200007BA. Comité de Ética: UBACyT 00032BA y 00332BA

Palabras clave: biodentine, lycon-d, evaluación histológica

INFLUENCIA DEL TIEMPO Y COLOR EN LA DEFORMACIÓN DE LAS CADENAS ELASTOMÉRICAS DE CINCO MARCAS DIFERENTES

*Jyeynyffa Oliveira R¹, Carvalho HM¹, Coelho Garcia Pereira L².
1. UniEVANGÉLICA. 2. Faculdade Metropolitana de Anápolis

OBJETIVO: Evaluar la influencia del tiempo y color en la deformación de las cadenas elastoméricas de cinco marcas comerciales diferentes.

MÉTODOS: En este estudio se evaluaron cadenas elastoméricas de cinco marcas: Eurodonto, Orthometric, Orthomundi, Abzil y Aditek en los colores gris y transparente, del tipo promedio. Con un paquímetro se realizaron medidas de la longitud inicial de 10 cadenas elastoméricas de cada marca y color, con 8 eslabones, sin distensión. Todas las muestras fueron distribuidas en un dispositivo que las mantuvo distendidas en un 50% de su longitud, sumergidas en saliva artificial. Después de 3h y 21 días la longitud (mm) de las cadenas elastoméricas fue medida para verificar la deformación ocurrida. Las medidas fueron sometidas a la prueba T para comparación de la variación de la deformación en relación al tiempo y, ANOVA a 2 criterios y test de Tukey, para comparación entre diferentes fabricantes, con significancia del 5%.

RESULTADOS: Todas las cadenas elastoméricas en los períodos evaluados presentaron diferencias significativas en la deformación, excepto Orthometric transparente hasta 3 h (longitud inicial: 28,74mm \pm 0,44 hasta 3 horas: 29,10mm \pm 0,47) con p<0.05. En el análisis de la variación de la deformación final e inicial se observó que la cadena elastomérica Orthomundi obtuvo menor variación que las demás marcas (p<0,05). Los diferentes colores de las cadenas no influenciaron la deformación.

CONCLUSIONES: Hubo deformación en todas las cadenas elastoméricas, independientemente del color, excepto para el elástico Orthometric en el color transparente en las primeras 3 horas. La cadena elastomérica Orthomundi fue la marca que obtuvo menor variación en la deformación. Apoyo: PIBIC /CNPq n. 139919/2017-1.

Palabras-claves: ortodoncia; cadena elastoméricas; deformación.

DEGRADACIÓN DE FUERZAS EN CADENAS ELASTOMÉRICAS

*Carvalho HM¹, Jyeynyffa Oliveira R¹, Coelho Garcia Pereira L².
1. UniEVANGÉLICA. 2. Faculdade Metropolitana de Anápolis

OBJETIVO: Evaluar la influencia del tiempo y color en la degradación de fuerzas en cadenas elastoméricas de marcas diferentes.

MÉTODOS: En este estudio se evaluaron cadenas elastoméricas de cinco marcas comerciales diferentes: Eurodonto, Orthometric, Orthomundi, Abzil y Aditek en los colores gris y transparente, del tipo promedio. Con un dinamómetro (Morelli) se realizaron medidas de fuerzas iniciales en gramos de 10 cadenas elastoméricas de cada marca y color, con 8 eslabones, distendidas en 50% de su longitud original. Todas las muestras fueron distribuidas en un dispositivo que las mantuvo distendidas en un 50% de su longitud, sumergidas en saliva artificial. Después de 3h y 21 días la fuerza (g) de las cadenas elastoméricas fue medida para verificar la degradación de fuerza ocurrida. Las medidas fueron sometidas a la prueba T para comparación de la fuerza en relación al tiempo y, ANOVA a 2 criterios y test de Tukey, para comparación de la variación de fuerza entre diferentes marcas comerciales, con significancia del 5%.

RESULTADOS: Todas las cadenas elastoméricas en los períodos evaluados presentaron diferencias significativas en la fuerza p<0.05. En el análisis de la variación de la degradación de fuerza final e inicial se observó que la cadena elastomérica Orthometric obtuvo menor variación que las demás marcas, en el color gris con la Media -135.40g (DS:12.85) y en color transparente con la Media -169,70g (DS: 27.05) estadísticamente significativas en relación con las demás marcas (p<0,05).

CONCLUSIONES: Todas las cadenas elastoméricas, independientemente del color tuvieron decaimiento de fuerza significativas. La cadena elastomérica Orthometric fue la marca que obtuvo menor variación en la degradación de fuerza hasta 21 días. Apoyo: PIBIC /CNPq n. 139919/2017-1.

Palabras-claves: ortodoncia; cadena elastoméricas; fuerza.

73

VALORACIÓN DEL ÍNDICE DE REMANENTE ADHESIVO EN ESMALTE Y BRACKETS METÁLICOS – CERÁMICOS

Angaramo LE*, Spadillero de Lutri MM.
Facultad de Odontología. U.N.C. Depto. de Rehabilitación Oral. Cat. de Operatoria II "B"

OBJETIVO: Evaluar el índice de remanente adhesivo en esmalte y brackets metálicos y cerámicos cementados con agentes ionoméricos y resinosos al ser sometidos a fuerzas ocluso-apicales, mesio-distales y de tracción vestibulo-vestibular. **MÉTODO:** Se emplearon 120 premolares, a 60 se les cementaron brackets metálicos (Miniature 3M Co) y a los otros 60, brackets cerámicos (Clarity 3M Co). Fueron divididos en tres grupos de 20 dientes cada uno según la fuerza a aplicar, 20 fuerza M-D, 20 fuerza O-A y 20 fuerza: V-V. Cada grupo fue dividido en cuatro subgrupos de 5 según el cemento: Enforce, Fuji Ortho LC Multilink y Variolink II. Se realizaron mediciones de ARI, para lo cual se obtuvieron imágenes de brackets y elementos dentarios, mediante un sistema óptico constituido por lupa estereoscópica con magnificaciones de 10 y 16 X y cámara digital Sony SSC-C370P conectada a PC. Las imágenes fueron procesadas utilizando el software Image Pro-Plus v.4.52 de Media Cybernetic, calibrado para el sistema óptico utilizado. Se midieron las áreas correspondientes a los restos de cemento adheridos a esmalte y bracket de cada muestra y se tabularon los datos en planillas para su tratamiento estadístico. **RESULTADOS:** 1) El índice de Remanente Adhesivo mostró en los brackets metálicos tendencia a los niveles más altos con significativa discrepancia (p-valor $(\chi^2)=0,0001$) en tanto que los brackets cerámicos tuvieron una tendencia hacia los niveles más bajos. 2) En cementos, Enforce reunió la mayoría de fallas cohesivas, con una discrepancia significativa (p-valor $(\chi^2)=0,0319$). Multilink y Variolink II presentaron tendencia a las fallas adhesivas. 3) En fuerzas MD y OA hubo una inclinación hacia las adhesivas con diferencias significativas (p-valor $(\chi^2)=0,0001$) y en las V-V hubo tendencia a las fallas cohesivas. **CONCLUSIONES:** Todos los cementos y brackets evaluados superaron los valores para provocar movimientos dentarios sin desprendimiento. El tipo de bracket incidió directamente en la fuerza de desprendimiento y lugar de la ruptura en tanto que los medios cementantes no incidieron. El punto de aplicación y la dirección de fuerza tuvieron gran importancia en el tipo de falla.

Palabras clave: adhesión, brackets, remanente adhesivo

74

NO SE PRESENTÓ

75

MENSURACIÓN DEL RUIDO DE TURBINAS DE ALTA ROTACIÓN POR APLICACIONES MÓVILES DE SMARTPHONES

*Silva YA¹, Neto LJ¹, Rodrigues R¹, Martins GA, Coelho Garcia Pereira LCG².
1. UniEVANGÉLICA. 2. Faculdade Metropolitana de Anápolis

OBJETIVO: Comparar por diferentes métodos los niveles de ruido de turbinas de alta rotación.

MÉTODOS: Para comprobar el nivel de ruido de las turbinas de alta velocidad se utilizaron además del decibelímetro Digital Sound Level Meter, aplicaciones de smartphones Medidor de sonido (Tool Dev), Decibelímetro Sound Meter (ABC Apps) del sistema Android y SLA Lit y ??SPLNFFT del sistema IOS. Se evaluaron tres turbinas de alta rotación: Pana-max (NSK), Necta activa (DentCler) y Rool Air 3 (Kavo), utilizando una presión de aire equivalente a 35 psi (± 5). Para la medición el sonómetro digital y los instalados en los smartphones se colocaron a una distancia de 45 cm de la turbina de alta rotación en posición vertical del equipo para medición por medio de superficie no rígida. Las turbinas fueron accionadas para evaluación con registros en decibeles (dB). Los datos fueron analizados por ANOVA y sometidos a prueba de Tukey con un nivel de significancia del 5%.

RESULTADOS: Los resultados de las mediciones de ruido evaluadas por sonómetro, tanto mínimo, media y máximo 70,1 dB - 73,8 dB y 82,2 dB respectivamente, muestran que las turbinas de alta rotación están de acuerdo con normas de seguridad y medicina del trabajo. El nivel de ruido evaluado por el sonómetro acusó que las turbinas Pana-max (71,6 dB $\pm 2,37$) y Kavo (72,82 dB $\pm 1,54$) fueron estadísticamente significantes de los valores de la Necta activa (77,22 dB $\pm 4,16$). Los sonómetros de aplicaciones demostraron valores diferentes, principalmente los del sistema Android y con resultados comparativos divergentes del método convencional.

CONCLUSIONES: Ninguna de las aplicaciones móviles de smartphone ofreció el mismo resultado que el método convencionalmente utilizado para mensuración del ruido.

Palabras clave: turbina de alta rotación; ruido; smartphone.

76

ESTUDIO COMPARATIVO DE INJERTOS DE CERÁMICA EN CONEJOS DE NUEVA ZELANDA

Garcés Villala MA¹, Rico SD¹, Fontana S², *Malberti AI².
1. Fundación "Corazón de Jesús". Pcia. de San Juan. 2. Cátedra Histología "A". Facultad de Odontología. UNC.

OBJETIVOS: Desarrollar un nuevo biomaterial beta fosfato tricálcico de cerámica (β TCP Argentino) y evaluar sus características para ser utilizado como sustituto óseo. Realizar un estudio comparativo con un β TCP comercial importado a nuestro país. **MÉTODOS:** Obtuvimos un β TCP argentino por un nuevo método de bajo costo basado en una reacción de emulsiones de fosfato de calcio con ácido glicólico como agente formador de poros; se realizó un estudio comparativo con el β TCP Sinergy Odontit® (USA). Los materiales fueron caracterizados por microscopía electrónica de barrido, espectroscopía de energía dispersiva, difracción de rayos X y, además, se evaluó la porosidad, el área superficial específica y la resistencia a la compresión. Para evaluar la respuesta ósea de ambas biocerámicas, se rellenaron los defectos de tamaño crítico creados en las tibias de conejos machos blancos de Nueva Zelanda. En un mismo animal se rellenó el defecto óseo de una tibia con el β TCP Argentino, y en la tibia contralateral, con el β TCP comercial; defectos no rellenos se dejaron como controles. Los animales fueron sacrificados a los 30, 60 y 90 días después. Se realizaron estudios radiográficos digitales e histológicos e histomorfométricos de las zonas tratadas. Para el análisis de los datos histomorfométricos se utilizaron modelos lineales univariantes de dos vías o factores (grupo y etapa) y test post hoc (DHS de Tukey). Para todas las pruebas se fijó como valor de significación estadística en $p < 0,05$. **RESULTADOS:** El β TCP argentino alcanzó las características químicas y estructurales, una alta pureza de la fase cerámica (97%), las propiedades mecánicas y la bioactividad requerida por la legislación vigente. Cuando se analizaron biológicamente, los resultados mostraron que los dos injertos utilizados eran biocompatibles. Sin embargo, el β TCP argentino mostró una reabsorción más rápida y completa, con menor biomaterial residual y una cantidad significativamente mayor de osteocitos y de vascularización en relación con el β TCP Sinergy®. **CONCLUSIONES:** el biomaterial obtenido podría resultar en una solución alternativa de sustituto óseo sintético, que imite las características y funcionalidad del hueso autólogo y que, además, amplíe las posibilidades de aplicación a bajo costo. Comité de Ética: Instituto de Bioética- Universidad Catól

Palabras clave: fosfato tricálcico beta, síntesis tejido óseo, biocompatibilidad

77

BIOTRIBOCORROSIÓN DE IMPLANTES DE TITANIO: EFECTO CRÓNICO DE MICRO Y NANOPARTÍCULAS

*Domingo MG¹, Maglione G^{2,3}, Martín M⁴, Brites F^{4,5}, Tasat DR^{2,3}, Olmedo DG^{1,5}.

Facultad de Odontología UBA. 1. Cátedra de Anatomía Patológica. 2. Cátedra de Histología y Embriología. 3. Laboratorio de Biología Celular del Pulmón, Escuela de Ciencia y Tecnología, UNSAM. 4. Facultad de Farmacia y Bioquímica UBA. Departamento de Bioquímica Clínica. Laboratorio de Lípidos y Lipoproteínas. 5CONICET.

Los implantes biomédicos de titanio (Ti) permanecen en los pacientes por largos períodos de tiempo, siendo de interés evaluar el efecto tisular de micro (MPs) y nanopartículas (NPs) de dióxido de Ti (TiO₂) resultantes de la biotribocorrosión a tiempos crónicos. **OBJETIVO:** Evaluar luego de 6 meses la respuesta biológica de MPs y NPs en plasma, hígado, pulmón y riñón. **MÉTODOS:** Ratas Wistar (n=18) fueron inyectadas intraperitonealmente con una suspensión de TiO₂ (0,16g/100g en 5ml de solución fisiológica): **Grupo NP5** (5nm), **Grupo MP45** (45µm), y **Grupo Control** (vehículo). Los órganos se analizaron histológicamente. La concentración de Ti (CTi) se cuantificó en órganos y plasma mediante espectrometría (ICP-MS). Se evaluó la capacidad funcional de hígado (ALAT/GPT, ASAT/GOT, colinesterasa) y riñón (urea, creatinina). En macrófagos alveolares del pulmón se cuantificó la generación de anión superóxido (O₂⁻) mediante NBT (nitroazul de tetrazolio). **RESULTADOS:** Histológicamente se observaron depósitos de partículas en el parénquima hepático, pulmonar y renal en ambos grupos experimentales, sin alteraciones estructurales. La CTi en hígado, pulmón y plasma fue significativamente mayor para ambos grupos experimentales respecto del control (p<0,05). En pulmón, la CTi en MP45 fue significativamente mayor respecto de NP5 (p<0,05). En riñón NP5 mostró la mayor CTi, cuyo valor fue estadísticamente significativo respecto de MP45 y control (p<0,05). De acuerdo con los parámetros bioquímicos, la respuesta funcional de hígado y riñón no se encontró afectada. El NBT mostró que el porcentaje de células reactivas fue significativamente mayor en NP5 respecto de MP45 y ambos respecto del control (NP5:?:37,51±3,26%; MP45:?:19,24±3,33%; Control:?:7,89±3,4%; p<0,05). **CONCLUSIÓN:** Si bien el hígado presentó la mayor CTi y en riñón las NPs mostraron mayor biopersistencia, no se observó daño funcional. En pulmón, aunque la concentración de las NPs fue significativamente menor respecto de las MPs, la generación de O₂⁻ por las NPs fue significativamente mayor, indicando mayor reactividad. Nuestros datos sugieren que la respuesta biológica a la exposición crónica de partículas de Ti depende no solo del tamaño promedio de la partícula sino también del órgano blanco al cual impactan. Financiamiento: UBACyT 20020150100032BA y 0020130100332BA. PIP 11220130100091. Comité de Ética: CICUAL-ODON/FOUBA N°: 009/2016

Palabras clave: biotribocorrosión, nanopartículas, efectos adversos

78

EVALUACIÓN TISULAR Y BIODEGRADACIÓN DE UN IMPLANTE BASADO EN ÁCIDO POLILÁCTICO (PLA PL 65)

*Renou SJ¹, Pérez E^{2,3}, Olmedo DG^{1,3}

1. Cátedra de Anatomía Patológica. Facultad de Odontología. Universidad de Buenos Aires. 2. Centro de Investigación y Desarrollo en Plásticos, Instituto Nacional de Tecnología Industrial (INTI-Plásticos). 3. Consejo Nacional de Investigaciones Científicas y Técnicas (CONICET).

La utilización de polímeros biodegradables para usos temporarios constituye una alternativa a los biomateriales metálicos. En un estudio previo *in vivo* hemos mostrado que el polímero de PLA PL 65 presentó, a dos meses post-implantación, adecuada biocompatibilidad para su potencial utilización en la fabricación de dispositivos para osteosíntesis. Sin embargo, no mostró a ese tiempo experimental indicios de biodegradación requiriéndose de tiempos más prolongados para evaluar esta propiedad. **Objetivo:** Evaluar la respuesta tisular y la biodegradación de un implante PLA PL 65 a 4 meses post-implantación. **Métodos:** se utilizaron implantes cilíndricos de polímero PLA PL 65 desarrollado por CONICET-INTI. Los implantes (4mm x 1mm) se colocaron en la médula ósea hematopoyética de tibia de 10 ratas Wistar machos de 120 gr de peso corporal, bajo anestesia i.p. de ketamina y xylacina. A los 4 meses post-implantación se practicó la eutanasia, se resecaron las tibias, fijaron en formol al 10%, se desmineralizaron con ácido fórmico y se incluyeron en parafina. Los cortes histológicos, transversales al eje mayor de la tibia, fueron coloreados con H-E. Se evaluó la respuesta tisular en particular el tejido óseo en contacto con el biomaterial y la presencia de células gigantes multinucleadas. Asimismo se midió histomorfométricamente el porcentaje de tejido óseo en contacto con el biomaterial (oseointegración). **Resultados:** En todos los casos se observó tejido óseo de tipo laminar en íntimo contacto con la superficie del polímero (oseointegración) sin infiltrado inflamatorio. Se observaron escasas células gigantes multinucleadas con material particulado en su interior que se ubicaron en la interfaz biomaterial-tejido, en áreas que no presentaban oseointegración. El porcentaje de tejido óseo en contacto con el PLA fue de \bar{x} :80,2 ± 4,37%. **Conclusiones:** El polímero de PLA PL 65 mostró a los 4 meses post-implantación adecuada biocompatibilidad con escasa evidencia de biodegradación requiriéndose de tiempos experimentales más prolongados para continuar evaluando esa propiedad. Financiamiento: Subsidios: PIP11220130100091 CONICET - PICT 2014-2654.

Palabras claves: polímero PLA, biocompatibilidad, biodegradación.

ESTUDIO IN VITRO SOBRE LA ADHESIÓN DE PREVOTELLA MELANINOGÉNICA EN IMPLANTES DENTALES DE POLIETER ÉTER CETONA (PEEK)

*Friso NE, Lazo S, Escudero E, De Landaburu F, Butler T, Belloni F, Merlo D, Ivanov MM, Lazo V, Bentivegna N. Facultad de Odontología. UNLP

Las infecciones peri implantarias son cada vez más frecuentes debido al aumento de pacientes con implantes dentales. Existen dos fases: la mucositis que es la inflamación del tejido periimplantario sin afectación ósea y una forma más avanzada en la que se produce pérdida de la osteointegración, la periimplantitis. Como cualquier material, el PEEK es vulnerable a la acumulación de microorganismos que pueden inducir a reacciones de distinto tenor. El **objetivo** de este trabajo fue evaluar la adherencia de *Prevotella melaninogénica* sobre implantes de PEEK. **Materiales y métodos:** Para la realización de este ensayo se utilizaron 10 placas de Petri con agar sangre, sobre las mismas se realizó la siembra en superficie con 1 ml de suspensión bacteriana de *Prevotella melaninogénica* y posteriormente se introdujo en cada una, 1 implante roscado de PEEK esterilizado con radiación gamma (n: 10). Se cultivó en condiciones de anaerobiosis durante 48 horas a 37° C. Todo el procedimiento antes mencionado se realizó en campana de flujo laminar en y en condiciones de bioseguridad. **Resultados:** luego de la realización del recuento de UFC/ml de cada implante mediante un microscopio electrónico de barrido marca Philips, modelo Quanta 200 y el sistema Ezeimage se obtuvo una media (M: 2 UFC/ml). El procesamiento de los datos fue realizado mediante la prueba de varianza, brindando un valor estadísticamente no significativo, siendo $P > 0,005$. **Conclusión:** Los implantes de PEEK presentan una superficie que dificulta la adhesión de ciertos tipos de microorganismos orales como la *Prevotella melaninogénica*. Por lo mencionado anteriormente se infiere que dicha bacteria no es biocompatible con el polieter éter cetona. Financiamiento: UNLP

Palabras clave: *Prevotella*, adhesión, Peek

BIOFILM ORAL IN VITRO SOBRE TRES SUSTRATOS DIFERENTES: TITANIO, ZIRCONIO Y POLIETER-ETERCETONA (PEEK)

*Spina M, Butler T, Lazo S, Escudero E, Borrillo C, Amaro E, Pazos F, Alfaro G, Ivanov M, Belloni F. Facultad de Odontología. UNLP

El biofilm oral es el factor más importante en la patogénesis de enfermedades periimplantarias, como mucositis o periimplantitis. Entre los colonizadores iniciales predominan especies de *Actinomyces* y *Streptococcus*. Los secundarios como las fusobacterias harán de puente para la adhesión de nuevas bacterias, destacando la especie *Aggregatibacter actinomycetemcomitans*, la que posee capacidad para poder adherirse a diferentes materiales implantológicos. El objetivo de este trabajo fue observar la estructura espacial del biofilm oral in vitro generado en cada uno de los materiales seleccionados (titanio, zirconio y PEEK), y realizar el conteo de los microorganismos hallados en cada uno de ellos. El diseño metodológico aplicado fue de tipo experimental, transversal. Para este trabajo se utilizaron 15 implantes (n 15): 5 de titanio, 5 de Zirconio y 5 de PEEK. Todos elaborados a rosca y de igual medida, considerando que los implantes de cada uno de los materiales seleccionados pertenecieran al mismo lote. Para el análisis microbiológico se activaron tres cepas bacterianas del biofilm oral (*Streptococo mutans*, *Actinomyces odontolyticus* y *Fusobacterium*). Para la primera cepa mencionada se utilizó como medio de cultivo agar mitis salivarius, y para las dos restantes, (*Actinomyces odontolyticus* y *Fusobacterium*) agar sangre de carnero al 5%. Todas fueron incubadas a 37 C durante 48 horas, en condiciones de anaerobiosis. Luego, se preparó un tubo de ensayo con agar sangre al 5% y se colocó 1 ml de cada uno de los cultivos (*Streptococo mutans*, *Actinomyces odontolyticus* y *Fusobacterium*) para obtener un biofilm. El tubo fue incubado en estufa de cultivo a la misma temperatura, tiempo y en igualdad de condiciones que en los casos anteriores. Posteriormente se prepararon 15 cápsulas de Petri con 9,9 ml de agar sangre de carnero al 5%. En cada una se vertió 0,1 ml de la suspensión del biofilm, realizando la siembra con una espátula de Drigalsky, para luego incorporar un implante de los materiales estudiados sobre el agar en cada una de las cápsulas. Se repitió la forma de cultivo a 37 C variando el tiempo de incubación a 24 horas, en condiciones de anaerobiosis, para cada placa. Posteriormente los implantes fueron preparados para su observación al MEB, con la correspondiente fijación. En el caso de los implantes de zirconio y PEEK fueron previamente orificados por ser biomateriales que pueden dispersar la incidencia de los rayos. El sistema utilizado para el conteo de UFC/ml presentes en el biofilm formado sobre cada uno de los implantes fue el de EZEI-MAGE. Los datos fueron procesados cuantitativamente con el test de varianza, considerando como significativo $p < 0,05$. Los resultados obtenidos fueron los siguientes: si bien la estructura espacial fue similar en todos los tipos de materiales de los implantes dentarios seleccionados, la biopelícula presentó mayor volumen espacial en los implantes de titanio y zirconio, con gran proliferación de UFC/ml, predominando el tipo de los estreptococos. La media de las UFC/ml hallada en cada uno de los sustratos fue de: 12 UFC/ml para los implantes de titanio, de 7 UFC/ml para los implantes de zirconio y de 2 UFC/ml para los implantes de PEEK. De acuerdo a los resultados obtenidos se infiere que, si bien el biofilm oral se forma sobre los implantes de PEEK, posee una escasa estructura sobre la superficie de dicho material y la cantidad de bacterias que proliferan sobre este, es escasa. Por lo tanto, se deduce que de los tres sustratos analizados (titanio, zirconio y PEEK) el polieter-etercetona, es el material de confección de los implantes dentarios que menos induce el desarrollo del biofilm oral.

Palabras clave: biofilm oral, sustratos, adhesión

81**APLICACIÓN DE CIANOACRILATOS CONTRA CANDIDA ALBICANS: ESTUDIO IN VITRO**

*Marcillo Toala OO¹, Moreira Bringel Da Costa R¹, Gusmão de Oliveira D², Alves da Silva R¹, Seabra-Ferreira R Jr³, Soares Lara V¹, Neppelenbroek KH¹, Carvalho Porto V¹.

1. Facultad de Odontología de Bauru, USP. 2. UniNorte- Laureate International Universities. 3. Centro de Estudio de Venenos y Animales Venenosos. Facultad de Medicina de Botucatu, UNESP.

OBJETIVOS: Analizar el efecto de adhesivos orgánicos y sintéticos aplicados como revestimiento para prevenir la colonización de *C. albicans* sobre prótesis totales. **MÉTODOS:** Fueron confeccionados 228 cuerpos de prueba de resina acrílica termopolimerizada (VIPI-Cril Plus, VIPI) con formato cuadrangular (10mmx3mm) y divididos aleatoriamente: G0: Grupo control (sin revestimiento), G1: Etil cianoacrilato (Super Bonder Original, Loctite®), G2: Etil cianoacrilato Gel (Super Bonder Gel; Loctite®), G3: Butil cianoacrilato (932, Tekbond®), G4: Octil cianoacrilato (Dermabond® high viscosity, Ethicon®) y G5: Adhesivo tisular a base de veneno de cobra (C.E.V.A.P., UNESP). Cada espécimen junto con pincel fueron enviados a un centro de esterilización mediante óxido de etileno (ACECIL, Campinas). Una vez aplicado el revestimiento, se procedió a la inoculación a través de solución *C. albicans* (SC5314) previamente padronizada durante 12 y 24 horas de incubación. Cumplido ese tiempo, fueron utilizados los siguientes ensayos biológicos: 1) Unidad Formadora de Colonia (UFC/mL); 2) Ensayo colorimétrico XTT (duniosipod); 3) Microscopia confocal a láser (CSLM). A partir de los resultados, las pruebas estadísticas utilizadas fueron Kruskal-Wallis, comparación múltiple de Dunn y correlación de Spearman ($\alpha=P<0.05$). **RESULTADOS:** Los resultados demostraron una reducción considerable de *Cándida* en los grupos G1, G2, G3 y G4 en los tiempos analizados. En el ensayo CFU, durante las primeras 12 horas, los grupos G1, G2, G3, G4 permitieron un crecimiento de 2, 14, 3 y 8% respectivamente. Sin embargo, a las 24 horas apenas los grupos G1, G2 y G4 mantuvieron el desarrollo inferior al 50% (23, 30 y 11% respectivamente) cuando comparado con el grupo control. En el ensayo XTT, los valores de absorbancia permanecieron bajos en los grupos a base de cianoacrilatos. No obstante, el grupo G4 permaneció estable durante los periodos analizados ($p=234$) con valores oscilando 36 y 30%. Finalmente, el ensayo CSLM permitió observar y confirmar una correlación entre los resultados previamente descritos ($p<0.001$). **CONCLUSIÓN:** Basado en los resultados expuestos, el etilcianoacrilato (G1) y octilcianoacrilato (G4) consiguen eficientemente disminuir el crecimiento de biofilme de *C. albicans* sobre la superficie protésica. Financiamiento: FAPESP grant n0 2014/09426-3

Palabras clave: resina acrílica para base de dentadura, *Candida albicans*, cianoacrilatos

82**NO SE PRESENTÓ**

*Ferrante AL, Cortese SG, Biondi AM.
Facultad de Odontología de la Universidad de Buenos Aires

El conocimiento de las características de los estudiantes así como las modificaciones producidas a lo largo del tiempo, se presentan como un tema de interés a fin de implementar, si fueran necesarias, acciones que contemplen estas nuevas situaciones.

Objetivos: Identificar las características sociodemográficas y la situación laboral de los estudiantes del último año de la carrera. **Sujetos y Metodología:** Diseño: Descriptivo. 145 alumnos de un total de 174 inscriptos en la asignatura de Odontología Integral Niños del último año de la carrera presentes durante el día de la recolección de datos respondieron a un cuestionario anónimo y voluntario compuesto por parte de las preguntas formuladas en el Sistema de Información Permanente (SIP) del Censo de Estudiantes UBA 2011. La información de las variables edad, sexo, nacionalidad, estado civil, lugar de residencia primario, núcleo de convivencia, condición laboral, familiares odontólogos, fueron ingresados a una base de datos para obtener promedios, desvío estándar, distribución de frecuencias, varianza con post test de Tukey. **Resultados:** La muestra quedó conformada por el 83% de los alumnos: edad media: 27 ± 5 años, 80.68% femeninos, 8.27% extranjeros latinoamericanos. El 81.6% son solteros y 94.5% no tienen hijos. El 77,9% no tiene familiares odontólogos, 53.06% convive con su núcleo familiar primario y el 21.76% cambiaron su lugar de residencia para cursar en FOUBA. Según los listados de inscripción definitivos de la Cátedra, solo el 19.32% se encontraban cursando la Carrera en el tiempo previsto. Respecto a la condición laboral: 49% refieren que trabajan $20.5 \pm 10,9$ horas semanales. De estos, el 49,31% considera que el trabajo tiene mucha relación con la carrera. En relación a las dificultades horarias para cursar el 17,8% consideró que siempre las tienen y el 39.7% muchas veces. La edad entre quienes trabajan y no lo hacen no presentó diferencias $p=0.1593$. **Conclusiones:** Casi la mitad de los estudiantes del último año de la carrera conjugan sus estudios con algún tipo de trabajo remunerado. Si bien pareciera que existe compatibilización con el desempeño de la actividad laboral, deberán enfatizarse las estrategias que permitan minimizar las dificultades que se presentan al momento de la cursada.

Palabras clave: estudiantes de odontología, perfil laboral, datos demográficos

Vargas Foix J¹, Rodríguez MA², Grunberg K², Ferrer B², Panero S², Sorbera L², Sanchez G², Bregains L², *Rodríguez IA².
1. Cátedra "A" Marketing, Universidad Siglo XXI. 2. Cátedra B Histología, FO-UNC, Argentina.

Objetivo: El objetivo del trabajo fue realizar una valoración de una clase teórica mediante una encuesta de satisfacción a tiempo real usando una innovadora aplicación informática.

Métodos: Se realizó una encuesta de satisfacción a 150 alumnos en una clase teórica de la Cátedra "B" de Histología de la Facultad de Odontología de la UNC. Se utilizó la aplicación informática "We say" (Vargas Foix & asociados, Córdoba, Argentina) a la que accedieron mediante sus teléfonos. La encuesta fue anónima y se realizó antes de la finalización de la clase. Se consultó sobre: sexo y edad, recursos didácticos utilizados, habilidades de comunicación del docente, grado de entendimiento de los conceptos por parte de los alumnos, tiempo de la clase, infraestructura. La encuesta se valoró con: Muy bueno (MB), Bueno (B), Regular y Malo. La encuesta finalizó con la posibilidad de generar comentarios finales.

Resultados: Los docentes pudieron obtener los resultados de la encuesta en tiempo real y fueron representados en gráficas con sus correspondientes porcentajes. Edad: 98,5% entre 18 y 24 años. Sexo: 77,4% mujeres. Recursos didácticos utilizados: 75,9% (MB), 23,4% (B), representando el uso del pizarrón un 94,2% (MB). Habilidades de comunicación del docente: 86,9% (MB), 12,4% (B). El grado de entendimiento de los conceptos por parte del alumno: 41% (MB), 50,4 % (B). Tiempo de la clase: 76% lo consideró óptimo. Infraestructura: 55% (MB), 63 % (B). Los comentarios finales llegaron como alerta al mail del profesor, y destacó: subir el power point a la plataforma virtual.

Conclusión: La clase teórica fue valorada positivamente en términos generales tomando en cuenta los distintos parámetros evaluados. El análisis mediante "We say" permitió obtener información sobre la clase en forma inmediata, organizada y cuantificada. Los alumnos pudieron expresar su percepción sobre la clase utilizando un instrumento de uso diario por ellos.

Palabras clave: encuesta de satisfacción, clase teorica, tiempo real

*Girardi MR, Brasca NB, Urquía Morales MC.
Facultad de Odontología UNC

Al conjunto de estrategias pedagógicas tradicionales utilizadas en la cátedra, se incorporó el uso del aula virtual, a fin de enriquecer el proceso enseñanza –aprendizaje. Sin embargo, dicha inclusión no siempre implica modificaciones importantes en las prácticas de enseñanza, como así tampoco cambios cualitativos en los aprendizajes.

Objetivo: analizar el uso del aula virtual como complemento de la enseñanza en la asignatura Operatoria Dental I B.

Métodos: se realiza un estudio descriptivo, observacional, transversal, sobre el universo de alumnos que cursaron la materia durante los años 2016-2017; (2016 n= 244) (2017 n=220). Se analizaron diferentes elementos del entorno virtual: tiempos de visitas al aula, ingreso a tutoriales y entrega de actividades obligatorias. La información estadística fue aportada en parte, por el aula virtual y el análisis de los docentes.

Resultados: el 70% de las visitas se realizan al inicio de las actividades prácticas, 40% en épocas de parciales y exámenes finales un 10 % nunca ingresa. Los tutoriales fueron visitados por el 80%. El 75 % completo las actividades obligatorias, un 20% presentó inconvenientes al momento de su presentación y 10% realizaron copias de los trabajos de compañeros.

Conclusión: la utilización del recurso tiene períodos marcados de consulta, al inicio de las actividades, en épocas de exámenes parciales y finales. Optimizaría los tiempos de las actividades procedimentales con el uso de los tutoriales y en las actividades de integración obligatorias se evidencia la necesidad de la participación directa de los docentes.

Palabras Claves: educación a distancia, aula Virtual, enseñanza-aprendizaje.

*Giaquinta MA, Pascucci J, Conill J, Pesce E, Torre F, Trinajstic S.
Universidad Nacional de Cuyo

La humanización y la introducción de los valores en el mundo de las profesiones de la salud pasa no sólo por la introducción de los programas de formación en nuevos conocimientos, sino también por la necesidad de adquirir nuevas habilidades. El punto más complejo son las actitudes, los rasgos de carácter. En una sociedad donde se prioriza la técnica, dar un paso hacia la promoción de actitudes humanísticas y valores implica un desafío para todos los educadores. La Bioética, como ética aplicada, permite y contribuye a este fin. La utilización del cine como intervención pedagógico didáctica para mediar contenidos bioéticos de final de vida permite a los estudiantes de grado comprender mejor estas temáticas sensibles e identificar valores.

OBJETIVO: Identificar valores relacionados con final de la vida en dos cohortes de estudiantes de 4to año de Odontología.

METODOLOGÍA: Estudio descriptivo. Triangulación metodológica: cualitativa y cuantitativa. Al universo de alumnos de cuarto año que cursan Periodontología II y seminario de Bioética (cohortes 2016 y 2017) se aplicó una encuesta inicial, validada en investigación de SECTyP 2013-2015 (Giaquinta M et al 2015). Se desarrollaron tres seminarios sobre final de la vida. Una de las sesiones fue con cine debate. Se aplicó al universo de alumnos una encuesta final, validada en investigación previa (Giaquinta et al 2015). Los resultados de las encuestas se procesaron con porcentual. Las preguntas abiertas de la encuesta se procesaron por categorización de respuesta (método de Glasser & Strauss 1967).

RESULTADOS: **cohorte 2016:** n= 44; el 95% de los estudiantes valoraron el film como muy bueno (escala de valoración: 1.pobre, 2.aceptable, 3.muy bueno). Se identificaron los siguientes valores: vida (95%), familia y libertad (90%), amor (75%), muerte (72%). Otros valores identificados ≤ 30% fueron: autonomía, respeto. Se destacó como aspecto relevante: cosificación de la persona, autonomía de la voluntad y dignidad. **Cohorte 2017:** n=22; 100% valoraron el film muy bueno. Valores identificados: amor y justicia (100%), responsabilidad (80%). ≤30% solidaridad, respeto, empatía. **CONCLUSIONES:** la intervención pedagógico didáctica con cine debate colabora para la identificación de valores relacionados con final de vida.

Financiamiento: Secretaria de Ciencia Tecnica y Posgrado Universidad Nacional de Cuyo

Palabras clave: bioética, odontología, educación superior

87

CUMPLIMIENTO DE NORMAS ÉTICO-LEGALES EN PACIENTES DEL HOSPITAL ODONTOLÓGICO UNIVERSITARIO

Miguel R, *Sapienza ME, Zemel M, Cocco L, Di Girolamo Pinto G, Iantosca A, Bustichi G, Bosi García S, Alfaro M, Elvira A.
Instituto de Investigaciones en Educación Superior, FOUNLP

La legislación argentina otorga el derecho al paciente a la confidencialidad, a la información sanitaria y a la revocabilidad la decisión del paciente o de su representante legal en cuanto a consentir o rechazar los tratamientos indicados en la práctica sanitaria. Por tanto, cabe evaluar su implementación en la práctica odontológica que se imparte en ámbitos de formación universitaria. **Objetivo:** Examinar el cumplimiento de normas ético-legales en pacientes del Hospital Odontológico Universitario de la ciudad de La Plata, República Argentina. **Métodos:** Se realizó un diseño descriptivo de corte transversal en clínicas universitarias de atención odontológica (n=12). Se seleccionó una muestra de 360 pacientes adultos, edad promedio 42 años (rango 21-65). El tamaño de muestra fue calculado mediante Epi InfoTM Versión 7.1.5, considerando un Nivel de Confianza de 95% y realizando un posterior ajuste al tamaño de la población. A su vez, se dividieron en 3 subgrupos: 21-30 años; 31-50 años; 51-65 años. Se evaluó nivel de instrucción; grupo etario; frecuencia de revocabilidad del consentimiento; nivel de cumplimiento de la información sobre riesgos clínicos y efectos adversos. Se realizó el tratamiento estadístico mediante IBM SPSS Statistics 22.0, IC 95%, $p < 0.05$, como también se evaluó el coeficiente de correlación de Pearson. **Resultados:** Los autorreportes presentaron una adecuada fiabilidad psicométrica. El análisis de correlación confirmó la existencia de una asociación inversa entre el grupo etario y la frecuencia de revocabilidad del consentimiento (21-35 años $\chi = 0.60$ DS 1.12; 51-65 años $\chi = 0.07$ DS 0.25; $p < 0.05$), como entre el primero y la percepción del nivel de confidencialidad recibido (Nivel Alto: 21-35 años = 39, 32.5%; 51-65 años = 102, 85.0% Nivel Intermedio: 21-35 años = 33, 27.5%; 51-65 años = 12, 10.0%; Nivel Bajo: 21-35 años = 48, 40.0%; 51-65 años = 6, 5.0%; $p < 0.05$). Se confirmó la asociación positiva entre el nivel de instrucción y la información sobre riesgos, como entre el primero y la información del uso de los datos con fines académicos ($p < 0.05$). **Conclusión:** A partir de la muestra procesada se observaron diferencias en el cumplimiento de normas éticas-legales según grupo etario y nivel de instrucción ($p < 0.05$). Financiación por UNLP (O125). Comité de Ética: 019-18
Palabras claves: bioética, confidencialidad, derechos sanitarios

88

PACIENTES CRONIFICADOS EN UN HOSPITAL DE URGENCIAS: MIRADA DESDE LA BIOÉTICA INTERVENCIONISTA

Ripoll S, Ríos L, *Barnetche M.
Red Municipal de Bioética Clínica y Social, Municipalidad de Córdoba.

Objetivo: Conocer los dilemas bioéticos que emergen en la cronificación de pacientes internados en el Hospital de Urgencias de la Municipalidad de Córdoba. **Metodología:** Mediante el método etnográfico, se llevó a cabo un estudio de cualitativo, donde se realizó un trabajo de campo aplicando las técnicas de análisis de documento (historias clínicas, protocolos de intervención), observación participante de la dinámica hospitalaria y entrevistas abiertas a los 12 integrantes de la comisión interdisciplinaria, creada en el año 2012 para elaborar la Guía sobre adecuación del esfuerzo terapéutico -Muerte digna-. A los datos recabados se le realizó un análisis de tipo etnográfico. A través de una "descripción densa" (Geertz 1973) se penetró en las distintas capas de significados presentes en la situación indagada, entendiéndola tanto como método de recolección de información como también instrumento para la producción de interpretaciones. **Resultados:** A partir de la indagación del análisis etnográfico emergieron las siguientes situaciones posibles de abordarse desde la perspectiva de una bioética intervencionista: la deshumanización del paciente, el impacto del trauma en el grupo familiar, encarnizamiento terapéutico, la desvirtuación del perfil institucional, la ausencia de personal especializado para el abordaje terapéutico integral, la falta de contención institucional y el paciente "caso social". **Conclusión:** Entendemos que la bioética intervencionista podría jugar un papel modulador en la asignación de los limitados recursos sanitarios, por lo que se desarrolla como una disciplina que posee cada vez mayor relevancia en el desarrollo de herramientas éticas, de justicia social y colaborar con y en el empoderamiento de diversos sectores subalternos y/o vulnerados. Es importante destacar la importancia tanto del rol del Estado, como el de los sujetos colectivos e individuales, a la hora de proteger este tipo de pacientes con la creación de centros de neurorehabilitación, centros de cuidados paliativos, hogares intermedios y de medio camino. La apuesta final es hacia una Bioética de Intervención: colectiva, práctica, aplicada y comprometida con lo "público" y con lo social en su más amplio sentido para desconstruir los dilemas presentados.

Palabras clave: bioética, derechos del paciente, transferencia de pacientes, personas encamadas

89**IMPACTO DEL VÍNCULO ESTUDIANTE-PACIENTE EN LA PRÁCTICA CLÍNICA DE GRADO**

*Marega GH, Sánchez Dagum M.
Cátedra de Odontología Preventiva y Comunitaria I. Facultad de Odontología.UNC.

El vínculo terapéutico es un compromiso o alianza interpersonal entre paciente y profesional, el **OBJETIVO** del presente estudio fue valorar aspectos del vínculo que se construye entre alumnos que cursan las prácticas clínicas del último año de la carrera de Odontología, UNC y sus pacientes, revalorizando la importancia de la relación que se establece entre ambos con motivo de esta atención; debido al valor que tiene en el tratamiento, proceso y resultados de las prácticas. **MÉTODO:** se llevó a cabo un estudio cualitativo, observacional, descriptivo y transversal, mediante el abordaje etnográfico, realizado en dos cátedras de la Facultad de Odontología, UNC; los datos observados fueron registrados en notas de campo, construyendo posteriormente una matriz de observación, se analizó la interacción entre los mismos, conformando categorías y sub-categorías para su clasificación e interpretación. Las muestras estuvieron conformadas por 40 alumnos del el Ciclo Profesional y 40 pacientes por ellos asistidos, en las prácticas clínicas obligatorias de la carrera, ambas obtenidas por muestreo teórico. Los **RESULTADOS** alcanzados muestran las categorías cualitativas: contexto, actividades, participación y sus subcategorías. De manera no explícita, los alumnos aprenden aspectos actitudinales que acompañan a los procedimentales, realizan un auto-aprendizaje y un co-aprendizaje colaborativo acompañado por el docente y aplican también el aprendizaje por imitación. Las relaciones que se establecen entre alumnos y pacientes con motivo de la atención odontológica son en general, circunstanciales y concluyen al terminar la práctica clínica. **CONCLUSIÓN:** el vínculo con el paciente es fundamental en relación al éxito del tratamiento; debido al valor que tiene respecto a la conservación y/o recuperación de la salud bucal; mediante la promoción de prácticas de autocuidado y la adopción de conductas saludables. Si bien los pacientes, han relatado sentirse conformes con la atención recibida y la mejora o recuperación en su salud, es importante revalorizar esta relación y que los alumnos profundicen aspectos relacionados a la temática. Tesis Doctoral, 2017. Comité de Ética: N° 40 ODO

Palabras clave: estudiante - paciente - relación

90**ESTRÉS ACADÉMICO Y CONSUMO DE DROGAS LEGALES EN ALUMNOS INGRESANTES A LA CARRERA DE ODONTOLÓGIA, UNIVERSIDAD NACIONAL DE CÓRDOBA**

Rodríguez I¹, *Aramburu G¹, Fonseca G².

1. Facultad de Odontología-Universidad Nacional de Córdoba. 2. Facultad de Odontología-Universidad de la Frontera - Temuco (Chile).

Objetivo: Caracterizar al estrés académico autopercibido y el consumo de sustancias psicoactivas legales. Analizar si existe asociación entre ambas variables. **Materiales y Métodos:** Se llevó a cabo un estudio de tipo descriptivo. La muestra estuvo conformada por estudiantes de Introducción a la Odontología. Se incluyeron alumnos mayores de 18 años y de ambos sexos. La información se recolectó a través de dos cuestionarios autoadministrados. Se realizó un análisis descriptivo de los estresores que caracterizaban al estrés académico autopercibido, de las reacciones y de las estrategias de afrontamiento del estrés académico utilizadas por los estudiantes, y un análisis de correlación (Correlación de Pearson) entre estas tres dimensiones. En cuanto al consumo de sustancias psicoactivas, se llevó a cabo un estudio descriptivo del alcohol, el tabaco, los energizantes: frecuencia; la edad de inicio de consumo; cantidad consumida; forma de consumo; motivo de consumo; lugares de consumo y si varió o no varió en la etapa universitaria. Se indagó el grado de correlación entre el consumo de sustancias psicoactivas y los valores (escala SISCO) correspondientes a las tres dimensiones asociadas al estrés académico mediante pruebas de correlación bivariadas de Spearman. Para evaluar si el consumo había variado significativamente en la etapa universitaria se realizaron comparaciones de medias (Test de Student). En todos los casos se fijó como nivel de significación estadística $p < 0,05$. Para el análisis estadístico se utilizó el software SPSS. **Resultados:** El 98,3% de los alumnos presentó estrés académico. El 88,81% de participantes, seleccionó las categorías de intensidad más altas de estrés. Existe una muy significativa correlación entre las dimensiones Estresores y Reacciones ($p < 0,001$) y entre Estresores y Estrategias ($p = 0,034$). En la dimensión reacciones, las mujeres registraron valores significativamente más altos. El alcohol tiene un consumo actual del 77%, los energizantes 59% y el tabaco consumo actual del 26%. **Conclusiones:** El 98,3% de los alumnos encuestados respondió que presentaba estrés académico. Existe un notorio vínculo entre las dimensiones Reacciones y Estresores del estrés autopercibido y los factores de riesgo para consumo de sustancias psicoactivas ($p = 0,001$). Comité de Ética: Proyecto ODO 3 T_ Comité Académico

Palabras clave: estres académico, drogas legales, consumo

91

CIENCIA Y SOCIEDAD. ANÁLISIS DE CREENCIAS DE ESTUDIANTES DE ODONTOLOGÍA

*Basal RL, Ramirez S, Micinquevich S.
Facultad de Odontología. UNLP

Objetivo: analizar las creencias sobre la naturaleza de la ciencia de estudiantes de odontología al inicio de la carrera.

Metodología: Se estudió una muestra constituida por 96 alumnos universitarios que cursan el primer año de la carrera de Odontología. El enfoque metodológico consistió en la aplicación de un cuestionario validado por expertos obtenido de "Preguntas de opiniones sobre ciencia y sociedad" (COCS) que consiste en un instrumento adaptado del cuestionario de Opiniones sobre Ciencia, Tecnología y Sociedad (VOSTS) compuestos por diferentes proposiciones. Los estudiantes valoraron cada una de las opciones como adecuadas, escasamente adecuadas e inadecuadas desde la perspectiva de sus creencias.

Resultados: se obtuvo una variedad de resultados en función de las dimensiones presentadas en el cuestionario entre las que se destacan: concepciones de la ciencia, el proceso de hacer ciencia, aplicaciones de la metodología científica a la vida cotidiana, vinculación de la ciencia con las instancias del poder, formas de socialización del conocimiento científico en la comunidad científica.

Conclusión: los estudiantes consideran a la ciencia como un cuerpo de conocimientos obtenidos a través de un método, altamente vinculado con la resolución de problemas y al poder. Es necesario enriquecer el conocimiento de la ciencia como construcción social, poniéndose en práctica a través de estrategias diversas que contribuyan al aprendizaje significativo y que posean coherencia epistemológica en función de los contenidos que tratan las unidades temáticas de cada asignatura.

Comité de Ética: referencia Roxana Basal

Palabras clave: ciencia, estudiantes, imagen

92

PERCEPCIÓN DE ESTUDIANTES DE ODONTOLOGÍA PASANTES EN UN SERVICIO INTERDISCIPLINARIO DE SALUD

*Ponce AF, Alvarez MR, Giraud C, Sánchez Dagúm EV†, Bella MI.
Facultad de Odontología. UNC

INTRODUCCIÓN: La asignatura Odontología Preventiva y Comunitaria II de la FO-UNC, propone al estudiante del último año de la carrera, diferentes escenarios de formación, con el fin de promover aprendizajes integrados e interdisciplinarios en el campo de la salud. En el presente trabajo se analiza la mirada de estudiantes concurrentes en calidad de pasantes, durante el cursado de la asignatura, al Hospital Materno Provincial Dr. Lucini, donde realizan actividades de educación y promoción de salud con madres, sus hijos/as y familiares.

OBJETIVO: Conocer la percepción de estudiantes de odontología de la U.N.C. sobre aprendizajes y competencias desarrolladas durante su pasantía en la Maternidad Provincial Dr. Lucini de la ciudad de Córdoba, en el periodo 2014-17.

METODOLOGÍA: Se realizó un estudio cualitativo aplicando la técnica de análisis de documentos, a partir del texto de las conclusiones contenidas en 41 informes grupales finales, de 186 estudiantes de odontología que concurrieron al servicio durante los años 2014-15-16-17.

RESULTADOS: Del análisis se construyeron las siguientes categorías: *Resignifican el servicio hospitalario y a la salud pública. *Valoran la importancia de acceder a espacios de formación con trabajo en equipo e interdisciplina. *Registran y visualizan "al otro", usuario/as del servicio como actor social con diversidad en necesidades, cultura, formas de cuidarse. *Identifican un modelo de práctica profesional diferente que les permite proyectar el ejercicio de la profesión en torno a: el contexto, comunicación, prevención, educación y promoción de la salud.

CONCLUSIONES: Los y las estudiantes lograron resignificar preconceptos sobre el ejercicio de la odontología en el ámbito público. Se apropiaron de saberes disciplinares desde una mirada contextualizada, valorando la interrelación y la actitud de escucha del otro, visualizando modelos de prácticas interdisciplinarias en salud.

Palabras clave: interdisciplina, equipo de salud, modelos de atención

93

PERCEPCIÓN DE ESTUDIANTES DE ODONTOLOGÍA DE LA UDELAR EN RELACIÓN AL DESARROLLO DE ACTIVIDADES DE PRÁCTICA EN GRUPOS MULTIPROFESIONALES EN MEDIO HOSPITALARIO

*Tapia G, Zubiaurre V, Cora M, Sosa L, Silvariño MN.
Facultad de Odontología, UdelaR. Montevideo (Uruguay).

Objetivo: Conocer la percepción de los estudiantes de odontología de la Udelar respecto a su participación en espacios de práctica multiprofesional (PARO – Hospital de clínicas), durante el primer semestre del año 2018.

Materiales y métodos: Se realizó un estudio descriptivo, transversal de tipo observacional, con corte cuanti – cualitativo. Se indagó mediante encuestas semi estructuradas al universo de estudiantes de la pasantía en el primer semestre del 2018 en la PARO. El segmento cuantitativo se solicitó que calificara la experiencia del punto de vista global entre 0 (deficiente) y 12 (sobresaliente), así como la actuación del docente que fue evaluada con la misma escala. En el plano cualitativo se indagó respecto a los aspectos positivos y negativos de la experiencia.

Resultados: En el plano cuantitativo la percepción de la pasantía en la visión global fue calificada por los encuestados con un promedio de 10.06, la actuación del docente tuvo un promedio de 10.94. En el plano cualitativo se destaca el trabajo en equipo, la posibilidad de empoderar a los usuarios, el crecimiento personal, el acercamiento a una nueva realidad y el trabajar con usuarias embarazadas. Los elementos negativos se vieron vinculados a la infraestructura, el poco tiempo de la pasantía, la baja cantidad de pacientes en algunos espacios y la dificultad para resolver las necesidades de tratamientos detectados.

Conclusión: Del estudio se desprende que estos estudiantes tienen una percepción calificada con matiz de excelencia en el plano cuantitativo, así como valoraciones muy positivas en el plano cualitativo, y elementos negativos en relación a la infraestructura y capacidad de derivación. Se percibe como una estrategia educativa a profundizar.

Palabras clave: estudiantes, grupos, multiprofesionales

94

APRENDIZAJE SIGNIFICATIVO Y DIAGRAMAS V EN ESTUDIANTES DE PERIODONCIA "B" / FOUNLP

*Tomas LJ, Medina MM, Seara SE, Rueda LA, Coscarelli NY, Papel GO, Tissone SE, Saporitti FO, Lozano S, Conte C.
Facultad de Odontología UNLP

OBJETIVO: Evaluar el uso del diagrama de V en la integración de los elementos epistemológicos de la ciencia en los informes de trabajos prácticos de Periodoncia "B" en la FOUNLP. **MÉTODOS:** Se aplicó una propuesta didáctica con 24 alumnos de Periodoncia "B", del primer cuatrimestre de cuarto año de Odontología de la FOUNLP. Se realizaron dos tipos de informes a lo largo del cuatrimestre: A) informe tradicional (estructura y organización adquirida en experiencias previas) en el 1° Trabajo Práctico de Periodoncia "B", B) Informes con diagramas en V del 2° al 6° Trabajo Práctico. Se analizó la presencia e integración de elementos epistemológicos: pregunta central, eje conceptual, objetos de estudio, registros y transformaciones, afirmaciones de conocimiento y de valor, asignándole a cada elemento valores entre 0 (ausencia del elemento) y 4 (consistencia e integración). Se relevó, mediante encuesta, la apreciación de los alumnos sobre el uso del diagrama en V y las habilidades que desarrollaron. Los datos se analizaron estadísticamente mediante el análisis de la varianza (ANOVA), con el software Statistica 7.0. **RESULTADOS:** Los informes (n=36) fueron de carácter grupal. Los resultados obtenidos demostraron que los informes tradicionales carecían de solidez e integración de los elementos epistemológicos, con una valoración media de 1,56. Mientras que en informes con diagramas en V se identificó el desarrollo e integración de los elementos epistemológicos, con una valoración media de 2,48. Se evidenció que existe diferencia significativa ($p < 0,05$) en la valoración de los elementos epistemológicos desarrollados según el tipo de informes realizado. El 66% de los alumnos (n=24) tuvieron apreciaciones positivas al usar la herramienta. Las apreciaciones negativas (34%) se asociaron a la falta de adaptación con la misma. Las habilidades que expresaron aplicar los alumnos fueron: interpretar (75%), analizar (75%), razonar (67%), organizar (50%) e integrar información (38 %). **CONCLUSIÓN:** Se concluye que los trabajos prácticos de Periodoncia "B" orientados con diagramas en V convierten la práctica de enseñanza de esta ciencia en una actividad constructiva, reflexiva e interactiva, acciones que favorecen la comprensión, motivación y autonomía de los alumnos para aprender ciencia.

Palabras clave: diagramas, alumnos, FOUNLP

Vera MM, *Pescio J, Goubat A, Álvarez P, Montañez D, Filsinger A, Isla C.
Facultad de Odontología, Departamento de Rehabilitación Bucal, Cátedra de Prostodoncia II Y III B UNC

La Facultad de Odontología de la Universidad Nacional de Córdoba tiene dentro de la misma, en el ciclo profesional, una instancia de atención a pacientes donde el proceso enseñanza-aprendizaje requiere de la articulación de los conocimientos básicos y pre-clínicos, es decir, la relación entre la teoría y la práctica. **Objetivo:** Indagar sobre las estrategias de aprendizaje utilizadas por los estudiantes del último ciclo de la carrera de odontología. **Metodología:** Se realizó un estudio exploratorio de corte transversal utilizando una encuesta personal, voluntaria y anónima en una muestra conformada por 70 alumnos de ambos sexos que cursaron las asignaturas Prostodoncia II y III B. **Resultados:** El 57,14 % de los estudiantes se encontraba atrasados más de 1 año en el cursado de su carrera, no especificando la causa. Un 77,14 %, dedicaban más de 4 hs de estudio semanales, el 84,29 % estudiaban solos, siendo el principal motivo, su estilo personal y la costumbre. El 74,29 % utilizaban materiales propios, fotocopias, manuales, libros y contenido virtual y como estrategias de apoyo el resumen y subrayado en la lectura. Como componentes principales en el aprendizaje se presenta, a la explicación el 72,86%, la aplicación el 52,86 % y la asociación un 40 %. Los alumnos destacan como prioritarias las prácticas en un 70 % y a las demostraciones un 67,14 %. El 100% de los estudiantes recuerdan como los motivos significativos en los profesores a las cualidades de: motivación, humanidad, claridad, respetuosidad y participación. **Conclusión** Estos resultados parecen concordar con estudiantes con formas de aprendizaje mixta entre los denominados Divergentes y Acomodadores, con un estilo de aprendizaje principalmente pragmático y pueden coincidir con una estrategia de aprendizaje de regulación de manejo de recursos. Sin embargo, la actitud de estudio sin compañeros, en especial, y otras componentes que se encuentran ausentes en las respuestas, deberían ser analizadas en particular, como elementos para mejorar y aplicar en el aprendizaje de los estudiantes de odontología. Res. Secyt 313/16

Palabras clave: Estudiantes, Odontología, Aprendizaje, Estrategia, Prostodoncia

Olmos MA¹, *Cacciamano J², Brasca N³, Girardi J³, Farah M⁴, Montañez D⁵, Urquía Morales MC³, Vera MM⁵.
Facultad de Odontología UNC. 1. Departamento Preventiva y Social. Psicología Evolutiva. 2. Departamento de Rehabilitación Bucal. Prostodoncia I A. 3. Departamento de Rehabilitación Bucal. Operatoria I B. 4. Departamento de Rehabilitación Bucal. Materiales Dentales. 5. Departamento de Rehabilitación Bucal. Prostodoncia II B.

El dibujo constituye una técnica de eficacia reconocida en los procesos de diagnóstico y asistencia en el psicoanálisis de niños, pues permite la libre expresión de afectos sentimientos e ideas. **Objetivos:** Conocer las representaciones antes y después de la intervención de los abuelos. Establecer un buen rapport a través de una técnica de expresión natural. Detectar posibles indicadores de perturbación emocional y realizar las derivaciones correspondientes. **Metodología:** Se desarrolló el primer dibujo con la consigna: "Chicos hagan un dibujo de Uds. y su Odontólogo". Posteriormente la intervención a través de lectura del cuento "La vida de los buenos dientes" por parte de los abuelos y expresiones de historias propias de los mismos. Se repite la misma consigna con el objetivo de valorar los posibles cambios a partir de la experiencia de aprendizaje y el impacto de la información adquirida. Se entregó a cada niño una hoja y lápices, a los fines de homogeneizar el contexto de observación, todos trabajaron con los mismos materiales. La escuela de nivel primario Escuela Juan José Paso de Villa Arredondo, Carlos Paz contexto vulnerable de la ciudad de Córdoba. Se llenaron por los papas el consentimiento informado y los niños. Análisis de datos sobre, Uso del espacio Gráfico. Figura Humana, Presencia de personajes, Diferenciación del Contexto Odontológico, Aspectos Emocionales del Odontólogo, Del Niño, Presencia de contexto Odontológico, Uso del color. Indicadores de tensión, Presión en el Trazo. Estadística de porcentajes **Resultados:** Total de la muestra N= 55 fueron 24 femeninos 34 masculinos. De ellos el 61,72% de niños entregaron el primer dibujo. El 78% usa en forma parcial la hoja, el 24% presenta un solo personaje, el niño; el 26% presenta dos personajes; y el 8% presenta tres personajes, el 54% diferencia el contexto odontológico, el 56% no presenta presión en el trazo. 32% imagen amistosa del Odontólogo **Conclusión.** Lo más significativo es el porcentaje predominante de niños que poseen información completa de lo odontológico, una buena impresión emocional expresada en la figura amistosa del odontólogo y en la inclusión de un contexto no amenazante o con rasgos gráficos de ansiedad paranoide.

Palabras Claves: Educación, Prevención, Esquemas Gráficos

97

EFFECTOS DE RADIACIONES LASER EN TUMORES DE GLÁNDULAS SUBMANDIBULARES. ANÁLISIS HISTOMORFOMÉTRICO

*Zanotti AF¹, Plavnik LM².

Facultad de Odontología UNC. 1. Cátedra de Microbiología. 2. Cátedra de Histología.

INTRODUCCION: Las lesiones malignas de glándulas salivales activan genes estimulantes o inactivan genes supresores de la proliferación celular que inhiben los procesos apoptóticos. La mayoría de los protocolos de tratamientos para estas patologías tienen efectos indeseables. Las Radiaciones Laser de Baja Potencia (RLBP) en densidades altas de energía producen modificaciones celulares y vasculares que indican procesos apoptóticos del parénquima tumoral con mínimo daño colateral.

OBJETVO: Estudiar histomorfométricamente los cambios apoptóticos producidos por el efecto de las RLBP de Helio -Neón en densidades altas sobre tumores malignos inducidos con DMBA en glándulas submandibulares de rata. **MATERIALES Y**

MÉTODOS: se utilizaron 60 ratas machos divididos en dos grupos de 30 animales: a- controles b-experimental. Ambos grupos recibieron en el día 0 50 ul de 9,1-dimethyl 1,2 benzathaceno (DMBA). A los 150 días al grupo a se le extirparon los tumores en ambas glándulas. A los del grupo b se los irradió con una densidad de energía de 50 Jouls con RLBP de Helio Neon de 7 mW de pulso continuo. A las 12 hs post irradiación los tumores del grupo b fueron extirpados y fijados, procesados con la técnica de rutina y los cortes se tiñeron con Hematoxilina-Eosina. Los tumores extirpados de los animales del grupo a se trataron igual que los del grupo b y con un microscopio óptico con un sistema Pro Plus Ultra y grillas cuadrículadas que creaban áreas e 50µ2 midiéndose: cantidad de células tumorales gigantes acidófilas y células apoptóticas, así como cantidad y diámetro de vasos sanguíneos. **RESULTADOS:** En todos los casos estudiados se observó: mayor cantidad de vasos sanguíneos en el grupo a con una mayor vasodilatación en el grupo b sin diferencias estadísticamente significativas y mayor cantidad de células apoptóticas en el grupo b con diferencias estadísticamente significativas ($p < 0,0061$) **CONCLUSIONES:** De acuerdo a estos resultados podemos inferir que las RLBP producen un aumento de procesos apoptóticos frenando el ciclo celular tumoral.

Palabras clave: glándulas salivales, radiaciones Láser, tumores malignos, apoptosis

98

EFFECTOS DE RADIACIONES LASER EN TUMORES DE GLÁNDULAS SUBMANDIBULARES. ANÁLISIS INMUNOHISTOQUIMICO

*Zanotti AF¹, Plavnik LM².

Facultad de Odontología UNC. 1. Cátedra de Microbiología. 2. Cátedra de Histología.

INTRODUCCION: Determinar las modificaciones genéticas estimulantes o inhibitoras de la activación de la apoptosis y de la proliferación celular, en tumores malignos es importante para establecer nuevos tratamientos para estas patologías ya que la mayoría tienen efectos indeseables Las Radiaciones Laser de Baja Potencia (RLBP) en densidades altas de energía producen apoptosis de células acinares con mínimo daño colateral.

OBJETVO: Estudiar inmunocitoquímicamente oncogenes y supresores de tumores p53 y Bcl2 y modificaciones en la expresión de Ki 67 en tumores malignos inducidos con DMBA de glándulas salivales de rata e irradiados con RLBP.

MATERIALES Y MÉTODOS: se utilizaron 60 ratas macho Wistar que se dividieron en dos grupos de 30 animales: a- control y b-experimental. Ambos grupos recibieron en el día 0,50 ul de 9,1-dimethyl 1,2 benzathaceno (DMBA) en cada glándula. A los 150 días al grupo a se le extirparon los tumores en ambas glándulas. A los del grupo b se los irradió con una densidad de energía de 50 Jouls con RLBP de Helio Neón de 7 mW de pulso continuo. A las 12 hs post irradiación los tumores del grupo b fueron extirpados y fijados, procesados con la técnica de rutina, se tiñeron con Hematoxilina-Eosina y se inmunomarcaron. Los tumores extirpados de los animales del grupo a se trataron igual que los del grupo b.

RESULTADOS: se observó en la inmunomarcación para: P53 fue negativa, en ambos grupos, BCL2 en los casos a fue negativo, por el contrario fue en los casos b positiva estadísticamente significativa ($p < 0,050$). El estudio para Ki67 mostró una inmunomarcación negativa en el grupo a, mientras que en el grupo b fue positiva resultando $p = 0,05$.

CONCLUSIÓN: los hallazgos presentados nos permiten postular que el efecto de las RLBP sobre tumores de glándulas submandibulares de ratas, inducidos con DMBA, es el de modificar el ciclo celular de la célula tumoral aumentando el proceso apoptótico en ellas.

Palabras clave: glándulas salivales, radiaciones Laser, tumores malignos, apoptosis

99

EXPRESIÓN DE LA ESFINGOMILEINASA ÁCIDA EN SALIVA HUMANA EN UN PACIENTE CON ENFERMEDAD DE NIEMANN- PICK TIPO B Y CONTROLES SANOS

*Guzmán Barrionuevo NH^{1,4}, Quintar Aguirre AMF^{1,4}, Dodelson de Kremer R^{1,2}, Martínez LD^{1,4}.

1. Centro de Estudio de las Metabopatías Congénitas, CEMECO. Facultad de Ciencias Médicas. UNC. 2. Hospital de Niños Córdoba, Argentina. 3. Biología Celular, Cátedra "B". 4. Taller de Investigación en Ciencias de la Salud. Facultad de Odontología, UNC.

ANTECEDENTES: La saliva constituye un biofluido utilizado para analizar el estado de salud-enfermedad de un individuo, constituyendo un medio de diagnóstico en desórdenes orales, como alteraciones periodontales y caries, el Síndrome de Sjögren y la enfermedad de Lipofuscinoses Neuronal Ceroidea en nuestro Centro. La ENP-B son patologías de atesoramiento lisosomal producidas por deficiencias en esfingomielinasa ácida (EMA), de herencia autosómica recesiva, provocadas por mutaciones en el gen *SMPD1*. La ENP-B es una patología multisistémica, fenotípicamente variable con progresiva hepatoesplenomegalia y gradual deterioro de la función pulmonar, con promedio de vida hasta la etapa adulta. Los ensayos diagnósticos para esta enzima se desarrollaron utilizando fibroblastos, leucocitos, plasma y gotas de sangre seca, en la actualidad no se encontraron estudios publicados de expresión de EMA en saliva. **OBJETIVO:** Establecer en la población el rango normal de referencia de la actividad de EMA y validar el método en pacientes con diagnóstico de ENP-B. **METODOLOGÍA:** El protocolo previsto para esta etapa consistió en la medición de la actividad enzimática de EMA en saliva y plasma de controles sanos y 1 probando según método fluorogénico. **RESULTADOS:** Se detectó actividad de EMA en todas las muestras de saliva. El rango en saliva para 27 sujetos controles fue de 4.5-70.4 con una media de 27 nmol/17 h/mg proteína. Los valores en plasma fueron significativamente más bajos, con un rango de 0.056-3.2 con una media de 2.5 nmol/17 h/mg proteína. No se observó correlación entre saliva y plasma ($R^2=0,001$). La actividad de EMA fue marcadamente deficiente en saliva 0.6 nmol/17 h/mg proteína, así como en pella de leucocitos (0.125 nmol/h/mg proteína) y en plasma (0.09 nmol/17h) del probando estudiado. **CONCLUSIONES:** Estos resultados indican que la saliva puede ser utilizada como un biofluido alternativo al plasma y a los leucocitos para medir la actividad de la EMA, con la ventaja de utilizar un procedimiento no invasivo, de fácil recolección, que facilite el reconocimiento de estas entidades en nuestro medio, constituyendo un indicador biológico que permite la identificación y caracterización de la ENP-B. **Financiamiento:** SecyT-UNC 313/16. **Comité de Ética:** Aprobado, por CIEIS (polo Hospitalario)

Palabras clave: esfingomielinasa ácida, biomarcador, Niemann Pick disease type B, lisosoma

100

CORTISOL Y DEXAMETASONA SALIVALES APLICADOS AL ESTUDIO DE LA FUNCIÓN ADRENAL DE ADULTOS MAYORES

*Cardoso EML¹, Arregger AL¹, Tumilasci G², Elverdín JC², Contreras LN¹.

1. IDIM A. Lanari (UBA-CONICET). 2. Facultad de Odontología (UBA)

El cortisol salival (SAF) es un biomarcador no invasivo de elección para el estudio de la dinámica adrenal. El mecanismo de retrocontrol negativo del cortisol sobre el eje hipotálamo-hipofiso-adrenal se evalúa mediante la prueba de inhibición con dexametasona (DST). **Objetivos:** investigar en adultos mayores (M) la función adrenal empleando SAF horario y compararla con la de adultos menores de 65 años (J). En DST, establecer para M el valor límite superior para el cortisol salival (8,0 y 16,0 horas) y la concentración de dexametasona salival (Sa-Dex) asociada a supresión adecuada. Comparar estos parámetros con los obtenidos en J. **Métodos:** se estudiaron adultos, con ritmo sueño-vigilia conservado, divididos en M (10 casos; edad: 73,0±7,0 años) y J (10 casos; edad: 42,0 ±16,0 años). Se excluyó insuficiencia renal y hepática, depresión mayor, demencia e ingesta de drogas que alteren la función adrenal. El estudio abarcó dos días consecutivos: en el primer día los sujetos obtuvieron saliva para cortisol salival a las 8,0 horas (SAF₈), 16,0 horas (SAF₁₆) y 23,0 horas (SAF₂₃). A las 23,15 horas recibieron 0,5 mg de dexametasona por vía oral. El segundo día obtuvieron saliva a las 8,0 y 16,0 horas para cortisol salival (SAF_{8dex} y SAF_{16dex}, respectivamente) y Sa-Dex. El protocolo fue aprobado por el Comité de Ética del IDIM A. Lanari y todos los participantes dieron su consentimiento por escrito. Se determinó SAF(nM) por RIA y Sa-Dex (nM) por ELISA. El análisis estadístico se realizó con Mann-Whitney y Wilcoxon; siendo significativo p<0,05. **Resultados:** SAF₈, SAF₁₆ y SAF₂₃ en M (7,7±2,1; 1,9±0,6; 1,0±0,9) no fueron significativamente diferentes a J (9,0±1,7; 1,7±0,5; 1,0±0,8; respectivamente), p>0,104. En M y J, las concentraciones de SAF₁₆ y SAF₂₃ fueron significativamente menores a SAF₈ (p≤0,002 en todos los casos). En DST, la respuesta de cortisol salival para M y J fue similar, siendo en ambos grupos SAF_{8dex}≤2,0 y SAF_{16dex}≤1,0 (Sa-Dex ≥ 0,229 en ambos). **Conclusiones:** el cortisol y la dexametasona salivales fueron útiles para el estudio no invasivo de la función adrenal en los adultos mayores, no observándose diferencia respecto de los jóvenes. **Financiamiento:** 20720150100002BA. **Comité de Ética:** referencia 147

Palabras clave: cortisol salival, envejecimiento, función adrenal

101

LA PERIODONTITIS EXPERIMENTAL EN DIFERENTES AMBIENTES HIPÓXICOS

AFECTA A LA GLÁNDULA SUBMAXILAR

Terrizzi AR^{1,2}, *Rugolo G¹, Lee CM¹, Conti MI^{1,2}, Solari JF¹, Martínez MP¹.

1. Cátedra de Fisiología, Facultad de Odontología, UBA. 2. Consejo Nacional de Investigaciones Científicas y Técnicas (CONICET)

Se demostró que la morbilidad de la periodontitis es mayor en ambientes hipóxicos que a nivel del mar, pero hay escasa información sobre la función de la glándula submaxilar (GSM) bajo dicha condición ambiental, ya sea durante la exposición continua (HCC) o intermitente (HCI). **Objetivo:** Determinar la funcionalidad de las GSM y el estado del hueso alveolar en ratas hipóxicas sometidas a periodontitis experimental (PE) con el fin de evaluar si los menores niveles de oxígeno empeoran las manifestaciones patológicas de la enfermedad periodontal. **Métodos:** 45 ratas Wistar se dividieron en: CPE (control); HCIPE (600 mbar, 18 horas de lunes a viernes) y HCCPE (23, 5 horas todos los días a la misma presión). La PE fue inducida mediante una ligadura de hilo alrededor del cuello de los primeros molares inferiores durante los 14 días previos a la autopsia. En el día 83, se evaluó la tasa de secreción salival estimulada por pilocarpina. El día 90 (final del período experimental) se extrajeron ambas GSM para medir la actividad del óxido nítrico sintasa inducible (iNOS), el contenido de prostaglandina E2 (PGE2) y realizar análisis de microscopia. Las hemimandíbulas fueron resecaadas para evaluar la pérdida ósea por métodos histomorfométricos. Los resultados fueron analizados mediante ANOVA y test de Tukey. **Resultados:** La secreción salival disminuyó significativamente en ambos grupos hipóxicos, siendo menor en HCCPE. El contenido de PGE2 fue mayor en el grupo HCCPE y la actividad de iNOS no sufrió cambios significativos con respecto al CPE ($p > 0,05$). El análisis de microscopia electrónica reveló un aumento del área intercelular y del perímetro en acinos de HCCPE. La pérdida ósea alveolar cortical fue mayor en ambos grupos hipóxicos y el volumen de hueso interradicular no sufrió alteraciones adicionales durante la exposición a hipoxia. **Conclusiones:** La exposición a HCC disminuye la secreción salival en animales sometidos a PE, probablemente relacionado con niveles más elevados de PGE2 y daño ultraestructural en las GSM. La hipoxia empeoró la pérdida ósea cortical producto de la PE, sin manifestarse cambios a nivel interradicular. Al someter a los animales a PE, la exposición continua parece ser más perjudicial que la intermitente. Financiamiento: UBACYT 20020150100006BA. Comité de Ética: CICUAL N° 11/06/2012-23

Palabras clave: hipoxia, periodontitis, glándulas salivales

102

CICLOFOSFAMIDA Y METABOLISMO DE HIDRATOS DE CARBONO EN GLÁNDULA SUBMANDIBULAR DE RATAS

*Mazzeo MA, Bachmeier E, López MM, Linares JA, Brunotto M, Dubersarsky C, Finkelberg AB. Facultad de Odontología. UNC

OBJETIVOS: El objetivo de este trabajo fue evaluar la toxicidad de ciclofosfamida sobre la actividad funcional de las glándulas submandibulares de ratas Wistar en un modelo experimental.

MÉTODOS: Se utilizaron 42 ratas macho Wistar de tres meses de edad, alojadas en jaulas individuales, con temperatura e iluminación controlada y dieta libre. Se utilizó un diseño completamente aleatorizado; se establecieron tres grupos experimentales: 1) Control (C), 2) tratadas con ciclofosfamida (Cf) aplicándose una dosis i.p. de 50 mg/Kg de peso corporal durante dos días consecutivos y 3) ratas con alimentación apareada (AA): durante dos días la cantidad administrada resultó del promedio de la alimentación ingerida del grupo 2. Se extirparon ambas glándulas submandibulares. Se analizó la concentración de glucógeno submandibular en tiempo inicial (t0) y luego de 60 minutos de estimulación mecánica (t60). Las variaciones entre tiempos se evaluó mediante prueba T de Student para muestras apareadas, fijando un p-valor $< 0,05$ para significación estadística. Proyecto aprobado por CICUAL.

RESULTADOS: Ratas C t 0 mostraron una concentración inicial de $47,46 \pm 0,9 \mu\text{g}^{-1}$ p.s. que disminuyó significativamente en t 60 a $9,18 \pm 0,78 \mu\text{g}^{-1}$ p.s. Ratas tratadas con AA mostraron una concentración inicial de $50,3 \pm 0,85 \mu\text{g}^{-1}$ p.s que disminuyó en t60 a $11,5 \pm 0,96 \mu\text{g}^{-1}$ p.s. provocando un consumo del 77.14 % del total de los depósitos de glucógeno ($p=0.0001$). El grupo Cf mostró en t 0 una concentración inicial media de $23,97 \pm 0,75 \mu\text{g}^{-1}$ p.s que se redujo en t 60 a $20,68 \pm 0,68 \mu\text{g}^{-1}$ p.s, implicando un consumo del 13.73 % de los depósitos.

CONCLUSIONES: Cf afectaría el metabolismo de los hidratos de carbono, disminuyendo la utilización de glucógeno como sustrato metabólico. En el presente modelo experimental la toxicidad de esta droga redujo la actividad funcional de la glándula submandibular. Financiamiento: SeCyT 05J013

Palabras clave: ratas wistar, ciclofosfamida, glucógeno, glándula submandibular, toxicidad

103

HOMEOSTASIS DEL ATP EXTRACELULAR EN LOS TEJIDOS ORALES: ECTONUCLEOTIDASAS EN VESÍCULAS EXTRACELULARES DE GLÁNDULAS SALIVALES DE RATA Y DE SALIVA HUMANA

*Barbieri van Haaster MM¹, Quinteros Villarruel E², Orman B², Gonzalez DA¹.
Facultad de Odontología, UBA. 1. Cátedra de Biofísica y Bioestadística. 2. Cátedra de Farmacología.

El ATP extracelular aumenta en procesos inflamatorios como la periodontitis o el desprendimiento quirúrgico de las fibras dento-gingivales. Las ectonucleotidasas (NTPDasas, NPPs, e-5' nucleotidasa, fosfatasa) lo hidrolizan y regulan los niveles de ATP, ADP, Adenosina y PPI que producen en los tejidos orales diferentes efectos relacionados con la inflamación, el dolor y el metabolismo óseo. ATP y PPI tienen un efecto negativo sobre el hueso. Las vesículas extracelulares (VEs) liberadas por la glándula submaxilar de rata (GSM) y las que están en la saliva humana (S), tienen actividad ectonucleotidasa que les permite hidrolizar ATP, ADP y AMP. **OBJETIVO:** identificar las nucleotidasas presentes en las VEs de GSM y S. **MÉTODOS:** se aislaron VEs por ultracentrifugación de medios de incubación de GSM con histamina o de S de un donante sano. Se midió la liberación de Pi a partir de 3mM ATP, ADP y AMP (Baginski) o la desaparición de ATP $1\mu\text{M}$ (luciferina/luciferasa) sin y con inhibidores (1mM suramina y 10mM azida sódica para NTPDasas, 0,3mM γ -MeATP para NPPs, 1mM levamisol para fosfatasa alcalina, 50mM tartrato para fosfatasa ácida). Las EVs de GSM reaccionaron con anticuerpos para NTPDasas1, -2 y -3 y ecto-5' nucleotidasa (Dot Blot) y se observaron por microscopía electrónica de transmisión las EVs inmuno-marcadas. **RESULTADOS:** γ -MeATP y levamisol no redujeron la hidrólisis de ATP (GSM: $104\pm 8\%$ y S: $106\pm 8\%$, n=3), por lo que no habría expresión significativa de NPPs (y formación de PPI) ni de fosfatasa alcalina. Suramina (GSM: $52 \pm 9\%$, n= 3 y S: $50 \pm 14\%$, n= 4) y azida (GSM: $68 \pm 7\%$, n=3) inhibieron la hidrólisis de ATP, atribuible a NTPDasas. Tartrato redujo algo la hidrólisis de AMP en GSM ($77 \pm 11\%$, n=3), indicando que una fosfatasa ácida contribuiría a la actividad AMPasa junto con la e-5' nucleotidasa. El uso de anticuerpos para NTPDasa1, -2 y -3 y e-5' nucleotidasa confirmó la expresión de estas enzimas en las VEs de GSM. **CONCLUSIONES:** Las VEs de GSM y de S tendrían una similar composición en ectonucleotidasas. NTPDasas + e-5' nucleotidasa degradan el ATP a adenosina y Pi. La reducción del ATP extracelular sin formación de PPI da a las VEs la potencialidad de proteger al tejido óseo en situaciones que aumentan el ATP extracelular. Financiamiento: UBACYT 20020150200212BA. Comité de Ética: N° 1965/07

Palabras clave: ATP extracelular, NTPdasa, vesículas extracelulares, saliva, glándula submaxilar

104

VALIDACIÓN DE UNA ENCUESTA DISEÑADA PARA DETERMINAR EL CONOCIMIENTO SOBRE CÁNCER BUCAL

*Lagnarini L, Fernandez R, Isla C.
Facultad de Odontología. U.N.C

OBJETIVO: Validar una encuesta para determinar el conocimiento sobre cáncer bucal en personas adultas que ingresaron al servicio de recepción de pacientes del Instituto Provincial de Odontología de la Provincia de Córdoba (I.P.O.P.C).

MÉTODO: Se diseñó un cuestionario con ítems de respuestas cerradas; la conceptualización y operacionalización del constructo esta formada por tres dimensiones: conocimientos sobre cáncer bucal; factores de riesgo y auto examen bucal de esta enfermedad. Se realizó una muestra con 150 encuestas en personas adultas que ingresaron a Recepción de Pacientes del I.P.O.P.C., previa firma del consentimiento informado. Para la validación de la encuesta se analizaron la validez del constructo y la confiabilidad. La validez se determinó mediante opinión de expertos y análisis de correspondencia. La confiabilidad del instrumento fue determinada mediante el análisis de su consistencia interna (Alfa de Cronbach).

RESULTADOS: La validez del cuestionario y la interpretación del coeficiente de confiabilidad del instrumento, se realizó por opinión de expertos, obteniendo 3,5 y 4 indicativo de suficiente y alto nivel para cada dimensión, además se realizaron observaciones sobre redacción sintáctica y gramatical de los ítems. El Análisis de Correspondencias mostró que, en general, las respuestas correspondientes a cada dimensión estaban asociadas (% acumulado-inercia 67% dimensión 1, 23% dimensión 2 y 43% dimensión 3). En relación a la consistencia interna el coeficiente del Alfa de Cronbach fue de 0,74, muestra de una buena consistencia.

CONCLUSIÓN: El diseño del cuestionario muestra validez para su implementación permitiendo evaluar conocimientos sobre factores de riesgo y auto examen bucal de cáncer bucal.

105

DETERMINACIÓN DE LA ACTIVIDAD TELOMERASA (AT) Y LOS NIVELES DE LA ENZIMA SUPERÓXIDO DISMUTASA (SOD) Y ÁCIDO ÚRICO SALIVAL (AU) EN LESIONES POTENCIALMENTE MALIGNAS Y CÁNCER ORAL

*Bachmeier E¹, Belardinelli P, Cuffini C², Mosmann JP², Barembaum S¹, Azcurra AI¹, Linares J¹, López de Blanc SA¹.
1. Facultad de Odontología, UNC. 2. Instituto de Virología. Facultad de Ciencias Médicas, UNC.

INTRODUCCIÓN: La telomerasa es una enzima encargada de mantener la longitud de los telómeros. Se han hallado niveles elevados de la misma en tejidos tumorales y en lesiones premalignas. Su regulación es muy compleja. Las especies reactivas de oxígeno (ROS) participan en la regulación de esta enzima. El rol de ROS en la iniciación, promoción y progresión del CB y el efecto protector de las sustancias antioxidantes, ha estado sujeto a mucha especulación en el pasado reciente. **OBJETIVO:** Determinar la AT en muestras de tejido de CB y DPM. Determinar niveles de MDA tisular y salival (como marcador de lipoperoxidación tisular) y de SOD (tisular) Y AU (salival) como indicadores de actividad antioxidante en DPM y CB. **PACIENTES Y MÉTODO:** Se incluyeron pacientes mayores de 18 años con diagnóstico clínico e histopatológico de: leucoplasias homogéneas, liquen plano, lesiones liquenoides y carcinoma a células escamosas. Se completó la historia clínica, se recolectó saliva basal y se realizó biopsia. Se determinaron los niveles de AT (por medio de TRAP- PCR). Los niveles de MDA (tisular y salival), de SOD (tisular) y AU (salival) se midieron mediante la utilización de métodos bioquímicos colorimétricos. Se realizó micológico directo y cultivo y se estudió el virus del papiloma humano (VPH) por PCR. Los resultados se analizaron estadísticamente con el Test "T" de Student y las asociaciones y su intensidad mediante el χ^2 y el OR. **RESULTADOS:** Se incluyeron 53 pacientes el 60% eran de sexo femenino, con un rango etario de 18 a 82 años. El 32% eran fumadores, el 43 % bebía alcohol. Se evidenció AT positiva en el 43% de las muestras de tejido biopsiado. Se obtuvieron niveles elevados de SOD (2,53 +/- 0,15). El AU salival no presentó diferencias significativas. Se evidenció un incremento notable del MDA salival (942 uM/ml +/-146,3) y tisular (7,66 uM/mg +/-0,99) en DPM y CB. La detección de AT, indetectable en tejidos sanos maduros, da cuenta de importantes cambios en tejido analizado. Los niveles marcadores de stress oxidativo y antioxidantes salivales constituirían un factor de importancia a considerar, en el desarrollo y progresión de los DPM y del CB. Financiamiento: Secyt/153. Comité de Ética: 140/14

Palabras clave: telomerasa, cáncer oral, SOD, ácido úrico, lesiones premalignas

106

INFECCIÓN POR VIRUS DE PAPILOMA HUMANO EN LEUCOPLASIAS BUCALES DE PACIENTES ADULTOS DE CÓRDOBA

*Gilligan G¹, Panico R¹, Lucca A², Galindez Costa MF¹, Moine L¹, Lazos J¹, Piemonte E¹, Brunotto M¹.
1. Facultad de Odontología UNC. 2. FUNDACION PARA EL PROGRESO DE LA MEDICINA

Algunas investigaciones han reportado la existencia de una asociación entre la infección por Virus de Papiloma Humano (VPH) y leucoplasia bucal (LB), sin embargo aún no se encuentra dilucidado si la presencia de la infección viral es un factor sobreagregado durante la evolución de la lesión o se encuentra inicialmente involucrada en la fisiopatogenia de la misma **Objetivo:** evaluar la asociación de VPH en pacientes adultos con LB y otros factores de riesgo. **Métodos:** estudio transversal de pacientes adultos (n=79), ambos géneros, con lesiones de LB (n=17), CB (n=36), y otros tipos de Desórdenes Potencialmente Malignos -DPM (n=26), confirmados por diagnóstico histopatológico. Además se registraron variables clínicas y otros factores de riesgo (tabaco, alcohol, Irritación mecánica, exposición a carcinógenos laborales, HACRE). La técnica de PCR fue realizada para verificar la presencia de ADN viral. (Trabajo aprobado por Comité Institucional de Ética en Investigación en Salud-Facultad Odontología-UNC, Protocolo n° 11-T). **Resultados:** 10 de 17 LB resultaron positivas a infección por VPH ($p=0,0073$, Prueba Irwin-Fisher), con una fuerza de asociación de casi 5 veces más chances de infección por VPH en pacientes con LB en relación a otro tipo de lesión bucal (OR= 4,76; IC95% 1,59; 14,25). El análisis de regresión logística múltiple confirmó esta asociación, y determinó al diagnóstico de LB como la única variable asociada en relación a otras como tabaco, alcohol, género, edad (años). Se identificaron los genotipos VPH 6, VPH 11, VPH 16, VPH 31 y VPH 84, siendo el VPH 16 el más frecuente (24% de las muestras genotipificadas). No hubo asociación entre la presunción clínica de infección por VPH en LB y PCR+. **Conclusión:** los resultados de este trabajo nos permiten concluir que la mayoría de las lesiones de LB se encontraban infectadas con VPH. Se ha hipotetizado que la infección por VPH está asociada a LB, además de ser un factor de riesgo para CB. El alto porcentaje de presencia de VPH en LB asociadas o no a tabaco aquí presentado, es acorde a trabajos previos, sin embargo se necesitan más estudios que aborden la infección por VPH en DPM y CB para establecer el rol del VPH en el proceso de carcinogénesis bucal. Financiamiento: BECA DE DOCTORADO SECYT CODIGO 32920160100046CB. Comité de Ética: N°11-T/2015

Palabras clave: VPH, leucoplasia bucal

107

DIFERENCIACIÓN Y PROLIFERACIÓN EPITELIAL EN LESIONES ASOCIADAS A IRRITACIÓN MECÁNICA CRÓNICA ORAL Y CÁNCER BUCAL

*Gilligan G¹, Panico R¹, Di Tada C², Brunotto M¹, Piemonte E¹.

1. Facultad de Odontología UNC. 2. FUNDACION PARA EL PROGRESO DE LA MEDICINA

Existe escasa evidencia científica de la relación entre irritación mecánica crónica (IMCO) y cáncer bucal (CB). La presencia de IMCO asociada a lesiones pre-malignas podría actuar de modo sinérgico para estimular procesos de proliferación o indiferenciación celular, característicos de lesiones malignas, probablemente por ser un proceso ligado a la inflamación crónica. Hasta el momento, no existe en la literatura trabajos que aborden patrones inmunohistoquímicos de IMCO y su relación con CB.

Objetivo: El objetivo de este trabajo es determinar un patrón de diferenciación y proliferación celular en lesiones asociadas a IMCO con el fin de identificar signos de malignización celular comparables con los desarrollados en CB.

Métodos: estudio de transversal (n=79), de pacientes con lesiones asociadas a IMCO (n=41), según criterios de Piemonte et al., y con diagnóstico de CB (n=38) según clasificación ICD-10 código C00 a C14. Se inmunomarcaron con Ck19 y Ki67 muestras de biopsias incisionales de diagnóstico incluidas en parafina. Los patrones de inmunomarcación se determinaron según los criterios de Safadi et al y Argyris et al. Trabajo aprobado Comité Institucional de Ética en Investigación en Salud de la Facultad de Odontología (CIEIS-FO) Protocolo N° 11-T.

Resultados: Se observó sobreexpresión de Ck19 con un patrón focal, ocasionalmente intermitente con ubicación basal y suprabasal en lesiones asociadas a IMCO. Un patrón similar fue observado en la mayoría de las muestras con CB. Además, en ambos tipos de lesiones, se observó sobreexpresión de Ki 67.

Conclusión: Los patrones descritos en este trabajo, particularmente los relacionados a Ck19, son novedosos y podrían ser indicativos de una relación entre la presencia de IMCO y carcinogénesis bucal. Este marcador, como ya ha sido demostrado en otros trabajos, es indicativo de inmadurez epitelial, y de eventos tempranos de carcinogénesis bucal. Financiamiento: BECA DE DOCTORADO SECYT CODIGO 32920160100046CB. Comité de Ética: N°11-T/2015

Palabras clave: irritación mecánica crónica, trauma dentario, cáncer bucal, citoqueratinas, Ki67

108

PREVALENCIA DE DESÓRDENES ORALES POTENCIALMENTE MALIGNOS (DOPM). CÁTEDRA ESTOMATOLOGÍA B. PERÍODO 2009 - 2017

*Basanta C, Bolesina N, Robledo G, Morelato R.
Facultad de Odontología UNC.

Introducción: Los estudios retrospectivos permiten determinar la prevalencia de patologías, contribuyendo con su prevención y tratamiento. Las neoplasias de cavidad bucal pueden estar precedidas por DOPM, término que se utiliza para sintetizar lo que anteriormente se denominaba lesiones o estado precancerosos. En un estudio sobre prevalencia de lesiones de nuestro servicio, período 1995-2001 (SAIO 2009), se encontró un 36% de lesiones cancerizables. Posteriormente, en otro estudio efectuado en adultos de ciudad de Córdoba, el 22% presentó alguna lesión cancerizable (JIC 2017). **Objetivo:** Analizar la prevalencia de DOPM en pacientes atendidos por alumnos en la Cátedra de Estomatología B durante el período 2009 - 2017. **Materiales y Métodos:** estudio clínico observacional, descriptivo y transversal, donde se analizaron 4788 historias clínicas de pacientes atendidos durante el cursado de alumnos en la Cátedra de Estomatología B en el período 2009-2017. Se analizaron historias clínicas completas de pacientes que firmaron el consentimiento informado y fueron registradas en el apartado historia clínica digital del Aula Virtual de la Cátedra, con al menos un diagnóstico. Se clasificaron las patologías de acuerdo a Grinspan y Warnakulasuriya y col. Se registraron sexo, edad, consumo de tabaco, consumo de alcohol y presencia de irritación mecánica crónica. Se efectuó estudio descriptivo de cada variable y se expresó mediante frecuencias absolutas y relativas. **Resultados:** El número total de historias clínicas fue 4494 en todo el período, promedio 499 pacientes por año. 62% fueron mujeres, edad promedio 39, rango 9-93. El número de DOPM/ lesiones cancerizables, 695, correspondiendo al 15% del total de patologías, con promedio de edad ligeramente superior, 43 años, sexo femenino 55%. Encontramos que 21% correspondían a Leucoplasias y 19% a Líquenes Planos, 21% UTC y 8% Queilitis (erosivas o fisuradas). En este grupo, 15,1% fumó más de 200 mil cigarrillos. **Conclusiones:** Los resultados de este estudio mostraron un número menor de DOPM/Lesiones cancerizables en los pacientes que atendieron los alumnos, en relación a los estudios anteriores. Sería necesario analizar conjuntamente historias clínicas de consultorio externo, para obtener el número total dichas patologías. Financiamiento: Secyt UNC. 05J 074. Comité de Ética: CAIS FO 271/16

Palabras clave: prevalencia, estomatología, liquen, leucoplasia

109**ESTUDIO PRELIMINAR DE LA EXPRESIÓN DE CONEXINA43 COMO POTENCIAL MARCADOR TEMPRANO DE CÁNCER ORAL***González-Segura I¹, Secchi D², Galindez Costa MF², Brunotto M¹ y Centeno V.¹

1. Departamento de Biología Bucal. Facultad de Odontología. 2. Cátedra "A" de Estomatología. Facultad de Odontología. Universidad Nacional de Córdoba.

El Cáncer de Cabeza y Cuello (CCC) presenta alta tasa de morbilidad y baja tasa de supervivencia, por lo que su detección en estadios tempranos resulta muy relevante. Uno de los biomarcadores de cambios tempranos estudiados en la tumorigénesis de diferentes tipos de cáncer es conexina 43 (Cx43). La expresión de esta proteína en CCC resulta controversial. **OBJETIVO:** analizar la expresión de conexina 43 en biopsias de pacientes adultos con cáncer oral (CO). **METODOLOGÍA:** estudio retrospectivo de biopsias de pacientes adultos, ambos géneros, atendidos en la Cátedra de Estomatología "A", Facultad Odontología, UNC (aprobado por Comité de Ética protocolo n° 1379). El diagnóstico anatomopatológico se realizó según clasificación ICD10 código C00-C14. Los estudios fueron contrastados con muestras de biopsias de mucosa de pacientes con otras patologías no asociadas a cáncer o pre-cáncer y con clínica normal. La expresión de Cx43 se valoró mediante inmunohistoquímica empleando el anticuerpo monoclonal antiCx43 y contra-tinción con hematoxilina de Harris. Sobre microfotografías digitales, estandarizadas en pixeles y MB (Motic-BA 400 ASIA HONG KONG), se analizó por histomorfometría el porcentaje de inmunomarcación y la relación núcleo/citoplasma (N/C) de 3 campos de 10⁻³ mm² utilizando el software Image Pro Plus. Los resultados se analizaron utilizando la prueba "t" Student, fijando un p<0,05 para significación estadística. **RESULTADOS:** la inmunomarcación de Cx43 se localizó tanto en el citoplasma como a nivel de membrana observándose un patrón diferencial de expresión relacionado al fenotipo de la muestra analizada. En comparación con las muestras de mucosa normal, la expresión de Cx43 disminuyó en las biopsias de carcinomas de bajo grado anatomopatológico. El análisis histomorfométrico de las células positivas para Cx43 demostró que la relación N/C, parámetro indicador del grado de diferenciación, fue mayor en las células de las biopsias de CO (p=0,039). **CONCLUSIÓN:** la expresión de Cx43 se observó notoriamente disminuida en las biopsias de CO sugiriendo que la expresión anormal de esta proteína se asocia con un menor grado de diferenciación observado en las muestras de CO, caracterizando un fenotipo tumoral. Este trabajo fue subsidiado por FONCYT PICT 2016 -2358

PALABRAS CLAVE: carcinoma oral, conexina 43, ratio núcleo/citoplasma**110****CARACTERIZACIÓN HISTOPATOLÓGICA DE LIQUEN PLANO ORAL Y LESIONES LIQUENOIDES ORALES (ESTUDIO PRELIMINAR)**Tomasi R¹, Cuffini CG², *Ferreira de Prato RS¹.

1. Facultad de Odontología UNC. 2. Instituto de Virología FCM-UNC

Warnakulasuriya (2018) sugiere considerar a Liquen Plano Oral (LPO) y Lesiones Liquenoides Orales (LLO) como Trastornos Potencialmente Malignos Orales (TPMO). **Objetivo:** El objetivo del estudio fue analizar las características histopatológicas de casos con diagnósticos histopatológicos de LPO y LLO. **Material y métodos:** El estudio fue de tipo retrospectivo, se analizaron 118 biopsias (85 mujeres y 33 hombres, edad media de 56.7 años) recibidas en el Laboratorio de Anatomía Patológica entre los años 2004 a 2015. Los casos fueron diagnosticados con criterios de van der Meij y van der Waal. Se recolectaron los datos de los protocolos en relación a la localización y de los diagnósticos histopatológicos en relación a los cambios histopatológicos y presencia de displasia epitelial en ambas patologías. Se realizó análisis estadístico descriptivo y comparativo de los resultados. **Resultados:** Histológicamente, el 69,5% de los casos se clasificaron como LLO mientras que el 30,5% como LPO. La ubicación más frecuente para LLO fue la lengua (34,1%) mientras que en LPO fue mucosa yugal (44,4%). Dentro de los cambios histopatológicos en LLO predominó: Displasia Epitelial (DE) con el 28,8%, seguido de Infiltrado con el 27,3% y degeneración hidrópica con el 21% mientras que en LPO predominó: infiltrado yuxtaepitelial con el 36%, degeneración hidrópica con el 31% y acantosis con el 14%. Siendo estadísticamente significativas las características histopatológicas: displasia epitelial grave (p=0,028), infiltrado y paraqueratosis (p=0,05). **Conclusión:** Las características histopatológicas predominantes observadas coinciden con los criterios histopatológicos de Van der Meij y van der Wall para el diagnóstico de cada entidad (DE para LLO e infiltrado yuxtaepitelial para LPO). Creemos que, al realizar una biopsia, la ubicación y el tipo de lesión clínica son aspectos muy importantes a evaluar ya que pueden modificar los aspectos histopatológicos y consideramos que, cuando sea posible, se deben realizar las biopsias de lesiones en lengua y mucosa yugal ya que éstas han mostrado un porcentaje mayor de DE en LLO como LPO y, por lo tanto, tendrían una mayor riesgo de transformación maligna. Comité de Ética: ODO CIEIS 60

Palabras claves: histopatología, liquen plano oral, lesiones liquenoides orales

111**FACTORES HEREDITARIOS, PERSONALES Y ESTADO BUCAL EN PACIENTES CON LESIONES ESTOMATOLÓGICAS. ESTUDIO COMPARATIVO**

* Massaia C, Isaia C, Caciva R, Criscuolo I, Zapata M, Robledo G.
Clínica Estomatológica B. Facultad de Odontología UNC

Las lesiones estomatológicas de la mucosa bucal son multifactoriales. Pueden ser de origen primario o secundario, según sean propias de enfermedades bucales o parte del cuadro clínico de enfermedades del sistema nervioso, cardiovascular, endocrino, dermatológico y digestivo. La salud bucal impacta sobre la calidad de vida de la población. En relación al cáncer bucal, tabaco y alcohol son los factores de riesgo más estudiados, sin embargo, existen otros, llamados emergentes como la irritación mecánica crónica y un estado bucal deficiente, entre otros.

Objetivo: comparar la prevalencia de factores hereditarios, personales y estado bucal en pacientes con lesiones estomatológicas en los períodos 1995 - 2004 (P1) (SAIO 2009) y 2009 - 2018 (P2).

Material y métodos: análisis retrospectivo de 3183 historias clínicas de pacientes que asistieron al Servicio de Estomatología, FO-UNC. Se analizaron factores generales como cáncer, diabetes, hipertensión y factores locales como irritación mecánica crónica, consumo de tabaco, alcohol y estado bucal. Se calcularon las frecuencias absolutas y relativas.

Resultados: en el P1 predominaron diabetes, cáncer e hipertensión: 15%, 14% y 17% respectivamente. En tanto que en P2 fue de 1%, 4% y 10%. Respecto al consumo de tabaco, 49% fumaba en P1 y 47% en P2. En relación al consumo de alcohol en exceso, se observó en 7% en P1 y 3% en P2. En el 27% de los casos se registró irritación dentaria y/o protética en el P1 y 37% en P2.

Conclusiones: Los resultados indican que los porcentajes del consumo de tabaco, fueron similares en ambos períodos y que hubo una leve disminución del hábito de consumo de alcohol, lo que difiere de los registros nacionales. Se observó mayor porcentaje de irritación mecánica crónica en el P2., lo que plantearía la discusión si este factor aumentó o la forma de realizar el registro es más adecuada.

Palabras claves: prevalencia, factores, cáncer.

112**COMPARACIÓN ENTRE LA ARTICULACIÓN TÉMPOROMANDIBULAR Y LAS ARTICULACIONES DE MANOS EN ARTRITIS**

* Rhys KV, Gobbi C, Albiero A, Busamia B, Savio V, Quaglia MI, Alonso C, Re R, Marchegiani S, Alba P.
Universidad Nacional de Córdoba.

Introducción: La artritis reumatoide (AR) es una enfermedad autoinmune sistémica, inflamatoria, crónica, destructiva y progresiva. En la valoración rutinaria no se focaliza en el compromiso de la ATM y el tratamiento dificulta la detección del mismo. Por lo cual se detectan problemas en la ATM cuando el deterioro es importante. **Objetivo:** Comparar el compromiso ecográfico de la ATM con respecto a las articulaciones de manos en pacientes con artritis reumatoidea. **Métodos:** Se realizó un estudio de carácter observacional, descriptivo, de corte transversal. Incluyó 50 pacientes consecutivos. Los criterios de inclusión fueron: mayores de 18 años, que firmaron consentimiento informado, con diagnóstico de A.R. por criterios de clasificación ACR / EULAR 2010 y se excluyeron: pacientes con otra enfermedad inmunológica. El estudio se realizó en dos centros de referencia de Córdoba. El trabajo fue aprobado por los C.I.E.I.S. respectivos. Se evaluó el sistema estomatognático en estática y dinámica, se realizaron Ecografías Power Doppler de ATM y manos. Se efectuaron análisis estadísticos con el Programa EPI Info 7.2. Las variables cualitativas fueron expresadas en frecuencia y porcentaje y comparadas utilizando el test de Chi cuadrado. P menor de 0.5 fue considerada significativa. **Resultados:** Ningún paciente presentó dolor espontáneo en ATM, aunque todos en manos. De 50 pacientes, 28 presentaron alterada la apertura bucal (56%) y 32 tenían alterada la dinámica de la ATM (64%), mientras que 35 indicaron limitaciones manuales funcionales (70%). 12 pacientes (24%), presentaron degeneración ósea en A.T.M. y 27 (54%) en manos $p < 0,004$. 30 (60%) acusaron erosiones en ATM y 47 (94%) en manos $p < 0,0001$. En 46 (92%) se halló derrame en A.T.M. y en 50 (100%) en manos $p < 0,000$. 4 (8%) tenían capsulitis en A.T.M. y 12 (24%) en manos $p < 0,05$. **Conclusiones:** Aunque las articulaciones de las manos son más afectadas, la ATM también lo es en muchos pacientes y deberían ser tratados. Sería importante incluir esta articulación en la valoración ecográfica y el trabajo interdisciplinario con el reumatólogo. Comité de Ética: Acta 340. Repis 3569

Palabras clave: articulación témporomandibular, ecografía, artritis reumatoidea, articulaciones de manos.

113

EFFECTO ACTIVADOR E INHIBIDOR DE PRILOCAÍNA DEPENDIENTE DE K⁺ SOBRE Ca-ATPasa.

*Di Croce DE, De La Cal C, Toma AF, Sánchez GA, Takara D.
Cátedra de Biofísica y Bioestadística. FOUBA

Objetivos: Detectar cambios inducidos por K⁺ sobre la actividad Ca-ATPásica por acción de la prilocaína (P) con y sin ionóforo de calcio calcimicina (C). **Métodos:** Por centrifugación diferencial se obtuvieron vesículas selladas de membranas de retículo sarcoplásmico (RS) de músculo esquelético rápido con capacidad de acumular Ca²⁺ (Champeil-col, 1985). Se determinó la actividad ATPásica por técnica calorimétrica (Baginski-col, 1967). Los valores de K_i se expresaron como media ± DS n=6, los resultados obtenidos se evaluaron mediante ANOVA (p < 0,05). **Resultados:** En presencia y ausencia de C, P inhibió la actividad ATPásica en el rango estudiado (3-90 mM). Con C, los valores de actividad fueron más altos que en su ausencia, incluso a alta [P] p < 0,001. Los valores de K_i de P (mM) aumentaron con C (21,72 ± 0,67; 27,12 ± 1,24) y sin C (17,52 ± 0,31; 23,55 ± 0,87) en el rango 20-200 mM de K⁺, con diferencia estadísticamente significativa. En un medio sin P, la actividad Ca-ATPásica aumentó linealmente en función de [K⁺], y a medida que aumenta la [P] la pendiente tiende a cero. La preexposición de la Ca-ATPasa a P hasta 20 minutos aumenta la actividad enzimática, si además se preincuba con K⁺ (50, 100 y 200 mM) este último revierte el efecto. **Conclusiones:** La [P] en las formulaciones farmacéuticas de uso odontológico inhiben a la Ca-ATPasa. El efecto inhibitor de P sobre la actividad de la Ca-ATPasa está modulado por K⁺ y C. Algunos autores sugieren que a 20 mM [K⁺] se alcanza la velocidad máxima para la etapa de desfosforilación E₂P a E₂ en ausencia de anestésico. Probablemente, esto explicaría por qué en los experimentos llevados a cabo no se encuentran grandes diferencias entre los valores de actividad para las diferentes [K⁺]. El aumento de la actividad observada al preexponer las membranas de RS a P se podría atribuir a un aumento en la permeabilidad de la membrana de RS a Ca²⁺ evitando la retroinhibición por acumulación de Ca²⁺. Al mismo tiempo, debe tenerse en cuenta que la P estaría ejerciendo un efecto a nivel del dominio de fosforilación y nucleotídico tendiente a disminuir la velocidad de ciclado de la enzima (SAIO2015). Financiamiento: UBACyT 20020150100119BA.

Palabras claves: Ca-ATPasa; prilocaína; K⁺

114

CAMBIOS ESTRUCTURALES Y LIPOPEROXIDACIÓN DE MEMBRANA DE MÚSCULO MASETERO POR ANESTÉSICOS LOCALES

*De La Cal C, Di Croce DE, Richard SB, Gualtieri AF, Takara D.
Cátedra de Biofísica y Bioestadística. FOUBA

Objetivo: Observar los cambios estructurales del músculo masetero (MM) de rata por microscopía electrónica (ME) y relacionarlos con las determinaciones obtenidas de lipoperoxidación de membrana (LPX) como parámetro de estrés oxidativo. **Métodos:** Se realizó la fijación de muestras para microscopía electrónica. Se determinó la LPX en ratas wistar machos, en presencia y ausencia de distintos anestésicos locales y Carragenina 1% (Buege y August, 1978). Las ratas fueron previamente separadas en grupos. Un grupo no recibió tratamiento, grupo Control (C); el resto fue anestesiado intramuscularmente (IM) en la pata posterior con Xilazina 2% (0,05 ml) y Ketamina 50 mg/ml (0,1 ml/100g peso de rata). Uno de estos grupos no recibió ningún otro tratamiento, grupo Control Anestesia (CA). Los otros grupos, además se inyectaron con solución fisiológica (SF) o Carragenina 1% (Carr) o Prilocaína (Pri) o Mepivacaína (Mepi) o Carticaína (Carti) 0.1ml en concentración 0.3M, IM en el MM. Las ratas fueron sacrificadas por dislocación cervical a la hora post tratamiento. Los resultados obtenidos fueron evaluados mediante ANOVA de 1 vía y test de comparaciones múltiples de Tukey (p < 0,05). **Resultados:** Determinación de la LPX expresándose como μmol de Malondialdehído / mg de proteína (μmol de MDA/mg de proteína): el grupo tratado con Carr presentó mayor estrés oxidativo que los otros grupos (9,85x10⁻³ ± 2,12x10⁻⁴); el grupo SF (1,75x10⁻³ ± 7,78x10⁻⁵) mostró mayor LPX que C (1,26x10⁻³ ± 2,30x10⁻⁴). Los anestésicos locales Mepi, Priolo y Carti presentaron menor magnitud en la LPX que la Carr (Mepi= 3,13x10⁻³ ± 1,25x10⁻³, Priolo= 4,05x10⁻³ ± 2,73x10⁻³, Carti= 1,81x10⁻³ ± 1,02x10⁻³). Se observó en las ME de los músculos tratados con anestésicos cambios estructurales así como un aumento del tamaño de las mitocondrias. **Conclusión:** Los resultados sugieren que los fármacos estudiados generan activación de la LPX que podría estar relacionado con los cambios estructurales observados. Subsidio UBACyT 20020150100119BA.

Palabras claves: anestésicos locales, carragenina, lipoperoxidación de membrana, microscopía electrónica

115

ETIDOCAÍNA Y ROPIVACAÍNA INHIBEN LA SERCA 2A DE MÚSCULOS MASTICADORES

*Borbolla L, Lasaga I, Corti S, Toma A, Sanchez GA.
FOUBA. Cátedra de Biofísica y Bioestadística.

Objetivo: Los anestésicos locales inhiben a la enzima Ca-ATPasa de retículo sarcoplásmico (SERCA). Tal inhibición podría dar cuenta de la rigidez de los músculos masticadores ante la ejecución de una incorrecta técnica anestésica. El objetivo del trabajo fue determinar el efecto de dos de los anestésicos locales menos estudiados al respecto, etidocaína y ropivacaína, sobre la enzima SERCA2a de músculos masticadores pterigoideos internos. **Métodos:** Estudio analítico, experimental, controlado, aleatorizado. Disecamos músculos pterigoideos internos de conejo Neozelandés macho (n=12). Aislamos membranas de retículo sarcoplásmico ricas en SERCA2a por centrifugación diferencial y cromatografía de afinidad. Determinamos actividad enzimática por método colorimétrico, y transporte de calcio por método radioisotópico, tanto en presencia (grupo experimental) y ausencia (grupo control) de etidocaína y ropivacaína a diferentes concentraciones dentro del rango 0.3-90 mM. Calculamos las CI50 (mM) medias (\pm DS) y las comparamos por prueba t de Student (nivel de significación $p < 0,05$). **Resultados:** Tanto etidocaína como ropivacaína mostraron efectos inhibitorios sobre la SERCA2a de los músculos masticadores en estudio. La potencia inhibitoria sobre la actividad enzimática de la ropivacaína ($23,0 \pm 2,1$ mM) fue significativamente menor ($t=3.90$, $p < 0,0001$) que la de etidocaína ($20,0 \pm 1,6$ mM). Sobre el transporte de calcio, la potencia de ropivacaína ($30,0 \pm 2,8$ mM) fue también significativamente menor ($t=3.95$, $p < 0,0001$) que la de etidocaína ($26,0 \pm 2,1$ mM). La potencia inhibitoria observada sobre la actividad enzimática fue significativamente mayor en comparación a la registrada sobre el transporte de calcio, tanto para etidocaína ($t=7.83$, $p < 0,0001$) como para ropivacaína ($t=6.92$, $p < 0,0001$). **Conclusión:** Al igual que otros anestésicos locales del grupo amida, ropivacaína y etidocaína inhiben a la SERCA2a. El efecto inhibitorio involucra tanto a la hidrólisis enzimática de ATP como al transporte de calcio y se registra a concentraciones menores que las habitualmente usadas de etidocaína (54 mM) y ropivacaína (36 mM) en la actividad clínica. Financiamiento: Apoyo económico Grupo Anestesiología IADR. Comité de Ética: ARG-IADR Letter 6-2012

Palabras clave: anestésicos locales, etidocaína, ropivacaína, SERCA, músculos masticadores

116

DIBUCAÍNA INHIBE A LA SERCA DE MÚSCULO PTERIGOIDEO INTERNO

*Corti S, Lasaga I, Marchio C, Toma A, Sanchez GA.
FOUBA. Cátedra de Biofísica y Bioestadística.

Objetivo: Determinar el efecto del anestésico local dibucaína sobre las principales isoformas de la SERCA (calcio ATPasa de retículo sardo-endoplásmico) presentes en músculo pterigoideo interno.

Métodos: Aislamos por centrifugación diferencial membranas de retículo sarcoplásmico de músculo pterigoideo interno de conejo Neozelandés macho (n = 5). Separamos las isoformas SERCA1a, 2a y 2b por cromatografía de afinidad. Haciendo uso del método colorimétrico de Fiske & Subarrow, determinamos in vitro la actividad enzimática en presencia de diferentes concentraciones de dibucaína (0-90 mM), realizando 5 experimentos por duplicado y en paralelo para cada isoforma. Calculamos media y ES de la CI50 (mM) del anestésico para cada isoforma y las comparamos por ANOVA de una vía (nivel de significación $p < 0,05$), y prueba Student-Newman-Keuls de comparaciones múltiples.

Resultados: Dibucaína inhibió la actividad enzimática en función de su concentración en las tres isoformas en estudio. Las CI50 fueron: SERCA1a $20,02 \pm 0,64$ mM, SERCA2a $15,03 \pm 0,52$ mM y SERCA2b $16,00 \pm 0,51$ mM y resultaron significativamente diferentes ($F_{2,27} = 11,08$, $p < 0,001$). La prueba post hoc identificó diferencias significativas entre SERCA1a y 2a, 1a y 2b, y 2a y 2b. El efecto inhibitorio resultó significativamente mayor sobre las isoformas 2a y 2b, cuya presencia es sustancialmente mayor en músculos masticadores.

Conclusión: La dibucaína inhibe a la SERCA de pterigoideo interno a concentraciones menores que las usadas en clínica médica (29 mM). Es un anestésico local con potencial efecto miotóxico derivado de la inhibición de la SERCA. El músculo pterigoideo interno sería más sensible a dicho efecto por presentar isoformas sensibles a dibucaína. Apoyo económico Grupo Anestesiología IADR. Comité de Ética: ARG-IADR Letter 6-2012

Palabras clave: anestésicos locales, dibucaína, SERCA, músculos masticadores

117

CARACTERIZACION DEL EFECTO DE ETIDOCAÍNA SOBRE LA SERCA2a DE PTERIGOIDEO INTERNO

*Toma A, Lasaga I, Borbolla L, Sánchez GA.
FOUBA. Cátedra de Biofísica y Bioestadística.

Objetivo: Describir las características del efecto del anestésico local etidocaína sobre la SERCA2a (calcio ATPasa de retículo sarco-endoplásmico isoforma 2a) de músculo pterigoideo interno. **Métodos:** Por centrifugación diferencial aislamos vesículas selladas de membranas de retículo sarcoplásmico (RS) de músculo pterigoideo interno de conejo Neozelandés macho (n=5). Separamos la isoforma SERCA2a por cromatografía de afinidad. Determinamos la actividad enzimática (5 experimentos en duplicado) en presencia de etidocaína 0-90 mM, usando el método colorimétrico de Fiske & Subarrow. Para evaluar el efecto de etidocaína sobre la permeabilidad de la membrana realizamos: 1) determinación de actividad enzimática con y sin ionóforo de calcio A23187, 2) determinación de actividad enzimática de membranas de RS previamente incubadas en etidocaína y, 3) determinación del eflujo de calcio de vesículas cargadas activamente monitoreando los niveles del catión en el medio de eflujo con un microelectrodo ión selectivo. Calculamos media±ES de la CI50 para la droga. Comparamos mediciones de actividad con y sin ionóforo, y de actividad y eflujo de calcio con y sin etidocaína por prueba t ($\alpha=0.05$) **Resultados:** Etidocaína inhibió la actividad (CI50=20.06±1.64 mM) en condiciones óptimas de la enzima (250±10 $\mu\text{mol Pi.mg proteína}^{-1}.\text{h}^{-1}$). En ausencia del ionóforo de calcio la actividad fue menor (150±7 $\mu\text{mol Pi.mg proteína}^{-1}.\text{h}^{-1}$, t=8.2 p<0.0001) a [etidocaína] <10 mM. El tiempo de incubación de las vesículas en etidocaína incrementó la actividad de la enzima, alcanzando una actividad óptima a tiempo=20 min en incubaciones con 10 mM etidocaína, evidenciando un efecto ionofórico del anestésico. Etidocaína incrementó el eflujo de calcio de vesículas de RS ricas en SERCA2a, ($\text{Ca}_{\text{in}}=3.5\pm 1 \text{ nmol.mg}^{-1}$ vs control: $\text{Ca}_{\text{in}}=16\pm 0.8 \text{ nmol.mg}^{-1}$, t=9.8 p<0.0001) en un lapso de tiempo=2 min. **Conclusión:** Etidocaína presenta un efecto dual sobre la SERCA2a de pterigoideo interno: inhibe la actividad enzimática e incrementa la permeabilidad de la membrana. Ambos efectos se observan a una concentración menor a la de su uso clínico (54 mM) y podrían dar cuenta de efectos miotóxicos al promover la salida de calcio del RS y favorecer así la contracción muscular sostenida. Apoyo económico Grupo Anestesiología IADR. Comité de Ética: ARG-IADR Letter 6-2012

Palabras clave: anestésicos locales, etidocaína, SERCA, músculos masticadores, pterigoideo interno

118

USO DE ANESTÉSICOS LOCALES POR ODONTÓLOGOS GENERALISTAS EN CIUDAD DE BUENOS AIRES

*Lasaga I, Toma A, Marchio C, Borbolla L, Sanchez G.
FOUBA. Cátedra de Biofísica y Bioestadística.

Objetivo: Describir y caracterizar el uso de anestésicos locales en la práctica clínica de odontólogos generalistas de la Ciudad de Buenos Aires. **Métodos:** Estudio descriptivo sobre una muestra por conveniencia de 360 odontólogos de la Ciudad de Buenos Aires en 2017. Se utilizó una encuesta electrónica de opinión acerca del uso, situación de uso y satisfacción con respecto a la duración y latencia de acción de los anestésicos. Los participantes respondieron voluntariamente mediante autoinforme haciendo uso de una escala de tipo Likert de frecuencia (muy frecuentemente, frecuentemente, a veces, casi nunca, nunca) para el uso de los diferentes anestésicos y una escala de satisfacción (muy satisfecho, satisfecho, aceptable, insatisfecho, muy insatisfecho) para la apreciación de la duración y latencia de acción de la droga empleada. Se analizó la distribución de frecuencias en cada categoría calculando las tasa porcentuales y se las comparó mediante χ^2 (p<0.05). **Resultados:** La frecuencia informada de uso reveló diferencias significativas ($\chi^2=117$, p<0.0001), siendo la droga más frecuentemente usada Carticaína (50%), seguida de Lidocaína (36.7%), Mepivacaína (5.8%), Prilocaína (4.7%) y Etidocaína (2,8%). Carticaína fue el anestésico más usado ($\chi^2=25.1$, p<0.0001), en prácticas quirúrgicas (55.8%) y endodónticas (49.4%) pero no fue significativamente diferente de Lidocaína en prácticas periodontales (46.1% vs 42.2%) y de operatoria dental (42.5% vs 45%). Carticaína y Lidocaína no mostraron diferencias relativas al grado de satisfacción en cuanto a la duración de la acción (47.1% muy satisfecho vs 39.4%). Se hallaron diferencias ($\chi^2=11.6$; p=0.020) en cuanto al grado de satisfacción con la latencia de acción clínica entre Carticaína (55.4% muy satisfecho) y Lidocaína (34.5% muy satisfecho). **Conclusión:** Los resultados constituyen el primer informe relativo a preferencia de uso de anestésicos locales en la Ciudad de Buenos Aires e indican una marcada preferencia por Carticaína. Su uso se concentra en prácticas clínicas complejas y disminuye en procedimientos más rutinarios de la clínica odontológica, quedando pendiente en un futuro estudio, indagar sobre las causas subyacentes a dicho fenómeno, incluyendo reactivos específicos en la encuesta de opinión. Apoyo económico Grupo Anestesiología IADR. Comité de Ética: ARG-IADR Letter 6-2012

Palabras clave: anestésicos locales, dolor orofacial, encuestas de opinion, autoinforme.

RELACIÓN ENTRE DISFUNCIÓN TEMPOROMANDIBULAR Y LAS ANOMALÍAS DE OCLUSIÓN

*Peláez AN, Rosende MN, Mazza SM.
Facultad de Odontología UNNE.

OBJETIVO: Determinar la prevalencia de signos y síntomas de disfunción temporomandibular y su relación con anomalías de la oclusión en los diferentes planos del espacio, transversal, vertical y sagital en pacientes adultos que concurren al Hospital Universitario Odontológico de la Facultad de Odontología de la Universidad Nacional del Nordeste (FOUNNE). **MÉTODOS:** Se realizó un estudio descriptivo observacional, de corte transversal. La población de estudio estuvo constituida por 417 pacientes mayores de 18 años que asistieron al Hospital Universitario Odontológico de la FOUNNE, entre los meses de agosto y octubre de 2017, fueron seleccionados 125 pacientes mediante un Muestreo al Azar Sistemático, estableciendo una muestra del 30% de la población en estudio. A todos los pacientes que conformaron la muestra se les realizó un diagnóstico clínico de los signos y síntomas de las disfunciones temporomandibulares, mediante el Test de Krogh Paulsen y la presencia de manifestaciones clínicas de anomalías de la oclusión, mediante la clasificación topográfica en los diferentes planos del espacio, transversal, vertical y sagital. Se realizó un análisis descriptivo de datos y prueba no paramétrica de independencia de Chi Cuadrado (χ^2), con un nivel de significación ($p \leq 0,05$). **RESULTADOS:** de los 125 pacientes evaluados el 58% es afectado por al menos un signo o síntoma disfuncional de la ATM, distribuidos en un 19% perturbados, 14% con riesgo y el 25% con disfunción. Los signos más frecuentes fueron la irregularidad mandibular durante la apertura y cierre en un 39% y ruido articular en un 34%. En relación a los síntomas el dolor muscular se manifestó con mayor prevalencia en el 20% de los pacientes. Se observó relación entre los diferentes diagnósticos de DTM ($p < 0,0001$) y las anomalías de oclusión en sentido transversal. En cuanto a las anomalías de oclusión en sentido vertical y sagital se observaron diferencias con niveles de significación $p \leq 0,05$. **CONCLUSIÓN:** Se observó una alta prevalencia de signos y síntomas de disfunción temporomandibular en pacientes adultos, relacionadas a las anomalías de la oclusión en sentido transversal, vertical y sagital. Financiamiento: Secretaría General de Ciencia y Técnica UNNE. Comité de Ética: ORD N° 78-2004- 23-4-2014

Palabras claves: maloclusión, trastornos temporomandibulares, Test de Krogh Paulsen

COMPARACIÓN ENZIMÁTICA DE CANDIDA SPP. EN PACIENTES VIH+ CON Y SIN TRATAMIENTO

González MI¹, *Martínez ME¹, Dubois VA¹, Sanchez GA², Molgolini SL¹.
FOUBA. 1. Cátedra de Microbiología y Parasitología. 2. Cátedra de Biofísica y Bioestadística.

Las levaduras frecuentemente aisladas en pacientes VIH+ son *Candida dubliniensis* (Cd) y *Candida albicans* (Ca). Algunas de sus enzimas constituyen factores de virulencia que favorecen la diseminación tisular. **Objetivos:** Comparar la producción de fosfolipasa (F), hemolisina (H) y proteinasa (P) en aislamientos de Cd y Ca obtenidos de pacientes VIH+ tratados con antirretrovirales (TARGA) y no tratados. **Materiales y Métodos:** Se utilizaron 35 aislamientos: 21 de Cd y 14 Ca, obtenidos 29 de sitios periodontales y 6 de mucosa bucal de 14 pacientes VIH+ (7 con y 7 sin tratamiento). Se utilizó agar malta con yema de huevo, agar sangre y agar albúmina, para demostrar la producción de F, H y P, respectivamente. Se inocularon por duplicado 10 μ l de suspensiones de las levaduras homologadas con la escala n°1 de Mc Farland en discos colocados en la superficie de los medios y se incubaron a 37°C. Se midieron los diámetros de las colonias y los de hidrólisis alrededor de las mismas. Se calculó el índice Pz. La producción o no de las enzimas se clasificó en alta, moderada, baja y negativo. La distribución de frecuencias de la producción enzimática para Cd y Ca en dichas categorías se evaluó por χ^2 ($p < 0,05$). **Resultados:** Los aislamientos de Cd se asociaron significativamente ($\chi^2=8.1$, $p=0.005$) a pacientes bajo TARGA (45.7%) y las de Ca (31.4%) a pacientes no tratados. La no producción de F se asoció significativamente ($\chi^2=27.3$, $p < 0.0001$) a Cd y la producción moderada a Ca. Mientras que la producción de H fue alta en ambos aislamientos pero no fue significativa. La no producción de P se asoció significativamente ($\chi^2=7.7$, $p=0.02$) a Cd. TARGA no se asoció a la producción de F en Cd, pero sí en Ca ($\chi^2=11.0$, $p=0.015$). La H fue alta en Ca de no tratados y en Cd de tratados, pero la asociación no fue significativa ($\chi^2=1.9$, $p=0.77$). La no producción de P se asoció significativamente ($\chi^2=9.8$, $p=0.01$) a Cd. **Conclusión:** La especie Cd podría constituirse en un marcador para la no producción de P en pacientes tratados, y Ca lo sería para la producción moderada de F en no tratados, pero ninguna de ellas lo sería para H. TARGA podría contribuir a disminuir factores enzimáticos de virulencia de Cd pero no de Ca. Subsidio UBACyT 20720160100002BA. Comité de Ética: FOUBA 21/11/2012-33.

Palabra clave: Candida dubliniensis, Candida albicans, fosfolipasa, hemolisina, proteinasa, VIH positivos, TARGA.

121

IDENTIFICACIÓN MORFOLÓGICA DE *S. MUTANS* Y *S. SOBRINUS* EN MEDIO DE CULTIVO SB-20M COMPARADA CON LA TÉCNICA PROTEÓMICA MALDY TOF

Saravia ME, Assed B da Silva L, Assed Silva RAB, Cudmani N, *Tineo S, Córdoba C, Nelson Filho P. Catedra de Microbiología y Parasitología. Laboratorio de Biología Oral LABOFOUNT, Universidad Nacional de Tucumán (Argentina). FORP/USP, Universidad de São Paulo (Brasil).

OBJETIVOS: Evaluar la capacidad del medio SB20M para determinar la morfología diferencial de los *S. mutans* (SM) y *S. sobrinus* (Ss), comparando con la técnica proteómica de espectrometría de masa MALDY TOF.

MÉTODOS: Se recogieron 266 muestras de saliva de estudiantes de la FOUNT de edades entre 18 y 25 años de edad con consentimiento informado y Comité de Bioética. Las muestras de saliva no estimulada fueron recogidas con la técnica de la espátula según un protocolo estándar (Saravia ME, 2010). Las muestras fueron sembradas directamente en el medio selectivo SB-20M para *Streptococcus* "grupo mutans", seguidamente las placas fueron incubadas a 37°C por 48hs en jarra con vela. Finalizada la incubación, se efectuó la identificación morfológica de las colonias de Sm y Ss con lupa estereoscópica, de la identificación total fueron seleccionadas 135 colonias con morfología característica de Sm y Ss e identificadas por pruebas bioquímicas, posteriormente fueron sometidas a identificación con la técnica MALDY TOF. Las identificaciones morfológicas, bioquímicas y proteómicas fueron comparados con el test Kappa empleando el software Graph Pad Prism 4.0. (Graph Pad Software Inc, San Diego, CA), con un nivel de significancia del 5%.

RESULTADOS: En la identificación morfológica, todas de las colonias (el 100%) de *S. mutans* fueron identificadas correctamente en SB-20M cuando se las comparo con identificación bioquímica y proteómica-MALDY TOF. Con relación las colonias de *S. sobrinus* la identificación fue incorrecta en 3 colonias (6,5%) cuando se realizó las técnicas bioquímica y proteómica. No existiendo diferencias estadísticas significativa cuando se comparó la capacidad de identificación de las tres técnicas morfológica, bioquímica y proteómica, ($p > 0.05$).

CONCLUSIONES: Se concluye que el medio de cultivo SB20M para la identificación morfológica de Sm y Ss fue altamente confiable siendo comparable a la técnica proteómica MALDY TOF.

Palabras Claves: *S.mutans/S.sobrinus*, medio SB-20M, MALDY TOF

122

VALIDACIÓN DE UN CUESTIONARIO DE FACTORES DE RIESGO CARIOGÉNICO EN BEBÉS

*Fuks AJ, Levy TN, Mendel NB. FOUBA. Cátedra Odontología Integral Niños.

Objetivo: Validar un cuestionario destinado a describir conductas y características de madres y/o padres, consideradas como potenciales factores de riesgo cariogénico para niños de entre 0 a 2 años y 11 meses. **Metodología:** Se partió de una muestra de 313 sujetos provenientes de 2 escuelas infantiles públicas de CABA y Avellaneda; todos eran padres o responsables de niños de entre 0 y 2 años y 11 meses. Los autores diseñaron un cuestionario, cuya validez de contenido fue analizada a través de la opinión de tres expertos, Profesores de la FOUBA. Posteriormente, a fin de evaluar la comprensión del cuestionario por parte de los potenciales encuestados, se realizó una prueba piloto (etapa *pretesting*), en donde el cuestionario fue entregado a diez padres, o responsables de niños, de la muestra original, seleccionados por muestreo aleatorio estratificado. Como tercer paso, para evaluar la concordancia de las preguntas (etapa *test-retest*), se les brindó el cuestionario a otros treinta sujetos de la muestra inicial, seleccionados también por muestreo aleatorio estratificado. Después de tres semanas, el mismo cuestionario fue entregado nuevamente a las mismas personas. Los resultados se analizaron mediante los coeficientes kappa de Cohen no ponderado y de correlación intraclase, según el tipo de variable. Se calcularon los coeficientes con intervalo de confianza al 95% (IC95), y se realizaron las pruebas estadísticas asociadas. Se fijó un nivel de significación del 5%. El valor del coeficiente kappa de Cohen fue evaluado mediante el criterio propuesto por Altman (1991). El coeficiente de correlación intraclase fue evaluado mediante el criterio propuesto por Cicchetti (1994). **Resultados:** En las 30 preguntas analizadas, se encontró una concordancia significativa entre las dos instancias comparadas ($p < 0.05$). En 13 de las 30 preguntas, la concordancia fue muy buena o excelente, en 10 buena, en 6 moderada, y solamente en 1 pregunta fue pobre. **Conclusión:** los resultados obtenidos en la evaluación test-retest de la validación sugieren que el cuestionario es fiable. Comité de Ética: 009/2016

Palabras claves: bebés. validación. riesgo cariogénico

123

HÁBITOS DIETÉTICOS, PLACA VISIBLE Y CARIES EN BEBÉS

Mendel NB¹, Fuks JA¹, Levy TN¹, Matyus TN¹, Gualtieri A², *Fernández MG¹.
FOUBA. 1. Cátedra de Odontología Integral Niños. 2. Cátedra de Biofísica y Estadística.

Objetivo: determinar la presencia de placa visible, caries y hábitos dietéticos en bebés.

Método: se realizó un estudio descriptivo, transversal (Comité de Ética FOUBA: 009/16). La población meta fue de 300 bebés (niños de 0 a 2 años y 11 meses) que concurren a tres escuelas infantiles públicas de CABA y Avellaneda, durante marzo 2017/2018. Los padres autorizaron la participación de los mismos a través de la firma de un consentimiento informado. Tres docentes calibrados de la Cátedra de Odontología Integral Niños de la FOUBA realizaron un examen visual táctil en aulas bien iluminadas utilizando espejo y explorador nº5. Se calculó el índice ceod y el componente cd (Klein, Palmer, Knutson 1938, OMS 1997), y se registró la presencia de placa visible (Habibian M., 2001). A partir de un cuestionario validado en la Cátedra, autoadministrado a los padres, se registraron los hábitos alimenticios de la familia. Se estimaron intervalos de confianza al 95% (IC95) para porcentajes mediante el método score. Se calculó la media aritmética con DS para variable numérica.

Resultados: La prevalencia de caries fue del 3%. El componente c del ceod fue de 0.08 + 0.17. El 14.81% de los bebés de 6 a 12 meses presentó placa visible, de 13 a 18 meses el 37.5%, de 19 a 24 meses el 29.36%, y de 25 a 35 el 24%. En el grupo de 6 a 12 meses el 42.6% de los padres dicen cepillar los dientes diariamente, en el de 13 a 18 meses el 52.5% y el 22.5% toma bebidas azucaradas entre comidas, en el grupo de 19 a 24 meses el 42.85% toma bebidas azucarada entre comidas y el 25.39% duerme con mamadera. En el grupo de 25 a 35 meses el 46% toma bebidas azucaradas entre comidas, el 60% toma mamadera y el 26 duerme con mamadera.

Conclusión: En esta muestra se observó que todos los niños de 0 a 2 años y 11 meses tienen hábitos dietéticos considerados de riesgo cariogénico y presentan placa visible los bebés de los distintos grupos etarios. Comité de Ética: 009/16

Palabras clave: placa, hábitos, bebés, mamadera.

124

EVALUACION CLINICA Y MICROBIOLOGICA DE DIFERENTES TECNICAS DE REMOCION DE CARIES EN PIEZAS DENTARIAS TEMPORARIAS

*Cardoso ML, Galeana AV, Goicochea P.
Catedra de Odontopediatria. Facultad de Odontología UNNE

Los conceptos actuales de restauración dental, son menos invasivos permitiendo que la dentina afectada tenga la oportunidad de remineralizarse. **Objetivo:** evaluar clínica y microbiológicamente, un tratamiento tradicional y uno químico-mecánico, en lesiones cariosas de dientes primarios. **Metodología:** Se realizó un estudio in vivo, experimental y comparativo; evaluándose 40 piezas dentarias. Criterios de inclusión: pacientes de 5 a 10 años de edad, lesiones de caries tipo I (molares deciduos) y tipo V (caninos) sin comunicación pulpar, y el consentimiento informado firmado por el tutor; Criterios de exclusión: pacientes con abscesos y cavidades extensas (más de una superficie). Antes y después del procedimiento operatorio, se tomaron muestras de la lesión cariosa con microbrush estéril, transportándolas en tioglicolato para analizar cuantitativamente el total de bacterias presente por mililitro, utilizando cultivos de agar sangre. Los datos sobre la presencia de dolor, sabor y tiempo durante los procedimientos operatorios se registraron en una grilla confeccionada previamente. Los datos se analizaron mediante el software Infostat 2008, utilizando ANOVA Test de Tukey considerando significativo: $p < 0.05$. En cada grupo se examinaron 20 piezas deciduas (Grupo 1: técnica rotatoria tradicional; Grupo 2: técnica químico mecánica (Brix3000®)), luego de remover el tejido cariado y obtenerla muestra microbiológica, se obturaron las cavidades. **Resultados:** La reducción de bacterias entre el grupo I y II, reveló que la técnica tradicional fue menos efectiva que la aplicación de brix (959,69 UFC/ml ± 85.44 vs. 411,41 UFC/ml ± 85.44) $p = < 0,001$. La reacción al dolor fue menor con brix. El tiempo de ejecución para cada técnica manifestó mayor rapidez con la técnica tradicional (1,76 vs 2,78) $p = < 0,0001$. **Conclusiones:** Con los resultados parciales inferimos que Brix® es un método seguro y eficiente de remoción de caries en lesiones cariosas accesibles, pudiendo ser recomendada como una alternativa al tratamiento convencional. Resolución de Comité de ética-Dictamen 96/16 Expediente 12-2016-03501.

Palabras Claves: Odontología Pediátrica, Tratamiento conservador, control de infección dental.

RESPUESTA A LA APLICACIÓN DE UN APARATO ORTODÓNCICO PARA EL CIERRE DE ESPACIO EN RATAS

Labate L, Salvatierra M, Estevez A, Ubios A, *De Lucca R.
FOUBA

En la práctica ortodóncica es frecuente que en casos de apiñamiento dentario se realicen extracciones para crear un espacio que luego debe cerrarse permitiendo la alineación y nivelación dentaria.

Objetivo: Evaluar los resultados obtenidos luego de la instalación de un aparato de ortodoncia experimental diseñado por nosotros para inducir el cierre de espacio en el maxilar superior de la rata a las que se les había extraído el segundo molar del lado izquierdo.

Materiales y métodos: El aparato empleado consta de bandas de acero inoxidable que llevan tubos palatinos por los que pasa un resorte helicoidal activado de tal modo para que ejerza una fuerza de 14 g hacia distal sobre el primer molar izquierdo de la rata, y que fueron instalados inmediatamente luego de la extracción en los animales experimentales, no así en los animales del grupo control en los que sólo se realizó la extracción del segundo molar superior izquierdo. Todos los animales fueron eutanasiados transcurrido 28ds de la instalación del aparato. De todos los animales se tomaron radiografías digitales para evaluar parámetros morfométricos luego de lo cual los maxilares superiores fueron procesados histológicamente obteniéndose cortes mesiodistales que se colorearon con hematoxilina-eosina.

Resultados: el estudio morfométrico mostro una disminución del espacio de la extracción a nivel del límite amelocementario (control 1.8 ± 0.2 vs experimental 1.4 ± 0.3) $p < 0.05$ observándose una inclinación del eje molar en los animales experimentales ($67^\circ \pm 5$ vs $59^\circ \pm 2$) $p < 0.05$ según test T. En los cortes histológicos se vio que el alvéolo estaba ocupado en parte por tejido fibroso y por tejido óseo cicatricial en el fondo del alveolo.

Conclusión: Nuestros estudios mostraron que el modelo es apto para evaluar parámetros histológicos y morfométricos relacionados al cierre de espacios en ortodoncia experimental. Financiamiento: UBACyT2018 20020170100377BA. Comité de Ética: CICAL-ODON/FOUBA 007/2017

Palabras clave: ortodoncia experimental, cierre de espacios

NIÑOS PREESCOLARES CON SUCCIÓN NUTRITIVA Y NO NUTRITIVA Y ESCOLARIDAD MATERNA

*Fiallega DS¹, Fuks J¹, Levy T¹, Mendel N¹, Gualtieri A², Fernandez M¹, Mendel A¹.
FOUBA. 1. Cátedra de Odontología Integral Niños. 2. Cátedra de Biofísica y Estadística.

Objetivo: determinar la prevalencia de hábitos de succión nutritiva y no nutritiva en niños de 3 a 5 años y su asociación con el nivel de escolaridad materna. **Método:** estudio descriptivo y transversal. Fueron evaluados 81 niños que concurren a la Cátedra de Odontopediatría, FOUBA, entre 2015 y 2017. Se consideró hábitos de succión nutritiva: lactancia materna y biberón, y no nutritiva: succión digital y chupete. Los datos fueron obtenidos a través de un cuestionario realizado a los padres. Se estimaron intervalos de confianza al 95% (IC95) para porcentajes mediante el método score. Para comparar frecuencias se utilizó la prueba Chi-cuadrado, con nivel de significación del 5%. Se registró la escolaridad de los padres: primaria, secundaria, terciaria: completa e incompleta. 78 madres, 76 padres con primaria completa; 41 con secundaria completa; 8 madres, 6 padres con terciario completo. 8 padres no respondieron. **Resultados:** El 81% (IC95: 72% a 88%) de los niños consumió biberón, de los cuales el 36% (25% a 48%) fue < 24 meses, el 44% (32% a 56%) entre 24 y 36 meses, y el 20% (12% a 32%) > 36 meses. El 37% utilizó chupete (27% a 48%), de ellos, el 37% (22% a 54%) fue < 24 meses y el 63% (46% a 78%) > 24 meses. El 10% (5% a 18%) presentó succión digital entre 6 y 60 meses. Hubo asociación significativa entre el nivel de escolaridad de la madre y el tiempo de uso de biberón (Chi-cuadrado=7,00; gl=2; $p < 0,05$): madres con nivel secundario incompleto o inferior, el consumo de biberón durante más de 36 meses fue del 32%, mientras que madres con secundario completo o superior, fue del 7%. Hay asociación significativa entre escolaridad del padre y el tiempo de biberón (Chi-cuadrado=6,08; gl=2; $p < 0,05$), con resultados análogos a los encontrados para las madres. No se encontró asociación significativa entre el nivel de escolaridad de la madre (Chi-cuadrado=0,72; gl=1; $p=0,40$) y escolaridad del padre (Chi-cuadrado=0,03; gl=1; $p=0,86$) con el tiempo de uso de chupete. **Conclusión:** En esta muestra se encontró asociación significativa entre el nivel de escolaridad de los padres con el tiempo de uso de biberón, sin embargo, no hubo asociación con el tiempo de uso de chupete. Comité de Ética FOUBA 002/14

Palabras clave: nivel de escolaridad padres, hábitos de succión.

127

ANÁLISIS DEL OBJETIVO PRIMARIO EN LOS PROCEDIMIENTOS REGENERATIVOS. SERIE DE CASOS

*Moya MA, Guitelman IC.
FOUBA. Cátedra Odontología Integral Niños.

Objetivo: Evaluar la respuesta clínica y radiográfica de tratamientos de revascularización en piezas permanentes jóvenes con diagnóstico de necrosis pulpar.

Métodos: Diseño experimental, aprobado por el Comité de Ética de FOUBA N° 009/2017 CETICAFUBA. Fueron seleccionados pacientes de 6 a 14 años sin compromiso sistémico, que presentaron piezas dentarias permanentes jóvenes con diagnóstico de necrosis pulpar y ápice incompletamente desarrollado, que concurren para su atención integral a la Cátedra de Odontología Integral Niños entre los meses de marzo de 2017 a julio de 2018, cuyos responsables brindaron consentimiento y asentimiento por parte de los pacientes. Se aplicó el protocolo de los procedimientos regenerativos en donde en la primera sesión, previa anestesia local y aislamiento absoluto, se procedió a la desinfección del conducto radicular mediante hipoclorito de sodio al 1,5% como solución irrigante y posteriormente se obturó el conducto con pasta de hidróxido de calcio. En una segunda sesión se indujo un sangrado intencional para la formación del coágulo, obturando el tercio cervico-radicular con trióxido mineral agregado y cemento de ionómero vítreo como restauración coronaria. Se realizaron controles clínicos y radiográficos al mes, 3, 6 y 12 meses, considerándose como fracaso clínico: dolor, persistencia de fístula e inflamación de los tejidos blandos, y como radiográfico la persistencia de radiolucidez apical. Para la evaluación del éxito radiográfico de los tratamientos se consideró un evaluador externo experto en endodoncia.

Resultados: La muestra quedó conformada por 9 piezas dentarias unirradiculares. La edad media fue de $11,2 \pm 1,9$ años. El tratamiento reveló un 100% de éxito tanto clínico como radiográfico.

Conclusión: los tratamientos realizados con el protocolo de los procedimientos regenerativos revelaron a los 12 meses la resolución de los síntomas clínicos y evidenciaron reparación ósea (objetivo primario). Se necesitarán estudios que amplíen estos resultados, con mayor número de casos y a largo plazo.

Palabras clave: regeneración, niños, necrosis de la pulpa dental

128

CONE BEAM EN ORTODONCIA AUTOLIGABLE BTM. ESTUDIO PRELIMINAR

*Folco A, Solla M, Méndez P, Calabrese D, Doi Y, Garrofé A, Iglesias M, Riguero G, Benítez Rogé S, Mateu ME.
Cátedra de Ortodoncia, FOUBA

El tratamiento ortodóncico con Filosofía BTM logra bioadaptación transversal sin exodoncias y con desarrollo en zona premolar, sin mayor protrusión anterior, en pacientes con apiñamiento moderado a severo. **Objetivo:** Comparar en maxilar superior, la distancia entre premolares entre primeros molar y la distancia ántero-posterior mediante tomografía computada CONE BEAM pre tratamiento y post alineación. **Métodos:** Se evaluaron 10 pacientes de la Cátedra de Ortodoncia de la FOUBA de ambos sexos, entre 13 y 35 años, con dentición permanente, con necesidad de expansión (discrepancia de modelos mayor a 7mm) y basales bien relacionadas (Clase I ó leves clase II o III esquelética), que firmaron su consentimiento informado. EL proyecto fue aprobado por Comité de Ética de la FOUBA. Se utilizaron brackets autoligables y arcos de activación térmica y se trataron con Filosofía BTM. En los cortes axiales de maxilar superior, se registró la distancia entre las corticales palatinas en relación a las piezas primer premolar (1PM), segundo premolar (2PM) y primer molar (1M) contralaterales y la distancia entre punto interincisivo sobre la cortical y el plano que une los primeros molares: Largo de arcada (LA). En la evaluación estadística se obtuvo media y SD y se aplicó la Prueba T de Student para muestras apareadas. **Resultados:** La distancia promedio entre piezas dentarias varió con la alineación dentaria: 1PM 3,37mm. SD 1,2; aumentando en todos los pacientes 2PM: 3,3mm. SD 1,5 aumentando en todos los pacientes; 1M: 0,75mm., SD 2,1 pudiendo aumentar o disminuir levemente y LA: disminuyó en promedio -0,18 mm, SD 1,9, variando en leve aumento o disminución según el caso clínico, con diferencia estadísticamente significativa sólo entre primeros y segundos premolares ($p \leq 0,05$). **Conclusión:** En la recuperación de la arcada dental natural, en alineación con Sistema BTM, evaluando a nivel de la cortical alveolar palatina, hay incremento del diámetro transversal principalmente en el sector premolar. El primer molar no presenta modificación significativa, y el largo ántero-posterior de la arcada es variable y disminuye levemente en promedio aunque no significativamente. Este trabajo no presenta conflictos de interés y se desarrolló dentro del Subsidio UBACyT código 20720150200015BA

Palabras clave: CBCT, Ortodoncia autoligable, BTM

129

ANOMALÍAS DENTARIAS ORIGINADAS EN LAS ETAPAS ODONTOGÉNICAS EN PACIENTES CON MALFORMACIONES OROFACIALES

*Ochonga GE^{1,2}, Martínez MC¹.

FO-UNC. 1. Cátedra de Integral Niños y Adolescentes B, Área Odontopediatría. 2. Servicio de Atención a Pacientes con Fisuras Labioalveolopalatinas.

Introducción. La malformación fisura labio alveolo palatinas producida entre la 3° y 8° semana de vida intrauterina se acompaña frecuentemente de anomalías dentarias relacionadas con diferentes etapas odontogénicas de dentición temporaria y de dentición permanente, como así también anomalías a nivel de las estructuras óseas periféricas a la fisura y del desarrollo de los maxilares. **Objetivo:** identificar, cuantificar y analizar clínica y radiográficamente las alteraciones dentarias originadas en las diferentes etapas de su ciclo vital que afectan la dentición temporaria y permanente en pacientes con fisuras maxilofaciales. **Material y Método:** Se analizaron clínica y radiográficamente pacientes niños y adolescentes (n=100) pertenecientes al Servicio de Atención Interdisciplinaria a pacientes con FLAP de la Facultad de Odontología UNC. Fueron excluidos niños fisurados que padecían enfermedades sistémicas graves. Se analizaron los datos obtenidos mediante: I. Historia Clínica: filiación, antecedentes biológicos y patológicos sistémicos, antecedentes biológicos y patológicos particulares del sistema estomatognático. II. Examen Clínico: inspección sistematizada de la cavidad bucal con instrumental de exploración, evaluando las características morfológicas e histológicas de los elementos dentarios III. Examen Radiográfico: panorámicas, cefalométricas y/o periapicales. **Resultados Preliminares:** Del total de pacientes examinados correspondió 57 % del total a varones y 43 % a mujeres. Las fisuras observadas correspondieron 43 % a fisura bilateral; 30 % a unilateral izquierda completa (Incompleta 1); 17% unilateral derecha completa (Incompleta 1) y 10% palatina. A nivel de anomalías dentarias se presentaron en A. Serie Permanente: mal posición y/o rotación dentaria 100%, asimetrías eruptivas 93 %, asimetrías esqueléticas 86%, asimetrías dentarias 83%, ectopias 70 %, agenesias 43 %, hipomineralización 30% y supernumerarios 20 %. B. Serie temporarios hipoplasias 46 %, supernumerarios 10 %, agenesias 6 %, fusión 3% y ectopias 3%. **Conclusión:** En los niños con fisuras labio alveolo palatina se observan alteraciones dentarias referidas al desarrollo del ciclo vital del diente. (Avance de Tesis Doctoral) Comité de Ética: CIEIS. Facultad de Odontología. UNC.

Palabras clave: malformaciones congénitas, fisuras maxilofaciales, anomalías dentarias.

130

STREPTOCOCCUS GRUPO MUTANS EN INFANTES CONCURRENTES A CENTROS EDUCATIVOS MATERNO-INFANTILES. ESTUDIO PRELIMINAR

*Cornejo C¹, Rossi G¹, Klemons G¹, Gliosca L², Squassi A^{1,3}.

FOUBA. 1. Cátedra de Odontología Preventiva y Comunitaria. 2. Cátedra de Microbiología y Parasitología. 3. Instituto de Investigaciones en Salud Pública

La detección precoz de SGM en infantes es un indicador biológico de riesgo cariogénico que aporta datos silentes y relevantes respecto al equilibrio ecológico bucal de los infantes. **OBJETIVO:** determinar la presencia de *Streptococcus* grupo *mutans* (SGM) (*Streptococcus mutans mutans* y *S. mutans sobrinus*) en niños según su experiencia de caries. **MÉTODOS:** se realizó un estudio transversal descriptivo, sobre una muestra de 6 infantes (de 1 a 2 años de edad) que concurren a una misma sala maternal en un centro de primera infancia en el barrio de La Boca (CABA). Se incluyeron solo aquellos infantes cuyos padres hayan consentido por escrito su participación en el proyecto, niños que no se encontraran en tratamiento antimicrobiano y que no presentaran enfermedades sistémicas. Se realizó un examen clínico según criterios ICDAS II y una toma de saliva no estimulada. Las muestras fueron cultivadas en medio selectivos para SGM (Test de Adherencia Caldo Gold Modificado -TACGM- TySCB agar). La detección molecular para SGM se realizó con *primers* específicos mediante una Nested PCR (N-PCR) de punto final. Los productos de amplificación se individualizaron en geles de agarosa 2% buffer TAE y visualizaron con digitalizador de imagen. **RESULTADOS:** uno de los 6 infantes que participaron de este estudio no presentó lesiones de caries, pero mediante el procesamiento microbiológico y molecular se detectó la presencia de SGM (TA-SGM $1,2 \times 10^4$ UFC). 2 infantes presentaron lesiones de caries incipientes, detectando en uno de ellos la presencia de SGM (TA-SGM $1,4 \times 10^4$ UFC). 3 infantes presentaron lesiones de caries cavitadas, pudiéndose detectar presencia de SGM en todos los casos (8×10^3 ; 2×10^3 y $2,2 \times 10^4$ UFC). **CONCLUSION:** la N-PCR empleada permite la detección simultánea de *S mutans* y de *S sobrinus* con dos amplicones caracterizables. La metodología utilizada permitió detectar la presencia de SGM en infantes menores a 2 años de edad; sin embargo, debido a la variabilidad asociada con el tamaño muestral y la ausencia de punto de corte en infantes para TA-SGM, es necesario establecer la presencia de SGM mediante métodos complementarios. Financiamiento y Comité de Ética: UBACYT 20720160100001 BA

Palabras clave: Caries dental - Streptococcus mutans - Caries infancia temprana

131

MICRODUREZA VICKERS DE DENTINA TRATADA CON DIAMINOFUORURO DE PLATA. ESTUDIO PRELIMINAR

*Rossi GN¹, Mandalunis PM², Kaplan AE³.

FOUBA. 1. Cátedra de Odontología Preventiva y Comunitaria. 2. Cátedra Histología y Embriología. 3. Cátedra de Materiales Dentales

Objetivo: Determinar la microdureza vickers en cortes de dentina obtenidos de dientes primarios y permanentes en distintos niveles y tratados con diaminofluoruro de plata (DFP).

Materiales y métodos: Este es un trabajo descriptivo y preliminar. Se prepararon cortes de dentina, paralelos a la cara oclusal y de 1 mm de espesor a partir de molares primarios (mp) y permanentes (MP). Los cortes se realizaron con sierra de diamante bajo profusa refrigeración acuosa. Se tomaron tres registros por corte de dentina en tres niveles: a) cercano a la cámara pulpar, b) medio y c) cercano al límite amelodentinario. En el mismo corte se aplicó diaminofluoruro de plata al 38% (Fluoroplat®) frotándolo por 1 min y lavándolo posteriormente. Se hicieron las determinaciones en los mismos niveles. Se determinó la microdureza Vickers (mV) con un durómetro Vickers Future Tech FM 300 C. Se realizó media y desvío estándar (DS) en cada medida registrada.

Resultados: Se indican los valores de mV con su DS. En MP sin DFP a) 29,9(12,01), b) 53,67(11,98), c) 16(0,87); en mp sin DFP a) 70,17(4,58), b) 69(5,63), c) 70,57(3,65); en MP con DFP a) 46,87(10,98), b) 47,9(74,6), c) 49,1(5,82); en mp con DFP a) 74,23(13,3), b) 82,17(17,35), c) 82,87(6,77).

Conclusión: Se concluye que en MP sanos la microdureza mayor de la dentina es en la parte media de la misma y con la aplicación de DFP aumenta dicha dureza en todas las zonas. En cuanto a los molares primarios se observó un aumento de dureza en todas las zonas en relación a los MP (probablemente a la presencia de dentina esclerótica) y también aumenta con la aplicación de DFP. El aumento de microdureza con la aplicación de DFP podría estar relacionada a las sales de plata del compuesto. Sería interesante continuar este trabajo evaluando las mismas variables sobre tejido cariado. Financiamiento y Comité de Ética: Proyecto de la Secretaría de Ciencia y Técnica de la Universidad de Buenos Aires /200220160100037BA

Palabras clave: dentina, diamino fluoruro de plata, microdureza

132

MOLARES EN C: EPIDEMIOLOGIA EN PRÁCTICAS CLÍNICAS DE POSGRADO CEFOUBA

*González Pin C, Labarta AB, Sierra LG.

FOUBA. Carrera de Especialización en Endodoncia

OBJETIVOS: Establecer prevalencia de fusión radicular en radiografías pre y post operatorias de prácticas clínicas de posgrado, determinar género predominante, establecer grupo etario y pieza dentaria de mayor prevalencia y reconocer prevalencia de la tipología según clasificación de Fan. **MÉTODO:** Se analizaron 1499 historias clínicas de alumnos de la Carrera de Especialización en Endodoncia FOUBA, durante período agosto 2015-noviembre 2017. Se evaluaron primeros, segundos y terceros molares superiores e inferiores con ápice cerrado. Variables registradas: frecuencia de pacientes y piezas con fusión, relación con sexo, grupo etario y número de pieza dentaria, tipo de fusión según Clasificación Radiológica de Fan, y relación con patología. Se realizó comparación de pares mediante prueba de diferencia de proporciones, valores de p se obtienen de la distribución exacta del estadístico de Fisher. Se usó prueba Chi-cuadrado de Pearson para analizar asociación entre factores.

Resultados: Hubo diferencia significativa entre pacientes con y sin fusión: porcentaje de pacientes sin fusión fue mayor (IC95 = 7,72% a 10,63%). Hubo diferencia significativa entre piezas con y sin fusión: porcentaje de piezas sin fusión fue mayor (IC95 = 5,80% a 7,93%). No hubo diferencia significativa entre fusión y género (Chi-cuadrado = 0,02; g l = 1; p = 0,88). No hubo diferencia significativa entre grupo etario y fusión (Chi-cuadrado = 2,58; g l = 3; p = 0,46). Hubo asociación significativa entre pieza dentaria y fusión (Chi-cuadrado = 183,33; g l = 7; p <0,05). La fusión se distribuyó heterogéneamente entre tipologías de Fan (Chi-cuadrado = 25,73; g l = 3; p <0,05). No hubo diferencia significativa entre fusión y presencia de patología (Chi-cuadrado = 1,65; g l = 1; p = 0,20). **Conclusiones:** De los 1499 pacientes analizados, 9% (136 pacientes) presentó fusión radicular. De las 1407 mujeres analizadas, 7% (94 mujeres) presentó fusión. De los 745 hombres analizados, 7% (93 hombres) la presentó. El grupo de 43 años en adelante presentó mayor frecuencia de fusión 8% (40 casos). Las piezas 37 y 47 presentaron mayor prevalencia 17% (51 y 54 casos respectivamente). La tipología mayoritaria fue tipo I, 40% (58 casos). De las 145 piezas con fusión, 54 % (78 piezas) presentó patología.

PALABRAS CLAVE: Endodoncia, epidemiología, molar en C.

133

HÁBITOS ALIMENTARIOS Y SALUD BUCODENTAL DE NIÑOS QUE ASISTEN A UN JARDÍN DE INFANTES PÚBLICO EN LA CIUDAD DE CÓRDOBA, 2017

*Rocamundi MR, Chocobares A, Vincens M, Weilenmann ML, Scruzzi GF.
Facultad de Ciencias de la Salud, Universidad Católica de Córdoba.

Introducción: Una alimentación variada y equilibrada influye en la integridad de la cavidad oral, juega un rol importante en el desarrollo y protección de la salud bucal, ayuda a garantizar un estado nutricional adecuado y a mantener un buen nivel de salud general.

Objetivo: Relacionar los hábitos alimentarios y la higiene bucal con la salud bucodental de niños y niñas que asistieron a un Jardín de Infantes público del Barrio El Chingolo en la Ciudad de Córdoba, durante el año 2017.

Metodología: se realizó un estudio observacional, correlacional de corte transversal, la muestra fue de 110 niños. La recolección de datos fue realizada a través de encuestas autoadministradas, dirigidas a los padres, para las variables hábitos alimentarios e higiene bucal, en cuanto a la salud bucodental, los datos se obtuvieron mediante observación directa. Se realizaron pruebas de diferencia de proporciones y test de diferencia de medias. Se trabajó con un nivel de confianza del 95%.

Resultados: La prevalencia de caries fue del 69%, el ceod medio fue de $3,54 \pm 3,83$, y el INTC medio de $4 \pm 2,60$, observándose un alto porcentaje de niños con INTC de riesgo (82%). Se encontró diferencia significativa en los valores medios de ceod e INTC según frecuencia de consumo de golosinas. No se encontró asociación entre el resto de los hábitos alimentarios y la variable higiene bucal.

Conclusiones: Resulta necesario incorporar acciones para mejorar los hábitos alimentarios e higiene bucal y a su vez desarrollar medidas educativas basadas principalmente en la prevención y promoción de la salud, logrando así una menor prevalencia de patologías bucales y un adecuado estado de salud general. Financiamiento y Comité de Ética: UCC 991/16

Palabras clave: salud bucodental, hábitos alimentarios, higiene bucal, preescolares

134

EFFECTO DE UNA INTERVENCIÓN EDUCATIVA PARA MEJORAR LA PRESCRIPCIÓN DE ANTIBIÓTICOS

*Karaben VE, Pomarada ME, Ramirez LI, Rea AE, Morales SD.
Facultad de Odontología UNNE

Estudiar la utilización de medicamentos a través de estudios de intervención permite evaluar estrategias de mejora diseñadas a fin de optimizar la utilización de determinados medicamentos en la práctica clínica; conocer cómo se utilizan los antibióticos en odontología constituye un paso importante para realizar un análisis de situación, a fin de poder intervenir en casos de constatarse utilización inadecuada. **Objetivo:** Evaluar si una intervención educativa mejora la prescripción de antibióticos por odontólogos. **Método:** Se realizó un estudio de intervención, comparando recetas de prescripción de medicamentos antes y después de una intervención educativa. El análisis estadístico se realizó mediante estadística descriptiva, comparando frecuencias porcentuales. Para el registro de datos el trabajo se dividió en tres etapas: **Etapa A** de análisis descriptivo de situación, se observaron 417 recetas de medicamentos en 12 meses y los antibióticos más prescritos fueron azitromicina 32%, amoxicilina con clavulánico 10% y amoxicilina 8 %, para indicaciones que no requieren antibióticos como profilaxis posquirúrgica, necrosis pulpar, pulpitis. La **etapa B** correspondió a la intervención educativa, con discusión y análisis de la situación "face to face" con los prescriptores. **Etapa C**, luego de seis meses de la etapa B, se realizó un nuevo estudio descriptivo de la prescripción de medicamentos para analizar el impacto de la intervención educativa. Se observó que el medicamento más prescrito fue amoxicilina con ácido clavulánico 28%; seguido de azitromicina 22%, resaltando que la prescripción de azitromicina disminuyó un 10% y amoxicilina se registró en un 10%, ésta última para diagnóstico como absceso periapical y profilaxis prequirúrgica. Se evidenció una mejoría del 20% en la adecuación de las prescripciones. Se utilizó el test χ^2 ($p=0,00$) para evaluar la adecuación de prescripción posterior a la intervención educativa. **Conclusión:** La intervención educativa, cara a cara con los prescriptores, mejora las prescripciones de antibióticos por odontólogos; tal como disminución de recetas de azitromicina, indicaciones adecuadas de amoxicilina en diagnósticos como profilaxis antimicrobiana. La implementación de la intervención educativa es un elemento que permite mejorar prescripciones inadecuadas; no obstante se desconoce si el cambio de conducta prescriptiva se mantiene en el tiempo. Financiamiento: UNNE. Comité de Ética 1214/17 CD

Palabras clave: uso racional de medicamentos, antimicrobianos, quimioterapicos.

135**ADHERENCIA AL TRATAMIENTO ODONTOLÓGICO EN PACIENTES CON ENFERMEDADES SISTÉMICAS NO TRANSMISIBLES**

*Lama MA¹, Caraballo JA¹, Cruz ME¹, Guanca FM¹, Lourido MG¹, Pompeo MN¹, Sheridan C¹, Winter GA¹, Sanchez GA², Nicolosi LN¹.

FOUBA. 1. CLAPAR II, Cátedra Medicina Interna. 2. CLAPAR I, Catedra De Biofísica Y Bioestadística

La adherencia deficiente a los tratamientos es en un problema que conlleva a bajos resultados de salud e implica mayores costos sanitarios. **OBJETIVO:** Estimar la adherencia al tratamiento odontológico de pacientes portadores de Enfermedades Sistémicas No Transmisibles exceptuando a las Enfermedades Crónicas No Comunicables (ECNC). **MÉTODOS:** Estudio observacional, retrospectivo, analítico. Se relevaron historias clínicas médico-odontológicas manuales de pacientes de 18 a 70 años, portadores de patologías sistémicas que concurren a la CLAPAR II en el período 2013-2014, excluidos ECNC. Se estableció la prevalencia (%) de las patologías objeto de estudio y se recabaron datos categóricos de edad, sexo, Índice de Necesidad de Tratamiento de Caries (INTC) y logro del Alta Básica (AB) o Alta Integral (AI), tomado como índice de adherencia al tratamiento. Se analizó la distribución de frecuencias por Chi² (nivel de significación $p < 0.05$). **RESULTADOS:** Sobre 101 pacientes seleccionados, el perfil de patologías sistémicas fue: 11.88% Osteoporosis; 9.90% Artritis, Alergias, y Sjögren; 8,91% Lupus, Esclerodermia, Epilepsia y Chagas; 7,92% Enfermedad de Chron y Alzheimer; 6,93% trastornos Gastrointestinales. No se observó diferencia en la prevalencia de patologías. El 53% de los pacientes fueron hombres, registrándose en ellos mayor prevalencia de epilepsia y alergias; y el 47% fueron mujeres, observándose mayor prevalencia de osteoporosis y enfermedad de Chron. La distribución de todos los pacientes en categorías etarias por décadas en el rango 18-70 años fue homogénea. El 36% registró INTC=14 y el 31% INTC=15, indicando gran necesidad de tratamiento en más del 60% de los casos ($\text{Chi}^2=30.4$; $p < 0.0001$). El 52% de los pacientes alcanzó el AB, el 20% alcanzó el AI, el 16% discontinuó el tratamiento y 12% continúa en tratamiento. Prácticamente, el 75% de los pacientes alcanzó un estado bucal compatible con salud, una proporción significativamente mayor ($\text{Chi}^2=36.9$; $p < 0.0001$) que la correspondiente a los pacientes que discontinuaron o aún están en tratamiento. **CONCLUSIÓN:** La adherencia al tratamiento odontológico en las Enfermedades Sistémicas No Transmisibles estudiadas es sanitariamente aceptable y mayor que la informada para las ECNC (56%).

Palabras clave: necesidad de tratamiento odontológico, pacientes con compromiso médico, adherencia al tratamiento

136**IMPACTO DE LA EDENTACIÓN PARCIAL SOBRE LA SALUD GENERAL DE PACIENTES VIH+.**

*Marchio C^{1,2}, Lecumberri R¹, Squassi A^{1,3,4}, Sánchez GA^{1,2,4}.

FOUBA. 1. Clínica para la Atención de Pacientes de Alto Riesgo I. 2. Cátedra de Biofísica y Bioestadística. 3. Cátedra de Odontología Preventiva y Comunitaria. 4. Instituto de Investigaciones en Salud Pública.

Objetivo: Determinar el impacto de la edentación parcial sobre la salud general y desarrollo de patología gastroenterológicas en pacientes VIH+. **Métodos:** Estudio observacional analítico sobre una muestra aleatoria de 75 pacientes concurrentes a la Clínica para la Atención de Pacientes de Alto Riesgo I (CLAPAR I). Se realizó el examen clínico, se estableció el tipo de edentación en las categorías de Kennedy y se registró el uso o no de prótesis parcial removible (PPR). Se incluyó sólo a pacientes con PPR confeccionada o indicada durante el año previo a su inclusión en el estudio. Se excluyeron a pacientes con historia previa de uso de PPR. Se determinó IMC y sintomatología de dispepsia (+ o -). Se analizó la distribución de pacientes en categorías por χ^2 y prueba de Fisher. El efecto de la clase de edentación del uso de PPR se evaluó por Anova de 2 vías y prueba de Bonferroni (nivel de significación $p < 0.05$). **Resultados:** La edad (media \pm ES) fue 38.7 \pm 1,2 años. Todos recibían TARGA (emtricitabina, tenofovir, efavirenz) con óptimos indicadores clínicos inmunológicos (carga viral indetectable y recuento LTCD4 487 cel/mm³). El 82.7% presentó edentación (Clase I 27.5%, II 19.3%, III 18%, IV 14.5%, V 11.3%, VI 9.7%) habiendo hecho uso de la rehabilitación con PPR el 32.3% sin diferencias significativas de uso entre clases ($\chi^2=2.8$, $p=0.9$). La clase de edentación no influyó significativamente al IMC ($F=2.3$, $p=0.16$), pero si el no uso de PPR ($F=10$, $p=0.02$), identificándose a la Clase I y Clase IV como las de menor IMC, 18.7 y 18.1 respectivamente, siendo ambos valores subóptimos. La sintomatología de dispepsia fue significativamente mayor en pacientes con edentación Clase I sin uso de PPR ($p=0.05$) y en Clase IV sin uso de PPR ($p=0.03$). **Conclusión:** La necesidad de tratamiento protético es alta en pacientes VIH+. La falta de rehabilitación explica sintomatología gastroenterológica asociada a la incorrecta primera fase de la digestión, la masticación, e impacta negativamente sobre el estado nutricional indicando de desnutrición. Financiamiento y Comité de Ética: UBACyT 20720160100001BA (2017-2019).

Palabras clave: salud bucal, VIH, rehabilitación protética dental, dispepsia

137**ESTUDIO DESCRIPTIVO REGIONAL: PERCEPCIÓN DE SALUD BUCAL****DE MÉDICOS EN PACIENTES VIH+.***Farias MA^{1,2}, Medici SA^{1,3}, Squassi A^{1,3,4}, Sánchez GA^{1,2,4}.

FOUBA. 1. Clínica para la Atención de Pacientes de Alto Riesgo I (CLAPAR I). 2. Cátedra de Biofísica y Bioestadística. 3. Cátedra de Odontología Preventiva y Comunitaria. 4. Instituto de Investigaciones en Salud Pública.

Objetivos: Determinar la percepción de médicos Latinoamericanos de salud bucal en pacientes VIH+ y su relación con fuentes de información utilizadas referidas a salud bucal; y, establecer la tasa asociada de derivación a la atención de salud bucal. **Métodos:** Investigación descriptiva. Muestreo por conveniencia de 360 médicos de 3 ciudades (Buenos Aires, BA, n=200; San Pablo, SP, n=120; Montevideo, M, n=40). Para establecer percepción de salud bucal se utilizó el instrumento PPOH-VIH (Sánchez et al., 2014), respondido en escala Likert de frecuencia. Se determinó percepción total y por dominio PPOH-VIH (D1=conocimientos sobre salud bucal; D2=experiencia personal referida a la atención de salud bucal; D3= conocimientos sobre salud bucal relacionados al VIH; D4=prácticas médicas relacionadas con salud bucal). Se compararon las percepciones (%;IC95) por χ^2 ($p<0,05$). Se registró cantidad de pacientes derivados al odontólogo en el último trimestre y fuente de información referida a salud bucal utilizada (curso específico, internet y Journals). **Resultados:** La edad (años) promedio de los médicos no fue diferente ($p=0,86$) entre ciudades (BA=35.2±1.4, SP=35.1±1.2, M=36.7±1.5) al igual que años de experiencia profesional ($p=0,98$, BA=6.2±1.6, SP=6.2±1.3, M=5.6±1.8). La percepción total de salud bucal (70%) no fue diferente entre ciudades ($p=0,86$) ni entre dominios (D1=75%, D2=68.7%, D3=72%, D4=65%). La tasa de derivación observada no fue significativamente diferente (BA=31.4%, SP=29.1%, M=30.2%). La fuente de información sobre salud bucal menos utilizada ($p<0,001$) correspondió a cursos específicos (BA=14%, SP=12%, M=8%). Consulta de Internet (BA=SP=42%, M=46%) y Journals (BA=44%, SP=M=46%) no resultó diferente ($p=0,74$). La percepción de salud bucal fue mayor ($p<0,05$) cuando la fuente correspondió a cursos (84%) comparada con Internet (55%) y Journals (62%). **Conclusión:** La percepción de médicos de la salud bucal de sus pacientes VIH+ y su derivación al odontólogo resultaron bajas y homogéneas en las ciudades estudiadas. Intervenciones educativas tendientes a incrementar la percepción deberían implementarse a fin de estimular la derivación temprana para la atención de esta población con alta necesidad de tratamiento. Financiamiento y Comité de Ética: UBACyT 20720160100001BA (2017-2019).

Palabras clave: salud bucal, percepción de salud, VIH**138****AUTO-CUIDADO EN SALUD BUCAL, EN ESTUDIANTES DE ODONTOLÓGIA Y OTRAS CARRERAS UNC**

*Marega GH, Hernando LM, Gosso C, Rubinstein J, Sanz A, Sánchez Dagum M. Facultad de Odontología..UNC

Se realiza análisis comparativo de 2 estudios en la población universitaria en general (n 400) y en estudiantes de Odontología (n 375). **OBJETIVO:** Valorar prácticas de auto-cuidado y saberes en Salud Bucal, en estudiantes de UNC; y de Odontología. **METODOLOGÍA:** Estudio Comparativo, Descriptivo. Datos recolectados con instrumento Pre-codificado, Semi- estructurado y auto-suministrado, validado, Consentimiento Informado aprobado CIEISFO: Variables: ÚLTIMA VISITA AL ODONTÓLOGO, FRECUENCIA DE CEPILLADO, UTILIZACIÓN HILO DENTAL, RELACIÓN SALUD BUCAL VS SALUD GENERAL. **RESULTADOS:** Para estudiantes de UNC, en motivo de la consulta, por limpieza la realizaban el 3,1%, el 9,0% por extracción, el 7,7% por arreglos; y por dolor el 4,1% Para alumnos de Odontología, el 50,1% lo hizo para control, la categoría Ortodoncia/ Estética, la seleccionaron en un 14,6%, los de UNC, un 7,7%. Respecto a la frecuencia diaria, Estudiantes UNC, el 49,8% dos veces mañana y noche y el 35% después de cada comida. Estudiantes Odontología, después de cada comida el 45,3%, mañana y noche el 45,1%. Utilización de hilo dental, en alumnos de odontología 69,9%, estudiantes de la UNC 24,5%. Relación salud bucal vs salud general: Estudiantes UNC 70% la consideró prioritaria o muy prioritaria. Estudiantes de odontología el 86,7%. Conocimiento sobre enfermedades con manifestaciones bucales: Estudiantes UNC el 61,8% las desconocía. Estudiantes de odontología: el 80% manifestó que sí conoce. **CONCLUSIONES:** Los estudiantes de Odontología realizan sus consultas por motivos de ortodoncia/estética, duplicando el porcentaje respecto a los UNC. En frecuencia de cepillado, en ambos estudios refieren realizarlo con diversas frecuencias diarias, no advirtiéndose diferencias entre grupos. Solo una pequeña población de los estudiantes de la UNC utiliza el hilo dental, los de Odontología lo hacen en mayor proporción. Respecto a saberes en salud bucal en relación a salud general, ambos grupos la consideran prioritaria, se halló diferencia significativa en relación al Conocimiento sobre enfermedades con manifestaciones bucales, desconociendo en un porcentaje mayoritario su relación los alumnos de UNC, variable directamente proporcional a saberes adquiridos en la carrera de Odontología. Subsidio SeCyT-UNC Cod. 05j127. Comité de Ética Res. CIEIS F.O. N° 36/12

Palabras clave: Auto-cuidado en salud bucal, Estudiantes Universitarios, Universidad Nacional de Córdoba.

139

SUPERVIVENCIA DE PRIMEROS MOLARES EN NIÑOS CON CARIES SEVERA DE PRIMERA INFANCIA

*Zimmermann EL, Cachia AM, Spoleti P, Pisterna G, Milanés V.
Facultad de Odontología UNR.

OBJETIVO: comparar el impacto de la utilización de fluoruros tópicos ó clorhexidina en la conservación de primeros molares sanos en cinco y siete años de programa de salud bucal. **MÉTODO:** En dos programas de salud bucal en escolares primarios se realizó un seguimiento longitudinal de 7 años. En uno se utilizó durante los cuatro primeros años de gel de fluor fosfato acidulado 1,23% (F) en uno y en otro gel de clorhexidina al 1% (C), durante cuatro semanas sucesivas. En los años restantes se realizó una aplicación anual de F en ambos. Participaron 50 niños. La edad promedio al comienzo del estudio fue de 6,5 años. Al estratificar la muestra considerando el estado basal de la dentición primaria (CSTI: caries severas de temprana infancia – CTI: caries temprana infancia – CS: sin caries) el 62% de los niños presenta CSTI. Se construye un indicador de supervivencia (IS) de superficies de molares permanentes como el cociente entre los tiempos de sobrevida y los tiempos de observación de las piezas en la cavidad bucal; el rango de valores va de "0" (todas las superficies enfermas) a "1" (todas sanas). Se calcula el indicador entre 2010-2014 y 2010-2016. **RESULTADOS:** En el grupo CS se registran valores 1 salvo un niño con 0,8. Tomando este valor como parámetro de buen resultado se estratifica el grupo de CSTI en aquellos niños que tuvieron IS igual o superior a 0,8 entre 2010-2014 y 2010-2016 discriminado según tópicos aplicados. De 31 niños con CSTI, 14 fueron tratados con F y 17 con C. En 2014, 9 del grupo F tuvieron un indicador $\geq 0,8$ y 12 de los tratados con C. En 2016 fueron 6 del grupo F y 12 del C. Se calculó el riesgo relativo con su correspondiente intervalo de confianza: $RR_{2014} = 1,10$; $IC_{RR\ 2014;95\%} = (0,67;1,80)$; $RR_{2016} = 1,65$; $IC_{RR\ 2016;95\%} = (0,84;3,25)$. **CONCLUSIÓN:** la chance de conservar superficies de primeros molares sanas al cabo de 4 y 6 años es respectivamente un 10% y 65% superior en el grupo de niños tratados con 'C' respecto al grupo tratado con 'F'. Las diferencias no son estadísticamente significativas en el tamaño del grupo estudiado. Financiamiento y Comité de Ética: UNR Secretaría de Ciencia y Tecnología. S/N

Palabras clave: supervivencia, caries, molares

140

PREVALENCIA DE PÉRDIDAS ÓSEAS EN SERVICIOS ODONTOLÓGICOS PÚBLICOS DE TUCUMÁN

* Luna S^{1,3}, Garbero I⁴, Gonzalo J⁴, Missana L^{1,2}.

1. Laboratorio de Patología Experimental, Diagnóstica e Ingeniería Tisular. Anatomía Patológica. 2. PROIMI-CONICET. 3. FOUNT. Cátedra de Educación para la Salud. 4. Hospital de Día Presidente Néstor Kirchner- Si.PRO.SA

Este estudio se enmarca en PDTs (Proyecto de Desarrollo Tecnológico y Social) llamado Fabricación y Evaluación de nuevo Material de Regeneración Ósea por Ingeniería Tisular. Uno de los objetivos del PDTs y de este trabajo fue conocer las necesidades de la población en el área de medicina regenerativa ósea, debido a la ausencia de información sobre el volumen de sustitutos óseos (SO) requeridos para el tratamiento de las pérdidas óseas de diferentes orígenes, en San Miguel de Tucumán-Argentina. **Métodos.** Se realizó un estudio epidemiológico a partir de cuarenta y siete (47) HCl, de pacientes tratados en el Hospital Presidente Néstor Kirchner, referente en la región NOA, de la provincia de Tucumán, durante el período 2015-2017. Se registraron datos de sexo, edad, etiología, localización y volumen de pérdida ósea. Los procedimientos recibieron aprobación del Comité de Ética UNT-SIPROSA-Conicet. Res.23/2017. Además a partir de imágenes tomográficas de las pérdidas óseas registradas, se realizaron mediciones utilizando un Aparato de Tomografía Computada 3D Kavo Gendex3D CB500. Los datos obtenidos se evaluaron estadísticamente utilizando el programa SPSS. **Resultados:** Las pérdidas óseas registraron que el 44,7% de pacientes fueron masculinos y el 55,3% de femeninos. La edad fue de 13 a 70 años. El 66% de las lesiones fueron en maxilar superior y el 29,8% en maxilar inferior. Dentro de la etiología más frecuente, se observó 19,10 % de patología dental, 12,80% quistes maxilares, 10,60% de caninos retenidos y otras patologías 57,50%. Se registró 77 ml de material de relleno óseo utilizado en 44 pacientes. **Conclusión:** A partir de estos datos preliminares, observamos escasa utilización de SO en los servicios públicos. Siendo necesario realizar relevamientos en Servicios de Implantología de Postgrado Universitario y Privados para obtener más información sobre esta área. Financiamiento: PDTs CIN-Conicet N°12

Palabras claves: Pérdida ósea, sustitutos óseos, prevalencia.

141

EVALUACIÓN DEL ESTADO DENTARIO DE NIÑOS DE 6-7 AÑOS PERTENECIENTES AL MUNICIPIO DE SANTO PIPO MISIONES

*Sousa M, Venarotti F, Furci N, Restuccia A, Garcia MS.
Universidad Abierta Interamericana. Asignatura Clínica y Cirugía Integrada Niño y Adolescente III.

Objetivo: Establecer el estado dentario de niños de 6-7 años $6,3 \pm 0,4$ de una comunidad urbano-rural.

Metodos: Se incluyeron en este estudio 53 niños pertenecientes a 1° grado de la escuela N°214 de Santo Pipo, Misiones, que presentaron por lo menos un 1° molar permanente erupcionado. Dentro del ámbito escolar con el consentimiento informado de los padres y aplicando tecnología simplificada 2 docentes calibrados ($Kappa > 0.80$) realizaron el examen y registro documental. Se calculó la media y desvío estándar para la edad; media con intervalos de confianza y distribución de frecuencia para los índices ceod, ceos, CPOD, CPOS y sus componentes, cantidad de piezas primarias y permanentes; se respondió a los cuadros 21, 22, 23, 24, 25, 26 de la OMS y se analizó distribución de frecuencia de severidad de caries y sector afectado.

Resultados: el ceod fue de 5,64 (IC 4,66-6,62); ceos 10,52 (IC 8,07-12,98); CPOD 0,73 (IC 0,40-1,06); CPOS 0,79 (IC 0,43-1,15). El c+C fue de 5,49 (IC 4,55-6,42). La cantidad de dientes primarios y permanentes presentes fue de 15,49 (IC 14,63-16,35) y 7,54 (IC 6,57-8,51) respectivamente. En la dentición primaria el 83% presentó caries dental, el ceod fue igual o mayor a 4 en el 71,7%. El 25 % presentó caries de dentina y pulpa y el 29,5% resultó afectado por caries de esmalte, dentina y pulpa. En la dentición permanente se registro un 34% de caries con predominio de caries de esmalte. El 7,5% registro un CPOD igual o mayor a 4. El 11,3% no registraron caries en ambas denticiones (c + C). El sector más afectado fue el posterior (56,6%) y posterior más anterior (32,1%). No se detectaron caries que involucren solo el sector anterior.

Conclusiones: Los niños presentaron elevados índices de caries en la dentición primaria y se registro caries en la dentición permanente recientemente erupcionada. Es necesaria la implementación de un programa de atención de salud bucal.

Palabras clave: caries dental, escolares, índices

142

ESTADO DENTARIO EN NIÑOS DE UNA ESCUELA RURAL DE COLONIA SAN MIGUEL MISIONES

*Sousa M, Martino I, Testa M, Zurita H, Pereyra L.
UAI. Asignaturas Clínica y Cirugía Integrada Niño y Adolescente II y III

Objetivo: Releva el estado dentario de preescolares y escolares pertenecientes a la escuela N° 856 Colonia San Miguel, El Soberbio, Misiones **Metodos:** Con el consentimiento informado firmado por padres y/o tutores se tomó y analizó una muestra aleatoria de 68 niños pertenecientes a la escuela N°856 de Colonia San Miguel, El Soberbio, Provincia de Misiones. Los niños fueron evaluados clínicamente por dos docentes calibrados para las patologías analizadas ($Kappa > 0.75$) en el ámbito escolar con tecnología simplificada. Para el análisis estadístico de los datos la muestra fue estratificada por grupos etarios de preescolar, 1° y 7° grado, según criterios OMS. Se utilizaron como indicadores los índices ceod, CPOD, Significativo de Caries (SIC) y pufa-PUFA, consecuencia clínica de la caries no tratada, p/P compromiso pulpar visible, u/U ulceración causada por presencia de fragmentos dentarios, f/F fistula, a/A absceso. Se calculó la media aritmética y el desvío estándar para la edad, ceod, CPOD, SIC y sus componentes y la proporción de pufa-PUFA. **Resultados:** El grupo de preescolares (n=30) edad 4.7 ± 0.4 presentó un índice ceod de 6.73 ± 3.74 , con un componente c de 6.37 ± 3.70 y un pufa de 24.2%. El grupo de 1° grado (n=21) edad 6.5 ± 0.5 presentó un índice ceod de 5.51 ± 3.39 , un CPOD de 0.84 ± 1.17 , con un componente c+ C de 5.15 ± 3.19 y un pufa-PUFA de 56.30%. El grupo de 7° grado (n=17) edad 12.3 ± 0.4 presentó un índice CPOD de 4.64 ± 3.39 , con un componente c de 4.54 ± 3.20 ; un SIC de $8,44 \pm 4.24$ y un PUFA de 60.7%. **Conclusiones:** La población estudiada presentó elevados índices de caries. Los elevados valores de los componentes c/C del ceod/CPOD y el incremento del pufa-PUFA evidencian la ausencia de atención odontológica y la necesidad de implementar un programa de atención de salud bucal.

Palabras clave: caries dental, escolares, población rural

143**SALUD BUCODENTAL EN NIÑOS DE UNA ESCUELA DE SALTO ENCANTADO, MISIONES**

Pereyra L, *Saldaña J, Romero S, Virgillito A, Ceriani S, Sousa M.
UAI. Asignatura Clínica y Cirugía Integrada Niño y Adolescente II y III

Objetivo: Determinar el estado de salud bucodental de una población de escolares que cursan 1° y 7° grado.

Métodos: Se solicitó el consentimiento por escrito de padres o tutores legales. Se detectó el estado dentario de 51 niños de 1° grado y 45 de 7° grado pertenecientes a la escuela N° 319 de la localidad de Salto Encantado Municipio de Aristóbulo del Valle. La evaluación fue realizada por 2 investigadores calibrados ($Kappa > 0.75$) en un aula escolar establecida como clínica con equipamiento simplificado. Se utilizaron como indicadores los índices de Necesidad de Tratamiento de Caries Comunitario (INTCC); ceod; ceos; CPOD; CPOS; SIC; pufa-PUFA y cantidad de dientes presentes primarios y permanentes. Se calcula la media aritmética y el desvío estándar para edad, índices y sus componentes y la mediana para INTCC.

Resultados: Los niños de 1° grado $n=51$ edad $6,4 \pm 0,5$ presentaron un ceod de $5,2 \pm 4,41$; componente c $4,2 \pm 3,7$; ceos $14,92 \pm 15,01$, componente cs $10,2 \pm 10,4$; CPOD $0,38 \pm 1,01$; CPOS $0,38 \pm 1,01$; c+C $4,4 \pm 3,8$; pufa-PUFA 56,8%; cantidad de dientes primarios 16 ± 3 y permanentes $6,9 \pm 3,3$. La mediana del INTCC tuvo un valor de 7. Los niños de 7° grado $n=45$ edad $12,53 \pm 0,6$ presentaron un CPOD $4,5 \pm 4,04$; componente C $3,6 \pm 3,3$; CPOS $8,59 \pm 8,53$; CS $4,5 \pm 4,05$; SIC $7,59 \pm 4,73$; PUFA 37%; cantidad de dientes primarios $3 \pm 2,5$ y permanentes $27 \pm 2,4$. La mediana del INTCC fue de 8.

Conclusiones: El estado de salud bucodental de la población evidenció falta de atención odontológica y la necesidad de realizar un programa de atención.

Palabras clave: escolares, caries, índices

144**ESTADO DE SALUD-ENFERMEDAD DENTAL DE NIÑOS DE UNA COMUNIDAD ABORIGEN MBYA GUARANÍ DEL PARAJE SARACURA, MISIONES**

*Furci N, Sousa M, Bozzaotra R, Campano J, Pereyra L.
UAI. Asignatura Clínica y Cirugía Integrada Niño y Adolescente II y III

Objetivo: Determinar el estado de salud-enfermedad dental de un grupo de niños pertenecientes a la comunidad aborígen Mbya guaraní de las aldeas Saracura y Tres Guayubiras, Misiones.

Métodos: Fueron incluidos en este estudio 20 niños que asisten al aula satélite del paraje Saracura. El consentimiento de los padres se logró a través del diálogo con el cacique. Los exámenes fueron realizados por un docente con instrumental convencional, usando mobiliario del aula, bajo luz natural y un frontoluz. Se registraron los datos en una ficha ad-hoc; se utilizaron como indicadores los índices ceod, ceos, CPOD, CPOS y el índice de placa de Silness y Löe. Para el procesamiento de los datos se estratificó la muestra según dentición primaria y mixta. Se calculó la media aritmética y desvío estándar de los índices y sus componentes. Se registró talla y peso. En entrevistas con el cacique y maestro, únicos hispanoparlantes, se obtuvo información sobre hábitos y costumbres de la comunidad.

Resultados: El grupo de niños con dentición primaria ($n=5$), edad $5,80 \pm 0,45$ años registró: ceod: $0,80 \pm 1,30$; ceos: $1 \pm 1,41$; c: $0,80 \pm 1,30$ y un Índice de placa de Silness y Löe: $1,41 \pm 1,06$. El grupo con dentición mixta ($n=15$), edad $9,47 \pm 2,23$ años registró: ceod: $2,40 \pm 2,53$; ceos: $4,33 \pm 5,38$, CPOD: $1,33 \pm 1,35$; CPOS: $2,27 \pm 3,20$; c+C: $3,53 \pm 2,36$ y un Índice de placa de Silness y Löe: $1,62 \pm 0,52$. Se observó retraso en el recambio dentario, el 28,5% de los niños de 6 años presentaron algún molar permanente erupcionado y el 100% de los niños entre 11 y 14 años tenían dentición mixta. Los valores de talla y peso concuerdan con el promedio establecido por la Sociedad Argentina de Pediatría.

Conclusiones: La población estudiada presentó bajos índices de caries a pesar de no tener hábitos de higiene ni atención de salud bucal.

Palabras clave: caries dental, comunidad aborígen

145

SOCIALIZACIÓN Y CONSTRUCCIÓN DE HÁBITOS DE SALUD BUCAL

*Gaiteri M, Copello MN, Condis G, Salas AL.
Facultad de Odontología UNR.

Objetivo: establecer la relación entre los espacios de socialización y la construcción del proceso salud enfermedad cuidados de salud bucal en preescolares que asisten a dos jardines de infantes de la ciudad de Rosario. **Métodos:** estudio descriptivo transversal. La población de estudio estuvo constituida por 222 niños de 4 y 5 años de edad, que asistieron a dos jardines del distrito Centro y Noroeste de la ciudad de Rosario sus padres y docentes. Se aplicaron dos cuestionarios validados (ECOHIS) uno dirigido a los padres y otro a los docentes (Bordoni, 2006). La evaluación clínica se realizó de acuerdo con los criterios de la OMS a cargo de dos examinadores calibrados (Kappa 0.85). Se utilizó el índice de caries ceo-d y s. Procesamiento estadístico: Programa SPSSV. 11.5 y SAS 9.1. **Resultados:** el proceso de caries se presentó con un valor promedio del índice ceo-d de 2.60 y el ceo-s de 5.5. Al comparar el índice ceo-d de ambas escuelas no se encontró diferencia significativa ($p=0,085$), no obstante si se hallaron al comparar el ceo-s ($p=0,0001$). La percepción parental de la calidad de vida en relación a la salud bucal se vio reflejada en la frecuencia en que la familia ha sido alterada a causa de los problemas o tratamientos dentales ($p=0,04$), si se ha sentido culpable ($p=0,0004$), el impacto en la economía familiar ($p=0,003$) y el tiempo que demanda la solución del problema ($p=0,0001$). En un 67% los docentes no creen que los padres cumplan las indicaciones de docentes o profesionales. Si consideran, en un 45%, que los padres se preocupan por el cuidado de dientes y encías. Reconocen a la escuela como un espacio de salud (85%), no obstante señalan en un 55%, la escasa labor educativa del odontólogo en su práctica profesional. **Conclusión:** desde la perspectiva parental la presencia de caries tiene una consecuencia negativa en la calidad de vida de sus familias. Las docentes presentan ciertos prejuicios referidos a los padres en relación con el cuidado de la salud bucal que podrían actuar como obstáculo para construir conductas saludables. Comité de Ética UNR

Palabras clave: Construcción, Socialización, Salud Bucal, Escolares

146

NO SE PRESENTÓ

147

PREVENCIÓN DE FLUOROSIS DENTAL: UNA TECNOLOGÍA PARA REMOVER EL FLÚOR DEL AGUA

*Ponce RH, Piazza LA, Barteik ME, Piñas ME, Bojanich MA, Centeno VA, Rozas CA, Gallará RV. Facultad de Odontología UNC. Cátedra "A" de Química Biológica.

Objetivo: investigar y desarrollar un método de remoción de fluoruro (F) del agua potable que sea accesible a los habitantes de las zonas con fluorosis endémica. **Metodos:** se midieron los niveles de F en el agua de consumo en el noroeste de la Provincia de Córdoba (método de electrodo de ión selectivo) y se determinaron parámetros fisicoquímicos: F (ppm), pH, conductividad eléctrica ($\mu\text{S}/\text{cm}$) y sólidos totales disueltos (STD) utilizando un dispositivo digital (Hanna Inst). En alumnos de ambos sexos (5-11 años) un único operador evaluó el "Índice de Fluorosis de Superficie Dental" según Horowitz y col; los resultados se agruparon en categorías: 0 (sin fluorosis), 1-3 (fluorosis leve) y 4-7 (fluorosis moderada a severa). Se diseñó un filtro domiciliario para defluorar el agua empleando resinas de intercambio iónico (PUROLITE, C100E y A400) y se determinó su capacidad de remoción de F. **Resultados:** Las concentraciones de F en agua varían entre 1,4 y 8,0 ppm. El 64% de las muestras (n=9) mostró parámetros fisicoquímicos aceptables, el 29% (n=4) salinidad moderada y el 7% conductividad elevada (2052 $\mu\text{S}/\text{cm}$, no aceptable para consumo). En aguas subterráneas, el 70 % de pozos analizados (n=14) mostró parámetros fisicoquímicos aceptables, el 20% (n=4) moderada salinidad y el 10% (n=2) conductividad y STD no aceptables. La evaluación del índice de fluorosis de 640 superficies dentales mostró: 15% categoría 0, 27% categoría 1-3 y 58% categoría 4-7. El filtro permitió obtener 30 L de agua deionizada (F: 0,05 ppm). Al mezclar agua defluorada con agua corriente (1:3) se obtuvieron valores de F apropiados para la zona (0,6 a 0,8 ppm), salinidad normal (200 $\mu\text{S}/\text{cm}$) y pH: 7, obteniendo entre 90 y 120 L de agua potable para beber. El filtro es de costo mínimo, práctico y fácil de instalar. **Conclusión:** El área donde se instalará el filtro muestra valores elevados de F. Además, se observa un elevado índice, moderado a severo, de fluorosis dental. El filtro reúne las condiciones esperadas y se encuentra en vías de implementación en domicilios de la zona endémica, encontrando así una potencial solución para la problemática abordada. Al mezclar 1 parte del agua defluorada con 2 a 3 partes de agua corriente se obtuvieron valores de F apropiados para la zona (0,6 a 0,8 ppm), salinidad normal (200 $\mu\text{S}/\text{cm}$) y pH: 7, obteniendo entre 90 a 120 L de agua potable para beber. El filtro es de costo mínimo, práctico y fácil de instalar. **Financiamiento:** Ministerio de Ciencia y Tecnología, Gobierno de la Provincia de Córdoba. Comité de Ética: CIEIS-Facultad de Odontología, UNC

Palabras clave: fluoruro, fluorosis dental, filtro domiciliario

148

ESTUDIO TRANSVERSAL DE ERUPCIÓN DENTARIA Y DETERMINANTES SOCIALES DE SALUD EN ESCOLARES

Gosso C, *Sanchez Dagum M. Facultad de Odontología UNC

Objetivo: Evaluar los patrones de asociación entre la cronología de erupción dental en niños escolares, su contexto sociocultural y de acceso a salud. **Metodo:** estudio transversal de niños (n=240) de 6-12 años, ambos sexos, correspondientes a dos realidades socioeconómicas diferentes: vulnerables y no vulnerables. Estudio aprobado por Comité de Investigación y Bioética-Facultad de Odontología-UNC. Se excluyeron del estudio niños bajo tratamiento de ortodoncia, con patologías sistémicas, enfermedades mentales o discapacidades y/o que presentaran ingesta de cualquier medicamento. El nivel socioeconómico se evaluó a través del Índice de Graffar Modificado. En el examen Clínico Odontológico se recogieron datos de número de dientes erupcionados, grado de erupción. Datos socioeconómicos como trabajo, obra social, subsidio estatal, nivel educativo de los padres. Los datos se analizaron del siguiente modo (se estableció como nivel crítico $p < 0,05$ para establecer la significación estadística): La asociación bivariada estimada entre las variables categóricas se realizó mediante tabla 2x2, Odds Ratio (OR), intervalos de confianza del 95% (IC95%). La asociación multivariada primeramente fue explorada mediante Análisis de Correspondencia y a posterior estimada mediante modelo de regresión logística múltiple, donde la variable resultado en cada uno de los modelos construidos fue la erupción de cada uno de los elementos dentarios. **Resultados:** Los resultados demuestran que la edad de erupción dentaria es más temprana en los niños vulnerables que en los niños no vulnerables, e igualmente que los dientes de la arcada inferior erupcionaron más temprano que los de la arcada superior; Con excepción de los caninos superiores, en todos los demás elementos dentarios, las edades eruptivas correspondientes a la población estudiada, fueron inferiores a las de Shour y Masler. Se identificaron en los niños vulnerables, bajo índice de extracciones prematuras, índice de exfoliación fisiológica, amamantamiento prolongado y consumo de alimentos sólidos a temprana edad, relacionados con sus condiciones socio-cultural-económicas. **Conclusión:** Las variables socio - económicas resultaron visiblemente diferentes en ambos grupos, siendo notorio que el grupo de niños vulnerables tienen falencias, económicas, de alimentación y educación en salud. La erupción dentaria se ve modificada en su tiempo de desarrollo-emergencia de acuerdo a la condición cultural, social y económica de niños en edad escolar en la ciudad de Córdoba. Comité de Ética: resolución 305/12

Palabras claves: cronología, erupción, vulnerabilidad.

ADQUISICIÓN Y TRANSMISIÓN DE STEPTOCOCCUS MUTANS EN NIÑOS MENORES DE 24 MESES

*Galiana AV, Cardoso ML, Galiana MB.
Facultad de Odontología UNNE

La caries de Aparición Temprana (CAT) está asociada a la presencia de microorganismos del grupo de Streptococcus mutans (SM), responsable de la patogenicidad de la caries dental. Existe relación entre la transmisión madre-hijo de dichos microorganismos y la caries en la infancia temprana, periodo de Infectividad, en el cual el ser humano se encuentra mas susceptible de adquirir el microorganismo (período ventana), relacionándose con la erupción de las piezas primarias. **Objetivo:** El objetivo fue determinar la presencia de SM, su asociación con los de la madre, y determinación de la adquisición y transmisión vertical. **Métodos:** La muestra estuvo compuesta por 60 binomios madre-hijo, a los que se tomaron muestras de saliva para cultivo bacteriológico. Previa evaluación del Comité de ética, y consentimiento informado de las madres. Los niños incluidos concurrían al Jardín Maternal Mitaí Roga IV, acompañados por sus madres, sin piezas erupcionadas al momento de la 1º muestra. A dichos pares madre-hijo se le tomarán las muestras para el cultivo bacteriológico (la saliva se recogió con micropipeta descartable y se colocaron en un vaso dosificador de plástico con cierre a rosca, estéril, en el caso de los niños.; mientras que la de la madre se realizó directamente en un vaso dosificador estéril, solicitándole que salivara en el.) con un intervalo de 90 días, desde su inclusión en la muestra y hasta los 24 meses de edad del niño. (Las muestras se transportaron en una hielera, a una temperatura de 4 °C, etiquetada con los siguientes datos básicos: nombre completo de paciente y edad, número de historia clínica, fecha de recolección.). Dichas muestras se homogeneizaron con un agitador de tubos durante un minuto, donde 100 ul de muestra se adicionaron a una solución fisiológica estéril. Este procedimiento se repitió 2 veces (3 disoluciones en total), y de ésta última se sembraron 100 uL en placas de Petri en agar mitis salivarius medio selectivo para el desarrollo de las colonias. Al agar se agregó la bacitracina y telurito de potasio. La proporción para 100 ml de agar mitis son 500 microlitros de bacitracina y 100 de telurito de potasio). Las placas se incubaron utilizando un sistema de anaerobiosis durante 48 hrs. a 37°C. Se realizó el recuento de las colonias de SM desarrolladas, con una lupa Spencer 10X de aumento, considerándose sólo aquellas adherentes, grisáceas, con superficie rugosa, apariencia de vidrio esmerilado y consistencia dura. La cantidad total de colonias presentes en la placa de Petri se obtuvo utilizando el coeficiente de dilución y fueron denominadas Unidades formadoras de colonias por ml de saliva (UFC/ml). **Resultados:** Se realizaron análisis descriptivos de las variables; para el análisis estadísticos fueron utilizados Wolf, X², prueba exacta de Fisher y Coeficiente de correlación de Pearson ($p < 0.05$) Del total de la muestra el 16,6 % de los niños presento UFC de SM $> 10^5$, equiparándose al numero de UFC de la mama, mientras que 83,4 % presento UFC de SM $< 10^5$ aun cuando la madres presentó UFC de SM $> 10^5$. Se hallo asociación estadística directa con las UFC de SM de la madre ($r = .352$ $p < .001$). **Conclusión:** Se hallo presencia de SM en los niños a edades tempranas, aun sin molares erupcionados. El numero de UFC de SM del niño estuvo en relación al numero de UFC de SM de la madre. Financiamiento: UNNE Res. N°1874/16 - Resol N° 1916/18. Comité de ética: Secretaria Gener

Palabras clave: caries, infectividad, educación

SANGRADO AL CEPILLADO PROFESIONAL: VALIDEZ DIAGNÓSTICA PARA GINGIVITIS EN ADOLESCENTES. ESTUDIO PRELIMINAR

Klemonsks G¹, *Ayala MS¹, Ventura F¹, Klemonsks J², Salgado P^{1,3}, Squassi A^{1,3}.

FOUBA. 1. Cátedra de Odontología Preventiva y Comunitaria. 2. Cátedra de Periodoncia. 3. Instituto de Investigaciones en Salud Pública

Objetivo: estimar la validez del sangrado al cepillado profesional para el diagnóstico gingival en adolescentes. **Métodos:** se realizó un estudio observacional de valoración de prueba diagnóstica de índole exploratorio. Sobre un grupo de 10 adolescentes concurrentes a una escuela de CABA (edad 12-13 años), previo consentimiento informado de sus responsables legales y asentimiento del escolar, un examinador realizó los exámenes clínicos bajo condiciones estandarizadas en sede escolar. Sobre un total de 1068 sitios, se analizaron 1120. 52 sitios (4,6%) se categorizaron como "no aplicable". La prueba diagnóstica a evaluar fue el sangrado al cepillado profesional. Los pasos para obtener el registro del sangrado al sondaje profesional fueron: 1º) revelado de placa con solución doble tono; 2º) 2 enjuagues con agua; (c) cepillado dental, a cargo del profesional, utilizando la técnica de Bass (con cepillo de cerdas de suavidad media, orientado a 45º hacia gingival, con movimientos cortos vibratorios, 10 segundos en cada sextante, con secuencia estandarizada (sector 1 a 6), comenzando por vestibular, repitiendo por palatino/lingual y finalizando por oclusal); y 4º) observación y registro de los sitios con sangrado positivo (4 sitios por diente). El sangrado al sondaje, *gold standar* para el estudio, se realizó con sonda tipo Marquis considerando para el registro 4 sitios por diente. Se calcularon sensibilidad, especificidad, valores predictivos positivo (VPP) y negativo (VPN) para el total de sitios y para los sitios discriminados por cara dentaria; prevalencia de enfermedad y sitios correctamente diagnosticados. **Resultados:** la prevalencia de la enfermedad fue 54,49% (IC95% [51,51- 57,48]). La sensibilidad fue: 56,01% (IC95% [51,98-60,05]). La especificidad fue: 100%. El VPP= 100% y el VPN = 65,50% (IC 95% [62,08-68,92]). La sensibilidad del test por superficie fue: vestibular 46,93% (IC 95% [39, 44- 54,52]), proximal 59,31% (IC 95% [54,33- 64,14]), y palatino/lingual 81,50% (IC 95% [75,41-86,63]). La especificidad en todas las caras fue del 100%. **Conclusión:** en este estudio preliminar el índice de sangrado al cepillado profesional mostró alta especificidad para el diagnóstico gingival. La mayor sensibilidad del test se observó en sitios ubicados en palatino/ lingual. Financiamiento y Comité de Ética: UBACYT 20720160100001BA

Palabras clave: gingivitis, pruebas diagnósticas

Objetivo: Analizar la posible relación entre el consumo de sustancias psicoactivas y azúcares con la salud dental y las percepciones sobre dicho consumo, de jóvenes alojados en los centros socioeducativos del área penal juvenil de la Provincia de Córdoba, Argentina. **Metodología:** Estudio cuanti-cualitativo. Participaron 70 jóvenes ambos sexos, alojados en los centros socioeducativos del Área Penal Juvenil de la Provincia de Córdoba, Argentina. Se realizó examen clínico, a cargo de un único operador, kappa intraexaminador=0.77, en un consultorio de la institución, utilizando material de exploración y sonda periodontal, el proceso de caries, se evaluó según criterios establecidos en Bordoni y col. Se construyó como variable de interés MB+CPOD y se aplicó prueba de comparación múltiple DGC. Los datos fueron procesados con el programa estadístico Infostat 2012. Se realizaron 32 entrevistas con marco pautado (28 V, 4 M) Para el análisis cualitativo se aplicó la Teoría Fundamentada. En todo el estudio se siguió la normativa del Consejo de Organizaciones Internacionales de las Ciencias Médicas. **Resultados:** El DGC mostró efecto significativo del consumo de alcohol, marihuana, cocaína, paco, mix y de azúcar entre comida 2 o más veces diarias sobre MB+CPOD. Los jóvenes en situación de encierro reconocen al consumo de sustancias psicoactivas como práctica no saludable, necesaria para la aceptación del grupo de pares, de inicio temprano y fácil acceso en su contexto de procedencia. Describen los efectos que producen las diferentes sustancias. Asocian al consumo de marihuana el aumento de la frecuencia de consumo de azúcares entre comidas. Refieren consumo social de alcohol y lo asocian con ansiedad y aburrimiento en situación de encierro. Existen actitudes familiares antagónicas ante el consumo de sustancias psicoactivas. **Conclusión:** Los jóvenes del estudio naturalizan el consumo de marihuana, alcohol y tabaco. Si bien reconocen como práctica que afecta a la salud al consumo de sustancias psicoactivas, no reconocen el posible impacto en la salud dental. Incorporan la marihuana en el autocuidado. Asocian cocaína y pastillas a la violencia y peligrosidad y como factor predisponente de conductas delictivas. La ingesta de azúcares entre comida está subordinada al consumo de la sustancia psicoactiva. **Palabras claves:** salud dental, adolescentes, sustancias psicoactivas

Objetivo Las nanopartículas magnéticas (MNPs) están siendo utilizadas en la elaboración de tejidos artificiales. El objetivo del presente trabajo ha sido realizar un control de calidad a través de un modelo *in vivo*, para conocer la biodistribución y biocompatibilidad de un tejido biológico magnético elaborado mediante técnicas de ingeniería tisular. **Métodos** El tejido biológico magnético elaborado a base de un hidrogel de fibrina/agarosa (FAH) conteniendo MNPs, fue implantado en el tejido celular subcutáneo de 5 ratas Wistar macho adultas. Como controles, se implantó en 5 animales solamente FAH. Para el análisis de biodistribución y biocompatibilidad, después de 1 y 12 semanas los animales fueron evaluados mediante estudios de resonancia magnética (MIR), análisis histológicos y de magnetometría. Para los análisis histológicos las muestras de la zona de implante, hígado, riñones, bazo y ganglios linfáticos fueron teñidos con métodos de rutina, el método histoquímico de Perl's (para hierro) y evaluados también con microscopía electrónica de transmisión. **Resultados** La MIR mostró áreas con hiperintensidad en las zonas de implantes del grupo FAH-MNPs a 1 y 12 semanas, pero no se observó presencia de MNPs en los demás órganos analizados. Estos datos se correlacionaron con el análisis histoquímico de Perl's donde se observaron áreas Perl's positivas en las zonas de implantes del grupo FAH-MNPs. Se evidenció a la semana una reacción inflamatoria local en la zona de implante de FAH-MNPs caracterizada por la presencia de macrófagos y un infiltrado linfoplasmocitario, reacción que fue disminuyendo en el transcurso de las 12 semanas. Además, todos los órganos mostraron una histología normal durante las 12 semanas. Estos datos de biocompatibilidad y biodistribución fueron corroborados al análisis con microscopía electrónica de transmisión y magnetometría. **Conclusion.** El control de calidad realizado permitió mostrar que los análisis de MRI e histológicos detectaron que no hay migración de MNPs a otros órganos a 12 semanas. Además tampoco se detectó alteraciones estructurales en los órganos analizados. Por tal motivo, creemos que este tejido artificial podría ser de utilidad para tratamientos locales, como restauración de estructuras dañadas mediante una posible liberación de fármacos a partir de la funcionalización de las MNPs. Financiado por Plan Nacional de Investigación Científica, Desarrollo e Innovación Tecnológica (I+D+I) del Ministerio de Economía y Competitividad (Instituto de Salud Carlos III) FIS P14/0955, P14/1343 and P14/2110 (co-financiado por ERDF-FEDER, EU. Comité de Ética: FIS P14/0955, P14/1343 y P14/2110

Palabras clave: nanopartículas magnéticas, biocompatibilidad, ingeniería tisular.

153

REGULACIÓN DE LA FORMACIÓN ÓSEA EN EL HUESO ALVEOLAR RATAS DIABÉTICAS

*Vazquez MC, Bertinelli MI, Escudero ND, Sánchez LM, Ubios AM, Bozal CB
Cátedra de Histología y Embriología FOUBA.

La diabetes se asocia a disminución de la formación ósea. A través de la expresión de la glicoproteína esclerostina, los osteocitos regulan negativamente la formación ósea por inhibición de la vía de señalización Wnt- β catenina en las células del linaje osteoblástico. El Runx2 es el principal activador transcripcional de la osteogénesis por activación de dicha vía. Previamente observamos que la osteopenia asociada a la diabetes se hace evidente en los maxilares recién a las 24 semanas. Se desconoce hasta el momento si este cuadro se asocia a una alteración del proceso de formación ósea y, de ser así, si la inducción del cuadro hiperglucémico provoca tempranamente cambios en la expresión de SOST en los osteocitos y de Runx2 en células del linaje osteoblástico. **Objetivo:** evaluar parámetros de formación ósea en el hueso alveolar de animales diabéticos luego de 7 días de inducido el cuadro hiperglucémico. **Materiales y Métodos:** 16 ratas Wistar machos de 3 meses de edad, divididas en dos grupos: DG (grupo diabético n=8) y CG (grupo control Sham n=8). DG: única inyección intraperitoneal de 60 mg/kg de peso corporal de estreptozotocina (STZ), CG: volumen equivalente de buffer citrato. Luego de la eutanasia se procesaron histológicamente los maxilares inferiores y se realizaron técnicas inmunohistoquímicas para detectar SOST/esclerostina y Runx2. Evaluaciones histomorfológicas en el hueso interradicular del 1° molar inferior: volumen óseo (BV/TV,%), número de Ot SOST+ (SOST+Ot N/mm²) y número de células osteoblásticas Runx2 positivas (Runx2-C N/mm²: osteoblastos-Obl-, liningcells-LC-). Prueba t de Student, p<0.05. Resultados: En los animales del DG observamos una disminución significativa del BV/TV en relación al CG (42,05 \pm 1,49 vs 48,11 \pm 3,86), con aumento en el SOST+Ot N/mm² acompañado de un incremento en el N/mm Runx2-C+ pero con disminución del Runx2+ Obl% (34,17 \pm 29,18 vs 84,65 \pm 7,01) y aumento en el Runx2+ LC% (65,83 \pm 29,18 vs 15,35 \pm 7,01). **Conclusión:** Nuestros resultados indican que el establecimiento de un cuadro de osteopenia por diabetes en el hueso alveolar tiene una relación directa con la alteración de la diferenciación y función osteoblástica desde los inicios de la inducción de la hiperglucemia. Financiamiento: UBACyT 20020170100377BA Comité de Ética: CICUAL-ODON/FOUBA 007/2017

Palabras clave: diabetes, hueso alveolar, formación ósea

154

PREVALENCIA DE AGENESIA DE TERCEROS MOLARES EN JÓVENES DE SAN MIGUEL DE TUCUMÁN

*Wuscovi LF¹, Brito GN¹, Romero MS¹, Lopez ME², Aragon HN¹.
Facultad de Odontología UNT. 1. Cátedra de Radiología. 2. Cátedra de Química Biológica.

La agenesia dental es la ausencia de al menos un diente porque nunca se formó. La frecuencia de agenesia en terceros molares varía en diferentes poblaciones entre el 14% al 51 %.

Objetivo: Determinar la prevalencia de agenesia de terceros molares en jóvenes de ambos sexos de la ciudad de San miguel de Tucumán.

Métodos: Se seleccionaron 78 pacientes mayores de 12 años de edad (x=21,58) que acudieron al Servicio de Diagnóstico por Imágenes de FOUNT. A cada paciente le fueron realizadas radiografías panorámicas con equipo marca FONA XPan 3D (Italia). Se excluyeron los pacientes con historia clínica de extracción de terceros molares y tratamiento de ortodoncia a algún síndrome craneofacial, como también las radiografías con déficit de calidad de imagen. El consentimiento informado se obtuvo de cada paciente, previa aprobación del protocolo de trabajo por el Comité de Ética de la Facultad de Odontología-UNT.

Resultados: Las agencias de terceros molares fueron de un 33,3%, siendo el número mayor en mujeres (21,8%) que en varones (11,5%). Del total de agencias de terceros molares, el 20,5% presentaba 2 ó más agencias de terceros molares, mientras que el 12,8 % presentaba ausencia de un solo tercer molar. Los elementos dentarios afectados por la anomalía eran: 18 (29,4%), 48 (25,5%), 38 (25,5%) y 28 (19,6%).

Conclusiones: La agenesia de terceros molares fue más frecuente en mujeres y en su mayoría fueron más de 2, por lo que sería conveniente investigar los otros terceros molares en caso de descubrir una agenesia. Parcialmente subsidiado por el CIUNT. Comité de Ética Exp. N° 88751-18

Palabras clave: Diagnostico radiográfico / prevalencia agencias/ terceros molares

155**EFECTO DEL PAMIDRONATO Y ALENDRONATO EN LA REPARACIÓN ÓSEA****PERI-IMPLANTE. ESTUDIO RADIOGRÁFICO E HISTOMORFOMÉTRICO***Brunengo RI¹, Virga MC¹, Renou SJ²

1. Cátedra de Farmacología, Facultad de Odontología, UNC. 2. Cátedra de Anatomía Patológica, Facultad de Odontología, UBA

La oseointegración puede ser modificada por factores locales y sistémicos. Hemos demostrado que la administración de alendronato (AL) y/o pamidronato (PA) no altera la reparación ósea peri-implantaria a los 15 y 30 días post-implantación. **Objetivo:** Evaluar histomorfométricamente y por radiovisiógrafo (RVG) el efecto del AL y PA sobre la interfaz implante-tejido óseo a los 60 y 90 días post-implantación. **Métodos:** 24 ratas Wistar-180g fueron implantadas con implantes Ti. Se dividieron en tres grupos, semanalmente a c/u se le administró en forma subcutánea: Solución Fisiológica 0.3ml/100gr (**Grupo SF**), PA 06mg/kg (**grupo PA**) y AL 05mg/kg (**grupo AL**). Se practicó la eutanasia, 60 y 90 días post-implantación, se resecaron las tibias. Se obtuvieron imágenes mediante RVG, se incluyeron en resina acrílica. Se evaluó histomorfométricamente área (aBIC) y porcentaje (%BIC) de tejido óseo en contacto con el biomaterial. Se determinó distancia radial (**DR**) y diferencia de intensidad (DI) en la zona radio-opaca en relación al implante, por RVG. Análisis de datos test t de Student y ANOVA ($p < 0.05$). **Resultados:** se evidenció tejido óseo laminar en los tres grupos a 60 y 90 días. En relación al **aBIC**, en el grupo PA el mayor área de tejido óseo se evidenció a los 60 días y en el grupo AL a los 90 días (60 vs 90 días: SF 74649±490/94318±11232; PA 93096±8158/90020±1138; AL 66574±1434/ 156561±10115 las diferencias entre días y grupos fue estadísticamente significativa $p < 0.05$. En relación al **%BIC**, no hubo diferencias estadísticamente significativas entre grupos y días 60 vs 90 días (SF 19±3 vs 29±3; PA 25±4 vs 27±2 y AL 26±7 27±4 $p < 0.05$). En relación a RVG la DI en el grupo AL registró niveles superiores al grupo PA y SF a los 60 (SF 5.7, AL 6.71 y PA 10.21) y 90 días (SF 3.35, AL 6.45 y PA 8.22). En relación a **DR** el grupo AL mostró valores superiores en ambos tiempos experimentales (60 (SF0.65, PA0.73 y AL1.08) y 90 días (SF0.41, PA0.76 y AL0.81). **Conclusión:** El AL produjo un incremento en el aBIC corroborado por histomorfometría y RVG, sin aumentar el %BIC. Podemos concluir que la utilización de RVG en los controles mediatos e inmediatos post-implantación, permitiría evaluar la presencia del tejido óseo peri-implantario y evidenciar cambios producidos por las drogas en estudio.

Palabras claves: oseointegración, bisfosfonatos, implante dental.**156****ACTIVIDAD HUESO-ESPECÍFICA DEL MECANOSTATO EN UN MODELO DE ESTRÉS NUTRICIONAL. ESTUDIO PRELIMINAR***Lezón C, Agüero Romero A, Pintos P, Champin G, Bozzini C, Boyer P.
Cátedra de Fisiología FOUBA

Existe evidencia de actividad diferencial osteoblástica y osteoclástica según el sitio esquelético, resultado de diferencias en el origen embriológico, las poblaciones de células precursoras, el microambiente local, el patrón de osificación y en la velocidad de formación-resorción óseas. Esto determinará un patrón de remodelado óseo con diferente composición de la matriz responsable de conferirle al hueso propiedades mecánicas diferentes según las demandas impuestas por la función. Si bien es conocida la participación del sistema nervioso simpático y de los receptores β_2 -adrenérgicos en el proceso del remodelado óseo y control biomecánico de la eficiencia estructural, existen resultados controversiales respecto de la acción de los α -adrenoceptores. **Objetivos:** Evaluar la existencia de una respuesta mecánica diferencial en el fémur y en la mandíbula, huesos con heterogeneidad en el remodelado óseo a través de la participación de α -adrenoceptores en el control del mecanostato óseo en un modelo animal de estrés nutricional (RCCN). **Métodos:** Ratas macho Wistar de 21 días se dividieron en Control (C), C+P (propranolol) (CP), C+FE (fenilefrina) (CFE), RCCN, RCCN + P (RCCNP), RCCN+FE (RCCNFE). C con/sin FE ó P fueron alimentados *ad libitum*; RCCN con/sin FE ó P recibieron un 80% de la dieta de C durante 4 semanas (T4). Durante el tiempo experimental, FE 4 mg/Kg/día se administró ip en CFE y RCCNFE; P 7mg/Kg/día ip, en CP y RCCNP. A T4, se autopsiaron los animales y se evaluaron la carga de fractura, la carga elástica límite y la rigidez femoral y mandibular mediante un test de flexión a tres puntos (Instron 4442). Los resultados se analizaron por ANOVA y Student-Neuman-Keuls. **Resultados:** El crecimiento corporal, óseo y la competencia mecánica del fémur y de la mandíbula fueron negativamente afectados en RCCN vs C ($p < 0.001$). P y FE no modificaron los parámetros morfo-antropométricos ($p > 0.05$), pero si adecuaron la competencia mecánica femoral, sin cambios a nivel mandibular en RCCN con FE. **Conclusiones:** Los resultados evidencian una respuesta mecánica diferencial entre el fémur y la mandíbula relativa a la participación de α -adrenoceptores, la que podría ser el resultado de una capacidad de formación-resorción ósea-hueso específica en el contexto del mecanostato óseo. Financiamiento: UBACyT 20020170100001BA

Palabras clave: rigidez ósea, adrenoceptores, desnutrición

EFFECTO DE LA SUBMANDIBULECTOMÍA EN TIEMPOS FINALES DE LA REPARACIÓN ÓSEA POST-EXODONCIA

*Troncoso GR¹, Steimetz T², Conti MI¹, Fernandez-Solari J^{1,3}, Elverdin JC¹, Mohn CE^{1,3}.
FOUBA. 1. Cátedra de Fisiología. 2. Cátedra de Anatomía Patológica. 3. CONICET

En estudios previos demostramos que la falta de glándulas submandibulares (GSM) en rata genera un incremento de la densidad ósea y de las propiedades biomecánicas del hueso alveolar post-exodoncia, independientemente de la actividad masticatoria y consistencia de la dieta. **Objetivo:** estudiar el efecto de la falta de GSM en la reparación del hueso alveolar a los 30 días post-exodoncia en ratas alimentadas con dieta blanda. **Métodos:** Se utilizaron 20 ratas Wistar macho de 21 días, alimentadas con pellet remojado en agua. Se distribuyeron en Grupo Control (GC) (n 10) y Grupo SMx (GSMx) (n 10) a las que se les realizó la submandibulectomía (SMx) bilateral. A los 7 días post-SMx, a ambos grupos se les realizó la exodoncia bilateral del primer molar inferior. A los 30 días post-exodoncia se practicó la eutanasia, siguiendo las normas del CICUAL-FOUBA. Se obtuvieron muestras del tejido que ocupa el alvéolo de una hemimandíbula para la determinación por RT-PCR de los niveles de expresión de los mensajeros (ARNm) de OPG, RANK y RANKL. La hemimandíbula contralateral fue procesada para el estudio histológico e histomorfométrico a nivel del tercio apical del alveolo, determinando el Volumen Trabecular Óseo (B.Ar/T.Ar), Superficies Osteoblásticas (Ob.Pm), Superficies Erosivas (E.Pm) y Superficies Quiescentes (Q.Pm). Los datos fueron analizados con el t-test de Mann-Witney ($p < 0.05$). **Resultados:** Se observó un aumento en B.Ar/T.Ar ($34,8 \pm 3,3$ vs $58,4 \pm 4,9$; $p < 0.01$) y en Ob.Pm ($25,3 \pm 1,8$ vs $34,5 \pm 2,6$; $p < 0.05$) en el GSMx respecto a GC. Asimismo, hubo una disminución en E.Pm en el GSMx ($p < 0.01$) respecto al GC. No se observaron diferencias significativas en Q.Pm entre los grupos. La expresión de ARNm para OPG fue similar en ambos grupos, RANKL fue mayor en GC en cambio RANK se vió aumentado en GSMx. **Conclusión:** Las GSM poseen una función reguladora que altera la biología ósea del alvéolo post-exodoncia. El mayor volumen óseo evidenciado, tanto bioquímica como histomorfométricamente en los animales del grupo SMx a los 30 días, podría deberse al desbalance entre la formación y reabsorción. Estudios futuros podrían dilucidar el efecto de la submandibulectomía en los mecanismos reguladores del remodelado óseo. Financiamiento: CONICET-PIP 045/2015-2017 y UBACyT 2014-2017/0010BA. Comité de Ética: N° 018/14 COMISION DE ETICA FOUBA

Palabras clave: submandibulectomía, reparación ósea, remodelado óseo, OPG, RANK, RANKL

DIAGNÓSTICO DE ENFERMEDAD PERIODONTAL EN PACIENTES QUE CONCURREN A LA CÁTEDRA DE PERIODONCIA DE LA FOUNR MEDIANTE UN ESTUDIO CLÍNICO SIMPLIFICADO

*Pedrol S, Viani MS, Decco J, Boccio I, Dulong I, Rajmil A, Basaldella N, Radica M, Feser G, Funosas E.
Facultad de Odontología UNR

Objetivo: Evaluar la eficiencia y la sensibilidad diagnóstica entre un examen clínico de medición de variables periodontales en forma simplificada cuando se lo compara con los diseños de mediciones de variables periodontales clásicos.

Métodos: Se tomaron 50 pacientes con enfermedad periodontal derivados del servicio de diagnóstico a la Cátedra de Periodoncia de la Facultad de Odontología UNR. La muestra estuvo conformada por 41% de varones y el 59% mujeres con una edad media de 55 años ($DE \pm 6,23$) sin diferencias entre las edades de ambos géneros. Las variables periodontales estudiadas fueron: Profundidad de Sondaje (PS), Nivel de Inserción (NI), Índice de Placa (IP) y Hemorragia al sondaje (HS). Las mediciones clínicas fueron tomadas por examinadores previamente calibrados. Cada paciente fue estudiado en primer lugar con una evaluación periodontal convencional (EPC), la que tomó todas las piezas dentarias a excepción de los terceros molares y en cuatro puntos sobre cada diente: mesial, distal, vestibular y palatina o lingual. Posteriormente se repitieron las mediciones de las variables periodontales pero utilizando el diseño simplificado de evaluación clínica (EPS). El mismo consistió en recolectar idénticas variables periodontales pero solamente en dos puntos de cada pieza dentaria: mesio vestibular y distovestibular. Los datos fueron analizados por un test T de Student fijando el valor de p con un error menor al 5% para obtener significación estadística.

Resultados: El tiempo empleado para realizar las mediciones fue 21,13 ($DE \pm 3,09$) minutos para EPC y 9,87 ($DE \pm 1,73$) minutos para EPS. En referencia a la capacidad de diagnóstico y sensibilidad periodontal se demostró una correlación satisfactoria entre ambos métodos ($R = 0,9529$).

Conclusión: EPC y EPS no arrojaron diferencias significativas en la determinación del diagnóstico clínico periodontal. EPS permite evaluar mayor cantidad de pacientes por unidad de tiempo, lo que podría ser útil en estudios epidemiológicos que involucren cantidades numerosas de pacientes. Comité de Ética: 17552/270

Palabras clave: enfermedad periodontal, epidemiología, sondaje periodontal.

159

PREVALENCIA DEL HÁBITO DE FUMAR Y EXPOSICIÓN SECUNDARIA AL HUMO DE TABACO EN ESTUDIANTES DE ODONTOLÓGIA DE ROSARIO

*González Riaño E, Radica E, Barros A, Antuña MV, Quintero A, Bello D, Grimoldi C, Mucci F, Ravenna N, Feser G, Funosas E.
Facultad de Odontología UNR

Objetivos: Analizar la prevalencia del hábito de fumar, la exposición al humo ambiental y la evolución del consumo de tabaco en referencia a la iniciación y/o la progresión en un tiempo determinado de una población de estudiantes universitarios correspondientes a la carrera de Odontología en la ciudad de Rosario.

Métodos: Se realizó un estudio de corte transversal sobre una muestra por conveniencia conformada por alumnos de cuarto año de la carrera de odontología de la Universidad Nacional de Rosario, Argentina. Mediante cuestionarios autoadministrados cerrados se tomaron registros de comportamiento a 1654 alumnos durante el lapso comprendido entre 2001 a 2017. Para el análisis de asociación se realizó un test de Chi Cuadrado, fijando el nivel de significancia estadística con un valor de $p < 0.05$.

Resultados: El grupo muestral tuvo una media de edad de 24.7 años (IC95% 21.57-27.78) variando levemente en los no fumadores (NF), fumadores pasivos (FP) y fumadores activos (FA) pero sin diferencias significativas. Del total, 1154 alumnos resultaron no fumadores y 500 fumadores. La población se encontró conformada por 60% (n=1002) de mujeres y 40% (n=652) de varones. En cuanto a la prevalencia del hábito de fumar, durante el primer año del estudio la variable se comporto de la siguiente manera: NF 21%, FA 38,5% y FP 40,5%. Dieciséis años después la distribución fue la siguiente: NF 45,63%, FA 19,42% y FP 34.95%.

Conclusión: Se observa una alta variabilidad en la conducta con respecto al contacto activo y pasivo al humo de tabaco en ambos sexos. En este grupo poblacional específico se observa una disminución en la prevalencia del hábito de fumar y un aumento de la prevalencia de fumadores pasivos respecto al inicio del estudio. Comité de Ética: 17552/269

Palabras clave: fumador pasivo, epidemiología, hábito de fumar.

160

EFFECTO DEL ZOLEDRONATO SOBRE LA PÉRDIDA ÓSEA EN UN MODELO DE PERIODONTITIS EXPERIMENTAL

*Bernardis CA, Becker FL, Bárcenas CA, Pulitano Manisagian GE, Mandalunis P.
Cátedra de Histología y Embriología FOUBA

La periodontitis es un cuadro infeccioso e inflamatorio que conlleva al reclutamiento osteoclástico y pérdida ósea. Siendo el zoledronato un bisfosfonato de última generación con alta potencia en inhibir el reclutamiento osteoclástico, ha sido de interés evaluar su efectividad en la pérdida ósea inducida por periodontitis, por lo cual el **objetivo** del presente trabajo fue estudiar el efecto preventivo de la topicación con zoledronato (Zol) en un modelo periodontitis experimental (PE). **Métodos:** Se utilizaron 15 ratas Wistar macho de 2 meses de edad que se dividieron en dos grupos: PE (n=7) y PE+Zol (n=8). La PE se indujo mediante ligadura de hilo de algodón a nivel del cuello dentario del primer molar inferior izquierdo. El grupo PE+Zol se topicó con 100 ul de Zol (0.8 mg/ml) y el grupo PE con 100 ul de solución fisiológica, la topicación se realizó diariamente durante 4 días. El molar derecho se utilizó como control absoluto. Al 5to día los animales fueron eutanasiados, se extrajeron los maxilares inferiores y se procesaron para la obtención de cortes histológicos del primer molar inferior con orientación mesio-distal. Los cortes se colorearon con H&E y, en la mitad superior del hueso interradicular, se evaluaron los siguientes parámetros histomorfométricos: Pérdida ósea apareada con molar contralateral (%), área de vasos sanguíneos (%) y número de restos epiteliales de Malassez (REMs/mm). Los datos obtenidos se analizaron mediante Student-t. **Resultados:** Analizando los resultados de la pérdida inducida por periodontitis en relación a su propio control (molar contralateral) se observó que el Zol inhibe parcialmente la pérdida ósea (Grupo PE % de pérdida: 48.9 ± 6.33 , Grupo PE+Zol % de pérdida 33.5 ± 13 , $p < 0.05$). En el grupo tratado con Zol se observó un aumento de REMs/mm (Grupo PE 4.94 ± 2.82 y grupo PE+Zol 9.35 ± 3.92 , $p < 0.05$), y cambios morfológicos en los osteoclastos. No se detectaron cambios en relación al área ocupada por los vasos sanguíneos.

Conclusión: En el presente diseño experimental el zoledronato previene parcialmente la pérdida inducida por la periodontitis experimental. Estudios en concentraciones más altas de Zol serán necesarios para evaluar una efectividad mayor, como así también para profundizar sobre la repuesta de los REMs a dicha droga. Financiamiento: UBACyT 20020160100034BA. Comité de Ética: 012/2016 CICUAL-ODONTO-FOUBA

Palabras clave: periodontitis experimental, zoledronato, histomorfometría ósea

161

ESTUDIO LONGITUDINAL DE PACIENTES CON REABSORCIÓN ÓSEA SEVERA SIN INJERTO CON IMPLANTES EN ZONA POSTERIOR DEL MAXILAR SUPERIOR (16 AÑOS)

*Filsinger AJ¹, Brunotto M².

Facultad de Odontología UNC. 1. Cátedra de Prostodoncia III B. 2. Cátedra de Biología A.

El **objetivo** de este trabajo fue evaluar la frecuencia de fracasos de Implantes Oseointegrados en la Zona Posterior del Maxilar Superior en Pacientes con Reabsorción Ósea Severa sin Injerto a 16 años de instalados. **Material y Métodos.** Se realizó un estudio longitudinal de 50 pacientes (22 hombres-28 mujeres) con rango de edad de 33 a 71 años. Se realizaron un total de 119 implantes en área de premolar-molar de maxilares superiores severamente reabsorbidos. En una primera etapa quirúrgica, los implantes fueron colocados paralelos a la pared anterior del seno para nasal (A; n=36), en la curvatura del paladar inclinados en forma similar a la raíz palatina del primer molar superior (P; n=33), en la tuberosidad del maxilar superior próxima a la pared posterior del seno paranasal (T;n=37) y en la lámina vertical del paladar (V; n=13), dependiendo del hueso disponible. La instalación de los implantes fue llevada a cabo según el protocolo "ad modum Brånemark". En 2ª etapa quirúrgica (6 meses) se realizó la conexión transmucosa de las fijaciones oseointegradas instaladas. El tratamiento protético fue comenzado en todos los pacientes a las 3 semanas después de la conexión transmucosa. **Resultados:** 3 implantes fracasados en 3 pacientes al momento de la conexión transmucosa (2,90%). En cuanto a la calidad de hueso que se observó en la mayoría de los pacientes prevaleció (54,82%) el tipo III. Además se observó que en los sitios A y T la mayoría de los implantes (56,22%) eran de 15 mm en cuanto a su longitud mientras que en el sitio V el 52,47% de los implantes realizados eran de 18 mm. **Conclusión.** El método descrito para el tratamiento de arcos edéntulos sigue representando una alternativa terapéutica de tratamiento entre otras que se aplican para solucionar esta problemática. Este procedimiento quirúrgico mínimamente invasivo sin injerto óseo podría ser aplicado en pacientes ambulatorios para el tratamiento de las porciones posteriores de los arcos maxilares superiores severamente reabsorbidos con el objeto de rehabilitar con prótesis fija implanto soportada.

Palabras clave: reabsorción ósea severa, implantes dentales, maxilar superior, implantes inclinados.

162

REGENERACIÓN ÓSEA HORIZONTAL Y VERTICAL CON COLOCACIÓN DE IMPLANTES EN ZONA ESTÉTICA

D'Itria JA, *Cagnolo PN, Mariani DA, Brenna EM, Dominguez JI.
Asociación Civil Odontológica Córdoba

Objetivos: Comparar que el manejo quirúrgico de tejidos gingivales y óseos con técnicas regenerativas permite la recuperación de las estructuras anatómicas perdidas, logrando el éxito clínico y estético en relación a los abordajes sin técnicas regenerativas. **Materiales y métodos:** Paciente 1, desdentado en sector anterior con defecto óseo horizontal y vertical. Línea de la sonrisa alta y biotipo gingival fino, con alto riesgo estético. Tratamiento: Cirugía única, colocación de 2 implantes según disponibilidad ósea sin técnicas regenerativas, con compensación del defecto mediante la supraestructura protética. Paciente 2, con pérdida del elemento 11 con un gran defecto óseo horizontal y vertical, pérdida del NIC del elemento 12, línea de la sonrisa alta y biotipo gingival fino, con alto riesgo estético. Tratamiento: *Primera cirugía:* extracción del elemento 12, regeneración ósea (RO) con injerto autólogo en bloque, de sínfisis mentoniana, xenoinjerto de hueso bovino particulado y membrana no reabsorbible reforzada con titanio. *Segunda cirugía:* retiro de membrana con colocación 2 implantes Straumann BL, con RO xenoinjerto, malla de titanio fijada con tornillos y membrana de colágeno reabsorbible. *Tercera cirugía:* retiro de la malla de titanio, carga de implantes e injerto de tejido conectivo autólogo. *Cuarta cirugía:* segundo injerto de tejido conectivo autólogo. **Resultados:** Paciente 1: se evidencian signos de reabsorción ósea a nivel tomográfico con complicaciones en cuanto al éxito clínico y biológico. Paciente 2: no se evidencian signos de reabsorción ósea a nivel tomográfico ni complicaciones en cuanto al éxito clínico y biológico. **Discusión:** La confrontación de 2 casos similares desde el diagnóstico de sitio, el biotipo y la sonrisa resueltos mediante 2 abordajes diferentes nos pone en evidencia que la ausencia de cirugías múltiples, secuenciales y pertinentes de los tejidos perimplantarios para el logro de restauraciones biomiméticas resulta controversial. **Conclusión:** La estética constituye un factor de éxito de suma importancia, es por ello que la evaluación de los factores de riesgo estético es fundamental a la hora de planificar un tratamiento. En muchos casos, la implementación de RO y manejo de tejidos blandos resultan los ejes principales para el logro de estos objetivos.

Palabras clave: regeneración ósea guiada, injerto en bloque, implante, manejo de tejidos blandos, injerto de tejidos

163

DIFERENTES CARACTERÍSTICAS DE LAS RUGOSIDADES Y POROSIDAD DE LA SUPERFICIE DEL IMPLANTE SEGÚN EL ÁREA TOPOGRÁFICA

*Dantur A¹, Grenón M¹, Oliva F².

1. Cátedra de Periodoncia, Facultad de Odontología UNC. 2. Procesos electroquímicos en interfaces. INFIQC, Facultad de Ciencias Químicas UNC

Objetivos: El propósito de este trabajo es realizar un estudio exhaustivo de las características topográficas de las diferentes áreas topográficas: flanco, valle y tope, de cuatro superficies de implantes dentarios.

Material y Métodos: Los implantes se dividieron de acuerdo al tratamiento de la superficie en cuatro grupos: Grupo1: Superficie Osseotite, Grupo2: superficie SLA, Grupo3: Superficie Oxalife, Grupo4: Implantes superficie grabado ácido y proyección de partículas. Se analizaron las características de los implantes según los distintos grados de rugosidad, el número y diámetro de los poros por área o unidad por mm/ μm^2 , en las zonas por medio de microscopía Confocal (Laboratorio de Microscopía Electrónica, Lamarx, FamAF, U.N.C). Los datos se analizan por el método estadístico de ANOVA-Kruskal-Wallis.

Resultados: Se analizaron cuantitativamente los datos estadísticos. El diámetro de los poros se calculó en micrones poros/ μm^2 , la distribución en el Flanco es Grupo 3 (1353 μm^2 +/-1029) seguido por el Grupo 4(11 μm^2 +/-16) Grupo 2 (1,31 μm^2 +/-0,74); Grupo 1(1,11 μm^2 +/-0,77) y el diámetro mayor Grupo 2 y3 son diferentes y estadísticamente significativas ($p < 0,0001$) En el Valle, la distribución de los poros por área es Grupo 4(3423 μm^2 +/-4365) seguido por el Grupo 3(2435 μm^2 +/-1659,6) Grupo 2 (2094 μm^2 +/-1319); Grupo 1 (993 μm^2 +/-1081) El diámetro menor el Grupo 1 y 3 son diferentes y son estadísticamente significativos ($p < 0,0001$). El grado de rugosidad Ra fue observado en Flanco Grupo 4 Ra 2.963 μm ISO4287) seguido Grupo 1 Ra 1.382 μm , Grupo2 Ra1312 μm , Grupo 3 Ra1.227 μm . En el Valle el grado de rugosidad es Grupo 3 Ra 2.962 μm seguido Grupo2 Ra 2.221 μm , Grupo 4 Ra1.132 μm y Grupo 1 Ra 0,735 μm

Conclusión: Los diferentes tratamientos físico-químicos sobre la superficie de los implantes de titanio cambian las características de su superficie según el área topográfica.

Palabras clave: superficie del implante dental, características topográficas, titanio

164

TRATAMIENTO HEMOSTÁTICO LOCAL EN EXODONCIAS REALIZADAS EN PACIENTES PORTADORES DE ENFERMEDAD DE VON WILLEBRAND TIPO 1

*Parreira M¹, Sanchez Luceros A², Gualtieri A³, Puia S¹.

FOUBA. 1. Cátedra de Cirugía y Traumatología Bucomaxilofacial I. 2. Departamento de Hemostasia y Trombosis del IHEMA, Academia Nacional de Medicina. 3. Cátedra de Biofísica.

Objetivos: La enfermedad de von Willebrand (VWD) es la patología hemorrágica hereditaria autosómica más frecuente. Causa sangrado significativo en aproximadamente 1 de cada 1000 sujetos, aunque su prevalencia ha sido estimada entre 1% hasta 1 en 10000. El tipo 1 de esta enfermedad, que representa su forma más frecuente con un 80% de los casos, habitualmente es detectado cuando el paciente es sometido a un trauma, siendo la extracción dentaria considerada como una práctica traumática que evidencia dicha patología. El objetivo de esta presentación es el de evaluar la efectividad de un tapón hemostático de acción local (Subgalato de Bismuto) en pacientes portadores de VWD tipo 1. **Materiales y Métodos:**

Fueron incluidos 60 pacientes de ambos sexos, con diagnóstico de VWD tipo 1, con una edad promedio de 39 años (rango 11 - 86) que requerían extracciones dentarias. La técnica quirúrgica utilizada fue minuciosa y delicada para evitar traumatismos innecesarios. El tapón hemostático local que se utilizó rellenando los alveolos dentarios postextracción fue en todos los casos Subgalato de Bismuto. Se realizaron suturas simples postquirúrgicas y entregaron indicaciones de cuidados en todos los procedimientos. No se realizaron tratamientos hemostáticos sistémicos. Se efectuaron controles postoperatorios a las 24, 48 horas y a los 7 días posteriores a los actos quirúrgicos efectuados. Se evaluó en todos los casos la presencia de sangrado postoperatorio utilizando un índice previamente descripto. **Resultados:** Después de 24 y 48 hs del acto quirúrgico, se registró sangrado en 2 intervenciones (3%; IC95: 1% a 11%); en los 58 restantes no hubo sangrado (97%; IC95: 89% a 99%); esta diferencia fue significativa (Chi-cuadrado=52,27; gl=1; $p < 0,05$). Después de 72 hs del acto quirúrgico, para ninguna de las intervenciones se registró sangrado (0%; IC95: 0% a 6%). **Conclusiones:** El Subgalato de Bismuto como hemostático de acción local junto con la técnica quirúrgica descripta parecerían efectivos para evitar el sangrado post extracciones dentarias en pacientes con VWD tipo 1.

Palabras clave: exodoncia- hemostasia local- enfermedad de von Willebrand tipo 1

165

COMPARACIÓN DE LAS DIMENSIONES DE LA MEMBRANA SCHNEIDERIAN USANDO TOMOGRAFÍA COMPUTADA

*González Althaparro CM, Monqaut JL, Sezin M, González Althaparro FC, Marengo HA, Ibañez JC
Círculo Odontológico de Córdoba, Facultad de Ciencias de la Salud, UCC.

Objetivo: Analizar el espesor de la mucosa del seno maxilar antes y después de realizar la elevación del piso de seno maxilar de pacientes parcial y totalmente edéntulos en el sector posterior usando tomografía computada de haz cónico.

Método: Se usaron para este estudio un total de 62 tomografías computadas de haz cónico pre y posoperatorias para medir el espesor de las membranas sinusales. Las medidas se tomaron en el plano sagital y coronal perpendiculares a la mucosa sinusal. (Imágenes MPR y 3D de maxilares) en el pre y post-operatorio. El software usado fue CS 3D imaging. Las imágenes se tomaron en el periodo correspondiente al cursado de la Carrera en Implantología Oral. Se excluyeron todas aquellas imágenes que no pudieron ser analizadas en los tres planos del espacio y en los casos donde se observó elevación de piso de seno maxilar con la colocación de implantes inmediato. Se realizó un análisis retrospectivo de tomografías computadas de haz cónico y se contrastó los grupos ya mencionados con prueba de Wilcoxon para muestras relacionadas y las variables dimensión del injerto; cuadrante, situación dentaria, edad y género con análisis multivariado, fijando el nivel de significación estadística $p < 0,05$.

Resultados: Se confirmó una gran variabilidad de los espesores de la membrana sinusal, tanto en el pre-operatorio como en su post-operatorio. Se observó que los valores medios en milímetros obtenidos en el pre-operatorio fueron 1,45, si bien son mayores a los del postoperatorio (1,12); las medianas para dichos grupos demostraron que los valores del espesor de las membranas son más atípicos y más extremos en el pre operatorio (0,79) que en los del postoperatorio (0,94) que son más normales y uniformes.

Conclusión: Se mostró una ausencia de cambios significativos en las dimensiones de la mucosa sinusal en el pre y postoperatorio de las imágenes tomográficas, destacando que se evidencia una gran variabilidad interindividual, también mencionada por la mayoría de los autores consultados.

Palabras clave: Tomografía computada de haz cónico, seno maxilar, espesor de la mucosa sinusal, elevación de piso seno

166

EVALUACIÓN DE BIOMATERIAL PARA REGENERACIÓN ÓSEA UTILIZANDO TOMOGRAFÍA COMPUTADA CONE BEAM

*Moreno García MF^{1,2}, Manavella G², Martín A³, Pastorino N², Shemberger V², Feldman S⁴, Missana L1,².
1. PROIMI-CONICET. 2. Facultad de Odontología UNT. 3. Carrera de Veterinaria. Facultad de Agronomía y Zootecnia UNT. 4. LABOATEM-CONICET UNR

El **objetivo** del presente trabajo fue evaluar en un modelo de defecto óseo crítico en calota de conejos, la capacidad regeneradora ósea de un nuevo sustituto óseo (RegeBone-INPI 201401011801) desarrollado por nuestro equipo, utilizando estudios tomográficos (CBCT). Se ha demostrado limitaciones y baja resolución de radiográficas convencionales, permitiendo confirmar un 50% de formación ósea. Sin embargo, la tomografía Cone Beam (CBCT) logra un análisis preciso del tejido óseo, con mayor sensibilidad y especificidad.

Métodos. 20 conejos neozelandeses, de 6 meses de edad, 3,5 kg \pm 500 gr., fueron premedicados (Acepromacina 1 mg/Kg) y anestesiados (Ketamina 35 mg/kg). Se les realizó incisión central, colgajo muco-perióstico y defecto óseo en calota de 15 mm diámetro. Se dividieron en grupo control (GC) sin tratamiento y experimental (GE) con RegeBone. Los animales fueron eutanasiados a 45 y 90 días. Se realizó diagnóstico por imágenes, con tomógrafo computado Cone Beam (CBCT) XG Sirona, Tiempo de exposición 14", 83 Kv y 8 Ma, y ventana de 0,8 cm. Las muestras fueron analizadas en cortes de 1mm de espesor, para luego adaptarlas logrando una reconstrucción multiplanar. Aprobación CICUAL-UNT. Res 23/2017. El tratamiento estadístico se realizó a través de la prueba de Kruskal Wallis (Minitab 17).

Resultados. En el GC se demostró 17% a 45 días y 22 % a 90 días, de radiopacidad. El GE demostró 45 % a 45 días y 71 % a 90 días, de radiopacidad. Se comprobó diferencias significativas entre grupos, en ambos periodos de tiempo analizados ($p > 0,05$ a 45 días y 90 días).

Conclusión. La CBCT permitió demostrar capacidad regenerativa de RegeBone, en defectos óseos críticos de calota de conejo. Se realizarán estudios anatomo-patológicos para confirmar los resultados obtenidos. Financiamiento: PDTs N° 12. Comité de Ética: 23/2017

Palabras clave: biomaterial, regeneración, CBCT

167

ESTUDIO DE LAS VARIANTES ANATÓMICAS EN EL CONDUCTO INCISIVO, MEDIANTE TOMOGRAFÍA DE HAZ CÓNICO, EN PACIENTES EDÉNTULOS

*Nart L, Antoniuk AV, Estevez ANE, Moyano WE, Vazquez DJ, Pujol MH, Calvo S, Sanchis S, Hecht P.
Cátedra de Diagnostico por Imágenes FOUBA

Objetivo: Determinar las variantes anatómicas producidas en el conducto incisivo y las corticales superior, inferior, externa e interna en pacientes edéntulos con respecto a pacientes dentados en tomografía computada.

Método: Se estudiaron 50 tomografías en pacientes edéntulos y 50 en pacientes dentados de ambos sexos desde los 38 hasta los 81 años. Realizadas las adquisiciones se editaron en la estación de trabajo a partir del corte panorex. En esta se establecieron puntos de control a 3 milímetros de ambos agujeros mentonianos donde se generaron los cortes oblicuos. En cada corte se realizaron una medición en altura y otra en ancho del conducto. También se determinó la posición del conducto mediante la realización de 4 mediciones. La primera vertical superior hasta la cortical de la cresta, la segunda vertical inferior hasta la cortical de la basal, la tercera horizontal interna hasta la cortical lingual y la cuarta horizontal externa hasta la cortical vestibular. **Resultados:** En los pacientes edéntulos en promedio el alto del conducto midió 1,089 mm y el ancho 1,42 mm. La distancia entre el conducto incisivo con la cortical superior midió 7,07mm, con la inferior 5,76 mm, con la vestibular 2,81 mm y con la lingual 3,94 mm. Se observó que en el 22% de la muestra no se encontró el conducto incisivo. En los pacientes dentados, en promedio, el alto del conducto midió 1,42 mm y el ancho 1,16 mm, con la cortical superior midió 14,64 mm, con la inferior 7,51 mm, con la vestibular 4,09 mm y con la lingual 3,36 mm. Se estableció que en el 16% de la muestra no se halló el conducto incisivo. Se realizó el test anova factorial completo y se hallaron diferencias significativas entre pacientes dentados y edéntulos tanto en la medición del conducto como en la medición de la distancia a las corticales a nivel ($p < 0,01$). **Conclusiones:** Se pudo comprobar mayor reabsorción ósea en los pacientes edéntulos entre el conducto incisivo y las corticales superior y vestibular con respecto a los pacientes dentados presentando el conducto un menor calibre e incluso llegando a desaparecer. Estos datos son de importancia para la planificación quirúrgica para los tratamientos reabilitadores implanto-asistidos.

Palabras clave: conducto incisivo, tomografía computada, pacientes edéntulos, reabsorción

168

EVALUACIÓN DE LA INCIDENCIA DE LA POSICIÓN DE LA ARTERIA ALVEOLAR EN LA REABSORCIÓN ÓSEA, MEDIANTE TOMOGRAFÍA DE HAZ CÓNICO

*Nart L, Megy F, Estevez ANE, Rodriguez Orsero L, Vazquez DJ, Pujol MH, Hecht P.
Cátedra de Diagnostico por Imágenes FOUBA

Objetivo: determinar si la posición de la arteria alveolar hallada en el seno maxilar tiene relación con la pérdida ósea, estudiadas en tomografía computada de haz cónico. **Método:** Se estudiaron 82 tomografías en pacientes en que se hallaba la arteria alveolar en la pared anteroexterna del seno maxilar y 23 tomografías en que se hallaba la arteria alveolar en el piso del seno maxilar con un criterio de inclusión de pacientes desdentados de ambos sexos desde los 36 hasta los 80 años. Realizadas las adquisiciones se editaron en el software "Romexis" en la estación de trabajo a partir del corte axial determinando un punto a 9 mm de la prolongación anterior del seno maxilar donde se generó el corte coronal. En dicho corte se realizaron mediciones desde el piso de seno maxilar a la cortical de la cresta para ambos grupos. **Resultados:** En el grupo donde la arteria se encuentra en la pared anteroexterna del seno maxilar, se halla una distancia desde la cortical de la cresta al piso de seno de $5,86 \pm 2,38$ mm. En el grupo donde la arteria se encuentra en el piso del seno maxilar se halla una altura desde la cortical de la cresta hasta el piso del seno maxilar de $7,58 \pm 4,62$ mm. Se observa en el sexo femenino en el grupo donde la arteria se encuentra en la pared anteroexterna del seno maxilar una distancia de $7,45 \pm 3,83$ mm y en el sexo masculino se halla una distancia de $7,88 \pm 6,44$ mm. Se realizó el test de student apareado y se observaron diferencias significativas entre el grupo en donde se encuentra la arteria alveolar en la pared anteroexterna del seno y el grupo que se halla en el piso del seno maxilar y también con respecto al género a nivel ($p < 0,05$). **Conclusiones:** Los datos obtenidos nos indican que en los pacientes en que la arteria alveolar se halla en el piso del seno maxilar se produce una menor reabsorción de la apófisis alveolar con respecto a los pacientes en los que se halla la arteria en la pared anteroexterna del seno. Se observa una leve diferencia en la reabsorción de la apófisis alveolar en el sexo femenino por encima del masculino. Se considera que cuando la arteria alveolar se halla en el piso del seno maxilar podría haber una mayor vascularización de la estructura ósea contribuyendo al mantenimiento del volumen óseo.

Palabras clave: conducto incisivo, tomografía computada, pacientes edéntulos, reabsorción

*González FC, Monqaut JL, González CM, Sezin M, Ibañez JC.
Círculo Odontológico de Córdoba, Facultad de Ciencias de la Salud, UCC.

Objetivo: Evaluar la frecuencia, ubicación y el tamaño de los forámenes linguales con tomografía de haz cónico (TCCB) en mandíbulas desdentadas.

Métodos: Se midieron 121 tomografías computadas de haz cónico sobre un total de 33 individuos desdentados (52 a 83 años). Los pacientes concurrían a la Carrera de Especialización en Implantología Oral. COC. Facultad de Medicina. UCC. Con la finalidad de determinar la ubicación de los forámenes linguales, se determinó la posición de la línea media. Se midió la profundidad y la distancia a la línea media (LM), siguiendo la trayectoria curva de la arcada. Para la localización y frecuencia del foramen se dividió la mandíbula en tres. Se registraron diámetro y tamaño de los forámenes según género y edad. Distancia vertical desde el margen superior hasta el borde superior del foramen y distancia vertical desde el margen inferior hasta el borde inferior del foramen. Se analizaron con el programa CS 3D Imaging y se evaluaron mediante prueba de Coeficiente de Correlación Pearson y modelos de regresión lineal. **Resultado:** *Profundidad:* hubo una mayor frecuencia de forámenes en proximidad a la línea media, con una elevada dispersión en la región central y en los tramos laterales entre 10 a 20 mm ($p < 0,001$). *Frecuencia:* 46,3 % de los forámenes se encontraban próximos a LM localizando 4 forámenes por individuo. *Diámetro:* disminuyó el tamaño en función de la distancia a la línea media ($p = 0,001$). No se verificó relación entre la distancia, LM y diámetro ($p = 0,995$). Tampoco entre el diámetro y la edad ($p = 0,20$). Los varones registraron diámetros mayores (1,53). *Distancia vertical desde el margen inferior hasta el borde inferior:* se observan en la línea media un cúmulo muy próximo a la base de la mandíbula (2 mm), el otro cúmulo a los 13 mm, a los 20 mm de LM y a 6 mm de la base del hueso.

Conclusiones: Se observó una elevada dispersión de valores de profundidad en la región central y en los tramos laterales entre 10 a 20 mm medidos desde LM hacia la zona posterior. Los varones registraron diámetros mayores. La edad no registró diferencias significativas.

Palabras clave: foramen lingual, mandíbula desdentada, tomografía computada de haz cónico

*Grifo MB¹, Trinks PW¹, Albariño AA¹, Sánchez GA², Amer MAR¹.
FOUBA. 1. Cátedra de Anatomía. 2. Cátedra de Biofísica y Bioestadística

Objetivo: Evaluar la correlación existente entre la medida del ancho máximo alveolar del maxilar superior y el volumen del tercer molar superior. **Métodos:** Investigación observacional analítica, sobre una muestra no probabilística de conveniencia de 17 cráneos y 17 terceros molares superiores pertenecientes a ellos. El ancho máximo alveolar del maxilar superior (mm) se determinó haciendo uso de un calibre digital, y el volumen (mm³) se determinó tanto para el molar completo como para su corona y raíz por separado, empleando un microscopio digital equipado con sistema de escaneo de volumen. Se calcularon la media y ES para cada variable y se analizó la correlación entre ellas a través de un modelo multivariado ($p < 0,05$). **Resultados:** El ancho máximo alveolar del maxilar fue $59,6 \pm 0,9$ mm y el volumen total del tercer molar fue $1314,5 \pm 7,3$ mm³. Los volúmenes coronario y radicular de la pieza dentaria fueron $815,2 \pm 7,6$ mm³ y $391,4 \pm 7,7$ mm³, respectivamente. El volumen total del molar fue significativamente mayor que el coronario y el correspondiente radicular. El análisis univariado evidenció correlación lineal directa significativa para el volumen total ($r = 0,78$), el volumen coronario ($r = 0,71$) y el volumen radicular ($r = 0,66$). El ajuste a un modelo lineal multivariado resultó significativo (λ Wilks = 0,32, $p = 0,013$) y los coeficientes η^2 fueron 0,03 para el volumen total de la pieza, 0,07 para el volumen coronario y 0,15 para el volumen radicular, evidenciando tamaños del efecto bajo en el primer caso, medio en segundo y alto en el tercero. La regresión correspondiente al modelo identificó al volumen total como responsable del 0,08% del incremento del ancho máximo alveolar por cada unidad de medida, mientras que al volumen coronario y radicular correspondió el 0,12% y 0,25%, con un factor de corrección por interacción de 0,68 y 0,32 respectivamente. **Conclusión:** El volumen del tercer molar es uno de los principales determinante del ancho máximo alveolar del maxilar superior, pero no el único. Puede explicar solo hasta el 70% de su variabilidad. Existirían otras variables morfométricas aún pendientes de identificación en modelos multivariados de análisis de un mayor tamaño muestral.

Palabras clave: tercer molar, medidas craneofaciales, morfología dentaria, anatomía odontológica

171

ESTUDIO COMPARATIVO PRELIMINAR DE TEJIDOS DENTARIOS EN MAMÍFEROS CON DIFERENTES HÁBITOS ALIMENTICIOS

*Gomez Rosso MA, Fontana S, Fernández JE, Samar ME.
Facultad de Odontología UNC

Introducción: En mamíferos, los dientes presentan diferentes características morfológicas y estructurales en relación a sus hábitos alimenticios. El esmalte dentario humano es el tejido más mineralizado y duro del organismo. El armadillo, mamífero de la familia de los dasipódidos que habita en zonas rurales de Argentina, posee una dentición especial, diferente a la humana, con dientes de crecimiento continuo, cilíndricos y aparentemente sin esmalte. Como sus dientes no tienen función masticatoria, su dieta es relativamente blanda. **Objetivo:** comparar las características anatómicas, histológicas e imagenológicas de los dientes humanos y del armadillo. **Metodología:** Se realizó la descripción anatómica, histológica y tomográfica de dientes humanos, obtenidos de material de archivo, comparándolos con dientes extraídos de 5 mandíbulas de armadillos halladas en áreas rurales de la provincia de Córdoba. Para el análisis histológico, se obtuvieron secciones por desgaste. También se realizaron cortes de tomografía cone-beam de 1 mm de espesor. Las imágenes se analizaron con el software Romexis 4.4.O.R. **Resultados:** Se determinó que el armadillo era homodonte: todos sus dientes eran similares, cilíndricos, molariformes, de raíz tubular abierta. En todas las muestras observadas al microscopio la dentina ocupa todo el espesor del diente, sin esmalte. Los canalículos partían de la cavidad dentaria terminando en la superficie libre del diente. Todos los dientes presentaban dentina opaca abundante en la zona periférica, estrato granuloso y líneas incrementales longitudinales semejantes a las halladas en el cemento dental. En los cortes tomográficos se observó que los dientes estaban formados por un tejido externo hiperdenso de aproximadamente 0,65 mm de espesor, con una densidad media de 1897-1881 HU, y otro interno de 1485-1386 HU de densidad media, formando el cuerpo del diente, con un espesor de 1,65 mm. La raíz aparecía como una franja circular hiperdensa de 1,08 mm de espesor máximo en cortes axiales. Conclusiones: Es de destacar en el armadillo, la presencia de dientes sin esmalte, por lo que la dentina expuesta al desgaste presenta un alto grado de mineralización, comparada con la humana. La dentina del armadillo posee unidades estructurales dentinarias semejantes a la humana. Estudios futuros deberían realizarse para evaluar en detalle, la zona superficial dentinaria, hiperdensa del armadillo. **Palabras clave:** anatomía comparada, armadillo, tejidos dentarios.

172

ESTUDIO MORFOMÉTRICO DE LAS PIEZAS QUE CONFORMAN EL GRUPO MOLAR HUMANO

*Cardozo Quintana DB, Bessone GG.
UNNE

Objetivo: Establecer la morfometría del grupo dentario molar en la actualidad y relacionar con los datos existentes para establecer un patrón morfométrico actualizado. **Métodos:** El estudio fue observacional y descriptivo. Se trabajó con 80 dientes no vitales de pacientes de la Ciudad de Corrientes, pertenecientes a la morfoteca de la cátedra Introducción a la Odontología de la FOUNNE. Se incluyeron dientes con corona libre de restauración y/o lesión, cuyas raíces presenten calcificación apical completa. Se excluyeron piezas con lesión, fractura y/o restauración coronaria y ápices sin calcificar. Las muestras fueron acondicionadas y agrupadas según su ubicación en el arco. Se obtuvieron las medidas utilizando un calibre digital de 0 -150 mm. Marca Gardex, según los parámetros presentados por FUENTES, F. R.; BORIE, E. E.; BUSTOS, M. L. & THOMAS, M. D. Longitud total, altura coronaria o diámetro cervico-oclusal, longitud radicular. Se determinó la forma teniendo en cuenta lo descripto por Figún y Garino. Los datos fueron registrados en planillas Microsoft Excel 2010 y analizados mediante el software estadístico Infostat versión 1.1, con un valor de significación de 5%. **Resultados:** la longitud total fue para el primer molar superior 19,79; segundo molar superior 18,5; tercer molar superior 17,82; primer molar inferior 19,48; segundo molar inferior 20,78 y tercer molar inferior 17,21. La forma coronaria fue trapezoidal con base mayor en oclusal. **Conclusiones:** Se encontraron diferencias entre los primeros y segundos molares superiores e inferiores, y no hubo diferencia significativa entre terceros molares superiores e inferiores respecto a los descripto por Figún y Garino (2002). **Palabras clave:** diente, dentición permanente, diente no vital

173

OBTENCIÓN Y CULTIVO DE CELULAS MADRE DE PULPA DENTAL: ENSAYOS PRELIMINARES

*Basal RL, Paggi R, Mayocchi K, Blasetti N, Butler T, Doratti P, Pinola L, Dewey R, Micinquevich S, Merino G.
Facultad de Odontología UNLP

Objetivo: Describir la metodología de obtención y expansión de células madre de pulpa dental.

Metodología: se seleccionaron gérmenes dentarios de terceros molares retenidos extraídos en el Hospital Universitario de la Facultad de Odontología de la UNLP con el consentimiento del paciente y aprobación del Comité de Bioética de la Facultad de Odontología de la UNLP. Los dientes se colocaron en frascos estériles conteniendo DMEM enriquecido y se trasladaron al Instituto de Investigaciones Biotecnológicas del Instituto Tecnológico de Chascomús mantenidos a 4° centígrados. Bajo campana de flujo laminar se desinfectó la superficie y se separaron corona y raíz para exponer la pulpa realizando una ranura con discos y cortes con cincel en la zona de los cuellos dentarios. Una vez expuesto, el tejido pulpar fue extraído y colocado en medio DMEM-F12 frío. Seguidamente se realizó digestión enzimática mediante una solución de colagenasa tipo I por 60 minutos a 37° C. La suspensión obtenida fue centrifugada y el pellet se resuspendió en medio nutritivo para células mesenquimales. Posteriormente se sembró en placas 0,1 a 1×10^3 cel/cm² e incubó a 37° a 95% de aire y 5% de CO₂ (p0), luego se realizaron subcultivos en botellas de cultivo de 25 cm². Las células fueron observadas con microscopio electrónico de transmisión (MET) y caracterizadas a través del estudio de marcadores de superficie específicos con CD 73, CD 90 y CD 105 mediante citometría de flujo.

Resultados: Al MET se observaron células fusiformes y otras de morfología variada con importante desarrollo de organelas cuyos núcleos contienen dos o tres nucléolos. La citometría de flujo arrojó CD73: 99.22%, CD90: 85.51% y CD105: 62.01%.

Conclusión: El tejido pupar de terceros molares es una fuente importante de células madre por lo cual se infiere que a futuro podría ser una alternativa de usos terapéuticos.

Palabras clave: pulpa dental, células madre, marcadores, microscopía electrónica de transmisión

174

PREMOLARES HUMANOS CON TECNICA POR DESGASTE: ALTURA CUSPIDEA, REBORDES MARGINALES Y FOSITAS

Zaffaroni M, Cueto S, *Kohli AN.
Instituto Universitario Italiano de Rosario IUNIR

Las cúspides están separadas por un surco principal con una fosita en cada extremo, estas son excavaciones irregulares y poco profundas de ellas parten surcos secundarios que delimitan los rebordes marginales. El esmalte se deposita alternando períodos de mayor y de menor mineralización originando estrías de Retzius. **Objetivos:** medir matemáticamente la altura de cúspides corroborando las altas y bajas. Con microscopio óptico (MO), cuantificar visibilidad de rebordes y en su esmalte, describir cualitativamente cantidad y grosor de estrías. Además, comprobar grado de visualización de fositas oclusales. Análisis estadístico descriptivo y relacional entre e intra grupos con Test de Mann-Whitney/Pueba bilateral. **Métodos:** Se incluyeron premolares superiores e inferiores sanos, ambos sexos, por tratamiento ortodoncico, previo consentimiento. Extraídos, se midió la altura cuspídea vestibular (V) y palatina (P) o lingual (L). Se trazó una horizontal por la base de cada cúspide y una perpendicular a la primera que llegó hasta el vértice. Con calibre se obtuvo la altura en mm. Luego, las raíces se inmovilizaron con yeso y se las desgastó por V, P y L en sentido mesio-distal, preservando la parte central. El remanente se redujo a una lámina transparente con técnica por desgaste para observarlos con MO a menor aumento. **Resultados:** treinta dientes: 15 superiores (*grupo 1*) y 15 inferiores (*grupo 2*); en *grupo 1*: 33% masculino; edad $15 \pm 7,6$; promedio altura cúspides $V=4,067$ mm, $P=3,233$ mm ($p=0.001$). Reborde M y D visibles: 80% y 73% y no visibles por exceso de desgaste 20% y 27%. En todos los rebordes las estrías fueron abundantes y delgadas. Fositas: visibles 67% y no visibles 33%. En *grupo 2*: 53% varones, edad promedio 18 ± 9 ; altura promedio $V=3.933$ mm y $L=2.300$ mm ($p<0.0001$). Rebordes M y D visibles: 80% y 67% y no visibles 20% y 34%. También en este grupo se observaron estrías abundantes y delgadas. Fositas: 87% y 13% respectivamente. **Conclusiones:** En el grupo premolar superior predominaron sexo femenino y menor edad, a diferencia del formado por los inferiores, en el cual además hubo mayor visibilidad de fositas. En ambos grupos coexistieron cúspides altas y bajas, visibilidad similar de rebordes y estrías abundantes y delgadas de esmalte.

Palabras claves: altura cuspídea, rebordes marginales, fosas oclusales, estrías de Retzius.

175

ESTUDIO PRELIMINAR: HIPERCEMENTOSIS, RAICES DENTALES HUMANAS, PACIENTES CON PATOLOGÍA PREVIA Y SANOS

Dávila H¹, Caramés R², *Kohli AN^{2,3}.

1. Consejo de investigaciones UNR. 2. Facultad de Odontología UNR. 3. Instituto Universitario Italiano de Rosario IUNIR

Posterior a extraer una pieza dental se puede hallar evaginaciones de cemento bien delimitadas y duras al tacto, ubicadas en sectores diferentes al ápice. Han sido asociadas con enfermedades como Paget; hipotiroidismo; acromegalia; avitaminosis A; síndrome de Pendret; neoplasma; lupus eritematoso sistémico y procesos inflamatorios crónicos. **Objetivos:** Comparar características macroscópicas de evaginaciones de cemento provenientes de pacientes con alguna de las patologías asociadas y las halladas en personas sanas. **Materiales y métodos:** dientes permanentes ya extraídos, ambos sexos, con evaginaciones de cemento. Se indagó: edad, sexo, motivo de extracción (caries, fractura y movilidad periodontal), pertenencia al arco superior o inferior; tipo de pieza, patología y grado de elevación (leve, moderada y prominente) divididas en un grupo con patología (CP) y otro sin patología (SP). **Resultados:** Total 30 dientes con hipercementosis; 15 en cada grupo. En el grupo CP la edad promedio fue de 66±15 con un 33% de sexo masculino y 67% femenino; en el SP la edad 60±17 con un 27% varones y 73% mujeres. Los motivos de extracción entre los CP fueron caries 87% y fracturas en un 13%, en el SP caries 27%, inflamación crónica 60% y extraídos por movilidad 13%; Pertenecieron al arco superior 73% e inferior 27% en CP y 67% y 33% respectivamente en el SP. Hallamos 54% molares, 33% premolares y 13% caninos en el CP y 47% molares, 26,5% premolares y caninos en el SP; se encontró diabetes como enfermedad sola y asociada a Paget o hipertensión en un 53%, hipertensión sola o asociada con artritis 47% entre los pacientes CP, mientras que 100% del SP estuvo sano. Elevación: leve 54%, moderada 13% y prominente 33% en el CP y leve 27%, moderada 53% y prominente 20% en el SP (p=0.0323). **Conclusiones:** En ambos grupos, hubo mayoría de mujeres y el promedio de edad reflejó a una población adulta. Fueron mayoría los dientes del arco superior principalmente molares. En ambos grupos, el motivo de extracción más frecuente fue la caries, en cuanto a las raíces de pacientes con patología predominaron las elevaciones leves y en el grupo de los sanos las moderadas. Financiamiento: Programa de incentivo Docente

Palabras clave: cemento, hipercementosis, diabetes, hipertensión

176

FRECUENCIA Y VARIABILIDAD DE RASGOS MORFOLÓGICOS DENTALES EN UNA POBLACIÓN DE ESTUDIANTES UNIVERSITARIOS RESIDENTES EN CÓRDOBA, ARGENTINA

*Aramburu G¹, Rodríguez I¹, Lissera G¹, Fonseca G².

1. Facultad de Odontología UNC. 2. Facultad de Odontología, Universidad de La Frontera (Temuco, Chile)

Objetivos: Determinar frecuencia y variabilidad de 19 rasgos morfológicos dentarios coronales (RMDC). Analizar la bilateralidad y la presencia/ausencia de dimorfismo sexual. **Métodos:** Se realizó un estudio descriptivo y transversal de un grupo de 49 individuos, estudiantes de la carrera de Odontología de la FO-UNC. Se tomaron impresiones utilizando silicona por condensación, colocada en cubetas plásticas perforadas de poliestireno para la toma de impresión maxilar y mandibular, a través de la técnica de impresión en una fase o simultánea. Los vaciados fueron realizados con yeso tipo. El análisis morfológico fue realizado a través del sistema de placas elaborado en el Laboratorio de Antropología Dental de la Universidad del Estado de Arizona (ASUDAS). Los datos obtenidos se ingresaron en una plantilla Excel® y se procesaron en el software SPSS. Se analizaron las frecuencias de los RMDC para establecer bilateralidad (Test de Wilcoxon/McNemar) y dimorfismo sexual (Test de Chi cuadrado). La significación estadística se estableció para una p<0.05. **Resultados:** Se obtuvieron las frecuencias de los RMDC. El rasgo con mayor expresión fue la cresta distal accesoria en UC (63.8%), seguido por el rasgo pala en UI2 (58,4%). Los rasgos con expresión intermedia fueron el Pliegue acodado del metacónido en LM1 (27,9%) y protostilido en LM1 (25,5%). La mayor expresión en cuanto a la gradación fue para el rasgo Cresta Distal Accesorio en UC en grado 2 (25,5%). También se analizó la frecuencia de los RMDC para advertir dimorfismo sexual, que fue negativo para la mayoría de los rasgos excepto el rasgo Carabelli (p=0.02) y Protostilido (p=0.03). Con respecto a la bilateralidad de los RMDC, se advirtió la simetría bilateralidad en todos los casos. **Conclusiones:** En cuanto a morfología dental en Argentina, la mixturación genética constituye una de las razones de los cambios en la frecuencia de aparición de ciertos rasgos morfológicos. Los análisis sobre morfología dental y el comportamiento de los rasgos coronales en poblaciones argentinas actuales son escasos, lo que imposibilitaría actualizar la información o asignarles un eventual valor forense a los resultados. Estos resultados posibilitarán contribuir al conocimiento, hoy escaso, sobre RMDC en poblaciones actuales. Financiamiento: 05/J146, 203/14. Comité de Ética: CUDAP: EXP-UNC 0005065/2014

Palabras claves: rasgos morfológicos, antropología dental, morfología

CONSIDERACIONES METODOLÓGICAS EN EL ESTUDIO HISTOMORFOMÉTRICO DEL HUESO INTERRADICULAR DE LOS PRIMEROS MOLARES INFERIORES DE RATAS WISTAR

Pulitano Manisagian GE, *Nervegna MT, Nenda MM, Mandalunis PM.
Cátedra de Histología y Embriología FOUBA.

Los primeros molares inferiores de ratas Wistar se utilizan frecuentemente para evaluar el hueso interradicular en diferentes situaciones sistémicas y en la periodontitis experimental. Nuestro grupo viene trabajando sobre este hueso desde hace años observando que presenta importantes variaciones de volumen dependiente de diferentes factores. Por lo tanto, el **objetivo** del presente trabajo fue demostrar las variaciones del volumen del hueso interradicular en ratas Wistar: a) en relación a la edad de los animales y b) en relación a la orientación y arquitectura de dicho hueso en animales de una misma edad. **Metodología:** Se utilizaron: a) 15 ratas Wistar hembras de 6, 10 y 14 semanas y, b) 9 ratas Wistar macho de 8 semanas. Los animales fueron eutanasiados a los tiempos indicados, se extrajeron los maxilares inferiores y se procesaron histológicamente para la obtención de cortes orientados en sentido mesio-distal del primer molar inferior. Los cortes se colorearon con H&E y se evaluó el volumen óseo BV/TV (%). Los resultados se analizaron estadísticamente, en a) mediante ANOVA y Bonferroni test y en b) se calculó el rango(R). **Resultados:** En a) el BV/TV (%) interradicular aumenta significativamente con la edad de los animales: 6 *sem(II)*: 36 ± 5.8 , 10 *sem(II)*: 45 ± 6.5 y 14 *sem(III)*: 50 ± 6.0 (I vs II and III, $p < 0.05$). En b) se encontró que el volumen óseo varía hasta un 20% si se considera el volumen en todo el hueso interradicular (máx 51.4, mín 31.2, R:20.2) y este rango disminuye a menos de un 10 % si se estudia la mitad superior de dicho hueso interradicular (máx 51.3, mín 43.0, R:8.3). **Conclusión:** Los resultados demuestran que el volumen del hueso interradicular del primer molar inferior de ratas Wistar varía considerablemente no sólo con la edad de los animales sino también en animales de una misma edad (si se considera todo el hueso interradicular del espacio alveolar). Por lo tanto, se recomienda tener en cuenta emplear animales de la misma edad y utilizar la mitad superior de dicho hueso para determinaciones histomorfométricas. Esta consideración permitirá resultados y conclusiones fiables en diferentes diseños experimentales especialmente en la periodontitis experimental. Financiamiento: UBACyT 20020160100034BA. Comité de Ética: 012/2016 CICUAL-ODONTO-FOUBA

Palabras clave: histomorfometría ósea, hueso interradicular, ratas Wistar

COMPORTAMIENTO DE LA PARED DENTINARIA FRENTE A LA IRRIGACIÓN SÓNICA Y ULTRASÓNICA PASIVA. REPORTE PRELIMINAR DE TESIS DOCTORAL

*Labarta AB, Sierra LG.
FOUBA.

Objetivos: Evaluar con MEB remoción de barro y erosión. Instrumentación: Sistema Protaper Universal. Irrigación: soluciones ácidas y sistemas activos. **Métodos:** Se usaron 60 premolares, de banco dentario de CEFOUBA. Irrigación: *Grupos 1 y 2:* NaOCl 5,25%. *Grupos 3 y 4:* NaOCl 5,25%+EDTA 17%. *Grupos 5 y 6:* NaOCl 5,25%+Ác. Maleico 5%. *Grupos 7 y 8:* NaOCl 5,25%+Ác. Cítrico 10%. *Grupos 9 y 10:* NaOCl 5,25%+Ác. Fosfórico 37%. *Sónica:* Grupos 1, 3, 5, 7, 9 y *Activación Ultrasónica Pasiva:* Grupos 2, 4, 6, 8, 10. Se realizaron 180 microfotografías MEB 5000X: 2, 6 y 10 mm del ápice. Se comparó remoción de barro y erosión entre técnicas de irrigación/irrigantes y entre tercios del conducto. Se reportó número de observaciones, mediana, media, desviación estándar, frecuencia absoluta y % de valores de score. Se utilizó prueba Kruskal-Wallis, con comparaciones de pares *post-hoc*. **Resultados:** Hubo diferencia significativa de remoción entre técnicas (prueba de Kruskal-Wallis: $p < 0,05$). Hubo diferencia significativa entre grupos 1 y 2 (controles) y resto de grupos. No hubo diferencia significativa entre grupos 1 y 2. Hubo diferencia significativa entre grupos 3 o 10 y 6 o 8. No hubo diferencia significativa entre grupos 3, 4, 5, 7, 9 y 10, ni entre grupos 4, 5, 6, 7 y 8. Hubo diferencia significativa entre grupos 8 y 9 o 10. Hubo diferencia significativa de erosión entre técnicas de irrigación-irrigantes (prueba de Kruskal-Wallis: $p < 0,05$). Hubo diferencia significativa entre grupos 1 o 2 (controles) y grupos 3, 4, 7, 8 y 9. No hubo diferencia significativa entre grupos 1 o 2 y 5, 6 o 10. Hubo diferencia significativa entre grupos 3, 4 o 7 y 5, 6 o 10, y entre grupos 7 o 9 y 10. No hubo diferencia significativa entre grupos 5, 6 y 8. **Conclusiones:** Técnicas SO/NaOCl 5,25%+EDTA 17% e IUP/NaOCl 5,25%+Ac. Fosfórico 37% producen mayor remoción de barro. Irrigación SO/ NaOCl 5,25%+ EDTA 17% produce erosión significativamente mayor que IUP/NaOCl 5,25%+Ac. Fosfórico 37%. Además de los controles técnicas SO/NaOCl 5,25%+Ac. Maleico 5%, IUP/NaOCl 5,25%+Ac. Maleico 5% e IUP/NaOCl 5,25%+Ac. Fosfórico 37% producen menos erosión. IUP/NaOCl 5,25%+Ac. Fosfórico 37% brinda mejor balance entre remoción y erosión. No hubo diferencia significativa de remoción ni de erosión entre tercios del conducto.

Palabras clave: Endodoncia, pared dentinaria, irrigación activa.

179

EFECTO PROTECTOR DE SIMVASTATINA Y CURCUMINA EN ENCÍA Y HUESO ALVEOLAR DE RATAS HIPERCOLESTEROLÉMICAS CON PERIODONTITIS

*Antona ME¹, Gonzalez GE^{2,4}, Chiarenza AP¹, Ramos C¹, Costa OR⁵, Friedman SM¹, Macri EV¹, Steimetz T².

1. Cátedra de Bioquímica General y Bucal, FOUBA. 2. Cátedra de Anatomía Patológica FOUBA. 3. Instituto de Fisiopatología Cardiovascular (INFICA), Facultad de Medicina. 4. CONICET. 5. Cátedra de Periodoncia FOUBA.

La simvastatina (SMV) es una droga hipocolesterolemiante a la que se le atribuyen diversos efectos pleiotrópicos. Por otro lado, la curcumina (CUR), metabolito activo de la cúrcuma, es un fitoquímico al que se le atribuyen propiedades antiinflamatorias, entre otras. Sin embargo, aún no hay estudios que evalúen el potencial efecto de SMV y CUR en la encía de ratas con periodontitis (P) e hipercolesterolemia (HC). **Objetivo:** Estudiar el efecto de la SMV y CUR en encía y hueso alveolar de ratas hipercolesterolémicas con periodontitis. **Materiales y Métodos:** 20 ratas Wistar adultas fueron distribuidas entre los siguientes grupos: C+P (control), DA+P [dieta aterogénica], SMV+P [DA+SMV (5mg/día) v.o.], CUR+P [DA+CUR (20mg/día) v.o.] A las 3 semanas, bajo anestesia se indujo P mediante la colocación de una ligadura de hilo de lino en los 1º molares inferiores de todas las ratas, que fueron eutanasiadas a las 72 hs post ligadura. A nivel sérico se evaluó: (mg/dL) colesterol total (col-T), y TG. Las mandíbulas fueron resecadas y procesadas para el estudio histológico/histomorfométrico. Se obtuvieron cortes orientados en sentido mesio-distal y se colorearon con H-E y Picrosirius Red. Sobre microfotografías digitales se cuantificaron las fibras colágenas de la encía distal del 1er. molar con el Image Pro Plus (%). El hueso alveolar fue medido sobre radiografías (%). **Resultados:** ANOVA+SNK ($p < 0,05$). SMV y CUR no disminuyeron col-T (C+P $67,8 \pm 10,01 < DA+P 182,4 \pm 19,01 = SMV+P 153,4 \pm 25,5 = CUR+P 185,2 \pm 29,9$ mg/dL; $p < 0,001$). Sin embargo, SMV+P y CUR+P tuvieron mayor porcentaje de fibras colágenas indicando menor degradación con respecto a DA+P (DA+P $39,5 \pm 7,6 < CUR+P 69,03 \pm 6,8 = SMV+P 74,01 \pm 6,2 = C+P 81,4 \pm 7,8$ %; $p < 0,001$) y mayor altura de hueso alveolar (DA+P $41,9 \pm 4,7 < CUR+P 47,7 \pm 2,1 = SMV+P 48,3 \pm 1,2 = 49,1 \pm 1,3$ %; $p < 0,01$). **Conclusión:** SMV y CUR protegerían la encía y el hueso alveolar sin modificar los valores séricos de colesterol en animales sin perfil genético de HC. Estudios futuros deberían investigar cuáles serían los mecanismos involucrados en las diferencias de la pérdida de colágeno observadas en este modelo. Financiamiento: UBACYT/20020150200013BA. Comité de Ética: CICUAL ODON/FOUBA 011/2016.

Palabras clave: simvastatina, curcumina, periodontitis, hipercolesterolemia

180

EFECTO DEL FLUORURO DE SODIO SOBRE HUESO ALVEOLAR EN RATAS CON PERIODONTITIS

*Bojanich MA¹, Orlietti M¹, Flesia G², Gallara R¹, Ponce R¹.

Facultad de Odontología UNC. 1. Cátedra A de Química Biológica. 2. Cátedra A de Diagnóstico por Imágenes.

El fluoruro se relaciona con la prevención de caries dental. La periodontitis se caracteriza por la destrucción de tejidos de soporte dentarios. **Objetivo:** Evaluar el efecto de la exposición crónica a altas concentraciones de NaF sobre marcadores bioquímicos y pérdida del hueso mandibular en un modelo experimental de periodontitis inducida. **Métodos:** ratas Wistar machos se dividieron en dos grupos que bebieron agua con NaF: 0,3 mg/L (C) y 50 mg/L (T); en ambos grupos se indujo periodontitis en el primer molar inferior derecho. En plasma se determinó fosfatasa alcalina, calcio, fósforo, glucosa e insulina. Las mandíbulas se extrajeron y se tomaron imágenes con radiografía digital y microscopía confocal. Se midió la distancia entre el límite amelocementario (LAC) y la cresta ósea (CO) de las raíces mesial (M), central (C) y distal (D). Se consideró un valor significativo de $p \leq 0,05$. **Resultados:** Las concentraciones plasmáticas de fosfatasa alcalina (C: $152 \pm 0,5$ vs. T: $346 \pm 0,3$), calcio (C: $9,4 \pm 0,03$ vs. T: $10,7 \pm 0,07$), fósforo (C: $8,35 \pm 0,01$ vs. T: $9,93 \pm 0,02$) y glucosa (C: $126 \pm 0,48$ vs. T: $163 \pm 0,44$) fueron mayores en los tratados respecto a los controles ($p < 0,05$) en todas las determinaciones. La insulina fue más baja en los tratados que en los controles (C: $126 \pm 0,08$ vs. T: $7,4 \pm 0,03$) ($p < 0,05$). Análisis de la pérdida del hueso alveolar: en animales tratados con NaF: 50 mg/l la distancia (μ m) medida con radiografía digital, entre LAC y CO de la raíz D del primer molar inferior derecho, fue mayor que la de animales controles (1213 vs. 1021, respectivamente; $p < 0,05$). La microscopía confocal corroboró la distancia entre LAC y CO en la raíz D (2100,98) y permitió medir dicha distancia en las raíces M (2245,16) y C (2281,38), $p < 0,05$. **Conclusiones:** en animales T, la concentración elevada de NaF en el agua de bebida indujo hipoin-sulinemia e hiperglucemia. El aumento de la fosfatasa alcalina, calcio y fósforo en plasma se relacionaría con la participación de NaF en los procesos de modelación-remodelación ósea. La pérdida ósea periodontal, visualizada por radiografía digital y microscopía confocal, sugeriría que la exposición crónica a elevadas concentraciones de NaF exacerbaría los efectos desencadenados por la enfermedad periodontal. Comité de Ética: CICUAL

Palabras clave: fluoruro, periodontitis, microscopía confocal

PARTICIPACIÓN DEL RECEPTOR TRPV1 EN LA ENFERMEDAD PERIODONTAL INDUCIDA POR LIPOPOLISACÁRIDOS EN LA RATA

Ossola CA, *Balcarcel NB, Astrauskas JI, Rodas JA, Elverdin JC, Fernandez Solari JJ. FOUBA

En estudios experimentales previos demostramos el efecto antiinflamatorio y osteoprotector de los agonistas de receptores de cannabinoides CB1r y CB2r aplicados en tejidos periodontales. Por otro lado, el receptor-canal de potencial transitorio V1 (TRPV1) se expresa en los tejidos periodontales, está vinculado a dolor e inflamación y puede ser estimulado por el endocanabinoide anandamida. **Objetivo:** evaluar el efecto del tratamiento de la EP inducida por LPS con un antagonista del TRPV1, la capsazepina. **Métodos:** se emplearon ratas Wistar macho de 300g, en 3 grupos (n=6): 1) control (C); 2) inyectados con 20µl de LPS de *Escherichia coli* (LPS) (1mg/ml) en la encía vestibular y palatina/lingual del primer molar y en el espacio interdental entre el primer y segundo molar de ambos maxilares, tres veces por semana, durante 6 semanas (en días 1, 3 y 5); 3) inyectados con LPS y topicados diariamente con capsazepina (2µg/ml) en los sitios de inyección (Cap). Luego de la eutanasia de las ratas, se midió la pérdida ósea alveolar (POA) por técnicas morfométricas e histomorfométricas. También se evaluó el contenido del factor de necrosis tumoral alfa (TNFα) por ELISA y de PGE2 por RIA en la encía del primer molar inferior. Test estadístico: ANOVA de 1 vía. **Resultados:** las técnicas morfométricas de POA evidenciaron que el tratamiento local con Cap previno el daño inducido por EP tanto en el primer molar superior (C=3,46±0,17mm; LPS=4,24±0,23mm; Cap=3,74±0,25mm; p<0,01 vs. LPS) como en el inferior (C=3,97±0,33mm; LPS=5,14±0,34mm; Cap=4,48±0,25mm; p<0,01 vs. LPS). En el estudio del hueso interradicular del primer molar inferior, las técnicas histomorfométricas indicaron que el incremento en la altura del espacio periodontal causado por EP inducida por LPS fue significativamente atenuado por el tratamiento con Cap (p<0,01 vs. LPS). El contenido gingival de TNFα, incrementado por EP, resultó atenuado en las ratas tratadas con Cap (C=275,3±4,69pg; LPS=318,6±9,55pg; Cap=167,6±59,33pg; p<0,05 vs. LPS). **Conclusión:** Estos resultados demuestran por primera vez los efectos benéficos del bloqueo farmacológico de los TRPV1 sobre la EP experimental *in vivo* y sientan las bases para el desarrollo de una novedosa alternativa terapéutica. Financiamiento: UBACYT 2016 20020150100004BA. Comité de Ética: CI-CUAL-ODON/FOUBA N° 008/2016

Palabras clave: periodontitis, TRPV1, capsazepina, cannabinoides

MODELO DE ORTODONCIA EXPERIMENTAL DE FUERZAS LIVIANAS CON ALAMBRE TMA. ESTUDIO PRELIMINAR

*Escribano MF¹, Brunengo I², Gani O³, Steimetz T⁴.

1. Cátedra de Endodoncia, Facultad de Odontología UNC. 2. Cátedra de Cirugía I, Facultad de Odontología UNC. 3. Carrera de Especialización en Endodoncia. Escuela de Graduados, Facultad de Odontología UNC. 4. Cátedra de Anatomía Patológica FOUBA

En los movimientos dentarios ortodóncicos, la magnitud de la fuerza apropiada es aquella que genera un rápido movimiento dentario y una respuesta del bioentorno óptima. Esta fuerza se encuentra condicionada a la aleación utilizada.

Objetivo: Presentar el diseño de un resorte de aleación de Titanio-Molibdeno (TMA) para ratas y evaluar su efectividad.

Métodos: Se modificó el aparato para ratas diseñado por López Otero et al (1972), se diseñó un resorte helicoidal de TMA de 0,35mm de diámetro, que consta de tres loops: con alicates de tres torres se realizó un loop central con un radio de 1mm, sobre cada uno de los extremos se realizó un nuevo loop de 1mm de radio, siendo ambos loops simétricos, quedando sus brazos perpendiculares. Se determinó la resultante de la fuerza de torsión total utilizando un instrumento de medición dinamómetro AnalogForce Gauge SUND00 SN-20 (capacity 20N d=0,1N). Fueron utilizadas 10 ratas Wistar macho de 270±20gr de peso distribuidas en 2 grupos: GC: 5 ratas sin tratamiento; y GTMA: 5 ratas que bajo anestesia IM ketamina/xilazina 8 mg/1.28mg/100 g de peso, se cementaron en los 1os. molares superiores bandas con tubo palatino por donde se enhebró el resorte de TMA que ejerce 30gr fuerza. Los animales fueron sometidos a eutanasia 72 hs post movimiento ortodóncico, siguiendo la Reglamentación para el cuidado y uso de animales de experimentación en dependencias de la FCM y FO, UNC. Se resecaron los maxilares, se fijaron y se tomaron radiografías con radiovisiógrafo, oclusales y frontales. Se midió la distancia intermolar en ambos grupos. Los datos obtenidos se analizaron mediante el test t de Student.

Resultados: Distancia intermolar de vestibular a vestibular GC 9,7± 0,2 mm y GTMA 10,0± 0,3 mm (ns).

Conclusión: El resorte de TMA produjo desplazamiento dentario en el tiempo experimental estudiado. Estos resultados requerirán de estudios histológicos e histomorfométricos que permitirán evaluar la respuesta del bioentorno ante fuerzas ortodóncicas livianas.

Palabras clave: ortodoncia experimental, aleación titanio molibdeno, movimientos ortodóncicos

*Moyano A, Doro V, Tortolini P, Rubio S, Calafell C, Musso G, Crohane L, Moreno de Calafell M.
Facultad de Odontología UNC

Los factores de riesgo presentes en el paciente conductuales y no conductuales pueden influir en el inicio y progresión de la enfermedad periodontal.

Objetivo: Determinar el grado de asociación de variables relacionadas con enfermedad periodontal.

Método: La muestra la conformaron 201 pacientes con enfermedad periodontal crónica entre 18 a 60 años, tratados en la Cátedra de Periodoncia "B" de la Facultad de Odontología de la U.N.C. Se recolectaron los datos de Historias Clínicas y Fichas Periodontales. Los sujetos recibieron una clara explicación del protocolo de investigación basado en los principios de la Declaración de Helsinki y firmaron un consentimiento de participar en el mismo, aprobado por el CIEIS de la Facultad de Odontología U.N.C (Proyecto ODO-CIEIS N° 85). Se analizaron algunas variables consideradas factores de riesgo para enfermedad periodontal: Registro de placa (RPB); Registro de hemorragia (RH); Número de factores sistémicos (FS); Número de cigarrillos fumados por día (F); Edad (E); Número de sitios con bolsas mayores o iguales a 5mm (PS); Número de sitios con pérdida ósea radiográfica superior a 4mm (PO); Lesiones de furcación (LF); Trampas de placa (TP). Se determinó el riesgo total, el grado de asociación entre variables mediante el análisis de correspondencias múltiples (ACM) y análisis multivariado a través de modelo de regresión lineal. Para todas las pruebas se fijó el nivel de significación estadística en $p < 0,05$.

Resultados: Los factores más relevantes fueron RH, RPB, TP y F. El riesgo total obtenido fue de 19,06. El estudio pone de manifiesto una correlación muy significativa entre los registros de placa en toda la boca y una mayor incidencia de hemorragia al sondaje ($p < 0,001$).

Conclusión: Según nuestros resultados es más fácil que aparezca el evento cuantos más factores de riesgo presenten los sujetos. La hemorragia al sondaje es uno de los primeros signos clínicos visibles al inicio de la enfermedad periodontal. Financiamiento: SeCyT

Palabras clave: enfermedad periodontal, riesgo, variables

*Menso J¹, Tabares S², Usin MM¹, Sembaj A².

1. Cátedra "B" de Periodoncia Facultad de Odontología UNC. 2. Bioquímica y Biología Molecular. Facultad de Ciencias Médicas UNC

Objetivo: Analizar la concentración de proteínas totales, actividad de fosfatasa alcalina (FA) y osteocalcina en Fluido Crevicular Gingival (FCG) colectado de bolsas periodontales de pacientes con diagnóstico de Enfermedad Periodontal Crónica (EPC) al inicio final y controles del tratamiento periodontal convencional (TPC) para asociarlos con los parámetros clínicos y con la presencia de patógenos periodontales a lo largo del TPC. **Métodos:** Se evaluaron 81 sitios de 10 individuos con diagnóstico de EPC y aceptación de integrar el estudio. Se registró: Placa Bacteriana (PB), Hemorragia, Supuración, Profundidad de Sondaje (PS), Nivel de Inserción Clínica (NIC). El FCG se obtuvo con periopapers, en su elución se determinó actividad FA, concentración de Proteínas totales y osteocalcina. Se tomaron muestras de la profundidad de la bolsa para identificar por biología molecular bacterias del complejo rojo y naranja. Se les practicó el TPC. Al finalizar el tratamiento (PT) y evaluaciones a los 3 y 6 meses se registraron los parámetros clínicos y muestras de PB y FGC. El análisis estadístico incluyó test T, chi cuadrado, Anova y tablas 2x2 de contingencia, se consideró un $p < 0,05$ para definir significancia. Se utilizó el software InfoStat. **Resultados:** El PS se redujo 1,42 mm ($p = 0,001$) en el PT y la ganancia de NIC fue 0,32 mm a los 6 meses. Disminuyó significativamente la frecuencia de bacterias y la concentración de proteínas totales y FA en FCG a lo largo del tratamiento, siendo significativa en el PT. La concentración de Osteocalcina no se modificó en ninguna etapa. Un aumento de actividad FA se asoció con bolsas mayores de 5mm y con la presencia de bacterias ($p = 0,002$). Se observó que la presencia de bacterias en el PT incrementa en cuatro veces la chance de presentar bolsas mayores de 5mm y que en esas bolsas incrementa la actividad FA [RR=4.5 IC 95% (1.88-12.2)]. **Conclusión:** la presencia de periodontopatógenos en las bolsas representaría un factor de riesgo para desarrollar bolsas profundas si no se eliminan con el tratamiento. La actividad FA disminuida y la concentración de proteínas totales en FGC indicarían mejoría de las bolsas tratadas. Los autores declaran no tener conflicto de interés con los resultados presentados en este trabajo. Comité de Ética: Registro N°208/14

Palabras clave: periodontitis, tratamiento periodontal, patógenos periodontales, osteocalcina, fluido crevicular

DESARROLLO DE UN MODELO DE PERIODONTITIS INDUCIDA ASOCIADA A SÍNDROME METABÓLICO EN RATAS

*Vázquez Mosquera AP, Kunst DB, Peralta Lopez ME, Fontana S, Castillo GV., Carpentieri A
Facultad de Odontología UNC.

El síndrome metabólico (SM) afecta un 25-30 % de la población mundial y sus componentes característicos son la hipertensión, la diabetes y la obesidad. Se ha observado una asociación entre SM y la enfermedad periodontal (EP). En la EP, el daño de las fibras colágenas del ligamento periodontal y la resorción ósea pueden llevar a la pérdida del diente. En el caso de pacientes con SM, existe un estado oxidativo/inflamatorio sistémico que exacerba la respuesta inflamatoria del hospedador, provocando una EP más agresiva. La melatonina (MEL) por sus efectos antioxidantes y antiinflamatorios, podría contribuir a proteger y recuperar la integridad de los tejidos gingivales, mostrando un potencial uso como agente terapéutico de la EP asociada a SM. **Objetivo:** desarrollar, caracterizar y validar un modelo experimental de periodontitis inducida asociada a SM a fin de utilizarlo para evaluar los efectos de MEL. **Métodos:** para desarrollar el SM se utilizaron 23 ratas wistar macho a las que se les administró fructosa al 10% en el agua de bebida, durante 35 días. Se controló talla, perímetro abdominal y peso semanalmente. Se realizaron pruebas bioquímicas (glucemia, triglicéridos, colesterol, etc.) para determinar el estado basal y una vez obtenido el SM. A los 30 días se realizó ligadura metálica en el segundo molar superior a fin de inducir EP. Se realizaron estudios radiográficos para caracterizar la periodontitis. **Resultados:** se observó un significativo aumento en la ganancia de peso de las ratas SM vs peso inicial ($66,76\text{gr} \pm 18,96\text{gr}$; $p < 0,001$), se utilizó Test estadístico test de student y ANOVA con comparaciones post hoc de Turkey. Los parámetros bioquímicos también se vieron alterados significativamente en las ratas tratadas con fructosa, lo que evidenció el establecimiento del SM. Así mismo, se observa aumento en el acumulo del biofilm y evidente resorción ósea a la inspección. **Conclusiones:** Se logró establecer un modelo de SM. Se realizarán estudios histomorfométricos para confirmar la EP asociada. Este modelo será de utilidad para evaluar los efectos antiinflamatorios de MEL en forma local y sistémica. De esta manera se contribuirá a encontrar una terapia sobre patologías asociadas, como la EP, que permita mejorar la calidad de vida del paciente con SM.

Palabras claves: Periodontitis, Estrés oxidativo, Síndrome Metabólico.

PREVALENCIA DE POSICIÓN DE TERCEROS MOLARES INFERIORES SEGÚN CLASIFICACIÓN DE WINTER

*Costa D, Nervo F, Chuquer G, Quintana A, Brunotto M, Azcurra A, Cima JR, Bachur R.
Especialidad CBMF, Facultad de Odontología UNC

Objetivo. Estudiar la prevalencia de los distintos tipos de retención de terceros molares inferiores (TMI) según la clasificación de Winter (W), según género, edad y hemiarcada mandibular, en pacientes de las ciudades de Ushuaia (TDF), Neuquén (NEU), Selva (SdE) y Córdoba (CBA).

Métodos: estudio descriptivo retrospectivo de ortopantomografías ($n=414$) de pacientes mayores a 18 años, ambos géneros, que concurren de manera espontánea a la consulta odontológica por motivos preventivos (aprobación CAIS-FO_UNC) en los meses de Julio a Diciembre de 2016.

Resultados la población en todas las ciudades estuvo compuesta mayoritariamente por mujeres. (236/57%), con edades comprendidas entre 18 a 30 años. -Se observó un 49 % y 51 % de TMI localizados en la hemiarcada derecha e izquierda respectivamente. El mayor porcentaje de TMI, según W, fue clasificado de posición vertical en relación a las otras posiciones (350 /51%), aun cuando se evaluó por género. No se registraron molares invertidos en ninguna de las poblaciones estudiadas. Considerando la edad, se observó que en el rango 18-30 años un mayor porcentaje de posiciones mesio-angulares y horizontales; entre los 31 y 40 años la posición disto-angular fue la de mayor frecuencia; y en las edades mayores a 40 años, se observó un incremento de posiciones horizontales y disto-angulares.

Conclusiones En Argentina se observa una mayor frecuencia de posiciones verticales de TMI en general, sin embargo, es de destacar que según la edad estas posiciones son diferentes. Resulta de importancia conocer las posiciones de terceros molares inferiores retenidos (por sus características anatómicas y fisiopatológicas) para poder realizar tratamientos quirúrgicos adecuados y evitar complicaciones posteriores. Comité de Ética: ODO N° 13 E.

Palabras clave: clasificación de Winter, retención dentaria, terceros molares, prevalencia, radiografía panorámica

187

CAMBIOS DE LOS SIGNOS VITALES EN DISTINTOS MOMENTOS DEL PROCEDIMIENTO QUIRÚRGICO Y SU RELACIÓN CON EL ESTADO DE ANSIEDAD

*Samaniego Armijos TC.
Facultad de Odontología UNC.

La ansiedad es el estado mental que conduce al ser humano a experimentar reacciones de incomodidad y angustia, miedo, preocupación o excitación; los procesos quirúrgicos pueden desencadenar reacciones que pueden aumentar el grado de ansiedad e influir en cambios fisiológicos reflejados en variaciones de signos vitales. **Objetivos:** determinar variaciones de los signos vitales (antes-durante-después) del acto quirúrgico y su asociación a la generación y grado de ansiedad. **Métodos:** estudio transversal en pacientes adultos (n=30) de entre 20 a 50 años, ambos géneros, sometidos a cirugía bucal ambulatoria; se realizó monitoreo y registro de valores de PSA y FC con tensiómetro digital OMRON y pulso-oxímetro SILFAB 300CI para determinar diferencias medias entre valores; datos de gradación de ansiedad se recopilaron con cuestionario médico de evaluación con respuestas jerarquizadas sobre escalas numéricas de puntuación de ansiedad clínica basadas en el Physician Questionnaire [PQ] de Luque. El análisis estadístico descriptivo se realizó mediante frecuencias absolutas y relativas (FR%); la evaluación de variación de valores de variables con prueba de McNemar y Wilcoxon. **Resultados:** 18(60%) fueron género masculino edad media de $32,5 \pm 10,5$ años y 12(40%) género femenino con $27,5 \pm 9,5$ años. De 30 pacientes ambos géneros, en tiempo basal/marginal 40% (n=12) tuvo ansiedad grave y una minoría del 10 % (n=3) ansiedad leve. En el tiempo quirúrgico 30 % (n=9) ansiedad muy grave y 20 % (n=6) ansiedad leve. En el tiempo post-quirúrgico 43.3% (n=13) ansiedad leve. Del total de pacientes (n = 30), durante el tiempo quirúrgico se observó una media relevante de PSA de 128.7-84.4 mm Hg y pulso de 93.7. **Conclusiones:** la cirugía ambulatoria genera, en su mayoría, ansiedad de tipo grave antes y durante el procedimiento quirúrgico; hubo diferencias en el registro de gradación de ansiedad por género, el grupo masculino presentó significativamente mayores grados de ansiedad. Se presentaron variaciones ligeras a moderadas de PSA y FC en especial durante el tiempo quirúrgico propiamente dicho y con asociación a determinantes del momento como complicaciones o extensión de este tiempo quirúrgico observándose la presencia de síntomas somáticos y emocionales relacionados con ansiedad. **Palabras clave:** ansiedad, presión sanguínea arterial, cirugía ambulatoria.

188

DETERMINACIÓN DEL LIMITE AMELOCEMENTARIO VESTIBULAR PARTIENDO DE SU POSICIÓN PALATINA. ESTUDIO TOMOGRÁFICO

*Nart L¹, Galli F², Bonta H², Gualtieri A², Vazquez DJ¹, Caride F.
FOUBA. 1. Cátedra de Diagnóstico por Imágenes. 2. Cátedra de Periodoncia.

Introducción: En el tratamiento de las recesiones gingivales, la determinación del límite amelo cementario es un requisito primordial para definir el área de cobertura radicular.

El **objetivo** de este trabajo es presentar un método reproducible para determinar el límite amelo cementario vestibular (VLAC) ausente partiendo de su posición palatina (PLAC).

Materiales y métodos: Se seleccionaron 193 incisivos y caninos antero superiores de estudios tomográficos realizados en pacientes de la FOUBA. Se seleccionaron las piezas dentarias que no presentaban anomalías de forma y tamaño, sus caras vestibulares y palatinas integra y su apicoformación terminada. Las mediciones se realizaron con el software Romexis Viewer (versión 4.6.0.5.R) de la siguiente manera: Se obtuvieron cortes transversales en sentido vestibulo palatino pasando por el eje longitudinal de las piezas dentarias. Se midió el segmento determinado desde el límite amelo cementario de cada pieza hasta una perpendicular al eje vertical mayor, tangente al borde incisal por vestibular y palatino.

Resultados: Cuando se evaluó la relación funcional entre el VLAC y el límite PLAC, se encontró, para todos los dientes, una regresión lineal significativa ($p < 0,05$), con valores de coeficiente de determinación R² de entre 0,77 a 0,90. Esto sugiere que se podrían predecir valores del VLAC a partir del PLAC en dientes central, lateral y canino a través de una formulación lineal, con una capacidad predictiva elevada.

Conclusión: El trabajo presentado permitió establecer un método predecible para determinar la posición del límite amelo cementario vestibular ausente, a partir de su ubicación palatina.

Palabras clave: límite amelo cementario, tomografía, mediciones.

189

PREVALENCIA DE ANOMALÍAS DENTARIAS DE NIÑOS ESCOLARES DE SAN MIGUEL DE TUCUMÁN-ARGENTINA

*Jorrat MM1, Wuscovi LF1, Lopez ME2, Aragon HN1.
Facultad de Odontología UNT. 1. Cátedra de Radiología. 2. Catedra Química Biológica.

Las anomalías dentarias son cambios en las estructuras dentarias y que surgen por disturbios durante la formación dental y pueden ser de origen genético, durante el desarrollo o adquiridos. Estas anomalías dentarias pueden ser de número, forma, tamaño y posición. La prevalencia varía según diferentes grupos étnicos. **Objetivo:** el propósito de este estudio fue evaluar la prevalencia de los diversos tipos de anomalías dentarias en pacientes de una población de San Miguel de Tucumán, Argentina. **Métodos:** Se evaluaron 223 (108 masculinos y 115 femeninos) con estudios radiográficos panorámicos de pacientes que fueron atendidos en la Facultad de Odontología de la UNT. Se evaluaron la presencia de anomalías dentarias de posición, número, forma y estructura. Se utilizó un equipo radiográfico panorámico digital. Los pacientes firmaron un consentimiento informado que previamente fue aprobado por el comité de Ética de la Facultad de la FOUNT (exp 88751-18). Fueron excluidos los terceros molares. Se calculó el índice de prevalencia de las anomalías y se utilizó el Test Chi cuadrado, aceptando un error alfa de 5%. **Resultados:** el 43% presentaba anomalías dentarias, de ellos el 25,56% correspondió a posición, 13,45% de número, 3,58% de forma y 0,44% de estructura. De ellos el 34,53% tenían una anomalía, mientras que el 8,52% tenían dos. Según el sexo, no hubo diferencia significativa ($p > 0,05$). Según el subtipo el 13,45% correspondió a imputación, el 11,65% rotación, un 8,97% a supernumerarios y 4,48% a agenesia dental. De las anomalías de posición un 9,4% fueron caninos superiores, un 5,38% segundos premolares superiores, un 3,59% a caninos inferiores. Las agenesias de mayor frecuencia fue el 2° premolar inferior con un 2,25%, el incisivo lateral superior con 0,92% y el 2° premolar superior con 0,92%. De los supernumerarios el 4,9% fueron mesiodens. **Conclusión:** la mayor prevalencia de anomalías en este estudio realizado en la provincia de Tucumán, fue de posición, por lo que el diagnóstico temprano limitaría las consecuencias, ayudando en la prevención y tratamiento precoz de niños y adolescentes. Financiamiento: CIUNT. Comité de Ética: Exp. N° 88751-18

Palabras clave: anomalías dentarias, prevalencia, diagnóstico radiográfico

190

RESPUESTA INFLAMATORIA Y EXPRESIÓN DE RECEPTORES DE ESTRÓGENO EN CULTIVOS DE FIBROBLASTOS PULPARES DE RATA IN VITRO

*Soto SN, Cambiasso MJ.
Instituto Mercedes y Martín Ferreyra (INIMEC-CONICET-UNC). Departamento de Biología Bucal, Facultad de Odontología UNC

Objetivo El objetivo de este trabajo fue evaluar la respuesta inflamatoria y la expresión de receptores de estrógeno (ER) en fibroblastos pulpares *in vitro*. **Métodos** Se utilizaron cultivos primarios de fibroblastos de rata hembra a partir del cuarto repique que fueron estimulados con LPS (1 $\mu\text{g/ml}$, SIGMA-ALDRICH) por 5, 20, 60 min y 24 h. Mediante RT-qPCR, se evaluaron los niveles de expresión del ARNm del factor de crecimiento VEGF, citoquinas pro inflamatorias IL-6, IL-1 Beta, TNF- α y receptores TLR4, ER α , ER β y GPER. Los datos fueron evaluados mediante el análisis de la varianza ANOVA, seguido de comparaciones post hoc de las medias usando la prueba de Tuckey (Statistica; StatSoft Inc.) con $p \leq 0,05$. **Resultados** No se detectaron niveles de expresión del ARNm de IL-1 Beta y ER α en fibroblastos pulpares de rata *in vitro*. La estimulación con LPS produjo un aumento significativo de TNF- α a los 60 ($p \leq 0,01$) mientras que IL-6 aumento sus niveles a partir de los 60 min siendo estadísticamente significativo a las 24 h ($p \leq 0,01$). VEGF no mostró variaciones en ninguno de los tiempos analizados. En cuanto a TLR4, la estimulación con LPS produjo una disminución significativa de su expresión a los 60 min ($p \leq 0,03$) retornando a niveles basales después de las 24h. La expresión de los receptores de estrógeno ER β y GPER no varía con el tratamiento en ninguno de los tiempos analizados. **Conclusión** Los fibroblastos pulpares de rata *in vitro* expresan genes pro inflamatorios y el receptor TLR4, lo que indica que estas células participan en la respuesta inflamatoria desencadenada por LPS. Por otra parte, la expresión de genes de receptores de estrógenos sugiere que esta respuesta podría ser susceptible a la modulación estrogénica. Financiamiento: Agencia Nacional de Promoción Científica y Tecnológica (PICT 2015 N° 1333) Secretaria de Ciencia y Tecnología UNC (2016-2017). Comité de Ética: CAM-0002 (2016).

Palabras clave: fibroblastos pulpares, cultivo in vitro, rata

191

CARACTERIZACIÓN INMUNOCITOQUÍMICA DE POBLACIONES CELULARES EN CULTIVOS DE PULPA DENTAL HUMANA

*Merhar VA¹, De Couto Pita AK¹, Blanco HA², Acquier AB^{1,3}, Miozza V¹, Paz C^{3,4}, Mendez CF^{1,3}.

1. Cátedra de Farmacología FOUBA. 2. Servicio de Radioterapia, Hospital Oncológico María Curie. Gobierno de la Ciudad de Buenos Aires. 3. Consejo Nacional de Investigaciones Científicas y Técnicas. 4. Departamento de Bioquímica Humana, Facultad de Medicina UBA.

Las células madre mesenquimales son células pluripotentes de morfología fibroblástica con capacidad de diferenciación hacia diversos linajes celulares. Reportamos previamente que la adición de factores condicionantes de diferenciación al medio de cultivo de células de Pulpa Dental Humana (PDH) induce cambios morfológicos y funcionales en las células. **Objetivo:** determinar la presencia de células pluripotenciales en cultivos primarios de pulpa dental humana. **Métodos:** se establecieron cultivos por explante de células a partir de pulpa disgregada mecánicamente luego de su remoción de molares retenidos extraídos de donantes adultos por fallas de erupción. El tejido se incubó en medio de Dulbecco modificado por Eagle con 10% de suero fetal bovino (SFB) y L-glutamina (DMEM) o en DMEM conteniendo factores de diferenciación (DMEM-OD). La detección de células pluripotenciales se realizó a través de la marcación inmunocitoquímica del antígeno de superficie CD105 (Endoglina) utilizando un anticuerpo monoclonal específico y un anticuerpo secundario conjugado con Cy3. Para la tinción de los núcleos celulares se empleó el colorante 4',6-diamino-2-fenilindol (DAPI), y las muestras se analizaron en un microscopio convencional de epifluorescencia. La expresión de CD105 se corroboró, a su vez, por medio de Western Blot. **Resultados:** se constata la expresión de CD105 en la membrana plasmática de células de morfología fibroblástica en los cultivos primarios de PDH. La densidad de marcación de células CD105+ es mayor en el área que rodea el explante de tejido pulpar y disminuye hacia la periferia del cultivo (15 ± 2 vs 3 ± 1 células/campo). A su vez, cuando se analizó en cultivos establecidos (cuarto repique), el número de células CD105+ disminuyó significativamente (prueba t de Student) en presencia de medio DMEM-OD con relación a los cultivos mantenidos en medio DMEM. La expresión del antígeno CD105 se constató, además por medio de Western Blot. **Conclusión:** los precursores mesenquimáticos expresan distintos antígenos de superficie, entre los cuales se encuentra CD105. Nuestros resultados demuestran la existencia de células pluripotenciales en el tejido pulpar y sugieren que la adición de factores condicionantes inicia el proceso de diferenciación a células con capacidad de producción de tejido mineral. Financiamiento y Comité de Ética: UBACYT 20020150100172BA

Palabras clave: células pluripotenciales, pulpa dental humana, diferenciación celular

192

ESTUDIO MICROBIOLÓGICO DEL TEJIDO PERI-APICAL RELACIONADO CON INFECCIONES SEVERAS.

*Alfie N¹, Lenarduzzi A¹, Adler I², Rodríguez R¹.

FOUBA. 1. Cátedra de Endodoncia. 2. Cátedra de Estomatología.

La microbiota implicada en la infección pulpar es responsable de la aparición de un proceso inflamatorio que dependerá, entre otros aspectos, de las características de los microorganismos. Estudios basados en cultivos microbiológicos han permitido conocer los microorganismos patógenos endodónticos. **Objetivo:** identificar el o los agentes etiológicos implicados en la infección pulpar y su correspondiente antibiograma a fin de establecer protocolos efectivos. **Material y Método:** Se realizó un estudio descriptivo donde se estudiaron pacientes con periodontitis apical severa que concurrieron al servicio de la cátedra de endodoncia de la Facultad de Odontología de UBA. Después de considerar los criterios de inclusión/exclusión la población quedó constituida por 320 pacientes. El 62,5% correspondió al sexo masculino, la media de edad fue de $34,09 \pm 1,50$. A todos los pacientes se les realizó una Historia Clínica Ad-Hoc, se evaluaron las lesiones, Estudios Rx y Tomográfico, Diagnóstico Presuntivo de la Patología, diagnóstico microbiológico con examen directo y cultivo Micológico y Bacteriano, Especificación de especie aislada y Antibiograma. **Resultados:** El estudio microbiológico de las muestras evidenció al Streptococcus viridans como la especie bacteriana de mayor frecuencia (93%). Esta bacteria se presentó en forma absoluta en el 65% de los pacientes y acompañando a otras bacterias en el 28,3%. Junto con Streptococcus viridans se encontraron Enterococcus faecalis (10%) y Staphylococcus aureus (8%) y las bacterias como Citrobacter, Pseudomonas, Stenotrophonas, y Streptococcus pyogenes (2,5%). Siendo sensible a Amikacina, Gentamina y Levofloxacina. El 24 % presentó Cándida albicans y krusei que se encuentran fuera del protocolo de antibióticos. **Conclusión:** Las bacterias anaerobias son las más prevalentes en infección periapical. Es importante la identificación de la Cándida en casos de periodontitis apicales, para determinar protocolos que tengan efectividad sobre agentes micóticos y así evitar que se establezca una infección persistente que pone en riesgo el tratamiento.

193

ESTUDIO COMPARATIVO DE ESTADO DE SALUD BUCAL EN ESCOLARES ENTRE AÑO 2012 Y 2017.

*Iturre S, González Waisman M, Páez R, Granado MA, Castillo V, López R, Sotomayor L, Chaya C, Mena J, Navarro A. Odontología Preventiva FOUNT. Instituto de Estadística Aplicada Facultad de Ciencias Económicas UNT.

La caries dental es la enfermedad bucal más frecuente en algunos países latinoamericanos afectando a sus escolares entre 60 y 90%. La OMS recomienda que este tipo de estudio se realice cada 5 años.

OBJETIVO El objetivo de este trabajo fue comparar el estado de salud bucal de los alumnos de la Escuela Bernabé Araoz en San Miguel de Tucumán entre año 2012 y año 2017.

METODO El examen clínico consistió en una evaluación de salud bucal, en el local escolar, con frontoluz y se obtuvo el consentimiento informado de padres o tutores. Se realizó el CPOD- ceod, de acuerdo a los criterios de la OPS/OMS; Índice de Placa de Loe y Silness (IP) y la Necesidad de Tratamiento.

RESULTADOS Se analizaron 267 niños en 2012 y 170 niños en 2017 de 1° a 3er grado turno matutino y vespertino. La edad promedio de los niños estudiados en 2012 fue 6,73 años y de 7,08 años en 2017 con distribución homogénea entre los sexos para ambos años. Comparando las medias del CPOD, ceod, solo se encontró que la cantidad promedio de piezas con caries es menor en 2012 comparada con 2017 y diferencias significativas para la variable D subiendo su media en 2012 comparada con 2017. Se encontró diferencias significativas entre el promedio del IP para los grupos estudiados en los años 2012 ($X=1,27\pm 0,37$) y 2017 ($X=1\pm 0,55$) (prueba t para muestras independientes valor $p<0.001$). Al comparar la Necesidad de Tratamiento se encontró: no hubo diferencia significativa en la prevalencia de caries fue de 96% en 2012 y de 94% en 2017; la cantidad promedio de piezas que necesitan sellador disminuyó significativamente de 2012 (77%) a 2017 (38%); como así también, la necesidad de tratamiento pulpar más obturación del 40% en 2012 a 15% en 2017.

CONCLUSION: No se encontró diferencia en la prevalencia de caries en los escolares entre los años comparados.

Palabras clave: caries dental, escolares, necesidad de tratamiento

194

FRECUENCIA DE EMPLEO DE PROTECTORES BUCALES EN TUCUMÁN

*Iturre S, Rego L, Mena J, Navarro A. Odontología Preventiva FOUNT Instituto de Investigaciones Estadísticas Facultad de Cs Económicas UNT.

En las prácticas deportivas se debe aplicar medidas preventivas dirigidas a reducir el impacto de lesiones traumáticas y mejorar el rendimiento de los deportistas. Los protectores bucales reducen la incidencia y gravedad de los traumatismos.

OBJETIVO El objetivo de este trabajo fue conocer el uso de protector bucal en deportistas en la provincia de Tucumán.

METODO Se realizó una encuesta a deportistas en Tucumán sobre: qué deporte practicaban; si utilizaban elementos de protección deportiva recomendada para su disciplina deportiva; si usaban protector bucal; de qué tipo de protector (I, II, III, IV); frecuencia de traumatismo y frecuencia de traumatismos bucales.

RESULTADOS Se encuestaron 203 deportistas con una media de edad de 26,23 ($\pm 8,28$), y el 77,83% eran masculinos. Si bien se observaron deportistas de varias disciplinas el 88% practicaban solo 4 deportes, ciclismo de montaña (32%), rugby (24%), fútbol (23%) y hockey (10%). El uso de casco es generalizado en ciclismo de montaña (100%), y el protector bucal en rugby (100%), ningún futbolista y ciclista utilizaban protector bucal. No se encontró diferencias en el porcentaje de uso de los elementos de seguridad (guantes/casco/rodilleras) por sexo (prueba exacta de Fisher valor $p=0.147$, valor $p=0.165$ valor $p=1.000$, respectivamente). Sólo el 28,57% de los encuestados utilizaban protector bucal, de tipo I el 15,51 %, tipo II el 79,31%, el 5,17 % usaba tipo III y ninguno usaba tipo IV. El uso de protector es más frecuente entre varones que mujeres (prueba exacta de Fisher valor $p<0.0001$). En el grupo que utiliza protector bucal el promedio de la edad es significativamente más baja (prueba t varianzas diferentes valor $p<0.001$). El 45,32% de los deportistas relató haber sufrido algún traumatismo durante sus actividades y el 7,38% de ellos fueron bucales.

CONCLUSION: Este trabajo demostró la baja frecuencia del uso de protector bucal tipo III en la práctica deportiva.

Palabras clave: protector bucal, traumatismo bucal, odontología deportiva

ÍNDICE DE AUTORES

Albariño AA	170	Bárcenas CA	1, 160
Abate PF	51, 52, 55, 56	Barembaum S	105
Abregú M	11, 12	Barnetche M	88, 151
Acquier AB	191	Barros A	159
Adler LI	10, 13, 192	Barteik ME	147
Agüero D	29	Baruzzi AM	15
Agüero Romero A	156	Bas C	2
Aguilar J	30	Basal RL	57, 91, 173
Aguilar JJ	33	Basaldella N	158
Alba P	112	Basanta C	108
Albiero A	112	Basterrechea L	38, 39
Alfaro G	80	Becker FL	160
Alfaro M	87	Belardinelli PA	11, 12, 14, 105
Alfie N	192	Bella MI	92
Allende AA	11, 12	Bello D	159
Alloati B	41	Belloni F	79, 80
Alonso C	112	Benítez Rogé S	128
Alvarez MR	92	Bentivegna N	79
Álvarez P	95	Berasategui L	14, 15
Alves da Silva R	50, 81	Bernardis CA	160,
Amaro E	57, 80	Bertinelli MI	153
Amer MAR	170	Bessone GG	172
Andrada MM	8, 21, 22, 23	Bielli V	31
Angaramo LE	73	Biondi AM	83
Antona ME	179	Blanco HA	191
Antoniuk AV	167	Blasetti N	173
Antuña MV	159	Boccio I	158
Aragon HN	29, 154, 189	Bojanich MA	147, 180
Aramburu G	90, 176	Bonhome A	152
Arce Brisson G	25	Bonnin CE	64
Aredes JE	37	Bolesina N	14, 108
Argentieri A	38, 39, 42, 45	Bonta H	188
Arregger AL	100	Borbolla L	115, 117, 118
Assed B da Silva L	121.	Bordoni N	38, 39, 44, 45, 46, 47, 48
Assed Silva RAB	121	Borrillo C	80
Astrauskas JI	181	Borrillo G	57
Atala JL	49	Bosi García S	87
Ayala MS	150	Boyer P	156
Azcurra AI	105, 186	Bozal CB	3, 6, 153
Bachmeier E	102, 105	Bozzaotra R	144
Bachur R	186	Bozzini C	156
Balcarcel NB	181	Brandizzi D	2
Barbieri van Haaster MM	103	Brañas G	68

Brasca NB	64, 85, 96	Centeno VA	5, 9, 109, 147
Bregains L	84	Ceriani S	143
Brenna EM	162	Chaintiou Piorno R	32
Briem Stamm AD	31	Champin G	156
Brites F	77	Chavez Lozada JS	64
Brito GN	154	Chaya C	193
Brochero G	49	Chen B	25
Brunengo RI	155, 182	Chiarenza AP	179
Brunotto M	102, 106, 107, 109, 161, 186	Chioli NT	24
Busamia B	112	Chocobares A	133
Busleiman FJ	63	Chuquer G	186
Bustichi G	87	Cima JR	186
Butler TA	57, 79, 80, 173	Cocco L	87
Caballero AL	58, 59	Coelho Garcia Pereira L	71, 72, 75
Cabirta ML	34	Comba F	15
Cabral R	16, 49, 66	Condis G	145
Cabrini RL†	4	Conill J	86
Cacciamano JA	60, 96	Consoli Lizzi EP	32, 69
Cachia AM	139	Conte C	94
Caciva R	111	Conti MI	101, 157
Cagnolo PN	162	Contreras LN	100
Calabrese D	128	Copello MN	145
Calafell C	183	Cora M	93
Calvo S	167	Córdoba C	121
Cambiasso MJ	190	Cornejo C	19, 130
Campano J	144	Cornejo LS	151
Campos F	152	Corominola P	69
Capuano C	40	Cortese SG	83
Caputo LG	37	Corti S	115, 116
Caraballo JA	135	Coscarelli NY	94
Caramés R	175	Costa D	186
Cardoso EML	100	Costa OR	179
Cardoso ML	124, 149	Cotelo L	47, 48
Cardozo Quintana DB	172	Crisuolo I	111
Caride F	188	Crohare L	183
Carnino Ferreccio ML	63	Cruz ME	135
Carpentieri AR	33	Cudmani N	121
Carriego MT	31	Cueto S	174
Carriel V	151	Cuffini C	105, 110
Carvajal MI	67	Culacciati C	39
Carvalho HM	71, 72	Dalessandro J	57
Carvalho Porto V	50, 81	Dantur A	163
Casadoumecq AC	26, 27	Dávila H	175
Castillo GV	185, 193	De Caso CN	25, 67
Castillo J	2	Decco J	158
Cataldo A	36	De Couto Pita AK	191

De La Cal C	113, 114	Fiallega DS	126
De Landaburu F	79	Filippi N	7
Delgado AV	64	Filsinger A	95, 161
Dellepiane ME	42	Finkelberg AB	102
De Lucca RC	34, 125	Flesia G	180
D'Eramo L	47, 48	Folco A	128
De Santis MA	42	Fonseca G	90, 176
Dewey R	173	Fontana S	33, 76, 171, 185
Diaz Roig M	30	Fontanetti P	5
Di Croce DE	113, 114	Fort A	43
Di Girolamo Pinto G	87	Friedman SM	34, 179
Di Tada C	107	Friso NE	79
D'Itria JA	162	Fuks JA	43, 122, 123, 126
Dodelson de Kremer R	99	Funosas E	158, 159
Doi Y	128	Furci N	141, 144
Domingo MG	77	Furlan CN	7
Domínguez EJ	12	Gaiteri M	145
Dominguez JI	162	Galiana AV	124, 149
Doratti P	173	Galiana MB	149
Doro V	183	Galindez Costa MF	106, 109
Drago A	8	Gallarà RV	5, 9, 147, 180
Dubersarsky C	102	Galli F	188
Dubois VA	35, 120	Gani O	182
Dulong I	158	Garbero I	140
Duran A	30	Garcés Villala MA	76
Elverdín JC	100, 157, 181	García MG	13
Elvira A	87	Garcia MS	141
Escribano MF	182	García Basualdo MS	26, 27
Escudero E	79, 80	Garrofé A	53, 54, 128
Escudero ND	1, 153	Ghirardi F	41
Estevez AN	34, 125, 167, 168	Giaquinta MA	86
Fabbro AM	11, 12	Gigena CD	62
Farah M	96	Gil Rodriguez P	62
Farias MA	20, 137	Gilligan G	106, 107
Feldman S	166	Girardi I	64, 96
Fernández CA	7	Girardi MR	64, 85
Fernandez CR	40, 45	Giraudó C	92
Fernández JE	171	Gliosca LA	26, 27, 130
Fernández MG	123, 126	Gobbi C	112
Fernandez R	104	Goicochea P	124
Fernandez-Solari J	157, 181	Gomez N	69
Ferrante AL	83	Gomez Abuin G	2
Ferraris ME	152	Gomez Diz W	38
Ferreyra de Prato RS	110	Gomez Rosso MA	171
Ferrer B	84, 152	Gonzalez DA	103
Feser G	158, 159	Gonzalez GE	179

González MI	35, 120	Jyeynyffa Oliveira R	71, 72
González Althaparro CM	165, 169	Kaplan A	53, 54, 65, 131
González Althaparro FC	165, 169	Karaben VE	134
González Pin C	132	Kohli AN	174, 175
González Riaño E	159	Klemonskis G	43, 130, 150
González Roma LB	10	Klemonskis J	150
González-Segura	109	Kokubu S	51, 52
González Waisman M	193	Kraemer ME	58, 59
Gonzalo J	140	Kreimann E	2
Gosso C	138, 148	Kunst DB	185
Gotelli LP	7	Labanca L	7
Goubat A	95	Labarta AB	69, 132, 178
Granado MA	193	Labate L	125
Grenón M	163	Lagnarini L	104
Grifo MB	170	Lama MA	135
Grimoldi C	159	Lasaga I	115, 116, 117, 118
Grisolia B	68	Lauriola L	61
Grunberg K	84	Lazo G	57
Gualtieri AF	32, 68, 114, 123, 126, 164, 188	Lazo S	57, 79, 80
Guanca FM	135	Lazo V	79
Guitelman IC	127	Lazos J	106
Gusmão de Oliveira D	81	Lecumberri R	136
Gutierrez C	36	Lee CM	101
Gutiérrez MC	66	Lei MA	65
Gutvay AV	63	Lenarduzzi A	68, 192
Guzmán Barrionuevo NH	99	Levy TN	122, 123, 126
Haapasalo M	25	Lezón C	156
Hecht P	31, 167, 168	Liandro MF	11
Hernando LM	138	Lima Leite A	9
Hernández S	8	Linares JA	102, 105
Holzmann G	63	Lissera G	176
Iantosca A	87	Logullo R	19
Ibañez CA	49, 60	Lopez ME	29, 154, 189
Ibañez JC	165, 169	López MM	102
Iglesias M	128	López R	193
Interlandi V	5	López de Blanc SA	11, 12, 14, 15, 105
Isaia C	111	López-López MT	151
Isla C	95, 104	Lourido MG	135
Itoiz ME	4, 8, 10	Lozano S	94
Iturre S	193, 194	Lucca A	106
Iuliano R	68	Luján Nuñez F	34
Ivanov MM	79, 80	Luna S	140
Jacobo MI	24	Luppino L	61
Jais M	62	Lutri MP	58, 59
Jorrat MM	189	Macchi R	24
Julián S	62	Machado A	19

Macri EV	179	Menso J	184
Magalhães C	50	Merhar VA	191
Magliano RO	63	Merino G	173
Maglione G	77	Merlo D	79
Malberti AI	76	Micinquevich S	91, 173
Manavella G	166	Miguel R	87
Mandalunis PM	1, 131, 160, 177	Miguelles AM	70
Manzur E	24	Milanes V	139
Marcarian L	61	Miozza V	191
Marchegiani S	112	Mirotti G	58, 59
Marchi R	17, 18	Missana L	140, 166
Marchio C	116, 118, 136	Mohn CE	157
Marcillo Toala OO	50, 81	Moine L	106
Marega GH	89, 138	Molgatini SL	26, 35, 120
Marengo HA	165	Molina G	16
Mariani DA	162	Monqaut JL	165, 169
Marseillan M	46	Monserrat N	58, 59
Martín A	166	Montañez D	95, 96
Martín G	24, 25	Morales SD	134
Martin M	77	Morasso AM	46
Martínez C	7, 51	Moreira Bringel Da Costa R	50, 81
Martinez H	62	Morelatto R	14, 108
Martínez LD	99	Moreno de Calafell M	183
Martinez MC	129	Moreno García MF	166
Martinez ME	35, 120	Mosmann JP	105
Martínez MP	101	Moya MA	127
Martino I	142	Moyano A	183
Martins GA	75	Moyano T	28
Massaia C	111	Moyano WE	166
Masoli C	40	Mucci F	159
Masquiyo Bisio PA	10	Musso G	183
Mastrotta P	13	Nalli GA	13
Mateu ME	128	Napoli A	43
Matyus TN	123	Nart L	167, 168, 188
Mayocchi K	173	Nastrun NJ	55, 56
Mazza SM	119	Navarro A	193, 194
Mazzeo MA	102	Negrini FB	7
Medici SA	20, 137	Nelson Filho P	121
Medina MM	94	Nenda MM	177
Megy F	168	Neppelenbroek KH	50, 81
Mena J	193, 194	Nervegna MT	1, 177
Mendel A	126	Nervo F	186
Mendel NB	122, 123, 126	Neto LJ	75
Mendez CF	191	Nicolosi LN	135
Méndez P	128	Ocampo M	49
Menis de Mutal L	66	Ochonga GE	129

Oliva F	163	Pomarada ME	134
Olmedo DG	77, 78	Pompeo MN	135
Olmos MA	96	Ponce AF	92
Olvi LG	10	Ponce RH	5, 9, 147, 180
Onofre C	7	Puia S	164
Orlietti M	180	Pujol MH	31, 167, 168
Orman B	7, 103	Pulitano Manisagian GE	160, 177
Ossola CA	181	Quaglia MI	112
Páez R	193	Quintana A	186
Pagano MC	42, 45	Quintar Aguirre AMF	99
Paggi R	173	Quintero A	159
Panero S	84	Quinteros Villarruel E	103
Panico R	106, 107	Rabelo Buzalaf MA	9
Paparella ML	4, 8, 10	Radica M	158, 159
Papel GO	94	Raimondi AR	10
Parreira M	164	Rajmil A	158
Pascucci J	86	Ramirez LI	134
Pastene G	61	Ramirez S	91
Pastorino N	166	Ramos C	179
Paz C	191	Ravenna N	159
Pazos F	57, 80	Re R	112
Pazos X	43	Rea AE	134
Pedrol S	158	Rego L	194
Peláez AN	119	Renou SJ	70, 78, 155
Pepe G	51, 52	Restuccia A	141
Peralta Lopez ME	185	Ribba L	16
Peralta Porcel N	62	Ribotta de Albera E	28, 41
Pereyra L	142, 143, 144	Richard SB	114
Pérez E	78	Rico SD	76
Pérez MA	10	Rigalli A	5
Perez MB	47, 48	Riguero G	128
Perez SB	26, 27	Ríos L	88
Perez Meyer ML	46	Rios Martínez MA	64
Pesce E	86	Ripoll S	88
Pescio J	95	Ritacco E	69
Piazza LA	147	Rivelli M	65
Picca M	53, 54, 65	Robledo G	108, 111
Piccioni OA	11, 12	Rocamundi MR	133
Piconi C	58, 59	Rodas JA	181
Piemonte E	106, 107	Rodriguez A	37
Pinasco L	69	Rodriguez C	13
Pinola L	173	Rodríguez I	90, 176
Pintos P	156	Rodriguez IA	84, 152
Piñas ME	147	Rodriguez MA	84, 152
Pisterna G	139	Rodriguez PA	26, 27, 32, 68, 70
Plavnik LM	97, 98	Rodríguez PN	34

Rodriguez Orsero L	168	Shemberger V	166
Rodrigues R	75	Sheridan C	135
Rodríguez R	192	Sierra LG	27, 69, 132, 178
Romero S	143	Silva YA	75
Romero MS	154	Silvariño MN	93
Rosella C	28, 41	Soares Lara V	50, 81
Rosende MN	119	Solá VM	33
Rossi GN	17, 18, 40, 130, 131	Solari JF	101
Rozas CA	58, 59, 147	Solari N	28, 41
Rubio S	183	Solla M	128
Rueda LA	94	Sorazabal A	40, 42
Rugolo G	101	Sorbera L	84
Rubinstein J	138	Sosa L	93
Rhys KV	112	Soto SN	190
Saiegh J	31, 32	Sotomayor L	193
Sainz Ajá M	16	Sousa M	141, 142, 143, 144
Salas AL	145	Spadilero de Lutri MM	63, 73
Salas L	28, 41	Spina M	57, 80
Saldaña J	143	Spoleti P	139
Salgado P	17, 18, 19, 21, 22, 23, 38, 39, 40, 42, 43, 45, 47, 48, 150	Squassi A	17, 18, 19, 20, 39, 43, 44, 45, 46, 47, 48, 130, 136, 137, 150
Salvatierra M	125	Steimetz T	157, 179, 182
Samaniego Armijos TC	187	Stolbizer F	8, 21, 22, 23
Samar ME	171	Tabares S	28, 41, 184
Sanchez G	84	Takara D	113, 114
Sanchez GA	20, 35, 113, 115, 116, 117, 118, 120, 135, 136, 137, 170	Tamburelli M	2
Sánchez LM	3, 153	Tamini Elicegui LE	7, 51, 52
Sanchez ML	47, 48	Tapia G	36, 93
Sánchez Dagúm EV†	92	Tasat DR	77
Sánchez Dagum M	89, 138, 148	Tatti S	13
Sanchez Luceros A	164	Tejerina DP	26, 27
Sanchis S	167	Terrizzi AR	101
Sanz A	138	Testa M	142
Sapienza ME	87	Thompson L	51, 52
Saporitti FO	94	Tineo S	121
Saravia ME	121	Tissone SE	94
Savio V	112	Toma AF	113, 115, 116, 117, 118
Scola MJ	10	Tomas LJ	94
Scruzzi GF	133	Tomasi R	110
Seabra-Ferreira R Jr	81	Toral M	19
Seara SE	94	Torre F	86
Secchi D	109	Tortolini P	183
Sembaj A	28, 41, 184	Trinajstic S	86
Sena S	2	Trinks PW	170
Sezin M	58, 59, 165, 169	Troncoso GR	157
		Tumilasci G	100

Ubios AM	3, 6, 125, 152
Urquía Morales MC	60, 64, 85, 96
Usin MM	28, 41, 184
Varela LB	37
Vargas Foix J	84
Vassallo M	30
Vázquez DJ	8, 31, 32, 34, 167, 168, 188
Vazquez MC	153
Vázquez Mosquera AP	185
Venarotti F	141
Ventura F	150
Vera MM	95, 96
Verdu SD	13
Viani MS	158
Villarruel C	28, 41
Villegas Padilla KM	4, 8
Vincens M	133
Virga MC	155
Virgillito A	143
Viscovic C	57
Weilenmann ML	133
Werner LC	10
Winter GA	135
Wuscovi LF	29, 154, 189
Xediek Consani RL	74
Yamauchi MI	6
Yoshito Noritomi P	74
Zaffaroni M	174
Zaiden S	61
Zamberlin J	30
Zanotti AF	97, 98
Zapata M	111
Zemel M	87
Zimmermann EL	139
Zubiaurre V	93
Zúccaro PS	55, 56
Zurita H	142

¿Dientes sensibles?

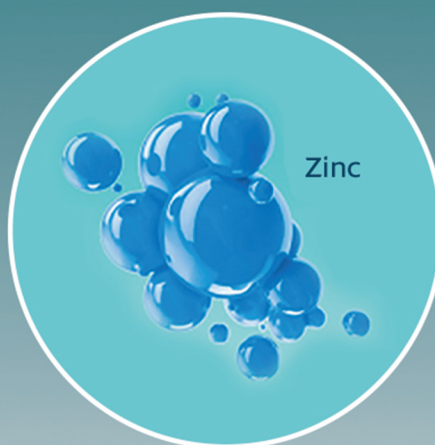
NUEVO



**REPARA Y
PROTEGE LOS DIENTES**



+



130,7%
de alivio instantáneo de
la sensibilidad

vs crema dental a base de nitrato de potasio inmediatamente después de la aplicación tópica.



Colgate

NUEVA

Colgate®

PerioGard®

**REDUCE EL SANGRADO
DE ENCÍAS***



ANTES

DESPUÉS

Conocé nuestra
LÍNEA MÁS AVANZADA
para tu Salud Bucal



*Asociado a gingivitis causado por bacterias

Colgate®